

# COMUNE DI CAMPOGALLIANO

## PROVINCIA DI MODENA

### RELAZIONE GEOLOGICA

inerente alla caratterizzazione e modellazione geologica del sito (6.2.1 NTC 2018);

### RELAZIONE GEOTECNICA

Relativa alle indagini, alla caratterizzazione e alla modellazione geotecnica a supporto della progettazione strutturale (6.2.2. NTC 2018) nonché relativa alla verifica delle opere di fondazione (6.4.NTC 2018);

### ANALISI PERICOLOSITÀ SISMICA LOCALE

Relativa alla caratterizzazione geofisica del volume significativo di terreno (3.2.2 NTC 2018), valutazione dell'azione sismica di riferimento (3.2.3. NTC 2018), Risposta sismica locale e verifica della stabilità nei confronti della liquefazione (7.11.3. NTC 2018).



### OGGETTO

**Caratterizzazione geologica geotecnica e sismica a  
supporto del progetto di ampliamento del  
fabbricato industriale esistente, in via Italia nel  
Comune di Campogalliano (Mo).**

Relazione per PdC

**Rif. n. 201/2020**

Maggio 2021



Dott. Geol. Pier Luigi Dallari

## RELAZIONE TECNICA

### RELAZIONE GEOLOGICA

inerente alla caratterizzazione e modellazione geologica del sito (6.2.1 NTC 2018)

### RELAZIONE GEOTECNICA

Relativa alle indagini, alla caratterizzazione e alla modellazione geotecnica a supporto della progettazione strutturale (6.2.2. NTC 2018) nonché relativa alla verifica delle opere di fondazione (6.4.NTC 2018)

### ANALISI PERICOLOSITÀ SISMICA LOCALE

Relativa alla caratterizzazione geofisica del volume significativo di terreno (3.2.2 NTC 2018), valutazione dell'azione sismica di riferimento (3.2.3. NTC 2018), Risposta sismica locale e verifica della stabilità nei confronti della liquefazione (7.11.3. NTC 2018)

### OGGETTO

**Caratterizzazione geologica geotecnica e sismica a supporto del progetto di ampliamento del fabbricato industriale esistente, in via Italia nel Comune di Campogalliano (Mo).**

**Rif. n. 201/2020**



UFFICI: via Per Modena, 12 - 41051 Castelnuovo R. (MO)

SEDE LEGALE: via C.Costa, 182 - 41123 Modena (MO)

tel. 059/3967169; 059/828367 - p. Iva e C.F.02981500362

Email: [info@geogroupmodena.it](mailto:info@geogroupmodena.it) Pec: [geo.group@winpec.it](mailto:geo.group@winpec.it) Sito: [www.geogroupmodena.it](http://www.geogroupmodena.it)



## INDICE DEL CONTENUTO

1 PREMESSE.....	3
2 INQUADRAMENTO GENERALE.....	4
2.1Inquadramento geografico .....	4
2.1Elementi geologici e geomorfologici .....	5
3 INDAGINI GEOGNOSTICHE.....	8
3.1Indagini Geotecniche .....	8
3.1.1 Prove penetrometriche statiche con punta elettrica e piezocono CPTE/U.....	8
3.1.2 Prove penetrometriche statiche con punta meccanica CPT.....	9
3.2Indagini Geofisiche .....	11
3.2.1 Indagine sismica passiva a stazione singola (analisi HVSR) .....	11
3.2.2 Indagine sismica attiva con metodo MASW .....	11
4 CARATTERIZZAZIONE SISMICA DEL SITO .....	13
4.1Pericolosità sismica di base .....	13
4.2Categoria di sottosuolo (§ 3.2.2 NTC2018).....	15
4.3 Azione sismica e risposta sismica del sito – Approccio semplificato .....	16
5 MODELLAZIONE GEOLOGICA E GEOTECNICA DEL SITO.....	17
5.1 Caratteristiche litostratigrafiche del terreno .....	17
5.2 Modello geotecnico del sottosuolo.....	20
5.3 Stabilità nei confronti della liquefazione (§ A2.2. DGR 630/2019).....	21
6 CONSIDERAZIONI CONCLUSIVE .....	24

## TAVOLE

Tav. n. 1:	"Carta Corografica"	scala 1: 15.000;
Tav. n. 2:	"Carta Topografica"	scala 1: 5.000;
Tav. n. 3:	"Ripresa Satellitare"	scala 1: 5.000;
Tav. n. 4:	"Ubicazione indagini"	scala 1: 1.500.

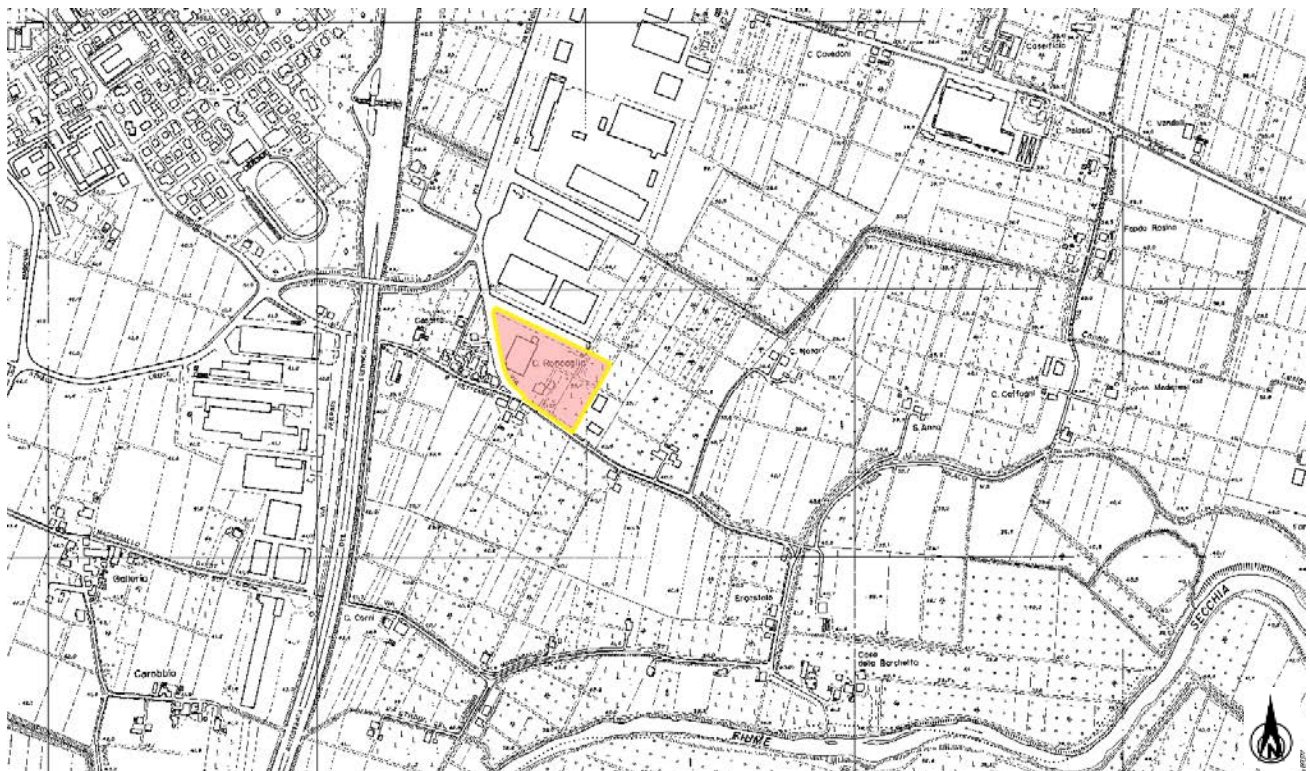
## ALLEGATI

- ALL. n. 1 Prove penetrometriche statiche con punta elettrica e piezocono CPTE/U;  
 ALL. n. 2 Prove penetrometriche statiche CPT;  
 ALL. n. 3 Indagini sismiche;  
 ALL. n. 4 Verifica alla liquefazione.

Pag. 2

## 1 PREMESSA

Nel mese di giugno 2020 è stato eseguito il presente studio geologico, geotecnico e sismico inerente all'ipotesi di ampliamento del fabbricato industriale esistente, sito in via Italia, nel Comune di Campogalliano (Mo) (Fig.1.1).



**Fig.1.1 - Ubicazione del sito in studio – Comune di Campogalliano.**

La presente relazione fa riferimento alle disposizioni normative contenute in:

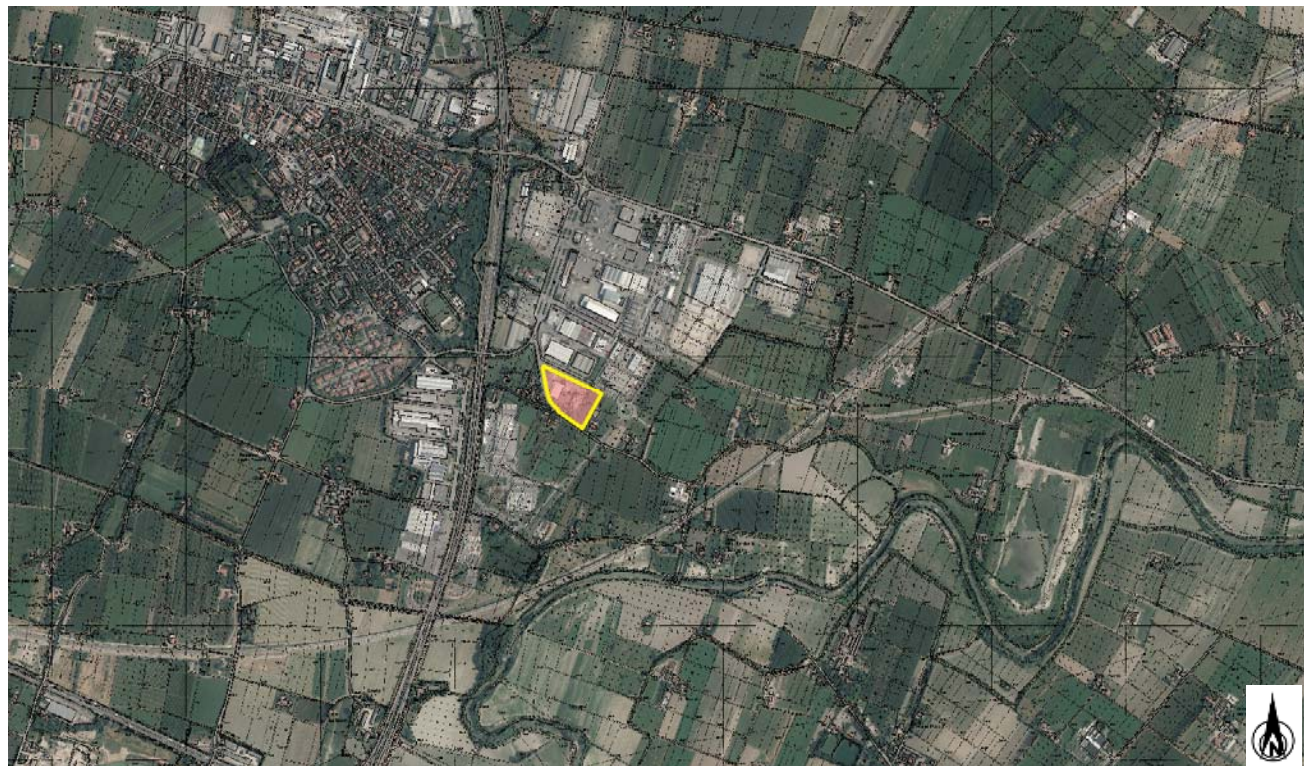
- Norme Tecniche per le Costruzioni 2018 – D.M. 17/01/2018;
  - DGR 630/2019.

## 2 INQUADRAMENTO GENERALE

### 2.1 Inquadramento geografico

L'area in esame è collocata in ambiente di pianura, a sud est del territorio comunale di Campogalliano, nella zona industriale (Fig.2.1). Le coordinate specifiche dell'area sono le seguenti:

SITO IN ESAME	
COORDINATE GEOGRAFICHE	
LATITUDINE	LONGITUDINE
44.683485	10.854614



*Fig.2.1 - Ubicazione del sito in studio a sud est del Comune di Campogalliano.*

Per un completo inquadramento geografico dell'area si rimanda dalla cartografia allegata alla presente relazione, in particolare alla "Carta corografica", alla scala 1: 15.000 (tav. n. 1) "Carta topografica", alla scala 1: 5.000 (tav. n. 2) e alla "Ripresa satellitare" alla scala 1: 5.000 (tav. n. 3).

## 2.1 Elementi geologici e geomorfologici

Dalla cartografia consultata e di seguito riportata si evince che l'area indagata sia caratterizzata da limo di piana alluvionale. In particolare dall'**Unità di Modena AES8a: depositi ghiaiosi passanti a sabbie e limi di terrazzo alluvionale. Limi prevalenti nelle fasce pedecollinari di interconoide. Unità definita dalla presenza di un suolo a bassissimo grado di alterazione, con profilo potente meno di 100 cm, calcareo, grigio-giallastro** (Fig. 2.2).

In particolare dalla "Carta tetto ghiae e sabbie" dello studio di Microzonazione sismica del Comune di Campogalliano, la profondità delle ghiae nell'area in studio risulta essere alla profondità compresa tra -30 e -28.0 m da p.c. (Fig. 2.3).

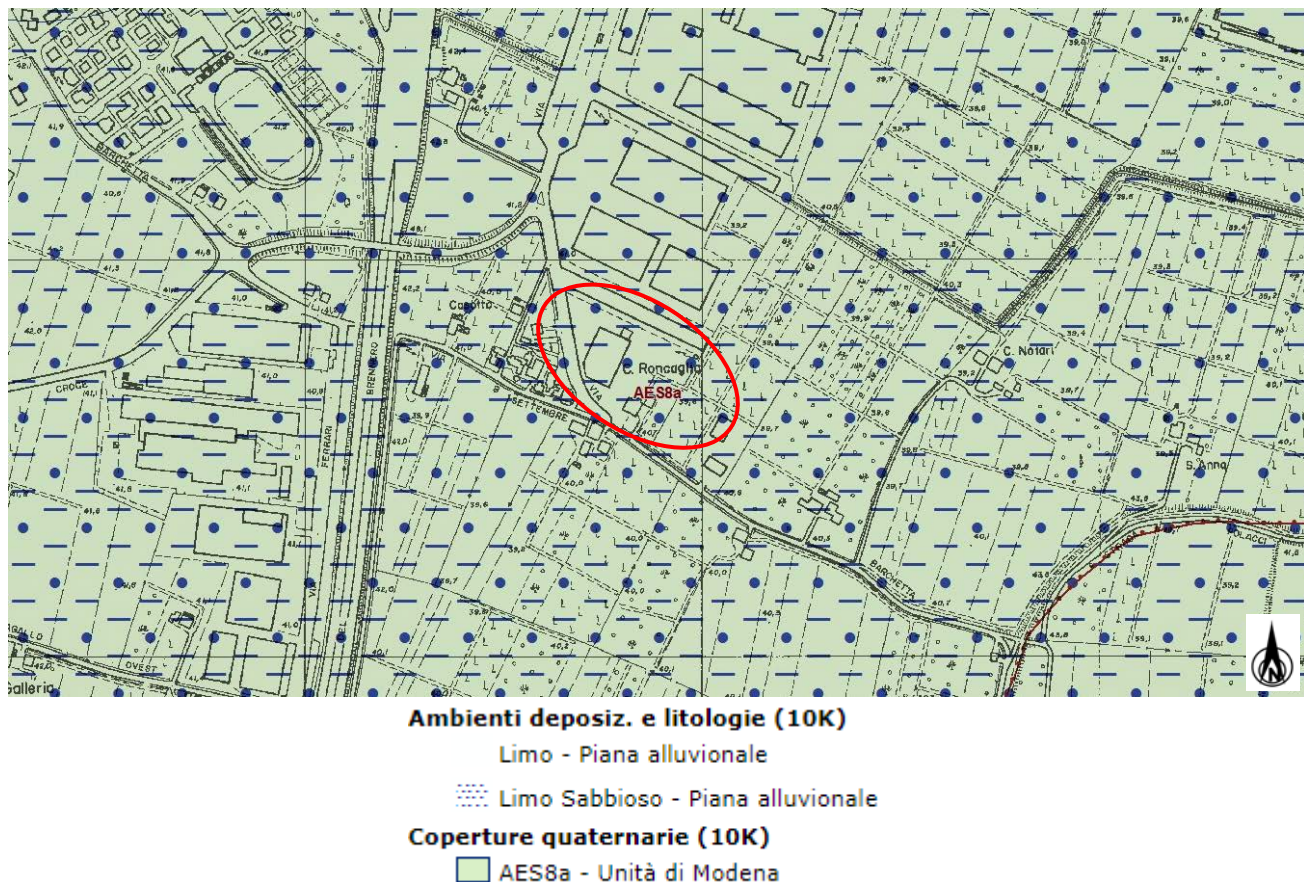


Fig.2.2 – Estratto della "Carta della litologia di superficie" – Regione Emilia Romagna.



### Elementi geologici e idrogeologici

⌒ 30 Profondità tetto delle ghiaie (metri dal piano di campagna)

⌒ 10 Profondità tetto delle sabbie (metri dal piano di campagna)

⌒ 20 Isobate del substrato sepolto

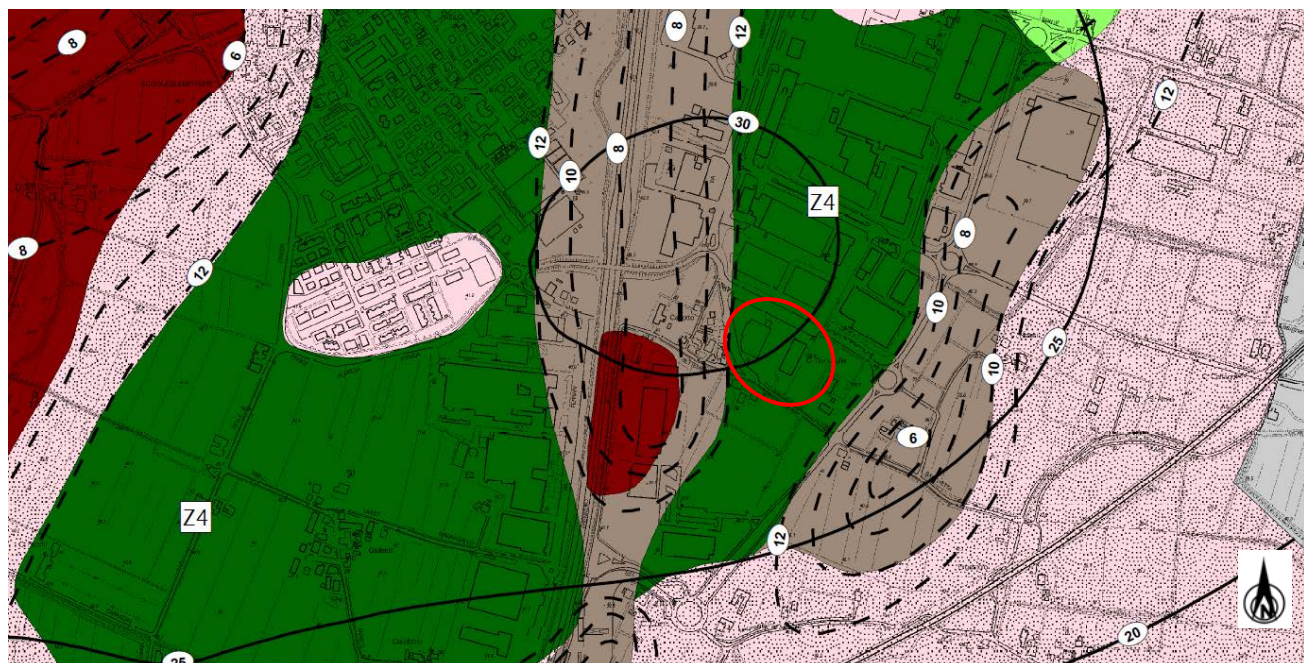
### Altri elementi rappresentati

⌒ Limite di Comune

Fig.2.3 - Estratto della "Carta tetto ghiaie e sabbie" – Studio di Microzonazione sismica del Comune di Campogalliano.

## 2.2 Inquadramento sismico

A supporto dell'analisi sismica e della valutazione della stabilità del sito, successivamente descritta nei paragrafi seguenti, per quel che concerne i fenomeni co-sismici è stata preliminarmente consultata la cartografia relativa allo studio di Microzonazione Sismica del Comune di Campogalliano (MO), ed in particolare dalla "Carta delle microzone omogenee in prospettiva sismica", un cui estratto è riportato in figura (Fig. 2.4), si nota come l'area in studio ricade nella zona 4, suscettibile di amplificazione locale, pertanto al fine di derivare la pericolosità sismica locale, risulta ragionevole utilizzare l'approccio semplificato (categorie di sottosolo) come esplicitato da normativa tecnica NTC2018 e successivamente illustrato § 4.3.



### Zone stabili suscettibili di instabilità

#### Zone stabili suscettibili di amplificazioni locali

- ZONA 1 Ghiaie sabbiose poco addensate (GP-12); limi - limi sabbiosi, moderatamente addensati (MH-12). Effetti attesi: amplificazione per caratteristiche litostriatigrafiche. Approfondimenti di II<sup>o</sup> livello.
- ZONA 2 Limi - limi argillosi - limi sabbiosi argilosì ed argille limose, moderatamente consistenti (ML/CL-24) contenenti sottili corpi lenticolari sabbioso limosi di spessore tra 0,5 e 2 m, moderatamente addensati (SM-12). Effetti attesi: amplificazione per caratteristiche litostriatigrafiche.
- ZONA 3 Limi - limi argillosi - argille limose, moderatamente consistenti (ML/OH-24) contenenti sottili corpi lenticolari sabbioso limosi con spessore tra 0,5 e 1,5 poco addensati (SM-13). Effetti attesi: amplificazione per caratteristiche litostriatigrafiche. Approfondimenti di II<sup>o</sup> livello.
- ZONA 4 Argille limose - argille, moderatamente consistenti (CL/OH-24) con intercalati corpi lenticolari limoso argilosì moderatamente consistenti (ML-24). Effetti attesi: amplificazione per caratteristiche litostriatigrafiche. Approfondimenti di II<sup>o</sup> livello.

- POTENZIALI LIQUEFAZIONE**  
Sabbie e sabbie limose in strati con spessori tra 4 e 8 m, moderatamente addensate (SM-12) con intercalate alternanze limose - limoso argilloso moderatamente consistenti (ML-24). Effetti attesi: amplificazione per caratteristiche litostriatigrafiche, potenziale liquefazione. Approfondimenti di III<sup>o</sup> livello per valutazione di suscettività alla liquefazione.
- POTENZIALI CEDIMENTI DIFFERENZIALI**  
Argille limose e limi argillosi poco consistenti (CL/ML-25) moderatamente consistenti con l'aumento della profondità (24). Effetti attesi: amplificazione per caratteristiche litostriatigrafiche, cedimenti differenziali. Approfondimenti di III<sup>o</sup> livello per stima dei cedimenti differenziali.
- POTENZIALI CEDIMENTI DIFFERENZIALI**  
Limi - limi argilloso sabbiosi, moderatamente consistenti (ML/OH-24) con intercalati corpi lenticolari sabbioso limosi con spessori tra 1,5 e 3 m moderatamente addensati (SM-12) ed orizzonti argilloso limosi - limoso argilloso moderatamente consistenti (CL-24). Effetti attesi: amplificazione per caratteristiche litostriatigrafiche potenziali cedimenti differenziali per densificazione / liquefazione di sottili strati sabbioso limosi. Approfondimenti di III<sup>o</sup> livello per stima dei cedimenti.
- ZONA SUSCETTIBILE DI SOVRAPPOSIZIONE DI INSTABILITÀ DIFFERENTI**  
Sabbie limose da poco addensate (SM-13) e moderatamente addensate (11) con l'incremento della profondità e limi argillosi da poco consistenti (ML-25) a moderatamente consistenti (24) con l'aumento della profondità. Effetti attesi: amplificazione per caratteristiche litostriatigrafiche, potenziale liquefazione e cedimenti differenziali. Approfondimenti di III<sup>o</sup> livello per valutazione di suscettività alla liquefazione e stima dei cedimenti differenziali.

**Fig.2.4 – Estratto della “Carta delle microzone omogenee in prospettiva sismica” – Microzonazione Sismica del Comune di Campogalliano - Tavola n. 1.6.**

## 3 INDAGINI GEOGNOSTICHE

### 3.1 Indagini Geotecniche

In relazione alla litologia presente nell'area e in base alla tipologia di intervento in progetto, sono state eseguite le seguenti indagini geognostiche:

- *n. 3 prove penetrometriche statiche con punta elettrica e piezocone CPTu, eseguite in data 11-12/05/2020;*
- *n. 3 prove penetrometriche statiche con punta meccanica CPT, eseguite in data 11-12/05/2020.*

I risultati delle suddette indagini sono riportati nell'**allegato n. 1-2**, mentre l'ubicazione è illustrata nella **tav. n. 4**.

#### 3.1.1 Prove penetrometriche statiche con punta elettrica e piezocone CPTE/U

Le prove sono state eseguite con un penetrometro Gouda dotato di punta elettrica e piezocone CPTE/U. Le caratteristiche tecniche dello strumento impiegato sono le seguenti:

Caratteristiche del Piezocone		
Canali di misura:	Dimensioni:	
Resistenza di punta (qc):	10; 50; 100 MPa	Angolo di apertura cono: 60°
Attrito laterale (fs):	0,5 MPa	Diametro: 36 mm
Pressione nei pori (U):	2,5 MPa	Sezione di spinta: 10 cm <sup>2</sup>
Inclinazione:	0 - 40°	Superficie laterale: 150 cm <sup>2</sup>
	Peso:	2,1 kg
	Lunghezza:	413 mm

Le prove sono state elaborate mediante il software CPET – IT v. 1.7.4.13 prodotto da GeoLogisMiki – Geotechnical Software. I report, in cui sono riportati su grafici i dati di resistenza e pressione interstiziale misurati ed illustrata l'interpretazione litostratigrafica e geotecnica della prova, sono riportati in **Allegato n.1**. La caratterizzazione litostratigrafica del terreno è stata effettuata in funzione delle carte proposte da Robertson, in cui il tipo di comportamento del terreno è definito da tre parametri: qt, resistenza alla punta corretta, Rf, Bq, nella prima carta (1986) e con i parametri normalizzati nella seconda (1990).

### Correlazioni utilizzate per la stima dei parametri geotecnici

<b>Unit Weight, g (kN/m³) ::</b> $g = g_w \cdot \left( 0.27 \cdot \log(R_r) + 0.36 \cdot \log\left(\frac{q_t}{P_s}\right) + 1.236 \right)$ <p>where <math>g_w</math> = water unit weight</p>	<b>Small strain shear Modulus, G₀ (MPa) ::</b> $G_0 = (q_t - \sigma_v) \cdot 0.0188 \cdot 10^{0.55I_c + 1.68}$
<b>Permeability, k (m/s) ::</b> $I_c < 3.27$ and $I_c > 1.00$ then $k = 10^{0.952-3.04I_c}$ $I_c \leq 4.00$ and $I_c > 3.27$ then $k = 10^{-4.52-1.37I_c}$	<b>Shear Wave Velocity, Vs (m/s) ::</b> $V_s = \left( \frac{G_0}{\rho} \right)^{0.50}$
<b>N<sub>60</sub> (blows per 30 cm) ::</b> $N_{60} = \left( \frac{Q_m}{P_s} \right) \cdot \frac{1}{10^{1.1260-0.2817I_c}}$ $N_{160} = Q_m \cdot \frac{1}{10^{1.1260-0.2817I_c}}$	<b>Undrained peak shear strength, S<sub>u</sub> (kPa) ::</b> $N_{lt} = 10.50 + 7 \cdot \log(F_r)$ or user defined $S_u = \frac{(q_t - \sigma_v)}{N_{lt}}$ (plicable only to SBT <sub>n</sub> : 1, 2, 3, 4 and 9 or $I_c > I_{c, cutoff}$ )
<b>Young's Modulus, E<sub>s</sub> (MPa) ::</b> $(q_t - \sigma_v) \cdot 0.015 \cdot 10^{0.55I_c + 1.68}$ (plicable only to $I_c < I_{c, cutoff}$ )	<b>Remolded undrained shear strength, S<sub>u(rem)</sub> (kPa) ::</b> $S_{u(rem)} = f_s \cdot S_u$ (applicable only to SBT <sub>n</sub> : 1, 2, 3, 4 and 9 or $I_c > I_{c, cutoff}$ )
<b>Relative Density, D<sub>r</sub> (%) ::</b> $100 \cdot \frac{\sqrt{Q_m}}{k_{DR}}$ (applicable only to SBT <sub>n</sub> : 5, 6, 7 and 8 or $I_c < I_{c, cutoff}$ )	<b>Overconsolidation Ratio, OCR ::</b> $k_{OCR} = \left[ \frac{Q_m^{0.20}}{0.25 \cdot (10.50 + 7 \cdot \log(F_r))} \right]^{1.25}$ or user defined $OCR = k_{OCR} \cdot Q_m$ (plicable only to SBT <sub>n</sub> : 1, 2, 3, 4 and 9 or $I_c > I_{c, cutoff}$ )
<b>State Parameter, ψ ::</b> $\psi = 0.56 - 0.33 \cdot \log(Q_m)$	<b>In situ Stress Ratio, K<sub>0</sub> ::</b> $K_0 = 0.1 \cdot \left( \frac{q_t - \sigma_v}{\sigma_{vo}} \right)$ (plicable only to SBT <sub>n</sub> : 1, 2, 3, 4 and 9 or $I_c > I_{c, cutoff}$ )
<b>Peak drained friction angle, φ (°) ::</b> $\phi = 17.60 + 11 \cdot \log(Q_m)$ (plicable only to SBT <sub>n</sub> : 5, 6, 7 and 8)	<b>Soil Sensitivity, S<sub>t</sub> ::</b> $S_t = \frac{N_{lt}}{F_r}$ (plicable only to SBT <sub>n</sub> : 1, 2, 3, 4 and 9 or $I_c > I_{c, cutoff}$ )
<b>1-D constrained modulus, M (MPa) ::</b> If $I_c > 2.20$ $\alpha = 14$ for $Q_m > 14$ $\alpha = Q_m$ for $Q_m \leq 14$ $M_{CPT} = \alpha \cdot (q_t - \sigma_v)$  If $I_c \leq 2.20$ $M_{CPT} = (q_t - \sigma_v) \cdot 0.0188 \cdot 10^{0.55I_c + 1.68}$	<b>Effective Stress Friction Angle, φ' (°) ::</b> $\phi' = 29.5^\circ \cdot B_q^{0.121} \cdot (0.256 + 0.336 \cdot B_q + \log Q_m)$ (plicable for $0.10 < B_q < 1.00$ )

**Tab.3.1 - Correlazioni utilizzate per la stima dei parametri geotecnici.**

### 3.1.2 Prove penetrometriche statiche con punta meccanica CPT

Nell'**Allegato n. 2** sono riportati i grafici e le tabelle riguardanti le prove eseguite, corredate dall'elaborazione geotecnica e litostatigrafica.

Le prove sono state eseguite con un penetrometro Pagani dotato di punta Begemann. Le caratteristiche tecniche dello strumento impiegato sono le seguenti:

<b>Spinta</b>	S	200 kN
<b>Punta conica meccanica</b>		
Diametro	Φ	35.7 mm
Area punta	A	10 cm <sup>2</sup>
Angolo di apertura	α	60°
<b>Manicotto laterale di attrito</b>		
Diametro	Φ	35.7 mm
Altezza	h	133 mm
Area	A	150 cm <sup>2</sup>
<b>Velocità di avanzamento costante</b>	V	2 cm/sec
<b>Intervallo di misura</b>		20 cm

Le prove sono state elaborate mediante un software che restituisce l'interpretazione litologica dei terreni indagati effettuata sulla base del rapporto qc/fs (Begemann, 1965; A.G.I. 1977) e la stima dei parametri geotecnici in condizioni non drenate tramite correlazioni.

***Correlazioni utilizzate per la stima dei parametri geotecnici***

Coesione non drenata (terreni coesivi)  $C_u$

RACCOMANDAZIONI AGI 1977 – RICCIERI ET AL. 1974 – MARSLAND ET AL. 1974/1979

Modulo di deformazione non drenato  $E_u$

DUNCAN-BUCHIGANI 1976

Modulo edometrico  $M_o$

SANGERAT 1972 – MITCHELL/GARDNER 1975 – RICCIERI ET AL. 1974 – HOLDEN 1973)

Peso unità di volume  $\gamma_{sat}$  (*saturo sotto falda*) –  $\gamma$  (*umido sopra falda*)

IN BASE ALLA NATURA LITOLOGICA TERZAGHI-PECK 1967 – BOWELS 1982

Velocità delle onde di taglio  $V_s$

YOSHIDAMOTONORI 1988

### 3.2 Indagini Geofisiche

Per la caratterizzazione sismica dell'area di studio, sono state eseguite le seguenti indagini geofisiche:

- **n. 2 indagini sismiche passive HVSR, eseguita in data 15/06/2020;**
- **n. 1 indagine sismica attiva MASW, eseguita in data 15/06/2020.**

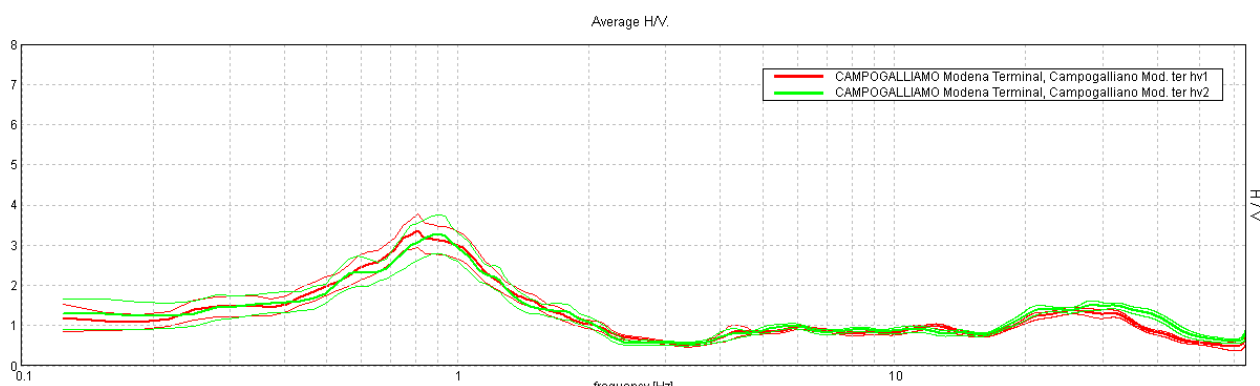
I risultati delle indagini sismiche sopra citate sono riportati integralmente nell'**allegato n. 3**.

#### 3.2.1 Indagine sismica passiva a stazione singola (*analisi HVSR*)

Le misure sismiche passive a stazione singola sono state eseguite mediante un tomografo digitale dotato di tre canali velocimetrici, modello Tromino® prodotto da Moho srl (Marghera (VE), Italia). Per l'acquisizione è stata adottata una frequenza di campionamento di 128 Hz per una durata totale di 20 minuti (Fig.3.1). Lo scopo dell'indagine è la misura della frequenza di risonanza del terreno, la quale è legata alla velocità delle onde di taglio Vs nel terreno dalla formula:

$$f = \frac{V_s}{4h}$$

dove  $h$  è lo spessore dello strato.



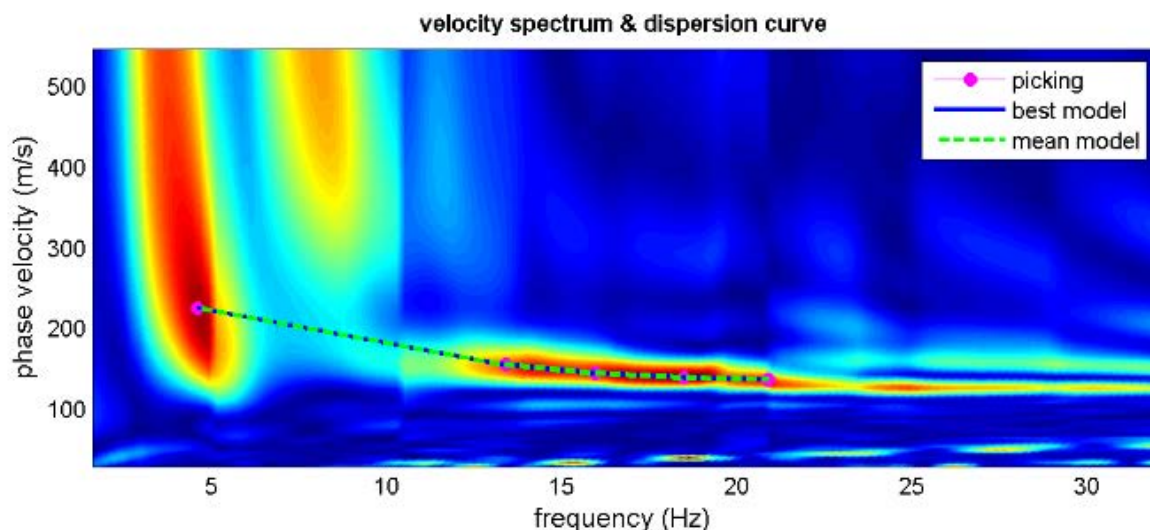
**Fig.3.1 - Curva HVSR che identifica un picco a 0.81 Hz per HVSR n.1 e a 0.91Hz per HVSR n. 2.**

#### 3.2.2 Indagine sismica attiva con metodo MASW

Per misurare le velocità delle onde di taglio si possono eseguire prospezioni sismiche mediante stendimenti superficiali, utilizzando geofoni verticali da 4,5 Hz ed acquisendo attivamente i segnali delle onde rifratte alla superficie mediante una sorgente artificialmente provocata. Questa tecnica, nota con la sigla **MASW** (Multichannel Analysis of Surface Waves), permette di ricostruire il profilo verticale delle Vs con procedimenti di modellazione diretta delle velocità di fase delle onde, rifratte alla superficie. Partendo dal sismogramma registrato mediante sorgente energizzante in asse con lo stendimento, viene eseguita un'analisi spettrale che ha consentito di elaborare un'immagine della distribuzione del segnale di velocità sismica in funzione delle diverse frequenze che lo compongono. Da tale elaborazione, tramite una fase di

Pag. 11

“picking” del segnale ad elevata intensità è stata ottenuta la “**curva di dispersione**”, dalla cui inversione è stato calcolato il **modello sismo-stratigrafico** espresso in termini di velocità delle onde di taglio ( $V_s$ ). I dati sono stati registrati mediante un sismografo *Geode Geometrics* 24 bit con filtri disinseriti, velocità di campionamento (sample rate) di 0.25 millisecondi e lunghezza delle acquisizioni di 2 secondi. Si effettuano battute poste ad offset diversi (10 m e 15 m di distanza dal primo geofono) mediante grave da 8,0 kg di massa. Il calcolo del profilo delle velocità delle onde di Rayleigh,  $V(\text{fase})/\text{freq.}$ , può essere convertito nel profilo  $V_s/\text{profondità}$ . Tale metodo non è univoco e quindi il modello che ne scaturisce è un modello teorico; per questo motivo è preferibile operare in presenza di dati di taratura (come nel caso specifico) onde ricavare il modello reale (Fig.3.2).

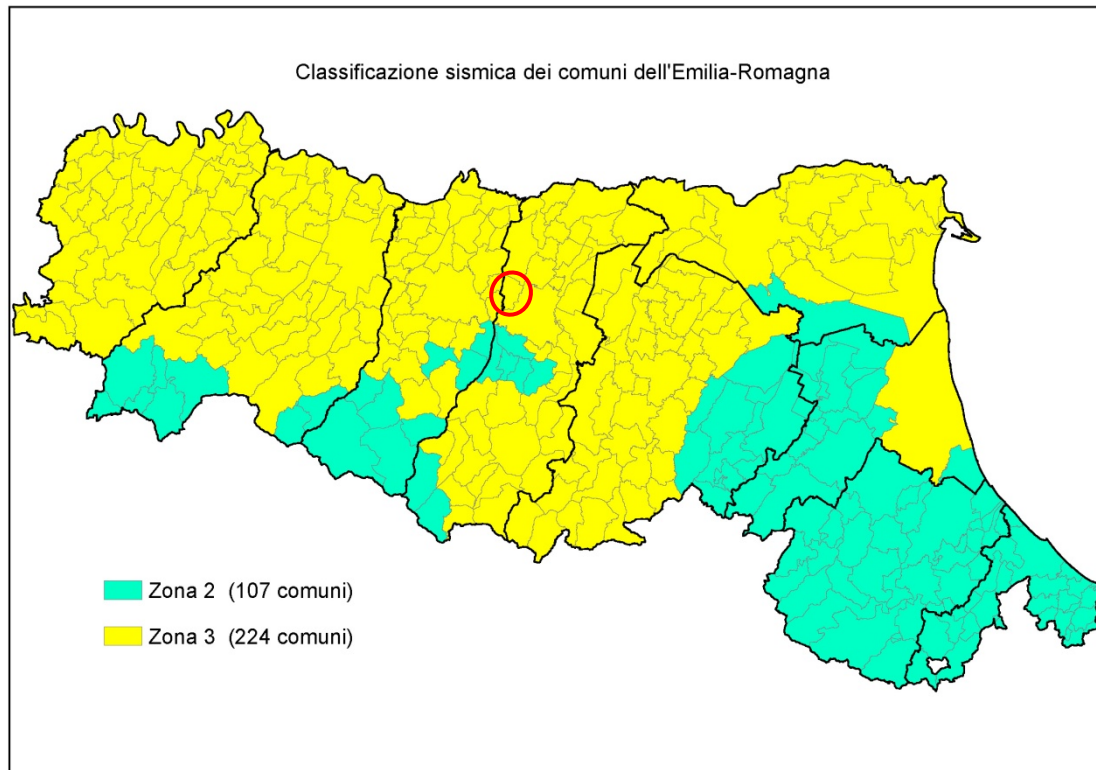


**Fig.3.2 - Curva di dispersione MASW.**

## 4 CARATTERIZZAZIONE SISMICA DEL SITO

### 4.1 Pericolosità sismica di base

Secondo la classificazione sismica del territorio nazionale proposta a partire dall'O.P.C.M. n. 3274/2003 e successive modifiche, il **Comune di Campogalliano (MO)** risulta appartenente alla **classe di sismicità 3** (Fig. 4.1).



**Fig.4.1 - Classificazione sismica e dei comuni della regione Emilia-Romagna a partire dall'O.P.C.M. n. 3274/2003 e successive modifiche (aggiornamento luglio 2018) e ubicazione del territorio comunale di Campogalliano (MO).**

La suddivisione del territorio nazionale in zone a diversa classe di sismicità, caratterizzate da un valore di accelerazione di picco ed un corrispondente spettro di risposta elastico da utilizzare nella progettazione, risulta in realtà superata dall'entrata in vigore del D.M. 14/01/2008. Sulla base dei contenuti delle NNTC 2008 e delle successive NTC 2018, per ogni costruzione deve essere definita un'accelerazione di riferimento propria, in funzione delle coordinate geografiche dell'area e della vita nominale dell'opera.

Per ciascuna area in oggetto, in relazione a un periodo di riferimento  $T_R$  stimato di 475 anni, è stato definito un parametro di accelerazione massima attesa  $a_g$  definita in condizioni di campo libero su sito di riferimento rigido e con superficie topografica orizzontale. L'accelerazione  $a_g$  rappresenta uno dei parametri principali che definisce la **pericolosità sismica di base**, insieme ai parametri  $F_0$  e  $T_c^*$  dello spettro di risposta elastico, desumibili nelle tabelle riportate sotto (Tab. 4.1).

**Stati limite**

Classe Edificio

II. Affollamento normale. Assenza di funz. pubbliche e sociali...

Vita Nominale 50

Interpolazione Media ponderata

**CU = 1**

Stato Limite	Tr [anni]	a <sub>g</sub> [g]	Fo	Tc [s]
Operatività (SLO)	30	0.047	2.475	0.252
Danno (SLD)	50	0.059	2.503	0.268
Salvaguardia vita (SLV)	475	0.162	2.458	0.282
Prevenzione collasso (SLC)	975	0.214	2.452	0.287
Periodo di riferimento per l'azione sismica:	50			

**Coefficienti sismici**

Tipo	Stabilità dei pendii e fondazioni			
<input type="checkbox"/> Muri di sostegno che non sono in grado di subire spostamenti.				
H (m) 1	us (m) 0.1			
Cat. Sottosuolo C				
Cat. Topografica T1				
	SLO	SLD	SLV	
SS Amplificazione stratigrafica	1,50	1,50	1,46	1,39
CC Coeff. funz categoria	1,65	1,62	1,59	1,58
ST Amplificazione topografica	1,00	1,00	1,00	1,00
<input type="checkbox"/> Acc.ne massima attesa al sito [m/s <sup>2</sup> ]	0.6			
	SLO	SLD	SLV	SLC
kh	0.014	0.018	0.057	0.083
kv	0.007	0.009	0.028	0.042
Amax [m/s <sup>2</sup> ]	0.696	0.866	2.320	2.911
Beta	0.200	0.200	0.240	0.280

**Tab.4.1 - Tabella riassuntiva dei parametri sismici del sito in esame secondo NTC18.**

## 4.2 Categoria di sottosuolo (§ 3.2.2 NTC2018)

Per determinare il parametro  $V_{30}$  e definire quindi la categoria di sottosuolo dell'area indagata (§ 3.2.2 NTC 2018) sono state eseguite in situ le indagini sismiche sopra descritte nel paragrafo precedente. Il valore di  $V_{30}$  si calcola attraverso la formula 3.2.1 delle NTC 2018:

$$V_{S,EQ} = \frac{H}{\sum_i \frac{h_i}{V_{SI}}}$$

dove H è la profondità del substrato, definito come quella formazione costituita da roccia o terreno molto rigido, caratterizzata da  $V_S$  non inferiore a 800 m/s.

Dall'elaborazione delle indagini sismiche MASW e HVSR si sono ottenuti i valori di  $V_{S,30}$  e di frequenza naturale del terreno  $f_0$  riportati nelle seguenti tabelle:

<b>MASW</b>	<b><math>V_{S30}</math></b>	<b>222 m/s</b>
-------------	-----------------------------	----------------

HVSR 1	<b><math>0.81 \pm 0.02</math> Hz</b>	RISPETTA I CRITERI SESAME
HVSR 2	<b><math>0.91 \pm 0.10</math> Hz</b>	RISPETTA I CRITERI SESAME

Pertanto, secondo la classificazione del sottosuolo imposta dal NTC 2018, si definisce il sottosuolo indagato come appartenente alla appartenente alla **categoria C**, corrispondente a

DEPOSITI DI TERRENI A GRANA GROSSA MEDIAMENTE ADDENSATI O TERRENI A GRANA FINA MEDIAMENTE CONSISTENTI CON PROFONDITÀ DEL SUBSTRATO SUPERIORI A 30 m, CARATTERIZZATI DA UN MIGLIORAMENTO DELLE PROPRIETÀ MECCANICHE CON LA PROFONDITÀ E DA VALORI DI VELOCITÀ EQUIVALENTE COMPRESI TRA **180 m/s** E **360 m/s**.

## 4.3 Azione sismica e risposta sismica del sito – Approccio semplificato

Per la definizione dell'azione sismica, sulla base di quanto previsto dalle NTC si può fare riferimento ad un approccio semplificato che **si basa sull'individuazione della categoria di sottosuolo e le condizioni topografiche del sito**, in funzione delle quali si definiscono l'entità dell'amplificazione stratigrafica e topografica. Sulla base delle NTC 2018, e tenendo conto dei dati ottenuti **dalle indagini geofisiche eseguite in situ**, si **classifica** il terreno di fondazione in oggetto, come appartenente alla **categoria C**.

Si ricava quindi il **fattore stratigrafico  $S_s$** , mediante la seguente relazione, valida suoli in classe C:

$$1.00 \leq S_s = 1.70 - (0.60 \cdot F_o \cdot a_g/g) \leq 1.50 \quad (4.1.1)$$

dove:

- $F_o$  = fattore che quantifica l'amplificazione spettrale massima, su sito di riferimento rigido orizzontale, ed ha valore minimo pari a 2.2;
- $a_g/g$  = accelerazione orizzontale del sito, con tempo di ritorno pari a **475 anni**/accelerazione di gravità;
- $S_s$  = coefficiente di amplificazione stratigrafica o fattore stratigrafico, calcolato tramite la relazione sopra riportata.

Successivamente, sulla base delle condizioni topografiche del sito studiato, si considera un valore di un fattore topografico  $S_T$  sulla base della seguente tabella:

Categoria topografica	Ubicazione opera/intervento	$S_T$
T1	Superficie pianeggiante, pendii e rilievi isolati con inclinazione media $\leq 15^\circ$	1.0
T2	Pendii con inclinazione media $> 15^\circ$	1.2
T3	Rilievi con larghezza in cresta molto minore che alla base e inclinazione media $15^\circ \leq i \leq 30^\circ$	1.2
T4	Rilievi con larghezza in cresta molto minore che alla base e inclinazione media $> 30^\circ$	1.4

Per l'area studiata si riportano in tabella i parametri della pericolosità di base.

PARAMETRI PERICOLOSITÀ DI BASE					
Tr (anni)	$a_g(g)$	$F_o$	$T_c^*(s)$	$S_s$	$S_T$
475	0.162	2.458	0.282	1.46	1.00

Si calcola infine per ciascuna area l'accelerazione massima orizzontale  $A_{max}$  con la seguente formula:

$$A_{max} = S_s \cdot S_T \cdot a_g = 1.46 \cdot 1.0 \cdot 0.162 = 0.236g$$

## 5 MODELLAZIONE GEOLOGICA E GEOTECNICA DEL SITO

### 5.1 Caratteristiche litostratigrafiche del terreno

L'interpretazione congiunta dei risultati ottenuti dalla campagna di indagini geofisiche e geotecniche eseguite in situ ha permesso di ricostruire la stratigrafia del sottosuolo del sito in studio.

Dalle indagini geotecniche CPT e CPTu è stato possibile ricavare i parametri geotecnici del terreno nei primi 20.00 m di profondità. Le prove evidenziano la prevalenza di terreni coesivi, con occasionali livelli di sabbia.

Dall'elaborazione delle prove penetrometriche è possibile individuare le seguenti unità litostratigrafiche:

**Unità 1:** Depositi argillosi a media consistenza, aventi valori di coesione non drenata Cu compresi tra a 50 e 60 kN/m<sup>2</sup> e valori di Vs30 pari a 150 m/s. Spessore variabile da 3.00 a 6.00 m.

**Unità 2:** Le prove CPT - CPTu n. 2 e 3 sono caratterizzate da depositi prevalentemente coesivi argillosi e limosi a media scarsa consistenza, aventi valori di coesione non drenata Cu pari a 45 kN/m<sup>2</sup>, spessore indicativo 7.00 m. Diversamente, nelle prove CPT e CPTu n. 1 sono presenti depositi sabbiosi o sabbiosi limosi mediamente addensati, aventi una Dr pari a 40%. Spessore indicativo pari a 3.00 m. Valori di Vs30 pari a 200 m/s.

**Unità 3:** Depositi argillosi a media e media elevata consistenza, aventi valori di coesione non drenata Cu compresi tra a 55 e 70 kN/m<sup>2</sup> e valori di Vs30 pari a 200 m/s. Spessore indicativo 3.00 m.

**Unità 4:** Depositi argillosi a elevata consistenza, aventi valori di coesione non drenata Cu compresi tra a 90 e 100 kN/m<sup>2</sup> e valori di Vs30 pari a 240 m/s. Da – 13.00 m di profondità.

Al termine delle prove penetrometriche, in data 11-12/06/2020 è stato misurato il livello della falda freatica pari a – 1.70 m da p.c..

Di seguito si riportano le stratigrafie ottenute dall'elaborazione delle prove penetrometriche CPTu (Fig. 5.1, 5.2 e 5.3).

Project: STUDIO DEL TERRENO DI FONDAZIONE  
 Location: CAMPOGALLIANO\_MODENA TERMINAL

CPT: CPTU1

Total depth: 20.14 m, Date: 12/06/2020

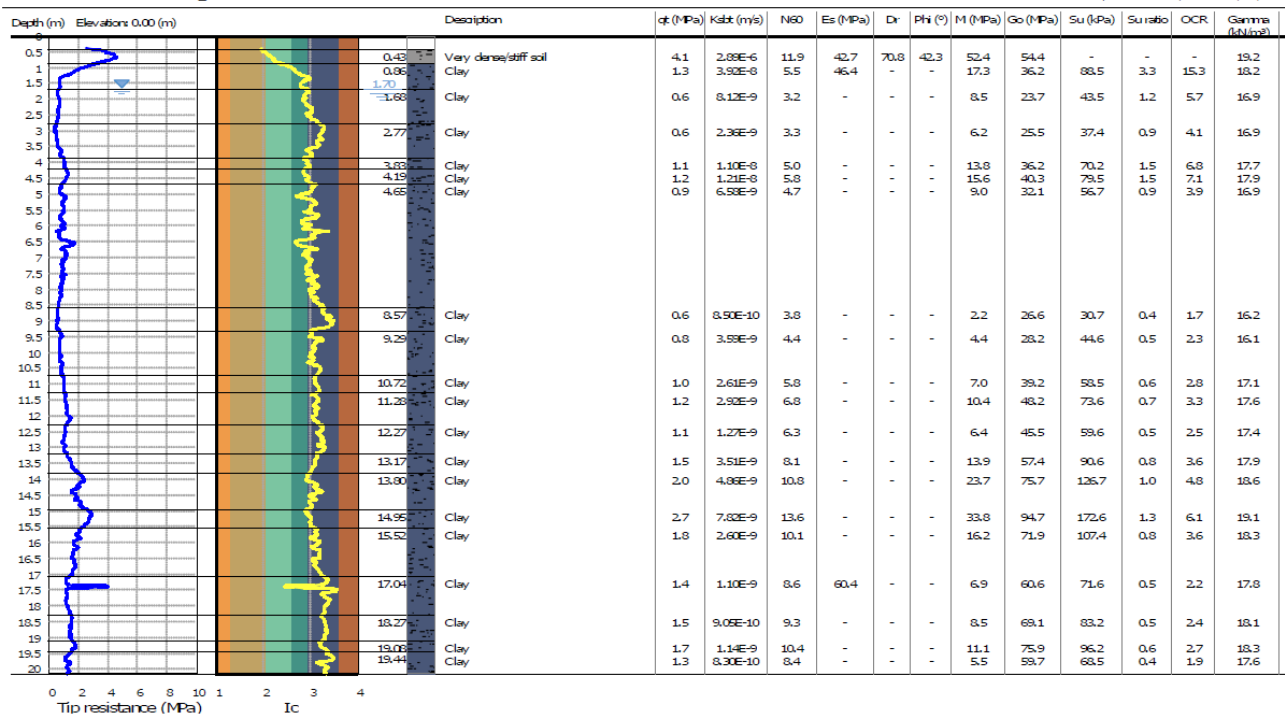


Fig.5.1 – Stratigrafia CPTu1.

Project: STUDIO DEL TERRENO DI FONDAZIONE  
 Location: CAMPOGALLIANO\_MODENA TERMINAL

CPT: CPTU2

Total depth: 20.11 m, Date: 12/06/2020

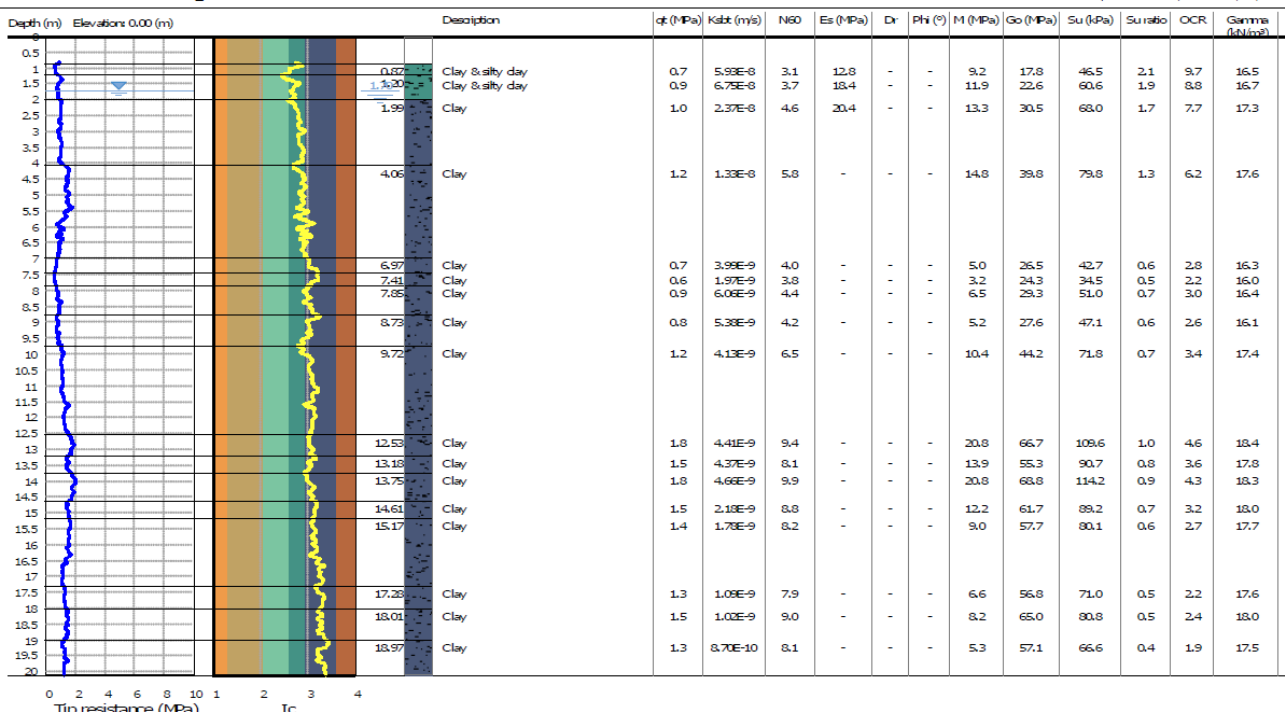


Fig.5.2 – Stratigrafia CPTu2.

Project: STUDIO DEL TERRENO DI FONDAMENTO  
 Location: CAMPOGALLIANO\_MODENA TERMINAL

CPT: CPTU3

Total depth: 20.32 m, Date: 18/06/2020

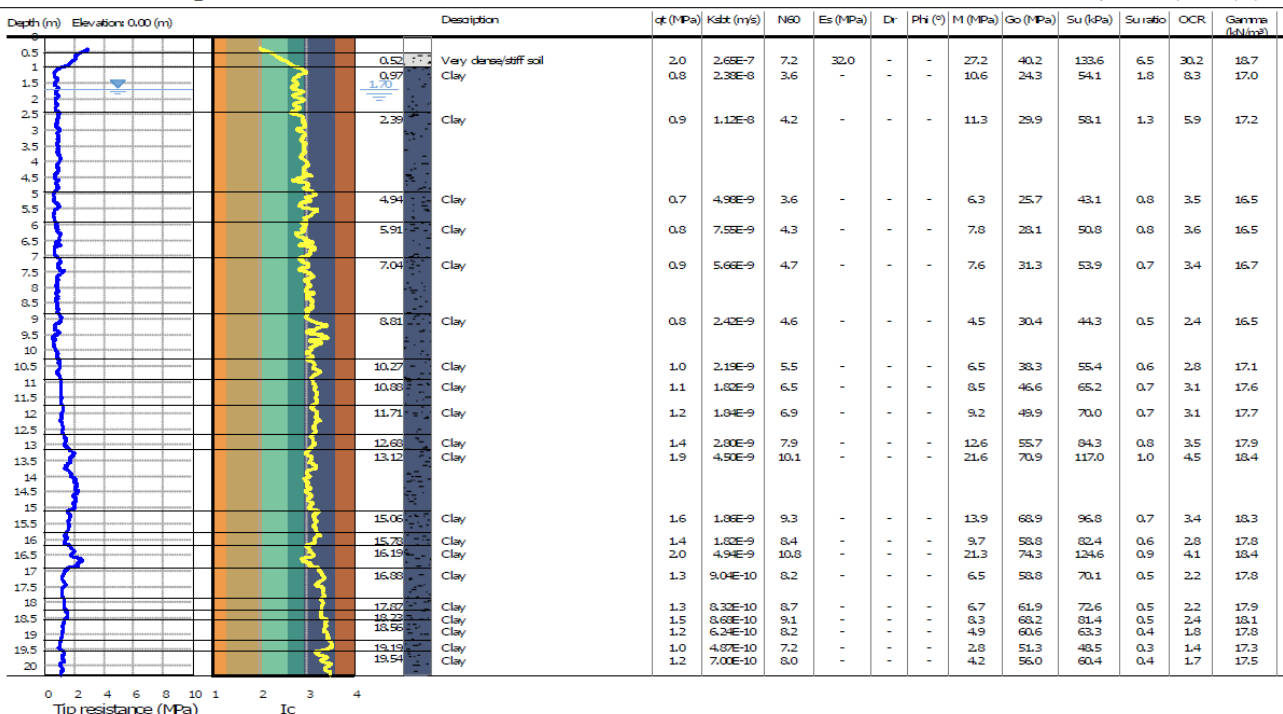


Fig.5.3 – Stratigrafia CPTu3.

La misura sismica passiva a stazione singola ha permesso di indagare il sottosuolo oltre la profondità raggiunta dalle indagini geotecniche. Dalla modellazione e dall'interpretazione della curva HVSR si è individuata una frequenza di risonanza del terreno a 0.81 Hz (§ 3.2.1 della presente relazione), plausibilmente rappresentativa di un substrato alterato.

In generale si può osservare che l'area indagata risulta discretamente omogenea dal punto di vista litostratigrafico e geotecnico.

## 5.2 Modello geotecnico del sottosuolo

Il modello geotecnico è finalizzato a fornire tutti i dati geotecnici necessari l'intervento in oggetto. Sulla base dei dati emersi dalle elaborazioni geotecniche e litostratigrafiche delle indagini geotecniche eseguite in sito e in relazione all'intervento in progetto, si possono riassumere i seguenti modelli geotecnici schematici del terreno investigato:

### Parametri di resistenza e deformabilità:

### MODELLO GEOTECNICO PER L'AMPLIAMENTO DEL FABBRICATO ottenuto dall'elaborazione delle prove CPT2- CPTU2

Strato	Profondità	falda	Litotipo	Parametri geotecnici		
<b>RIPORTO – SUOLETTA DI CEMENTO</b>						
<b>1</b>	0.90 – 5.80 m da p.c.	– 1.70 m da p.c.	Argilla o argilla limosa a media consistenza Unità 1	$\gamma$	1800 kg/m <sup>3</sup> ≈ 18.00 kN/m <sup>3</sup>	
				$\gamma'$	2100 kg/m <sup>3</sup> ≈ 21.00 kN/m <sup>3</sup>	
				$C_{uk}$	0.60 kg/cm <sup>2</sup> ≈ 60.0 kN/m <sup>2</sup>	
				$C'_k$	0.06 kg/cm <sup>2</sup> ≈ 6.0 kN/m <sup>2</sup>	
			Sabbia o sabbia limosa mediamente addensata Unità 2	$M_0$	46.0 kg/cm <sup>2</sup> ≈ 4600 kN/m <sup>2</sup>	
				$E$	84.0 kg/cm <sup>2</sup> ≈ 8400 kN/m <sup>2</sup>	
				$v$	0.40	
				$\phi_k$	23°	
<b>2</b>	5.80 – 8.20 m da p.c.			$\gamma$	1800 kg/m <sup>3</sup> ≈ 18.00 kN/m <sup>3</sup>	
				$\gamma'$	2100 kg/m <sup>3</sup> ≈ 21.00 kN/m <sup>3</sup>	
				$Dr$	40%	
				$E$	107.0 kg/cm <sup>2</sup> ≈ 10700 kN/m <sup>2</sup>	
		Argilla o argilla limosa a media consistenza Unità 3	$v$	0.38		
			$\phi_k$	29°		
			$\gamma$	1800 kg/m <sup>3</sup> ≈ 18.00 kN/m <sup>3</sup>		
			$\gamma'$	2100 kg/m <sup>3</sup> ≈ 21.00 kN/m <sup>3</sup>		
<b>3</b>	8.20 – 13.20 m da p.c.				$C_{uk}$	0.55 kg/cm <sup>2</sup> ≈ 55.0 kN/m <sup>2</sup>
					$C'_k$	0.055 kg/cm <sup>2</sup> ≈ 5.5 kN/m <sup>2</sup>
					$M_0$	42.0 kg/cm <sup>2</sup> ≈ 4200 kN/m <sup>2</sup>
					$E$	77.0 kg/cm <sup>2</sup> ≈ 7700 kN/m <sup>2</sup>
		Argilla o argilla limosa a elevata consistenza Unità 4	$v$	0.40		
			$\phi_k$	23°		
			$\gamma$	1850 kg/m <sup>3</sup> ≈ 18.50 kN/m <sup>3</sup>		
			$\gamma'$	2150 kg/m <sup>3</sup> ≈ 21.50 kN/m <sup>3</sup>		
<b>4</b>	13.20 – 20.00 m da p.c.				$C_{uk}$	1.00 kg/cm <sup>2</sup> ≈ 100.0 kN/m <sup>2</sup>
					$C'_k$	0.10 kg/cm <sup>2</sup> ≈ 10.0 kN/m <sup>2</sup>
					$M_0$	85.0 kg/cm <sup>2</sup> ≈ 8500 kN/m <sup>2</sup>
					$E$	140.0 kg/cm <sup>2</sup> ≈ 14000 kN/m <sup>2</sup>
					$v$	0.35
					$\phi_k$	25°
Legenda			$\gamma$ = peso specifico terreno naturale			
			$\gamma'$ = peso specifico terreno saturo			
			$C_{uk}$ = coesione non drenata caratteristica			
			$C'_k$ = coesione efficace caratteristica			
			$M_{0k}$ = modulo di deformazione edometrico caratteristico			

	<b>E<sub>s</sub></b>	=	modulo elastico
	<b>ϕ<sub>k</sub></b>	=	angolo d'attrito caratteristico
	<b>D<sub>r</sub></b>	=	densità relativa
	<b>v</b>	=	coefficiente di Poisson

### 5.3 Stabilità nei confronti della liquefazione (§ A2.2. DGR 630/2019)

In accordo con la normativa regionale DGR 630/19 si è proceduto alla verifica della liquefazione per le verticali di prova CPTu1 – CPTu2 – CPTu3.

La valutazione del fenomeno della liquefazione viene svolta attraverso il calcolo del fattore di sicurezza di ciascun livello che compone il sottosuolo analizzato nei confronti del fenomeno stesso. Il fattore di sicurezza è derivato secondo la seguente formulazione:

$$F_L(z) = \frac{CRR_{M=7.5; \sigma'_v=1atm}}{CSR} \cdot MSF \cdot K_\sigma$$

Dove:

**CRR** è rappresentato dal rapporto di resistenza ciclica

**MSF** rappresenta il fattore di scala della magnitudo che è funzione della magnitudo stessa, della PGA e del valore di CRR

**K<sub>σ</sub>** è il fattore di correzione che tiene conto della pressione efficace alla profondità a cui la resistenza viene valutata

**CSR** è il rapporto di tensione ciclica, ovvero la tensione di taglio indotta dall'azione sismica, normalizzata rispetto alla tensione verticale efficace. Tale parametro è derivabile secondo la seguente formulazione:

$$CSR = \frac{\tau_{media}}{\sigma_{v0}} = 0.65 \cdot \frac{a_{max}}{g} \cdot \frac{\sigma_{v0}}{\sigma_{v0}} \cdot r_d$$

I termini che compongono la seguente relazione sono rappresentati da  $a_{max}/g$  che descrive il valore dell'accelerazione orizzontale a  $T = 0.00$  s, il rapporto della tensione litostatica totale ed efficace, e il coefficiente riduttivo  $r_d$ . Quest'ultimo, in accordo con la predetta normativa è stato stimato secondo la seguente formulazione:

$$r_d = \exp[\alpha(z) + \beta(z) \cdot M]$$

$$\alpha(z) = -1.012 - 1.126 \cdot \text{sen}\left(\frac{z}{11.73} + 5.133\right)$$

$$\beta(z) = 0.106 + 0.118 \cdot \text{sen}\left(\frac{z}{11.28} + 5.142\right)$$

dove M rappresenta il valore di magnitudo di riferimento per il sito in analisi.

Il valore **CRR** è stato ricavato attraverso la metodologia di calcolo proposta da **Boulanger&Idriss 2014**. Per le specifiche della procedura di calcolo adottata si faccia riferimento all'allegato **A2.2** della DGR 630/2019 della Regione Emilia Romagna. L'analisi di liquefazione è stata eseguita entro i -20.00 m rispetto al piano campagna come prescritto dalla normativa di riferimento.

Le verifiche sono state svolte considerando una magnitudo di riferimento **M = 6.14** (derivante dalla zonazione sismogenetica) e una accelerazione massima al suolo **A<sub>max</sub> = 0.236g**, approssimata a **0.24g** (NTC18).

A seguito dell'identificazione del fattore di sicurezza  $F_L$  è stato determinato l'indice potenziale di liquefazione IL (LPI) attraverso il quale è possibile definire l'esposizione del sito al rischio di liquefazione. Il potenziale di liquefazione LPI è stato determinato secondo la seguente formulazione:

$$I_L = \int_0^{z_{crit}} F(z) \cdot w(z) \cdot dz \quad \text{in cui} \quad w(z) = \frac{200}{z_{crit}} \cdot \left(1 - \frac{z}{z_{crit}}\right)$$

Dove  $F(z)$  viene determinato secondo le formulazioni proposte da Somnez (2003)

$F(z) = 0$	per $F_L \geq 1.2$
$F(z) = 2 \cdot 10^6 \cdot \exp(-18.427 \cdot F_L)$	per $1.2 > F_L \geq 0.95$
$F(z) = 1 - F_L$	per $F_L \leq 0.95$

In base al valore di LPI ottenuto è possibile fornire un'indicazione del rischio di liquefazione. In considerazione delle linee guida emesse dalla Regione Emilia Romagna, a seguito degli eventi sismici di Maggio e Giugno 2012, si considera la classificazione di rischio definita da **Somnez 2003**:

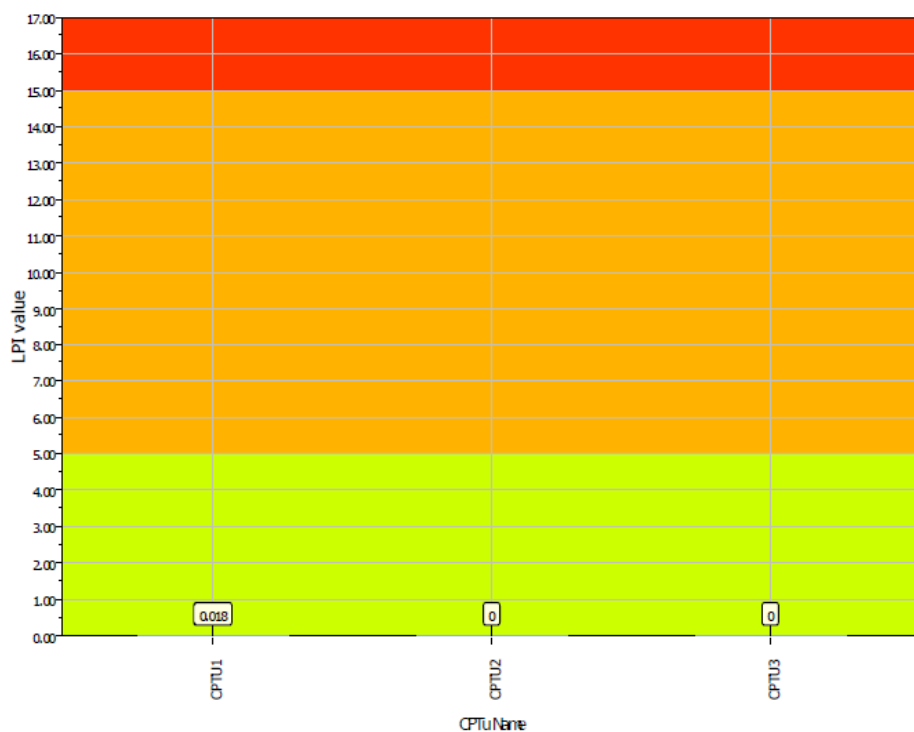
INDICE DI LIQUEFAZIONE	Rischio di liquefazione
LPI=0	Nullo
0<LPI≤2	Basso
2<LPI≤5	Moderato
5<LPI≤10	Alto
15>LPI	Molto alto

Si illustra successivamente il valore di LPI derivato dalle verticali di prova CPTu1, CPTu2 e CPTu3, considerando un'accelerazione massima al suolo **A<sub>max</sub> = 0.236g**, approssimata a **0.24g** (NTC18), la soggiacenza **della falda freatica è stata considerata alla profondità Dw= -1.70 m (in data 11-12/06/2020)** e una magnitudo di riferimento pari a **M=6.14**.

A seguito della verifica, si sono ottenuti i seguenti valori di LPI (Fig. 5.4):

INDAGINE	INDICE DI LIQUEFAZIONE	RISCHIO
CPTu1	0.018	BASSO
CPTu2	0	NULLO
CPTu3	0	NULLO

### Overall Liquefaction Potential Index report



#### LPI color scheme

- █ Very high risk
- █ High risk
- █ Low risk

#### Basic statistics

Total CPT number: 3

100.00% low risk

0.00% high risk

0.00% very high risk

**Fig.5.4 – Valori di LPI ottenuti dalle prove CPTu.**

## 6 CONSIDERAZIONI CONCLUSIVE

Il presente elaborato riassume e illustra le caratteristiche geologico-stratigrafiche, geotecniche e sismiche relative al volume significativo di sottosuolo indagato a supporto del progetto di ipotesi di ampliamento del fabbricato industriale esistente, sito in via Italia, nel Comune di Campogalliano (Mo).

Sulla base dei dati emersi dalle indagini geotecniche eseguite (§ 3.1), si fornisce per il terreno di fondazione indagato, il modello geotecnico medio riportato nel § 5.1 della presente relazione.

In ottemperanza della normativa tecnica nazionale (NTC 2018) e in accordo con i risultati ottenuti a seguito delle indagini geofisiche espletate per il sito in oggetto è possibile classificare il terreno di fondazione come appartenente alla **categoria C**, depositi di terreni a grana grossa mediamente addensati o a terreni a grana fina mediamente consistenti con profondità del substrato superiori a 30 m, caratterizzati da un miglioramento delle proprietà meccaniche con la profondità e da valori di velocità equivalentemente compresi tra **180 m/s e 360 m/s**.

Per la definizione dell'azione sismica, è stato utilizzato l'approccio semplificato delle NTC 2018. i sono ottenuti i seguenti risultati:

Approccio semplificato NTC18		
ag	FA	Amax
0.162	1.46	0.236

È stata eseguita la verifica della suscettibilità al fenomeno della liquefazione sulla base delle prove penetrometriche CPTu eseguite in situ, considerando una accelerazione massima al suolo **A<sub>max</sub> = 0.236g** (calcolata secondo l'approccio semplificato NTC18), la soggiacenza della falda freatica alla profondità **Dw= -1.70 m da p.c.** (in data 11-12/06/2020), e una **magnitudo di riferimento** pari a **M=6.14**. Dall'analisi della suscettibilità nei confronti del fenomeno della liquefazione così eseguita si è ottenuto un valore di LPI corrispondente a un **rischio di liquefazione basso e nullo** (§ 5.3).

A disposizione per ulteriori chiarimenti, cogliamo l'occasione per porgere cordiali saluti.

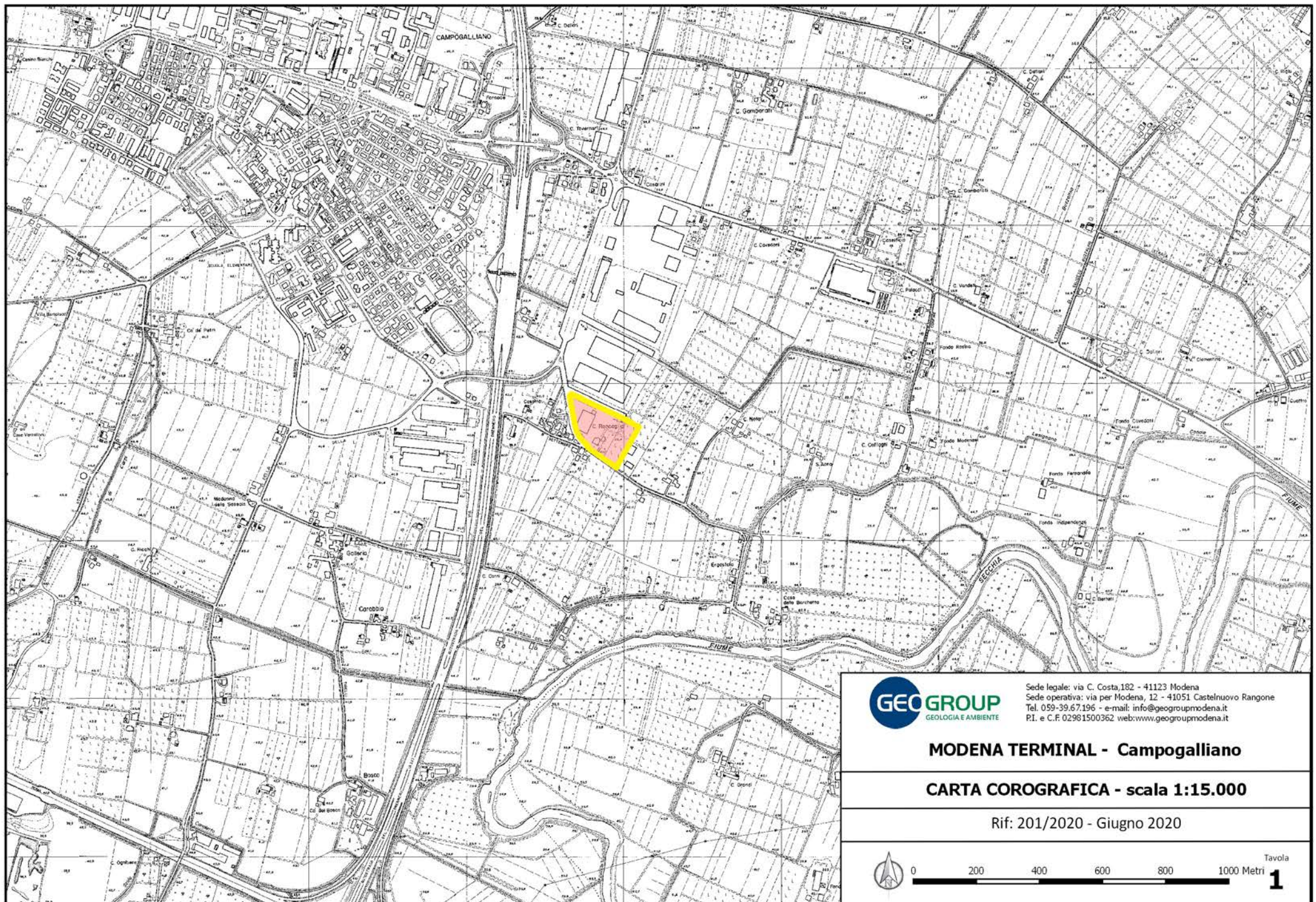
Modena, 20 maggio 2021

Dott. Geol. Pier Luigi Dallari



Pag. 24

# TAVOLE



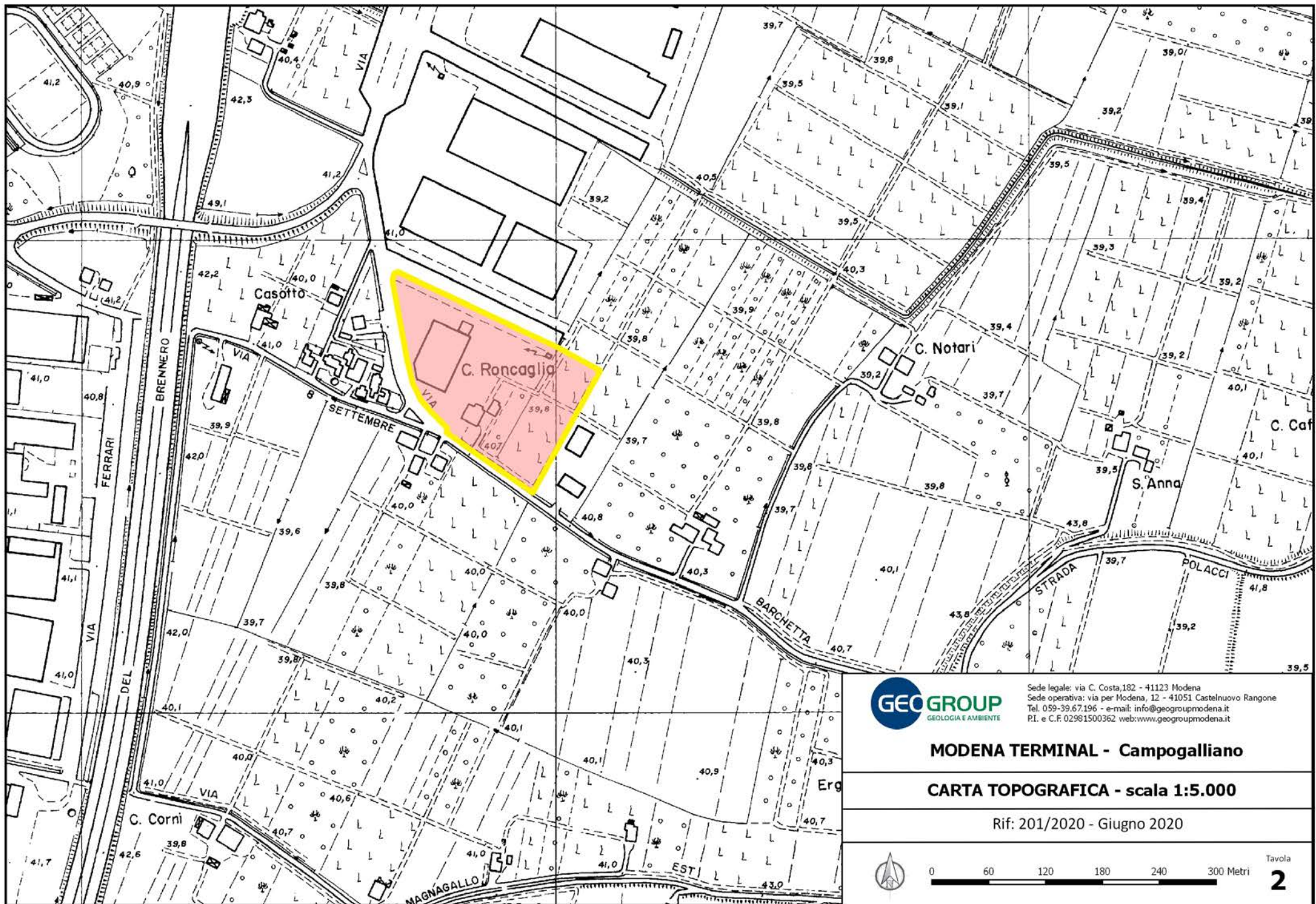
Sede legale: via C. Costa, 182 - 41123 Modena  
Sede operativa: via per Modena, 12 - 41051 Castelnuovo Rangone  
Tel. 059-39.67196 - e-mail: info@geogroupmodena.it  
P.I. e C.F. 02961500362 web: www.geogroupmodena.it

### MODENA TERMINAL - Campogalliano

CARTA COROGRAFICA - scala 1:15.000

Rif: 201/2020 - Giugno 2020





Sede legale: via C. Costa, 182 - 41123 Modena  
Sede operativa: via per Modena, 12 - 41051 Castelnuovo Rangone  
Tel. 059-39.67196 - e-mail: info@geogroupmodena.it  
P.I. e C.F. 02961500362 web:www.geogroupmodena.it

### MODENA TERMINAL - Campogalliano

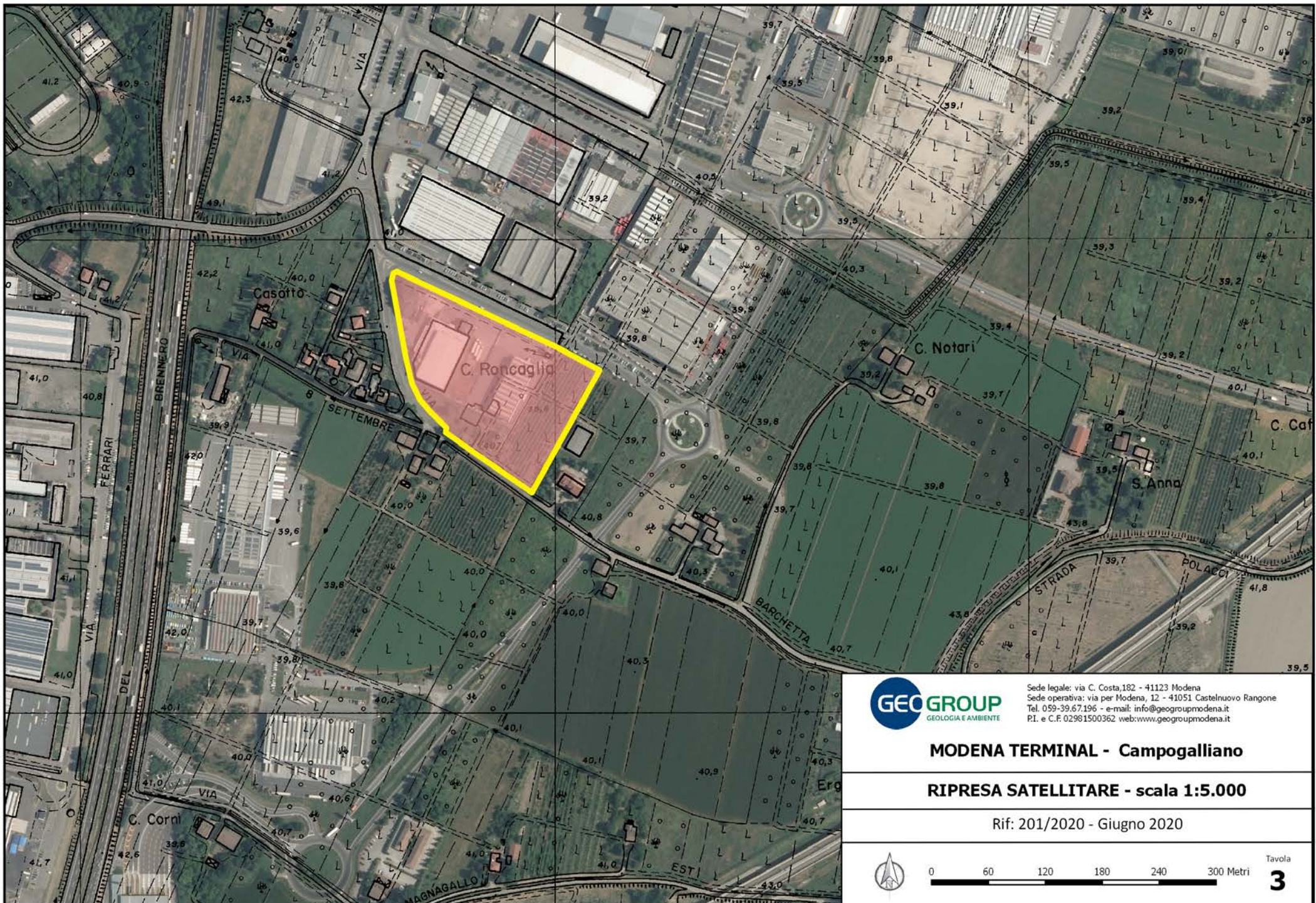
### CARTA TOPOGRAFICA - scala 1:5.000

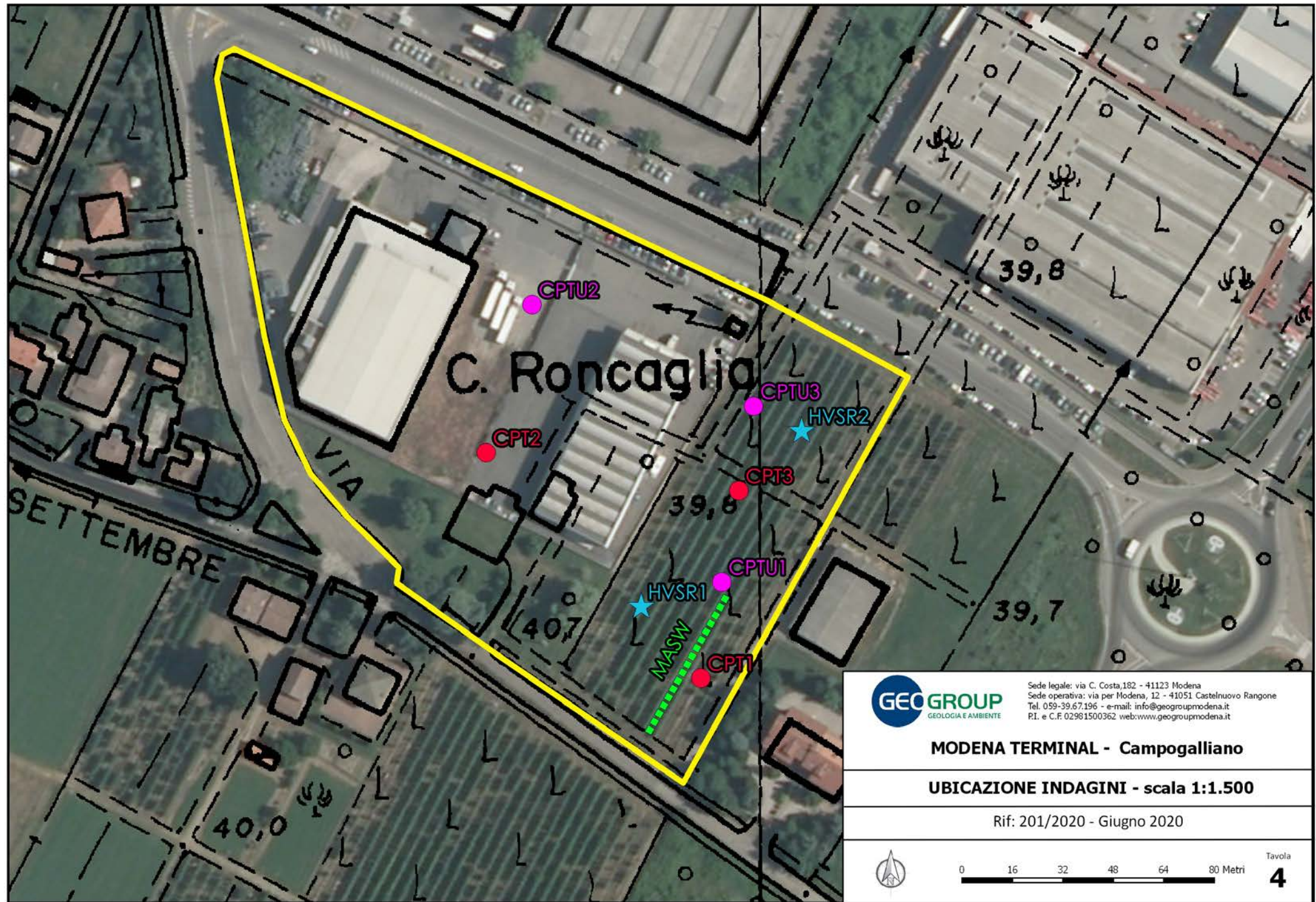
Rif: 201/2020 - Giugno 2020



0 60 120 180 240 300 Metri

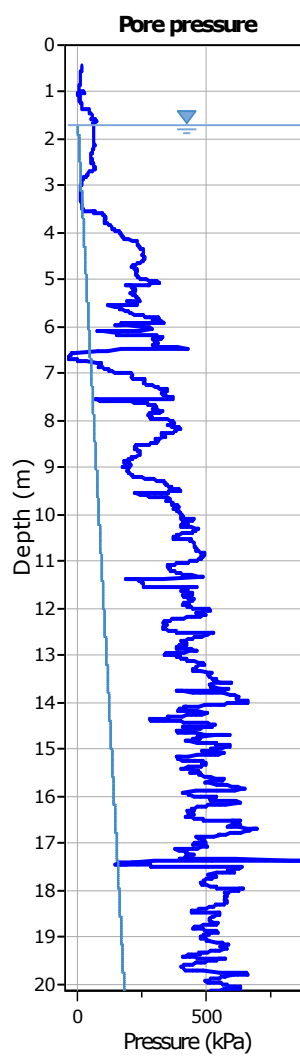
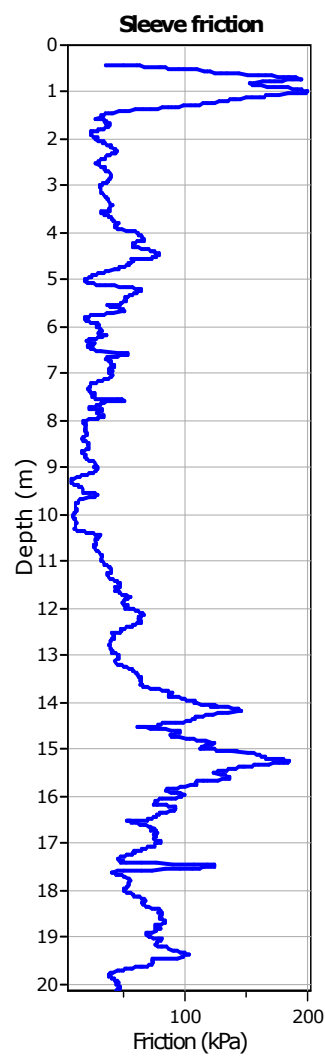
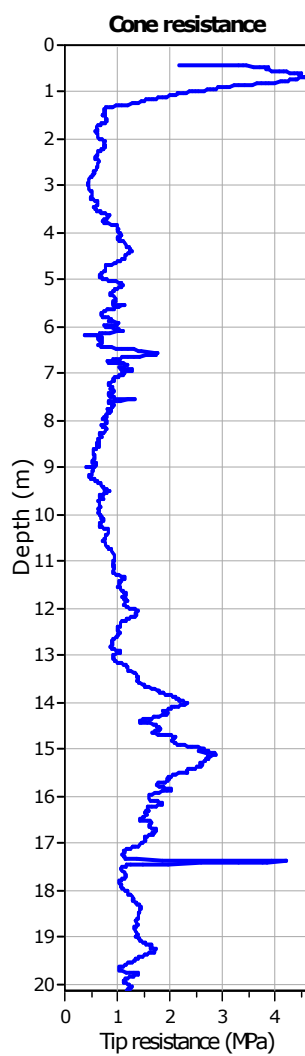
Tavola  
2



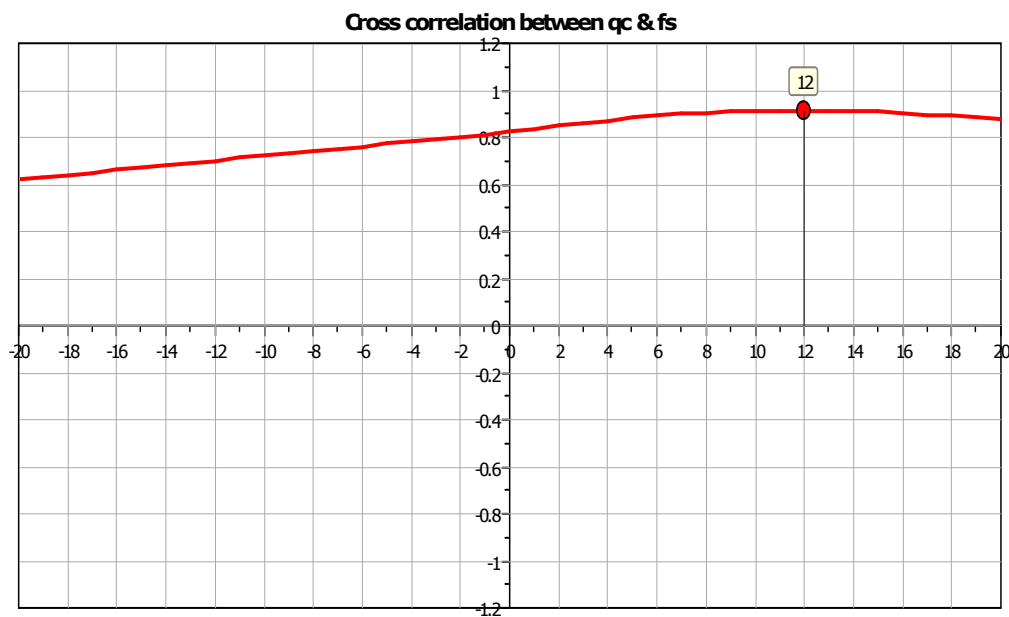


# **ALLEGATO 1**

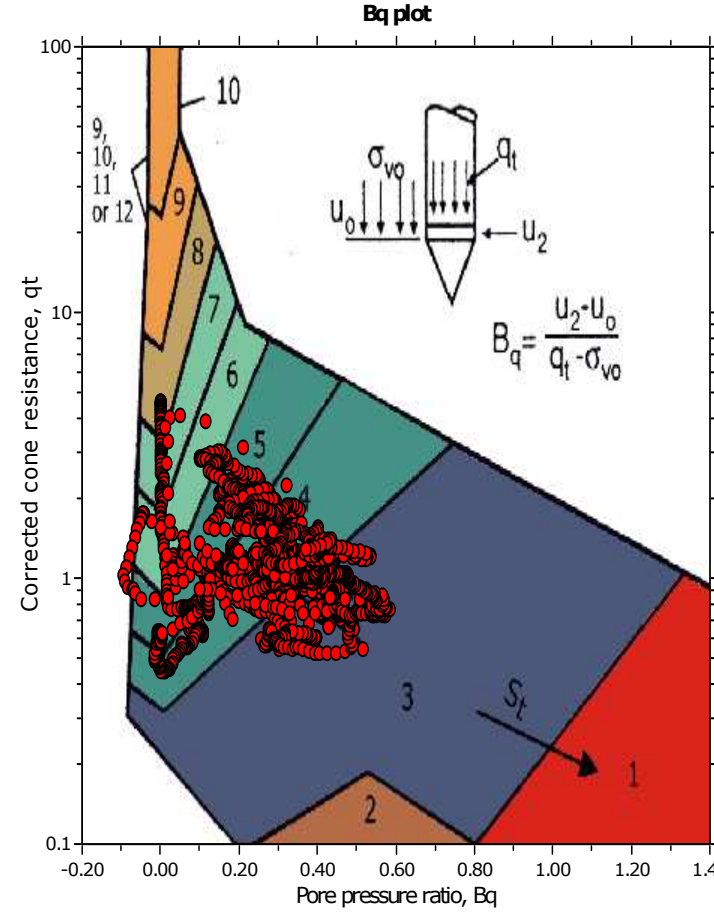
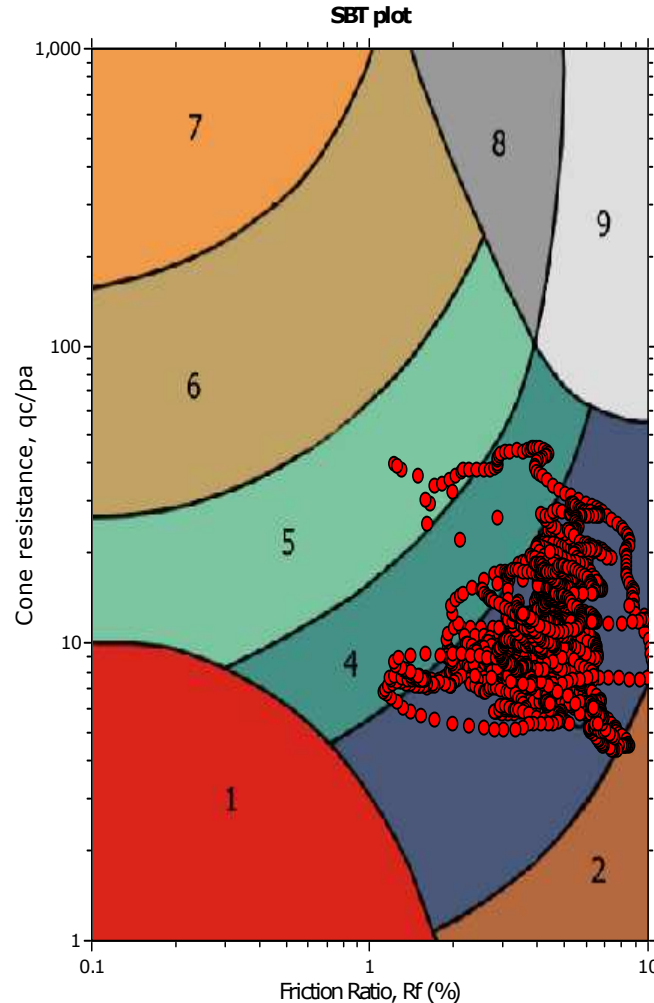
## PROVE PENETROMETRICHE CPTU



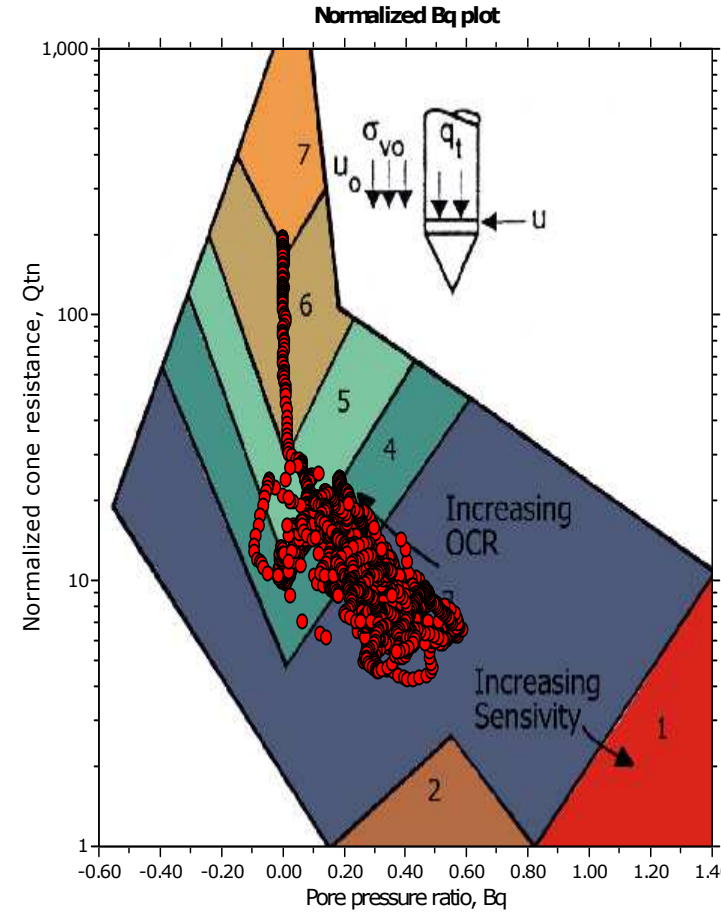
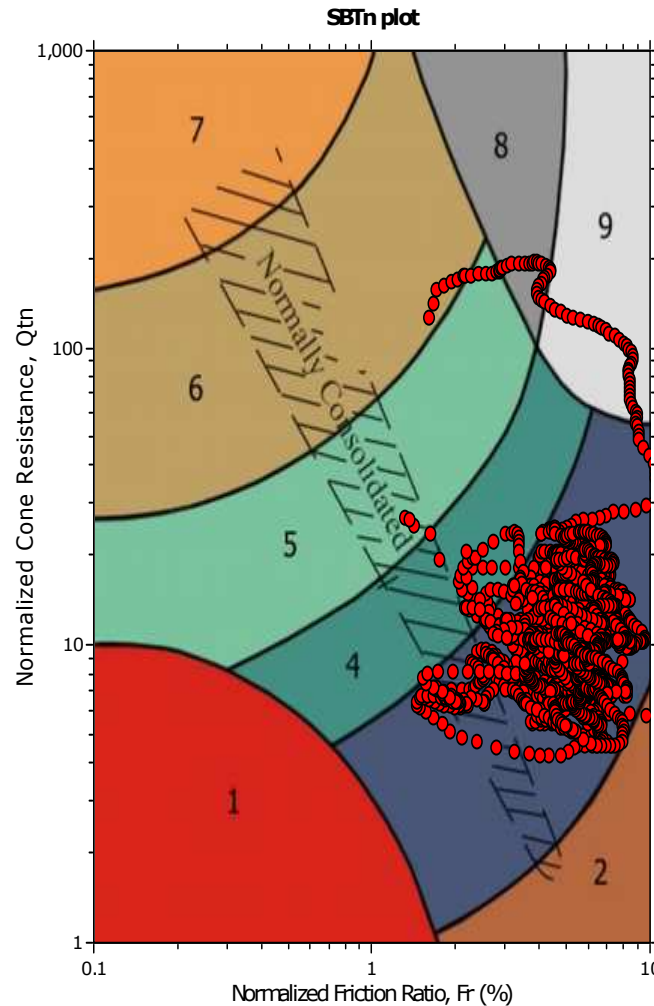
The plot below presents the cross correlation coefficient between the raw qc and fs values (as measured on the field). X axes presents the lag distance (one lag is the distance between two successive CPT measurements).



## SBT - Bq plots

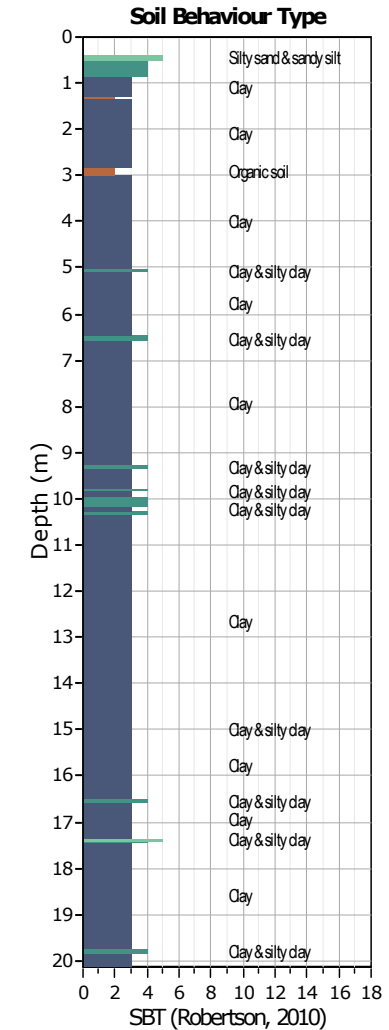
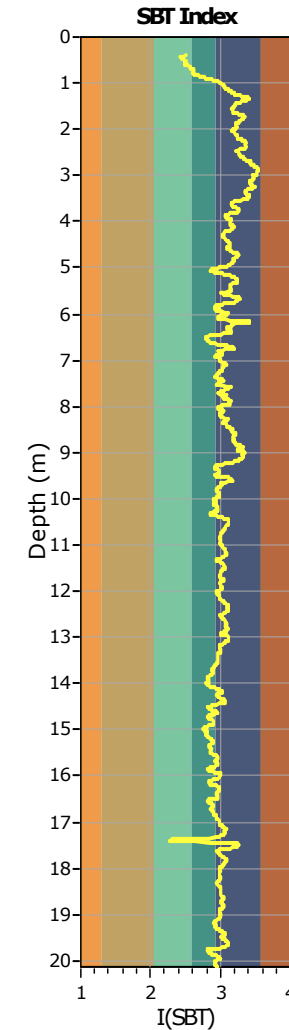
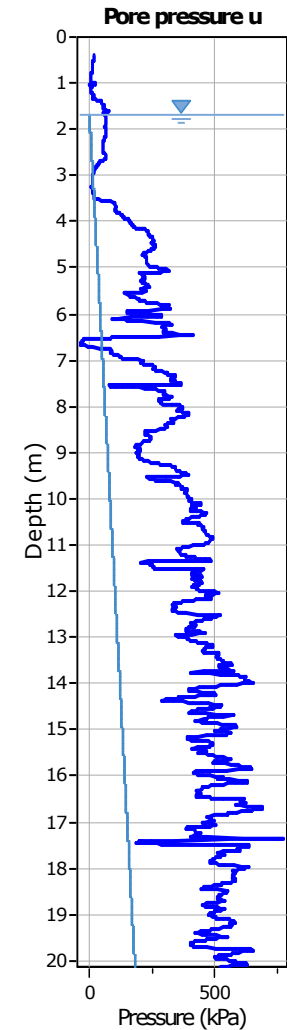
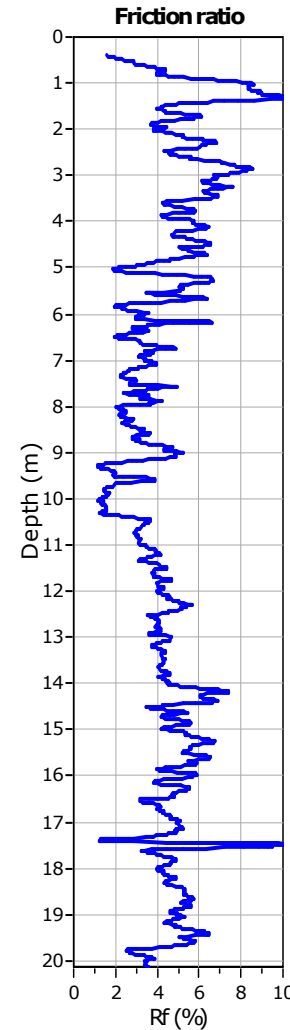
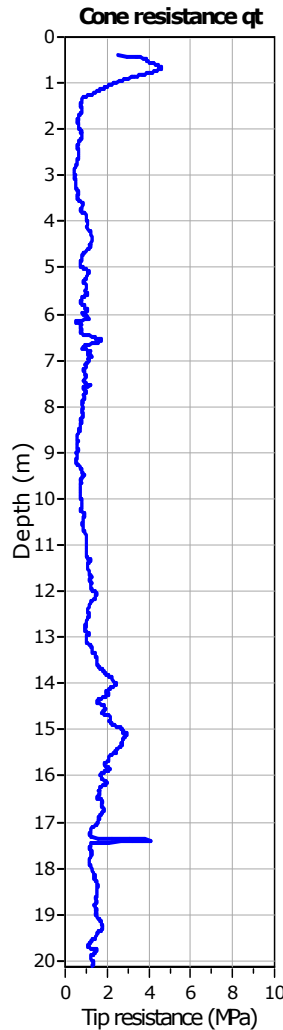


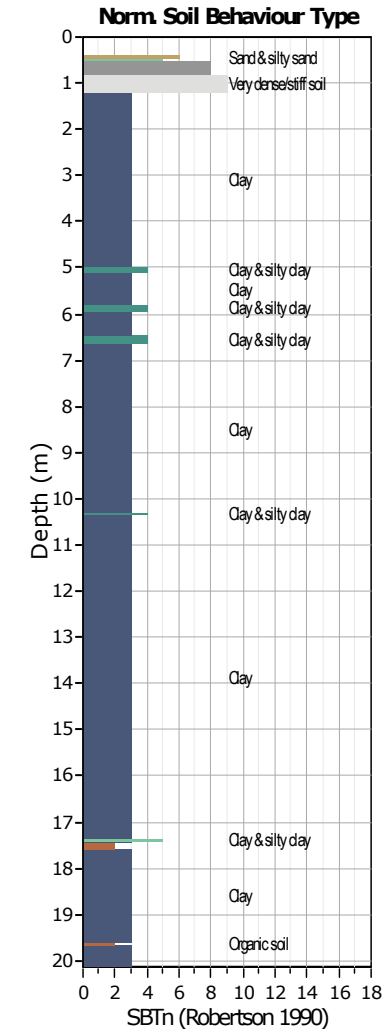
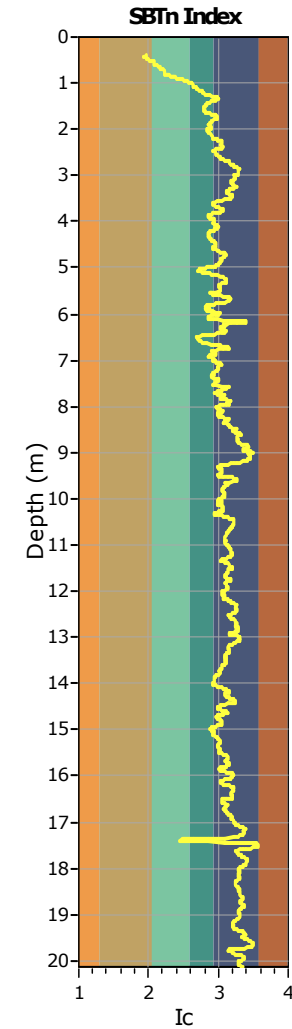
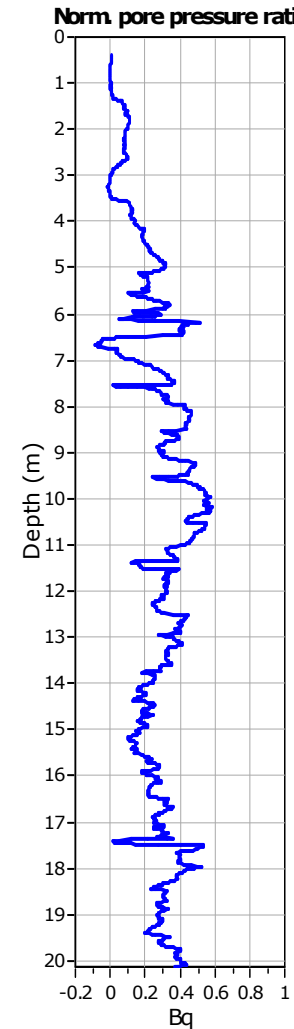
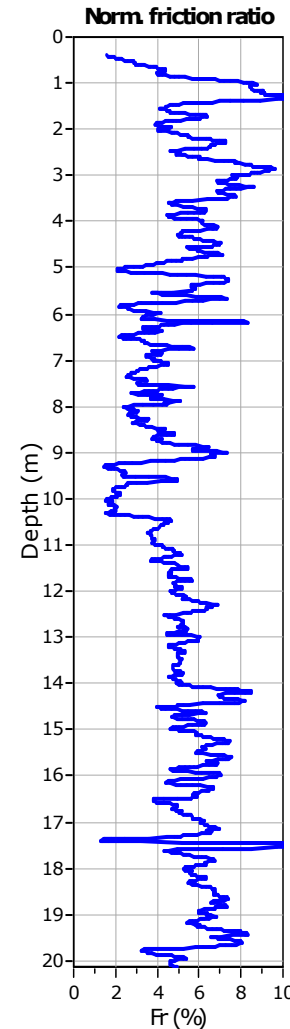
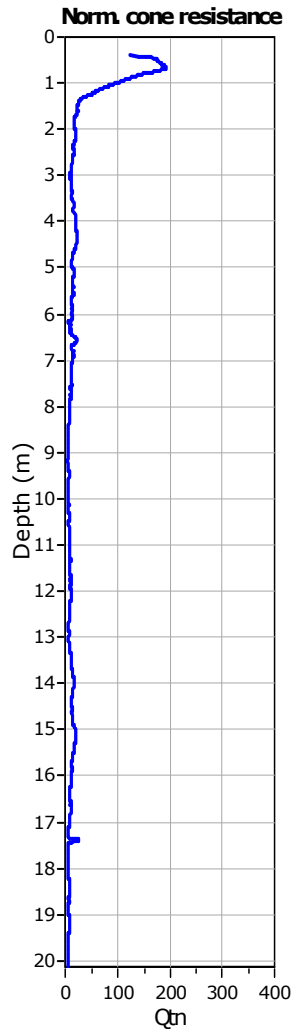
### SBT - Bq plots (normalized)

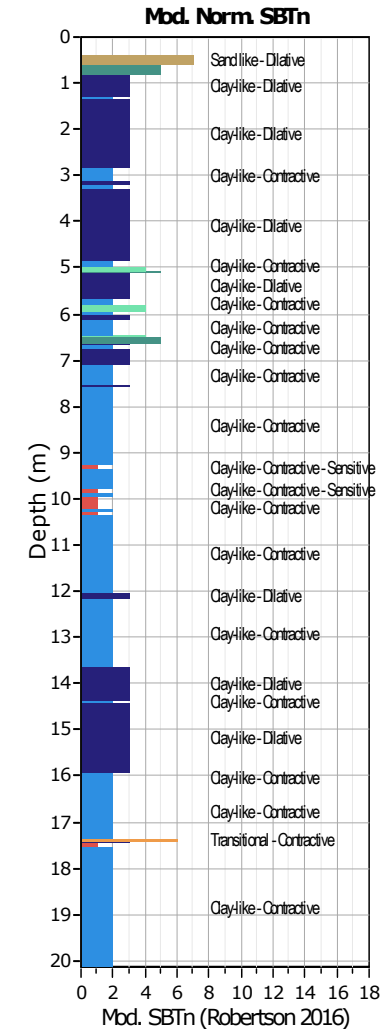
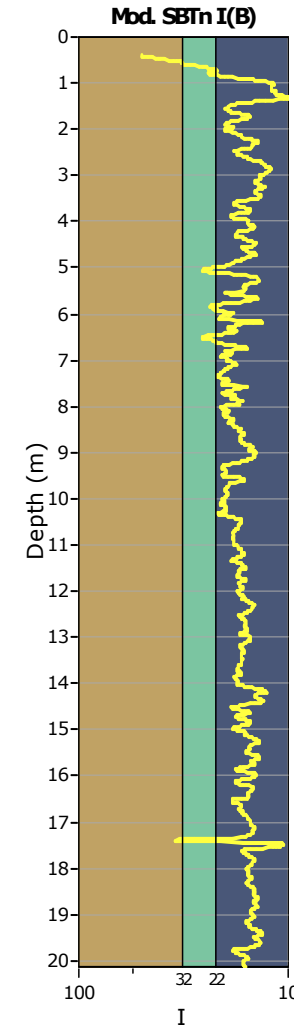
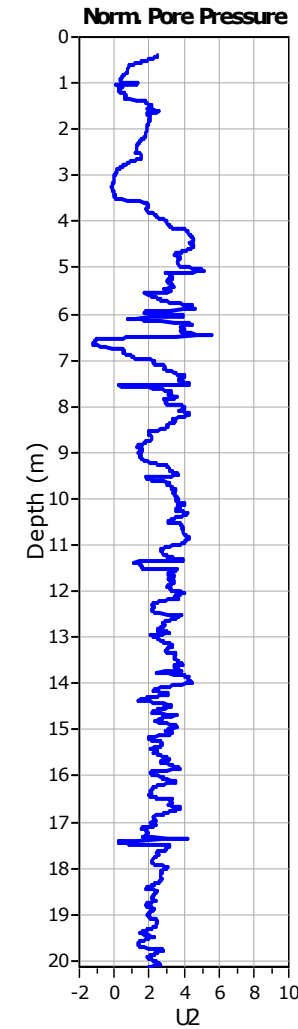
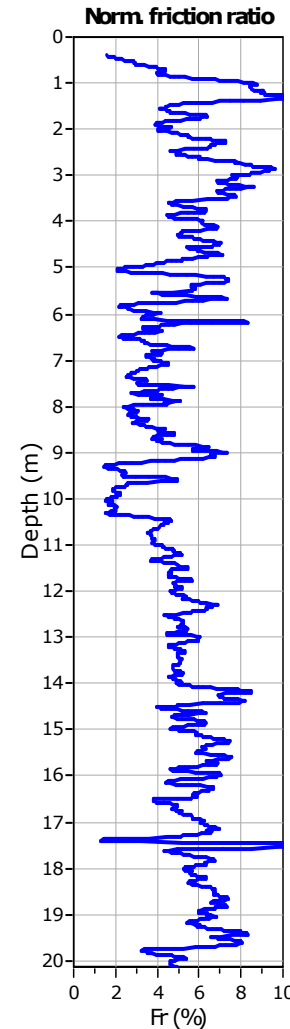
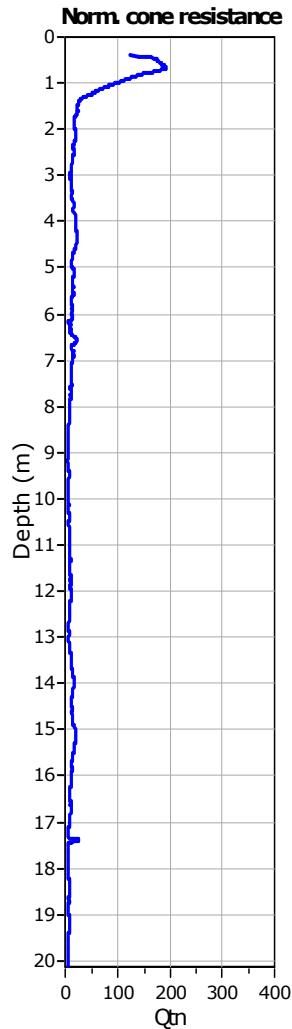


### SBTn legend

1. Sensitive fine grained	4. Clayey silt to silty clay	7. Gravely sand to sand
2. Organic material	5. Silty sand to sandy silt	8. Very stiff sand to clayey sand
3. Clay to silty clay	6. Clean sand to silty sand	9. Very stiff fine grained



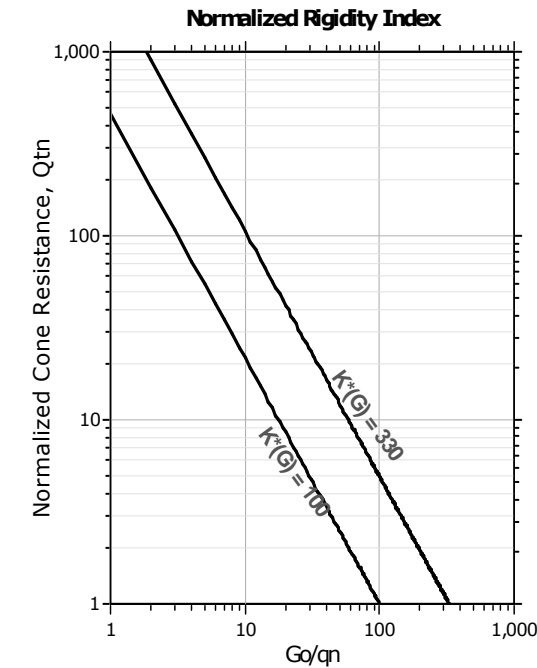
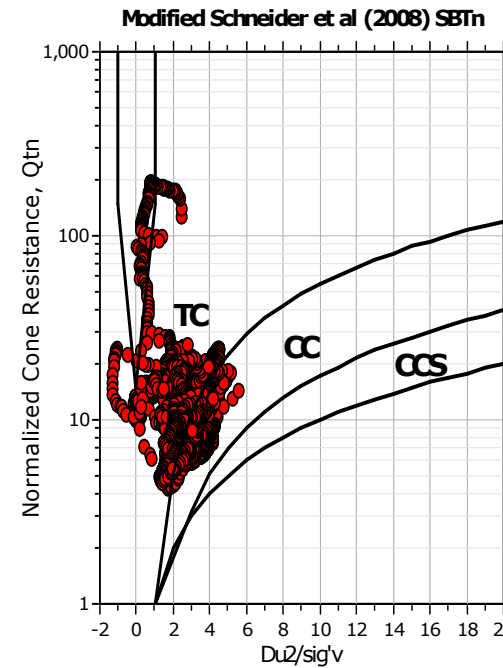
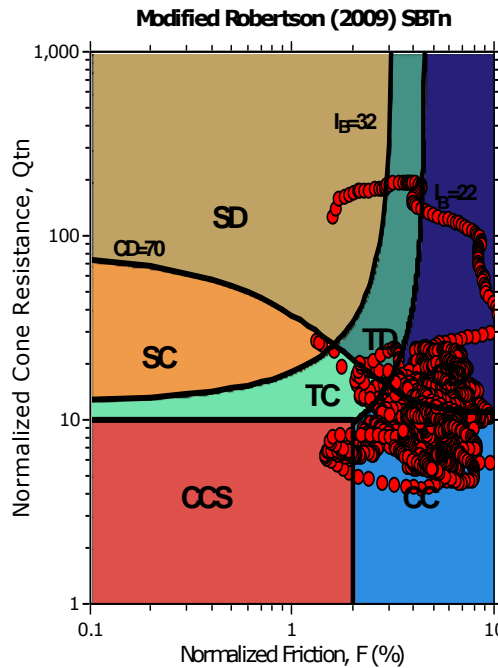




Mod. SBTn legend

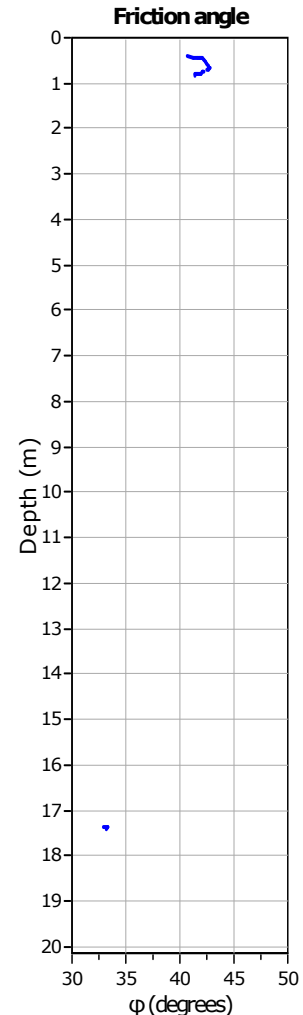
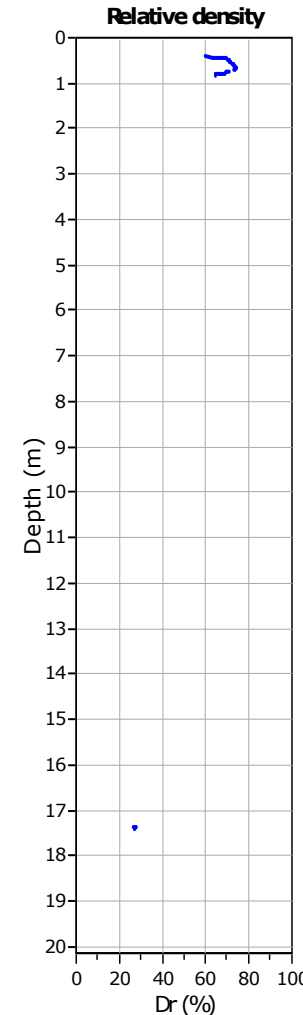
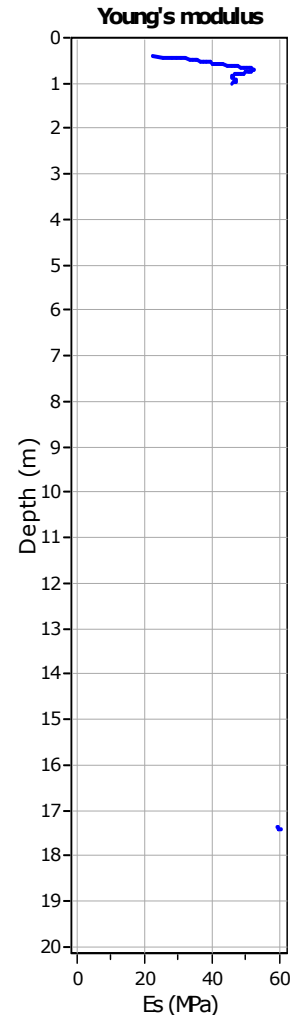
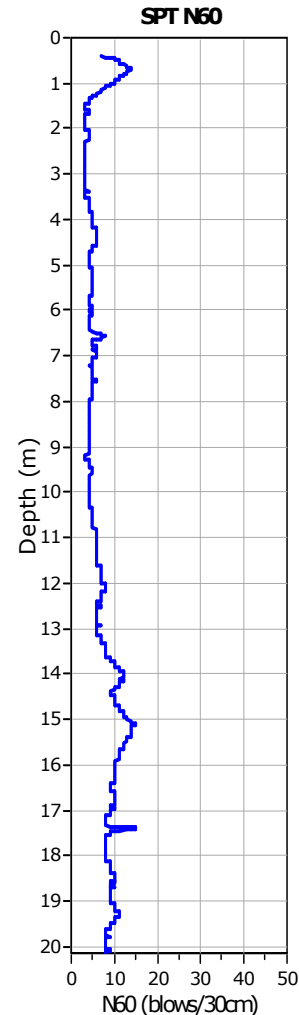
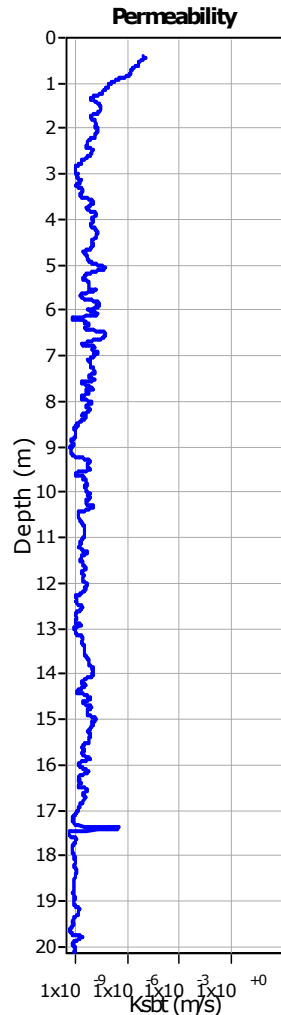
- |   |                                   |                             |
|---|-----------------------------------|-----------------------------|
| 1. CCS: ClayLike - Contractive, Sensitive | 4. TC: Transitional - Contractive | 7. SD: Sand-like - Dilative |
| 2. CC: Clay-like - Contractive            | 5. TD: Transitional - Dilative    |                             |
| 3. CD: Clay-Like: Dilative                | 6. SC: Sand-like - Contractive    |                             |

## Updated SBTn plots



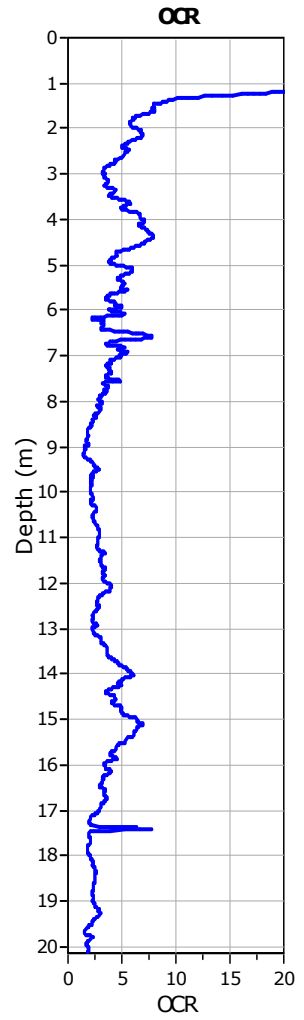
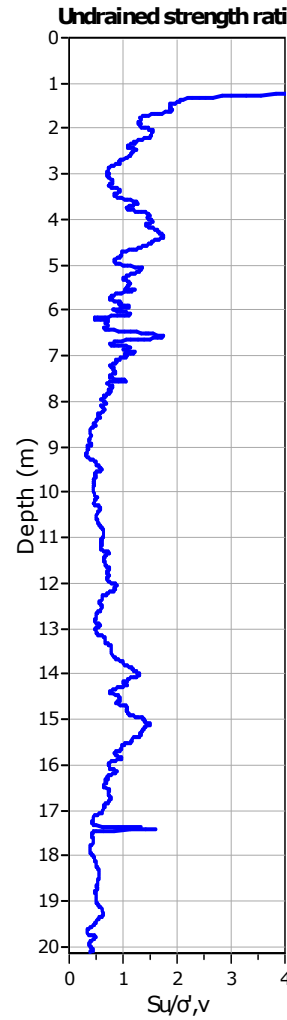
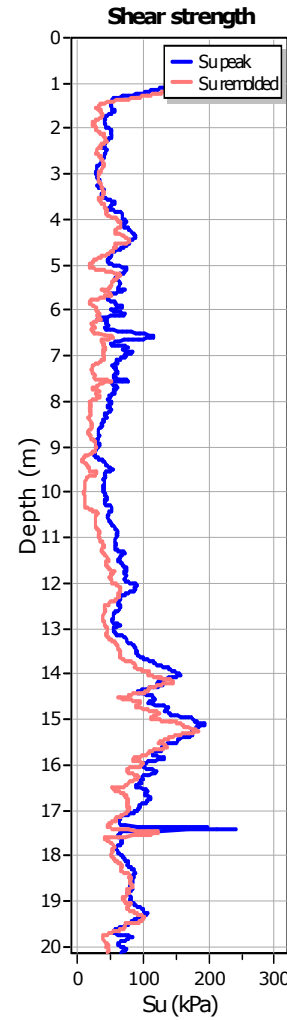
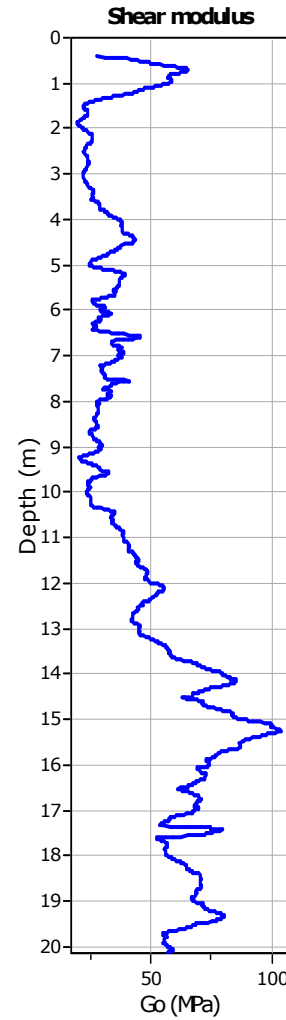
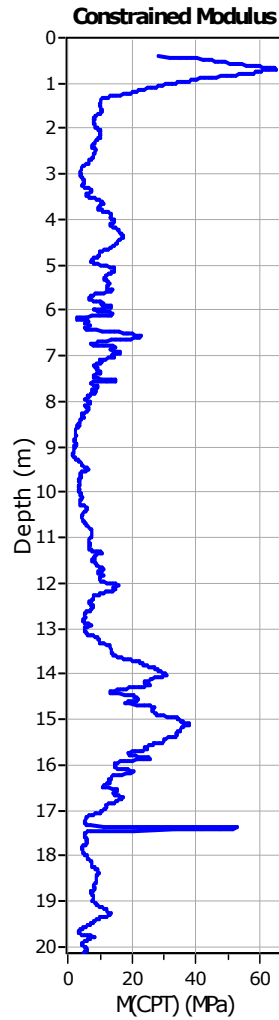
CCS: Clay-like - Contractive - Sensitive  
CC: Clay-like - Contractive  
CD: Clay-like - Dilative  
TC: Transitional - Contractive  
TD: Transitional - Dilative  
SC: Sand-like - Contractive  
SD: Sand-like - Dilative

$K(G) > 330$ : Soils with significant microstructure (e.g. age/cementation)

**Calculation parameters**Permeability: Based on SBT<sub>n</sub>SPT N<sub>60</sub>: Based on I<sub>c</sub> and q<sub>t</sub>Young's modulus: Based on variable alpha using I<sub>c</sub> (Robertson, 2009)Relative desnisty constant, C<sub>Dr</sub>: 350.0

Phi: Based on Kulhawy &amp; Mayne (1990)

User defined estimation data



#### Calculation parameters

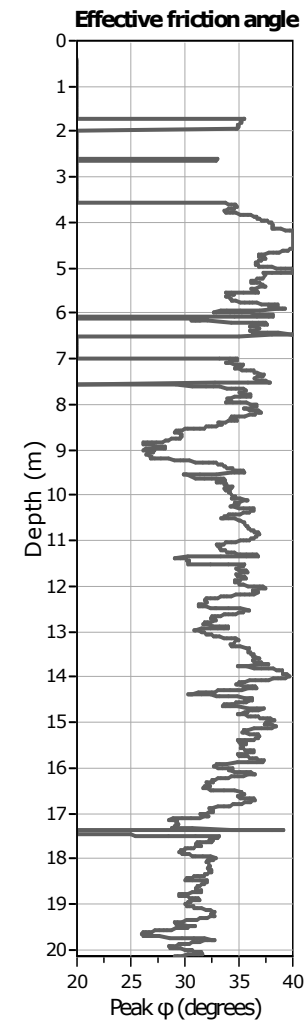
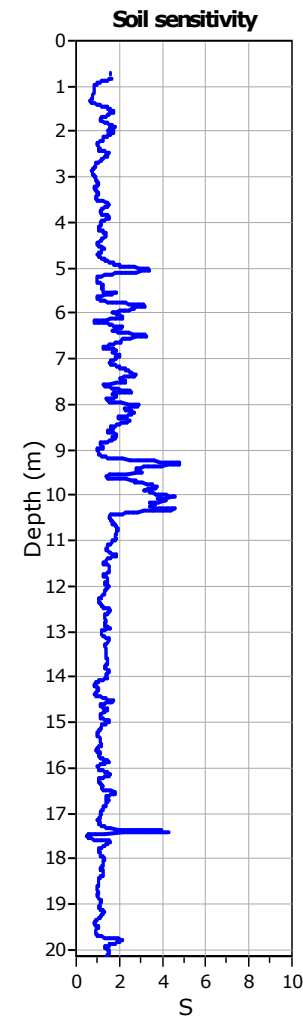
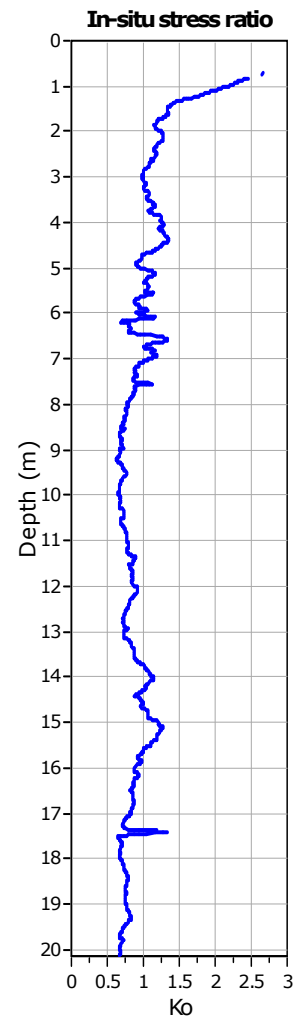
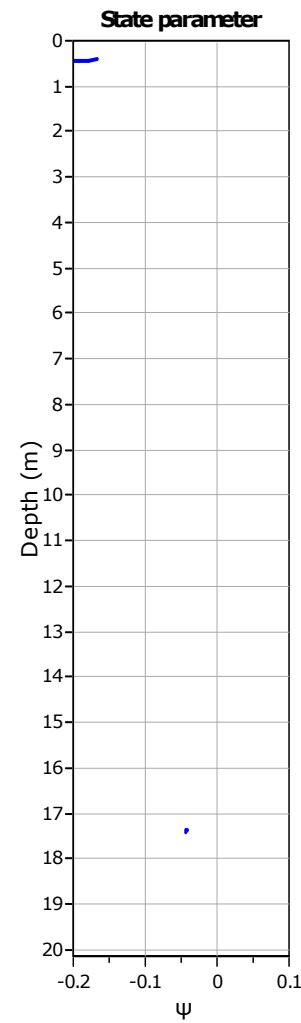
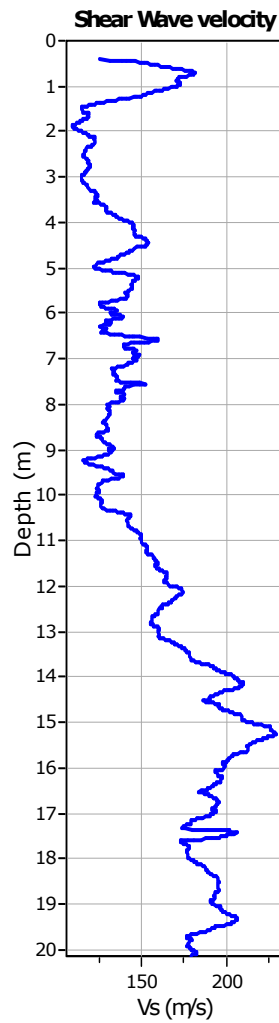
Constrained modulus: Based on variable *alpha* using  $I_c$  and  $Q_{tn}$  (Robertson, 2009)

$G_0$ : Based on variable *alpha* using  $I_c$  (Robertson, 2009)

Undrained shear strength cone factor for clays,  $N_{kt}$ : 14

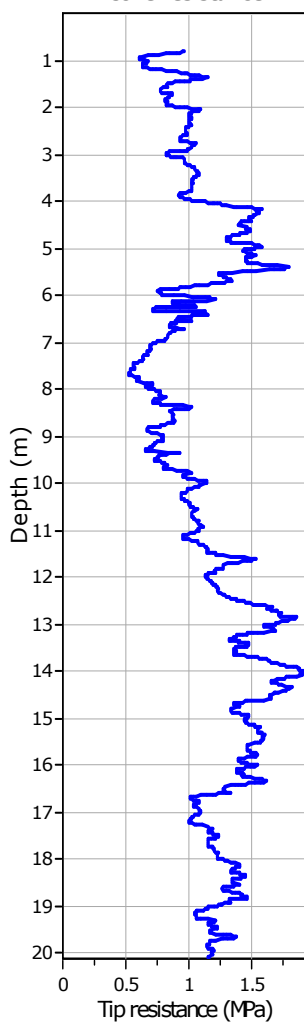
OCR factor for clays,  $N_{kt}$ : 0.33

- User defined estimation data
- Flat Dilatometer Test data

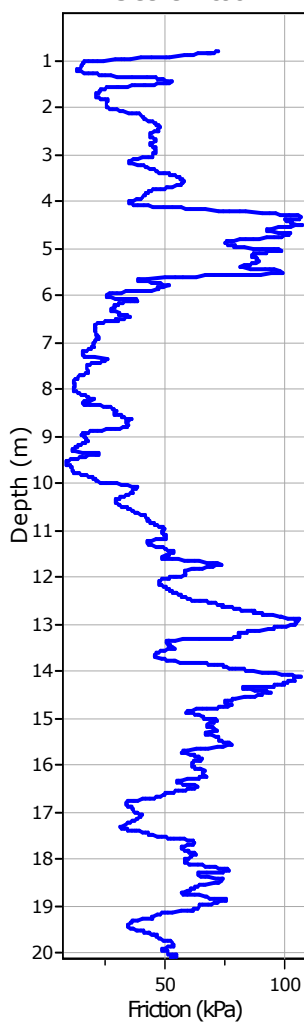
**Calculation parameters**Soil Sensitivity factor, N<sub>s</sub>: 7.00

User defined estimation data

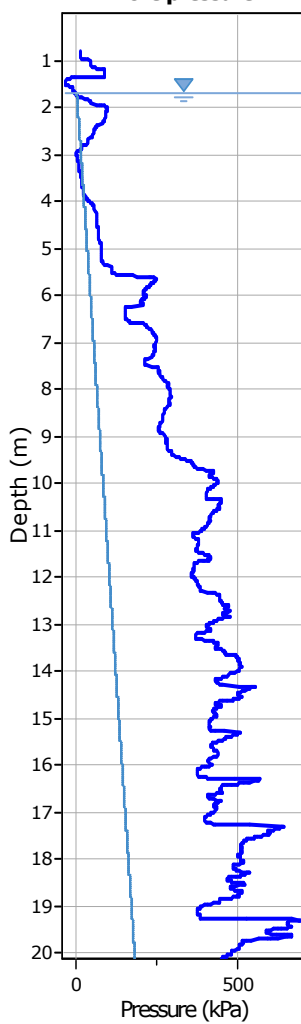
**Cone resistance**



**Sleeve friction**

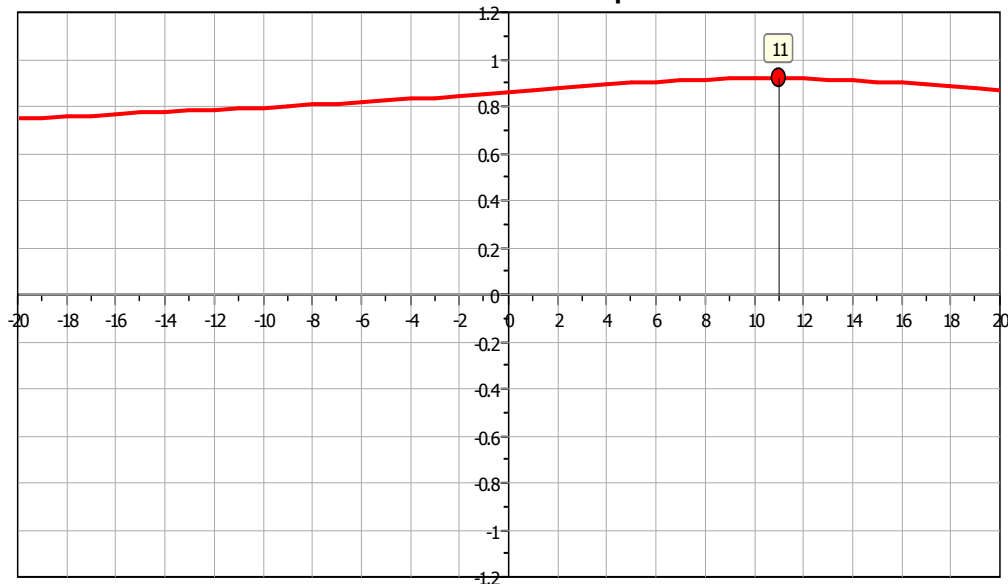


**Pore pressure**

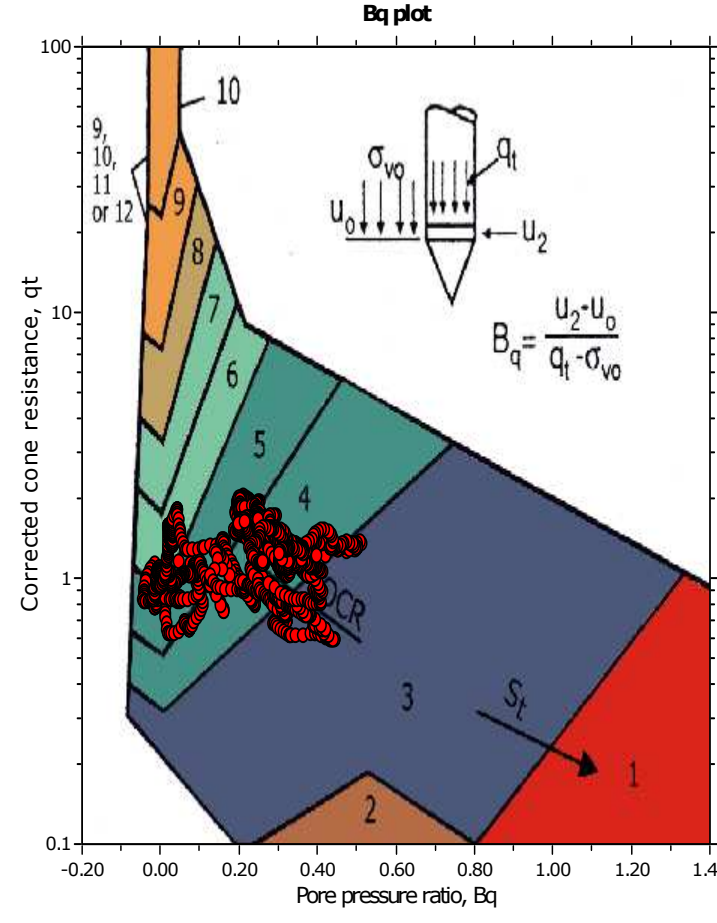
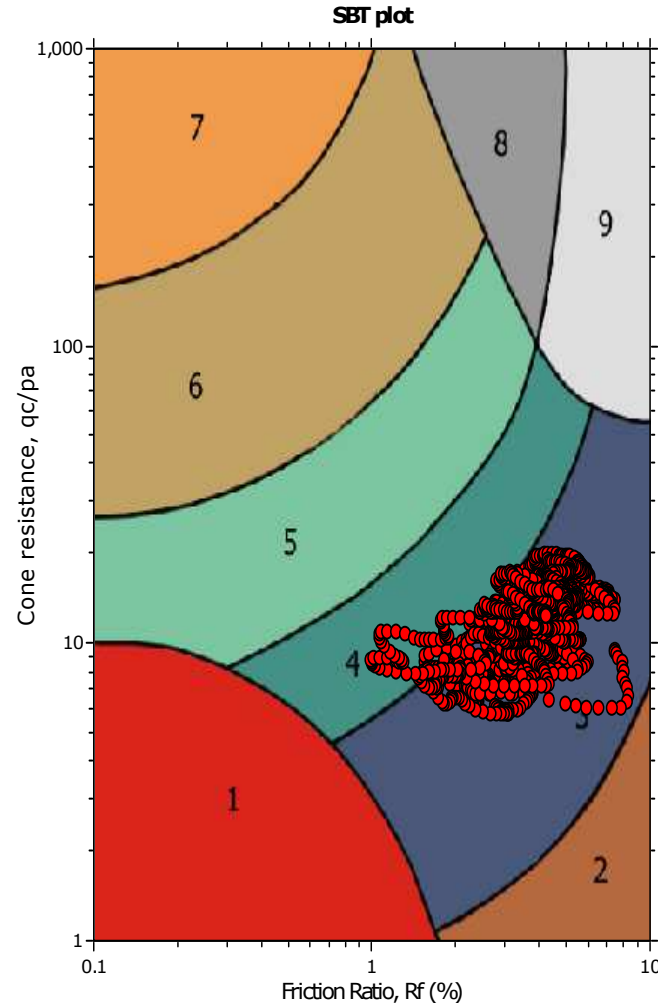


The plot below presents the cross correlation coefficient between the raw qc and fs values (as measured on the field). X axes presents the lag distance (one lag is the distance between two successive CPT measurements).

**Cross correlation between qc & fs**



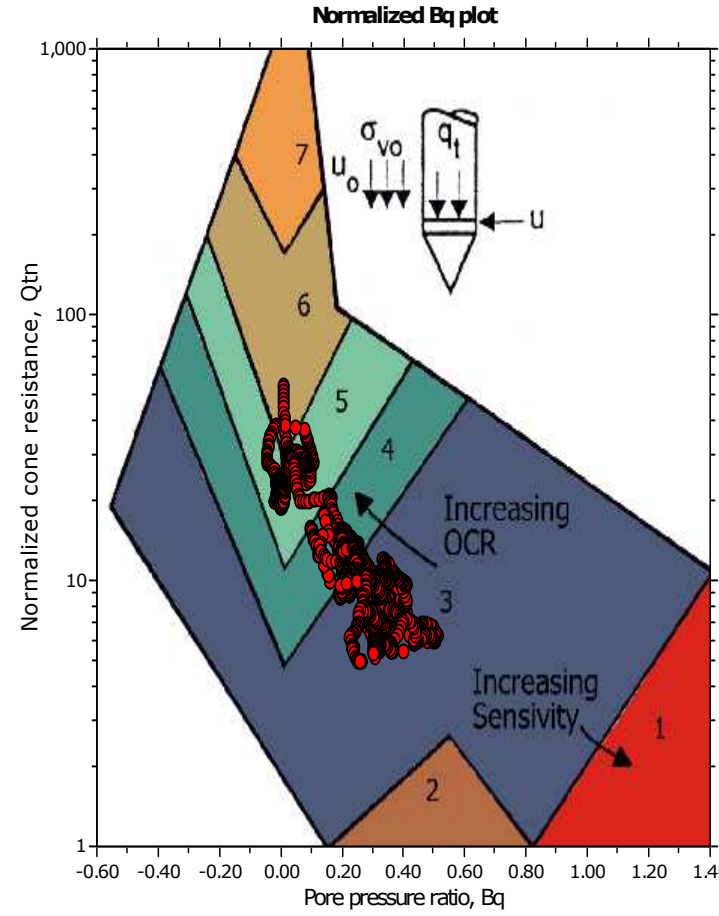
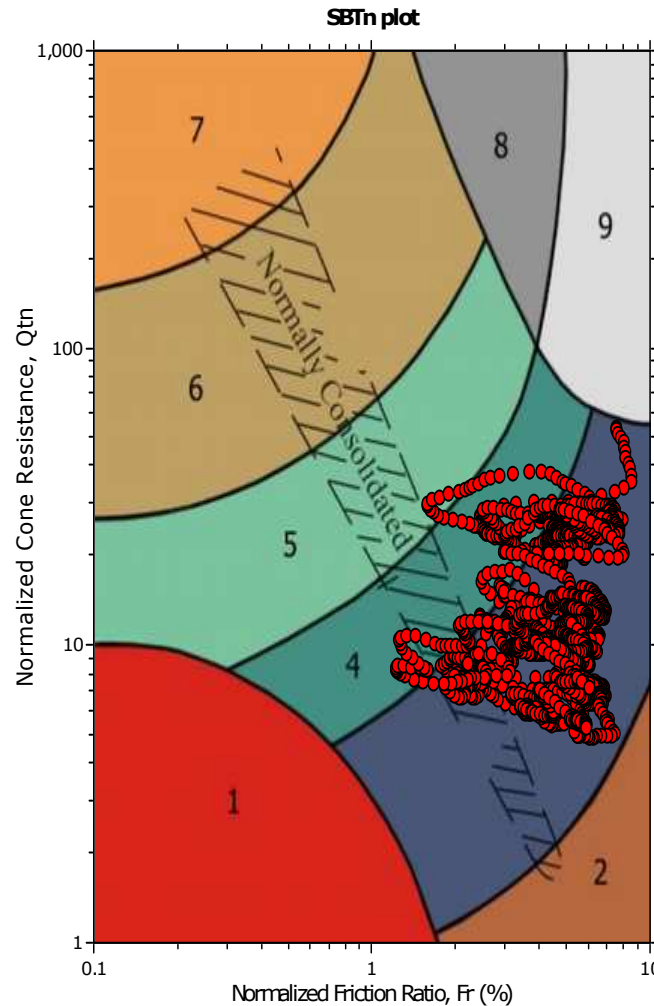
## SBT - Bq plots



## SBT legend

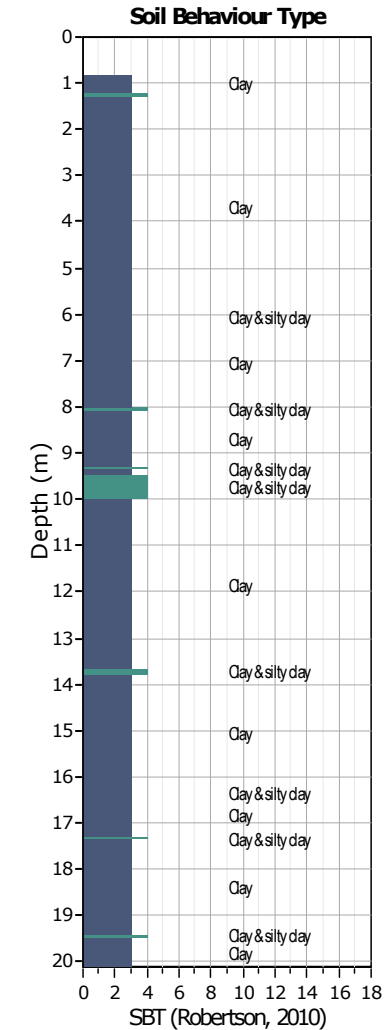
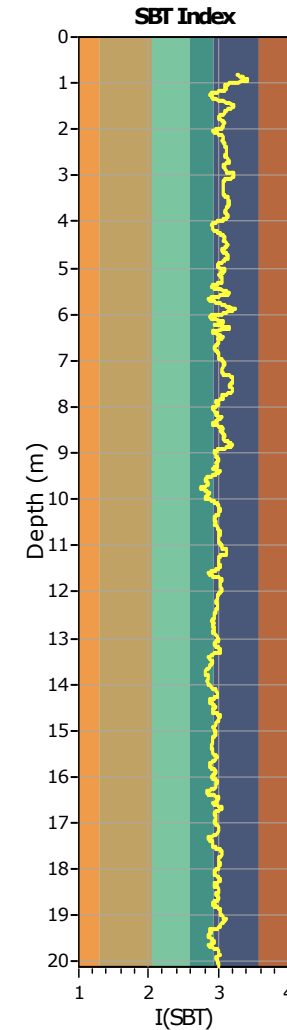
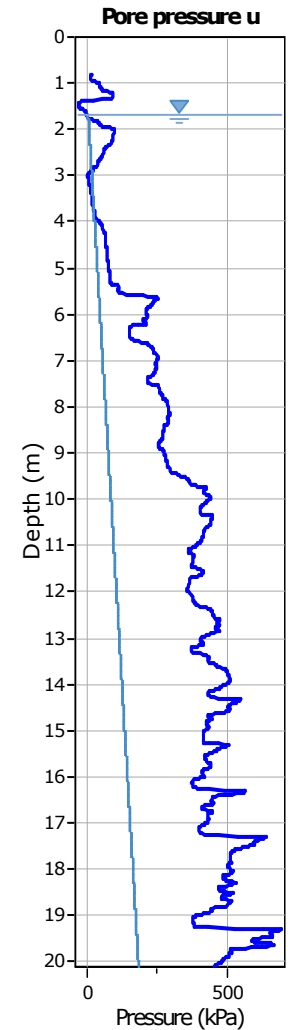
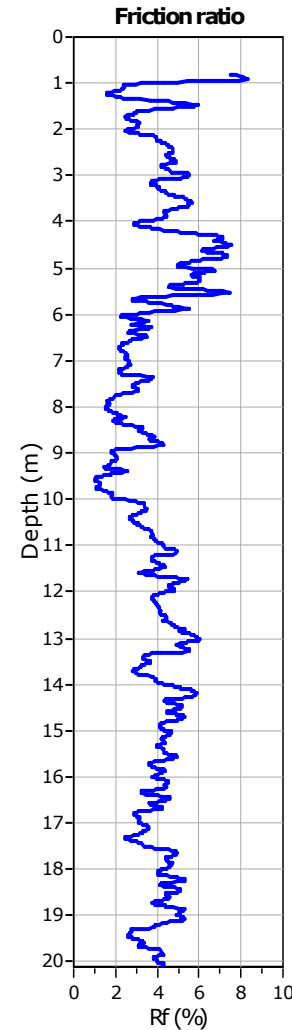
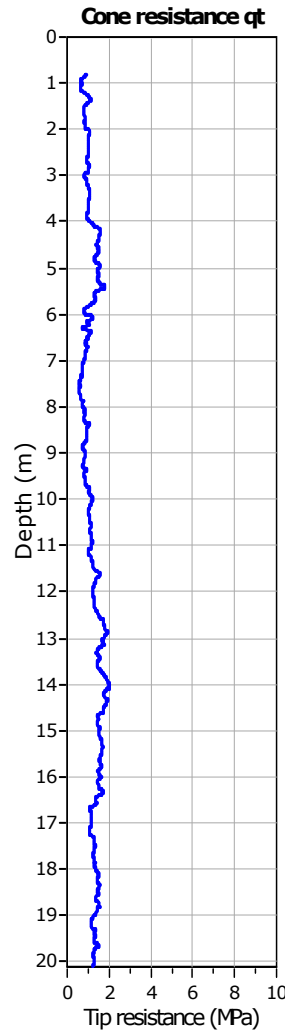
1. Sensitive fine grained	4. Clayey silt to silty clay	7. Gravely sand to sand
2. Organic material	5. Silty sand to sandy silt	8. Very stiff sand to clayey sand
3. Clay to silty clay	6. Clean sand to silty sand	9. Very stiff fine grained

## SBT - Bq plots (normalized)



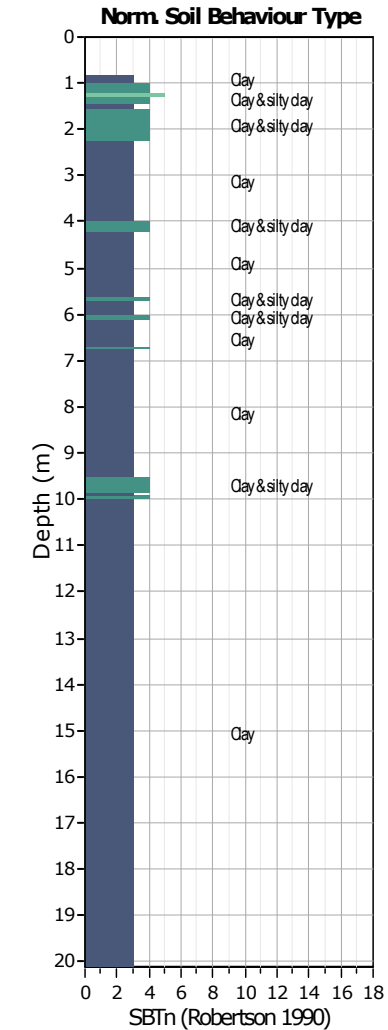
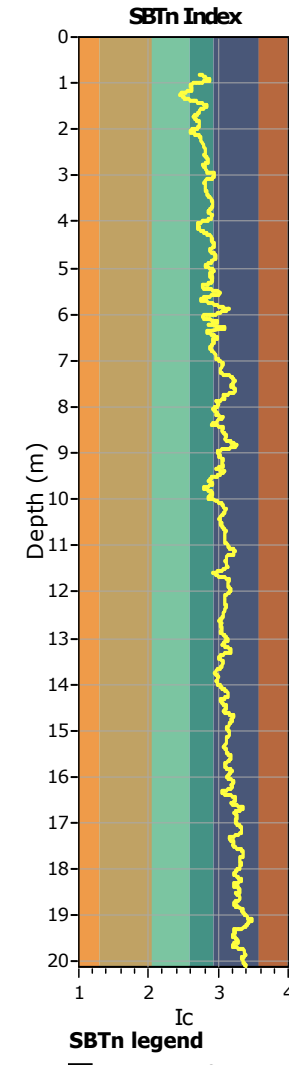
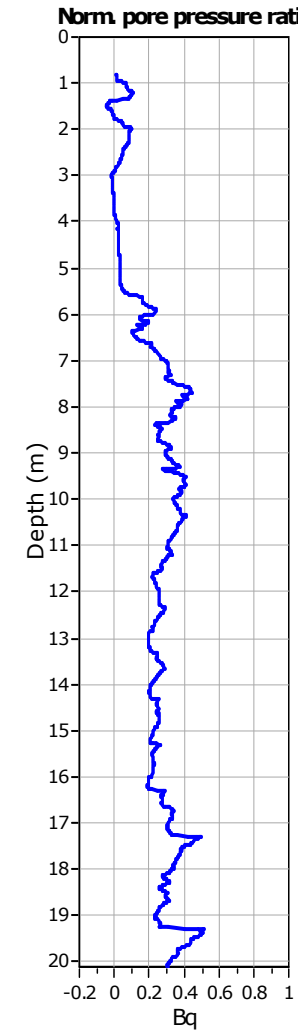
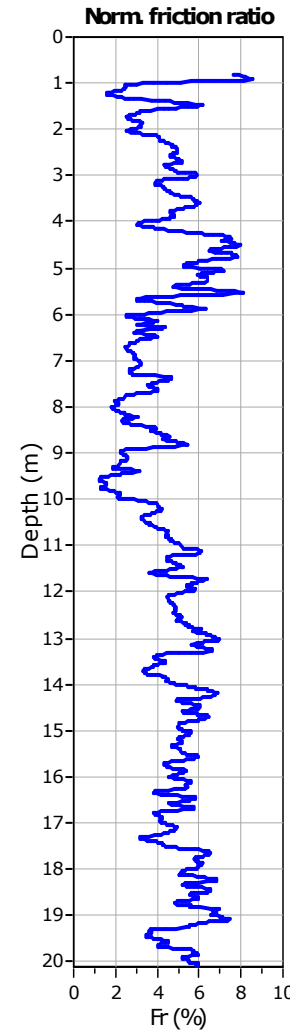
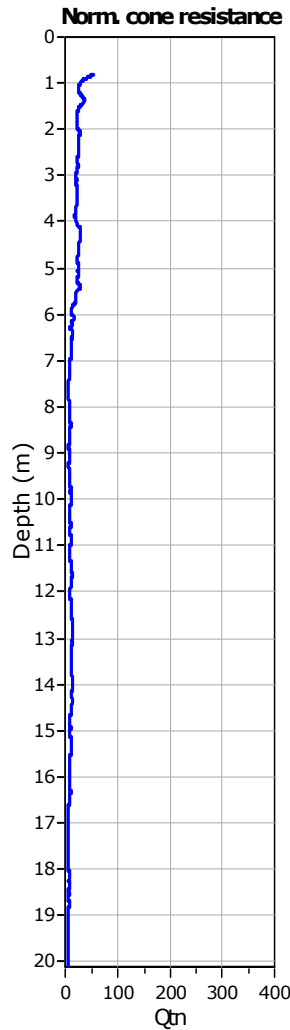
## SBTn legend

1. Sensitive fine grained	4. Clayey silt to silty clay	7. Gravely sand to sand
2. Organic material	5. Silty sand to sandy silt	8. Very stiff sand to clayey sand
3. Clay to silty clay	6. Clean sand to silty sand	9. Very stiff fine grained

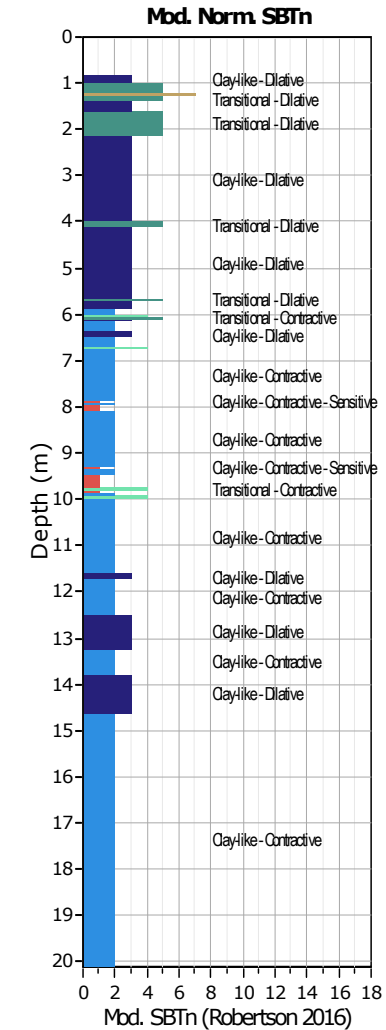
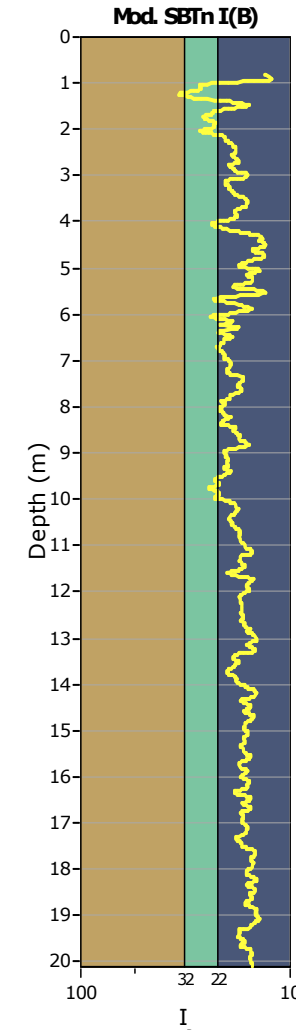
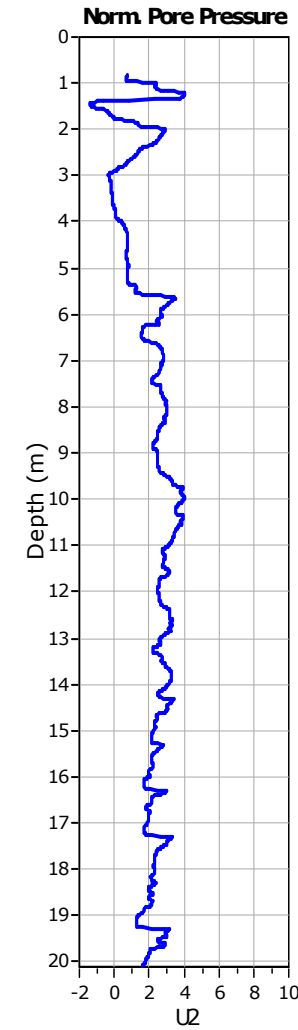
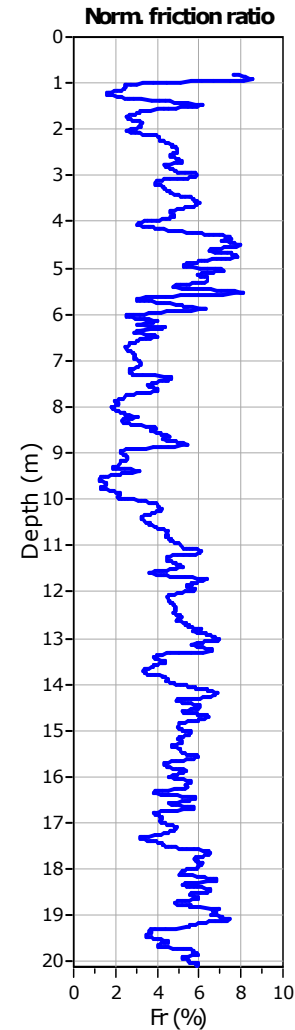
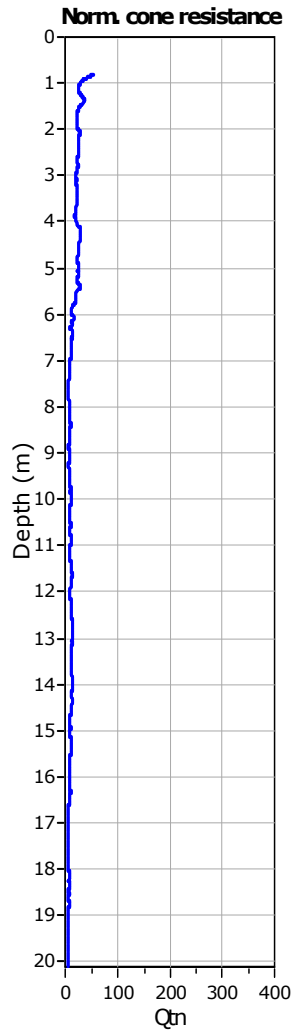


**SBT legend**

- |                           |                              |                                   |
|---------------------------|------------------------------|-----------------------------------|
| 1. Sensitive fine grained | 4. Clayey silt to silty clay | 7. Gravely sand to sand           |
| 2. Organic material       | 5. Silty sand to sandy silt  | 8. Very stiff sand to clayey sand |
| 3. Clay to silty clay     | 6. Clean sand to silty sand  | 9. Very stiff fine grained        |



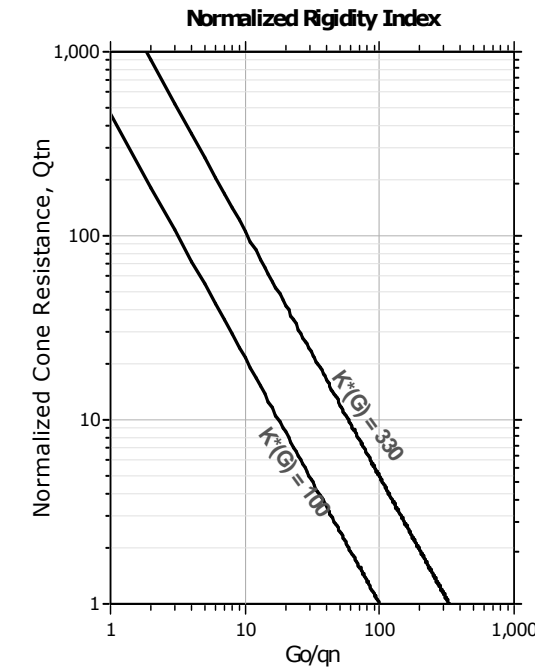
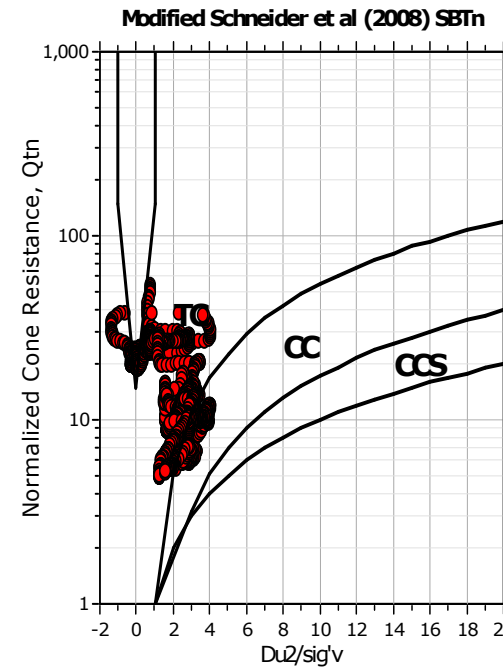
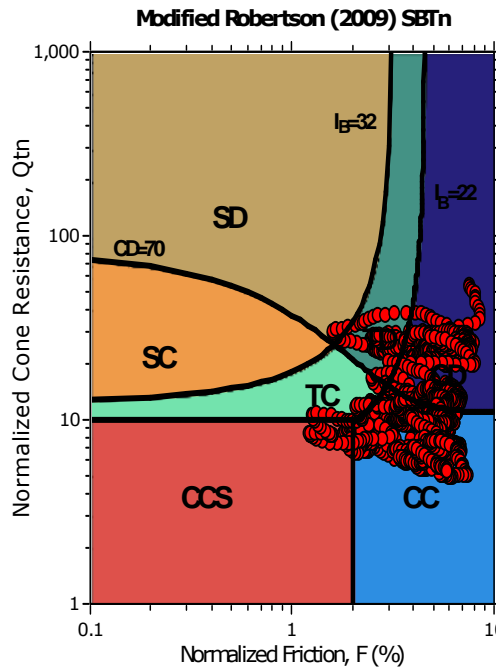
1. Sensitive fine grained	4. Clayey silt to silty clay	7. Gravely sand to sand
2. Organic material	5. Silty sand to sandy silt	8. Very stiff sand to clayey sand
3. Clay to silty clay	6. Clean sand to silty sand	9. Very stiff fine grained



**Mod. SBTn legend**

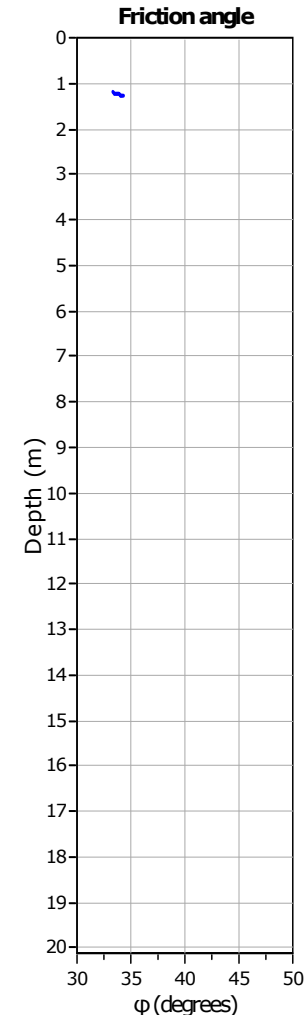
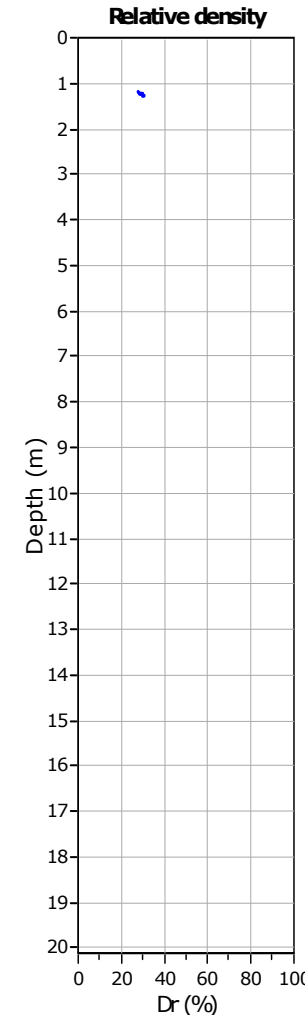
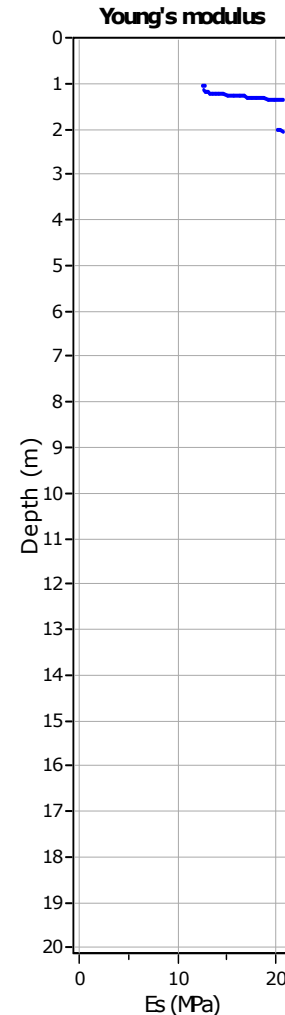
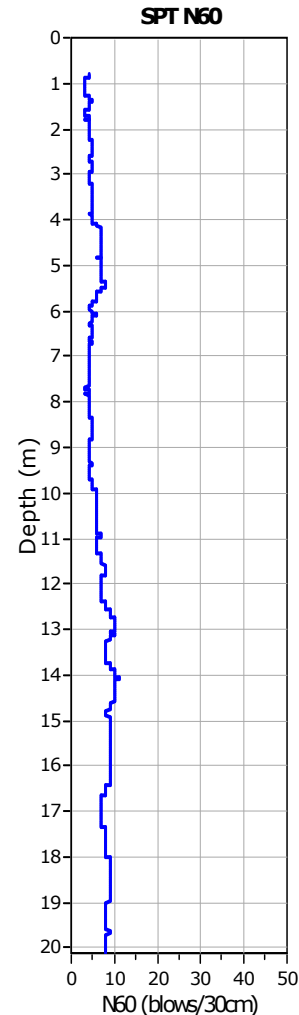
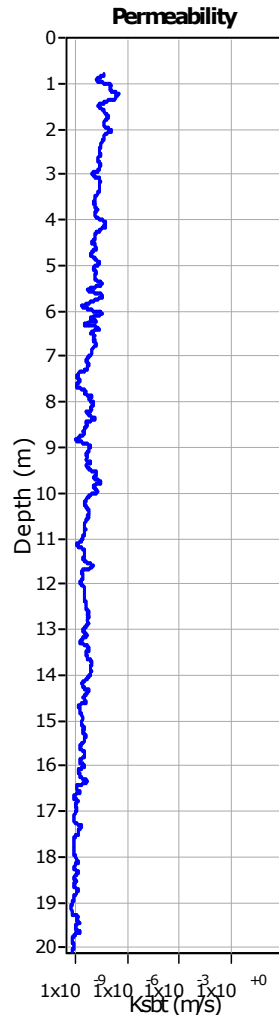
1. CCS: ClayLike - Contractive, Sensitive	4. TC: Transitional - Contractive	7. SD: Sand-like - Dilative
2. CC: Clay-like - Contractive	5. TD: Transitional - Dilative	8. SC: Sand-like - Contractive
3. CD: Clay-Like: Dilative	6. CL: Clay-like - Dilative	

## Updated SBTn plots



CCS: Clay-like - Contractive - Sensitive  
 CC: Clay-like - Contractive  
 CD: Clay-like - Dilative  
 TC: Transitional - Contractive  
 TD: Transitional - Dilative  
 SC: Sand-like - Contractive  
 SD: Sand-like - Dilative

$K(G) > 330$ : Soils with significant microstructure (e.g. age/cementation)



#### Calculation parameters

Permeability: Based on SBT<sub>n</sub>

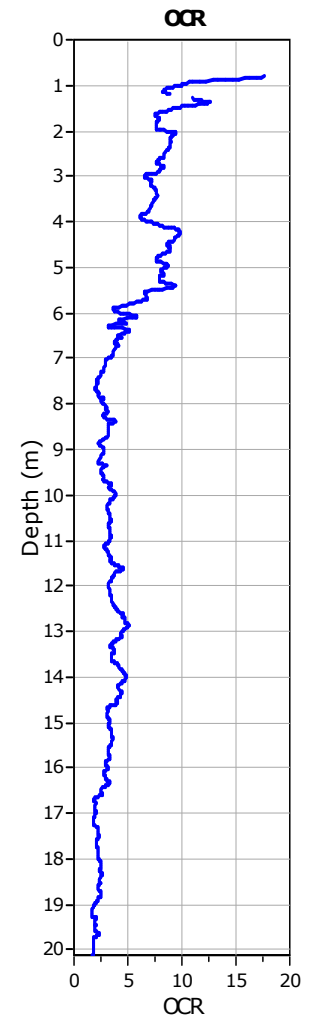
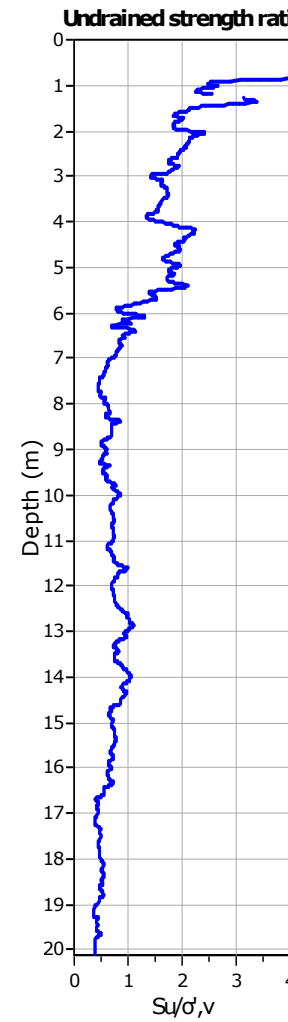
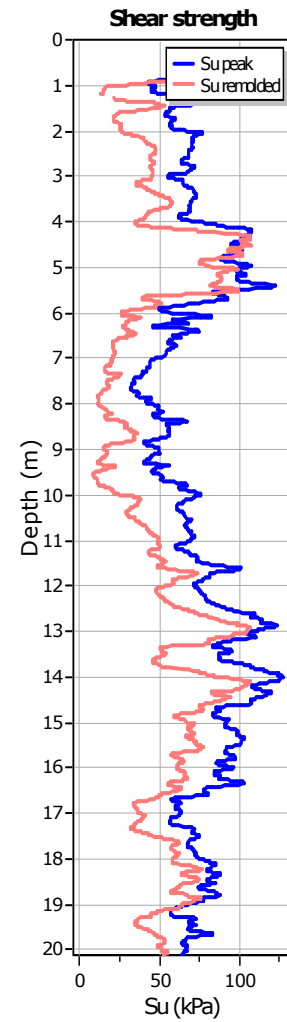
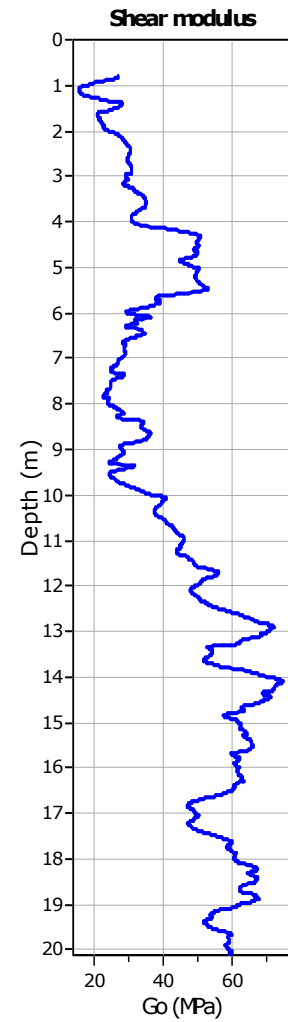
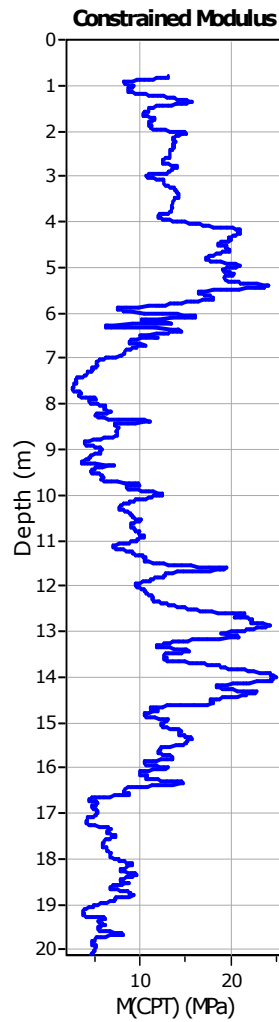
SPT N<sub>60</sub>: Based on I<sub>c</sub> and q<sub>t</sub>

Young's modulus: Based on variable alpha using I<sub>c</sub> (Robertson, 2009)

Relative desnisty constant, C<sub>Dr</sub>: 350.0

Phi: Based on Kulhawy & Mayne (1990)

User defined estimation data



#### Calculation parameters

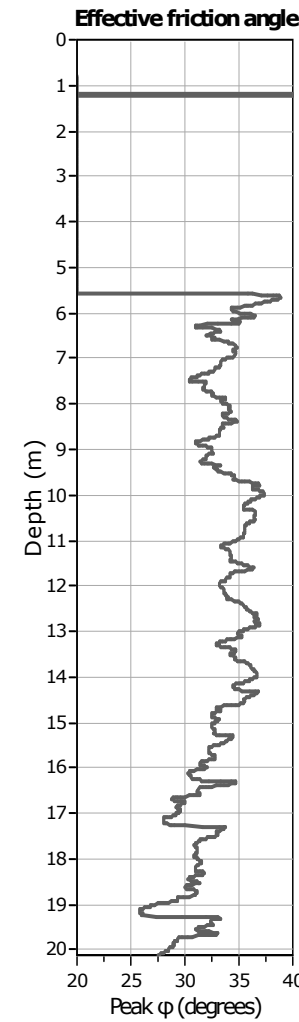
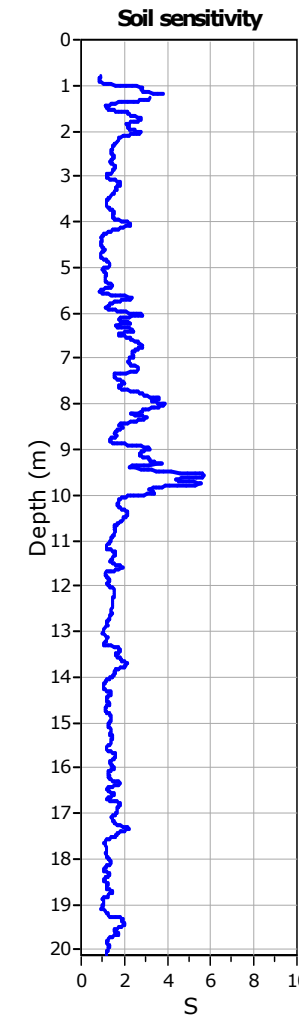
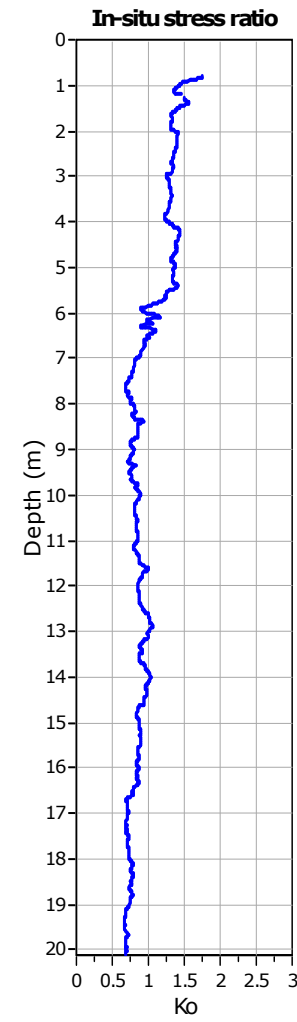
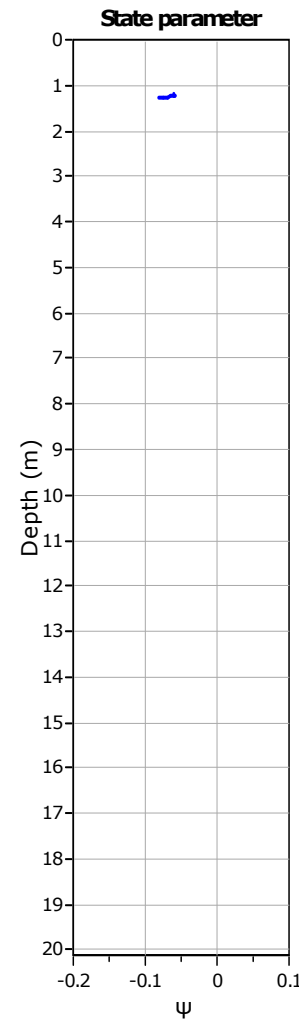
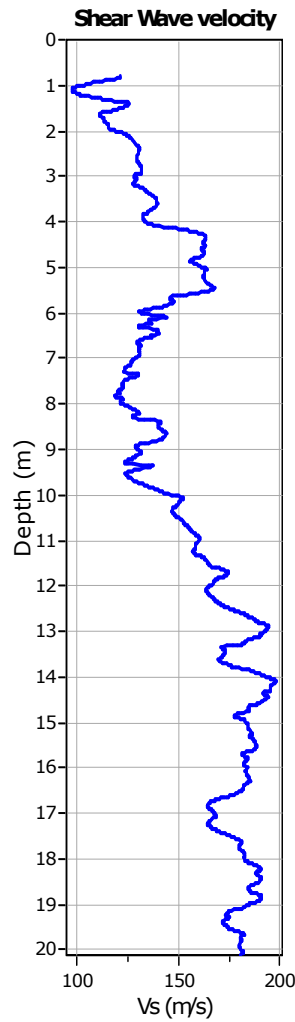
Constrained modulus: Based on variable *alpha* using  $I_c$  and  $Q_{tn}$  (Robertson, 2009)

Go: Based on variable *alpha* using  $I_c$  (Robertson, 2009)

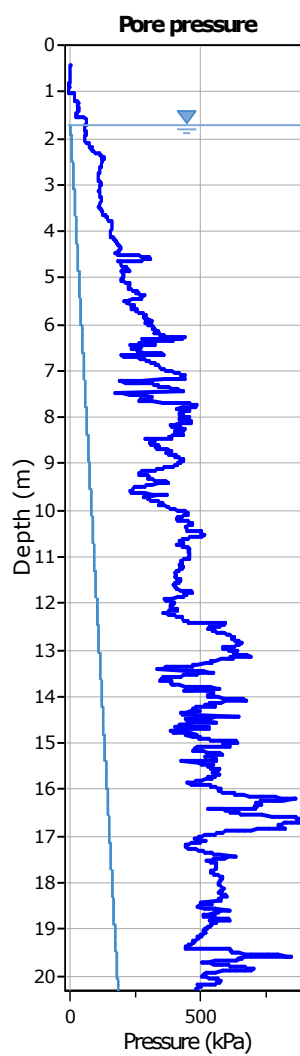
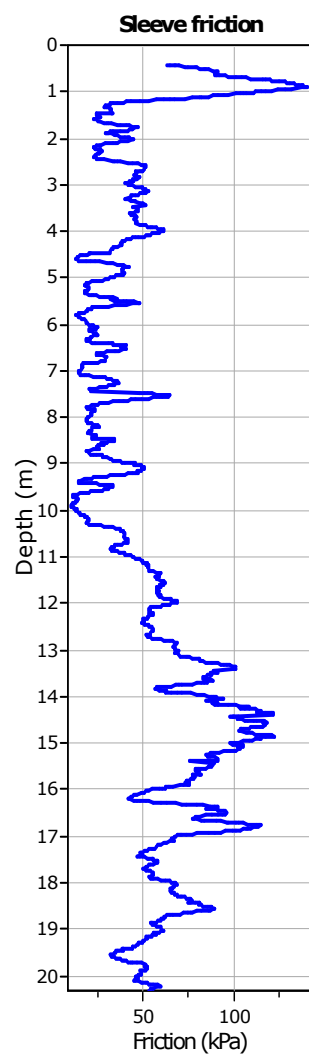
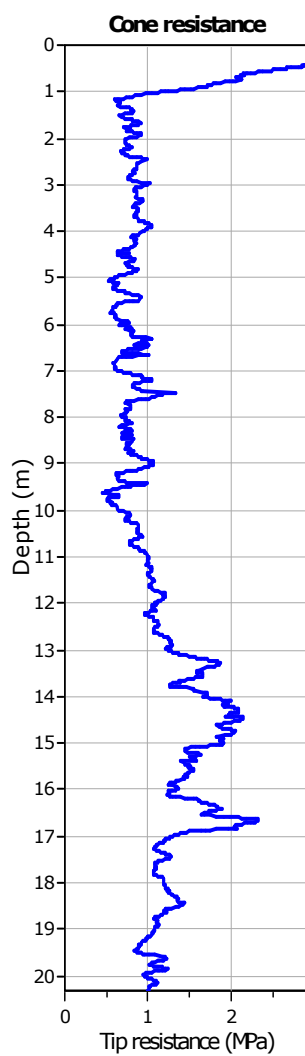
Undrained shear strength cone factor for clays,  $N_{kt}$ : 14

OCR factor for clays,  $N_{kt}$ : 0.33

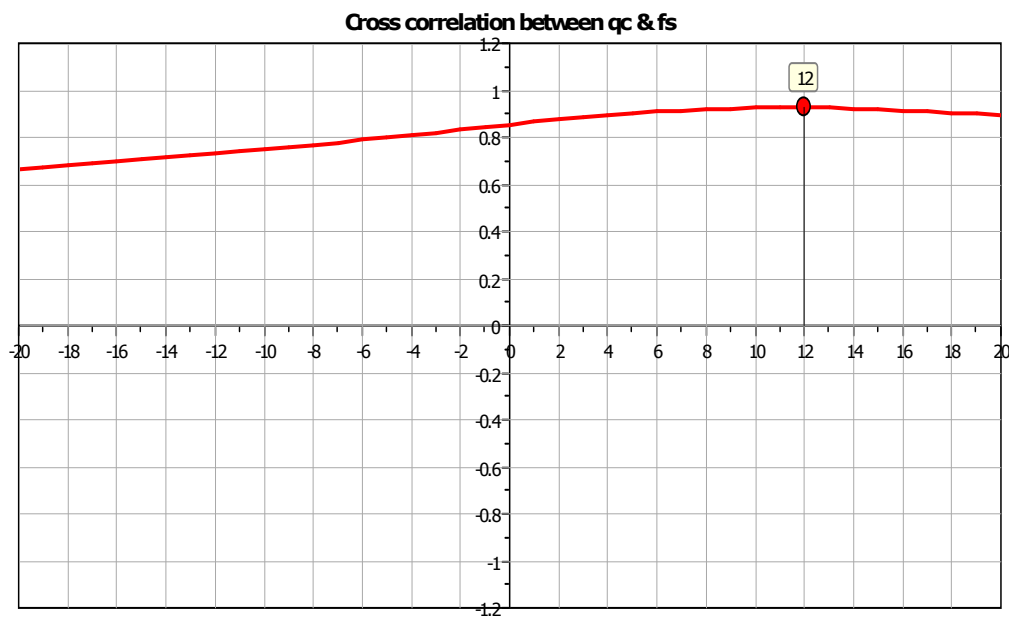
- User defined estimation data
- Flat Dilatometer Test data

**Calculation parameters**Soil Sensitivity factor, N<sub>s</sub>: 7.00

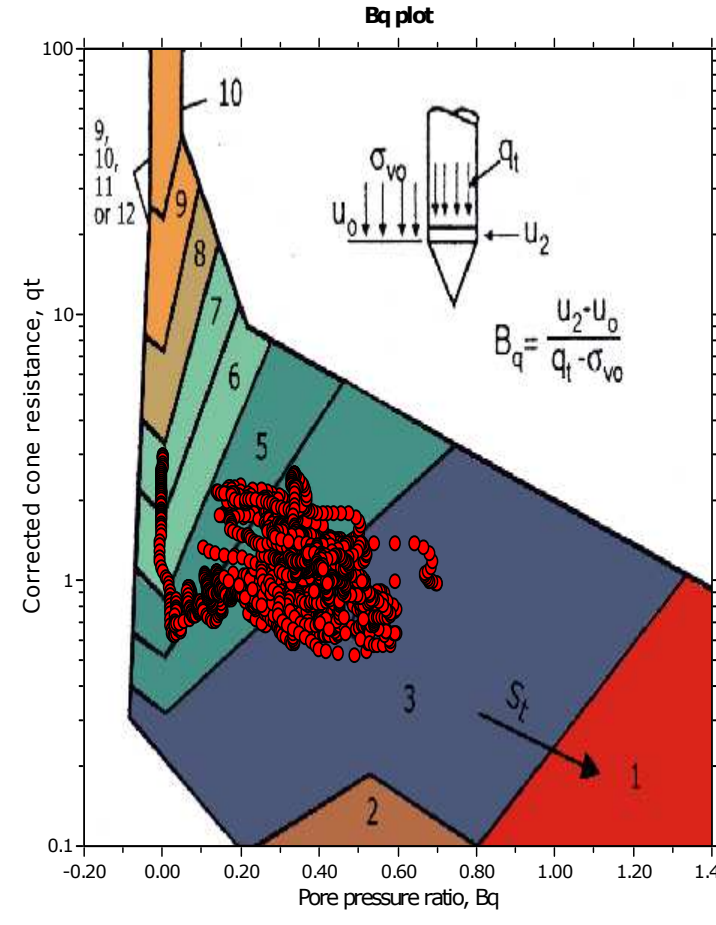
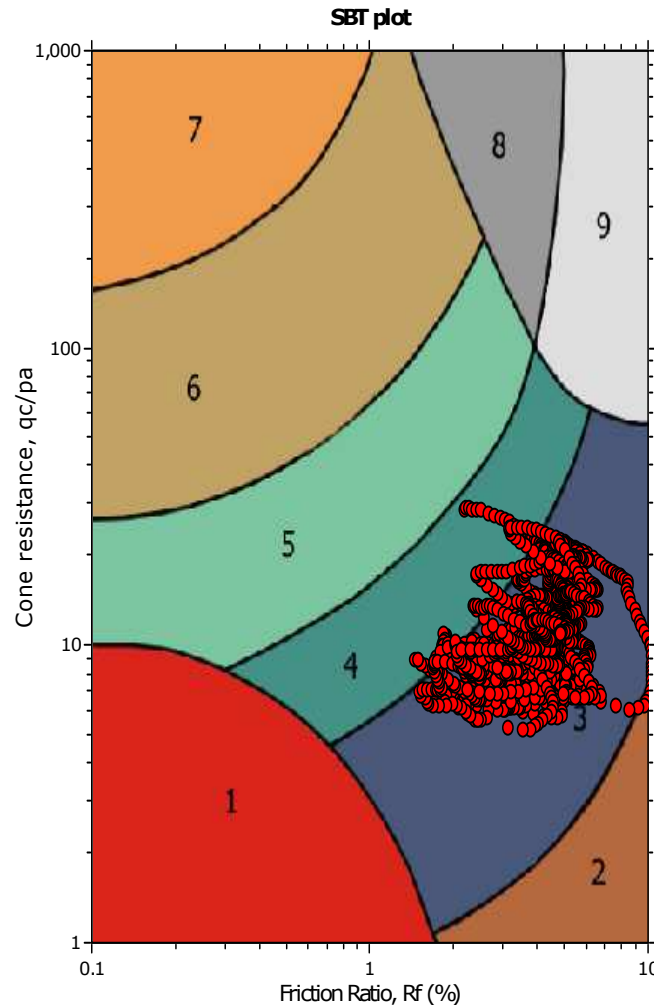
User defined estimation data



The plot below presents the cross correlation coefficient between the raw qc and fs values (as measured on the field). X axes presents the lag distance (one lag is the distance between two successive CPT measurements).



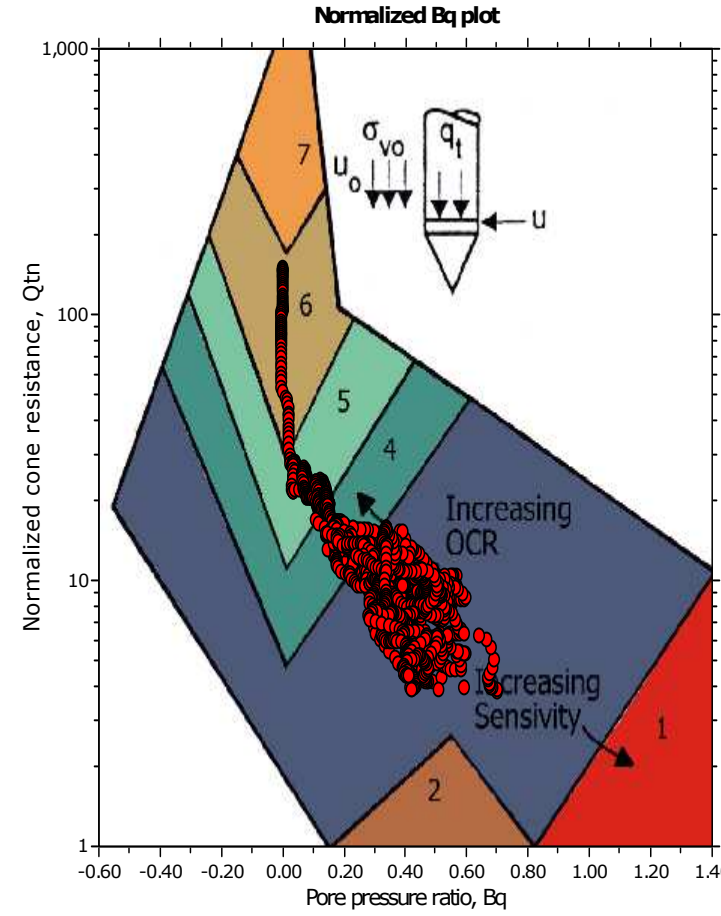
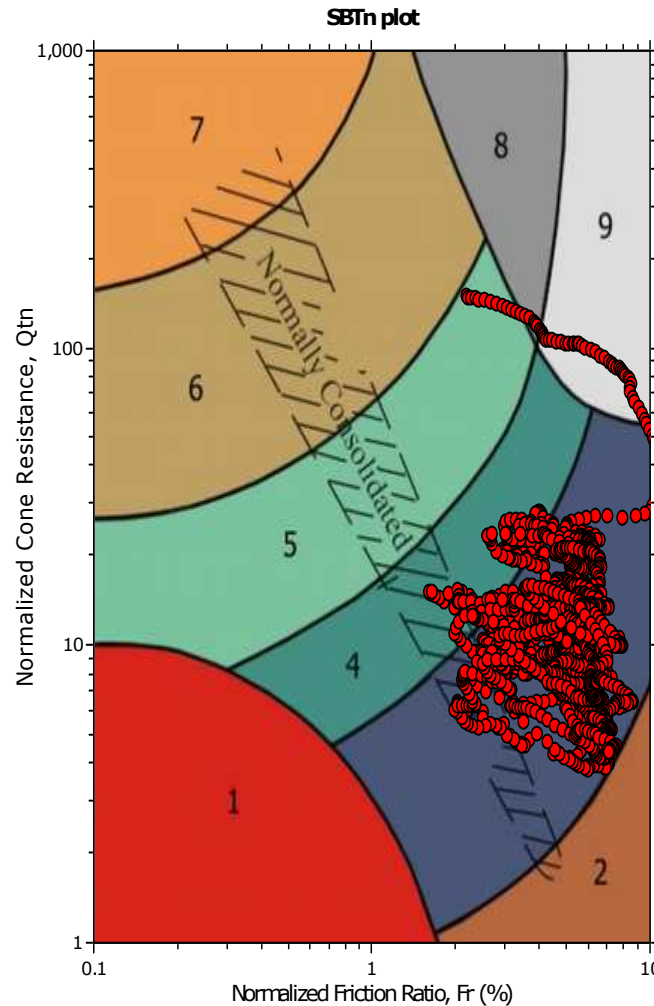
### SBT - Bq plots



#### SBT legend

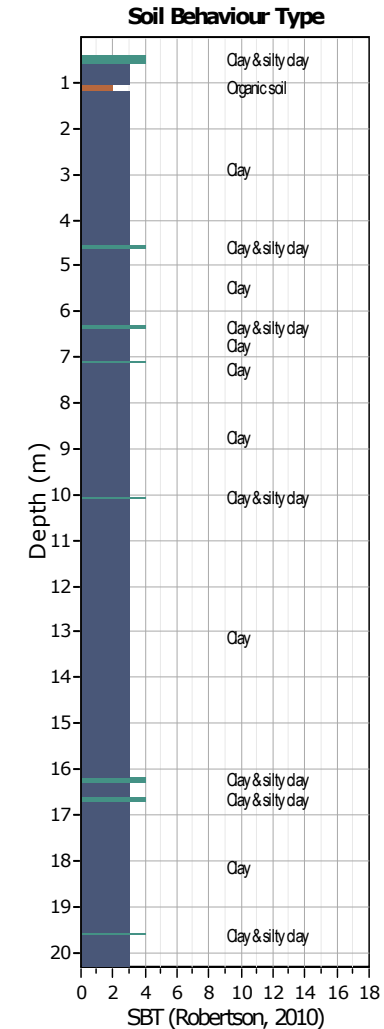
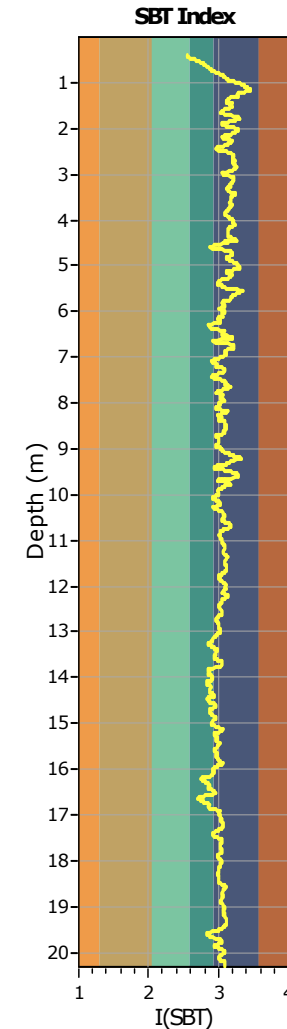
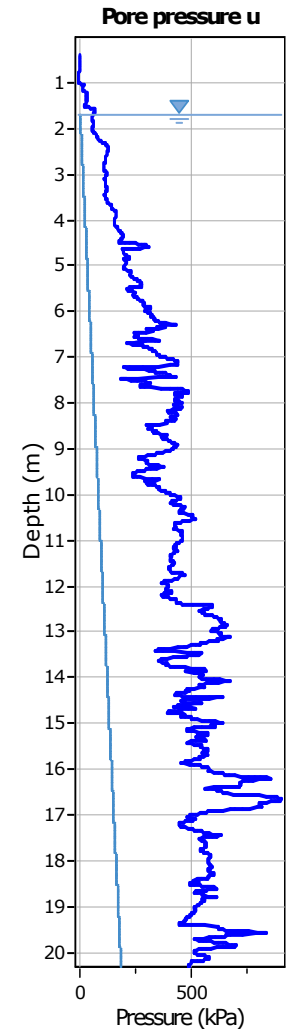
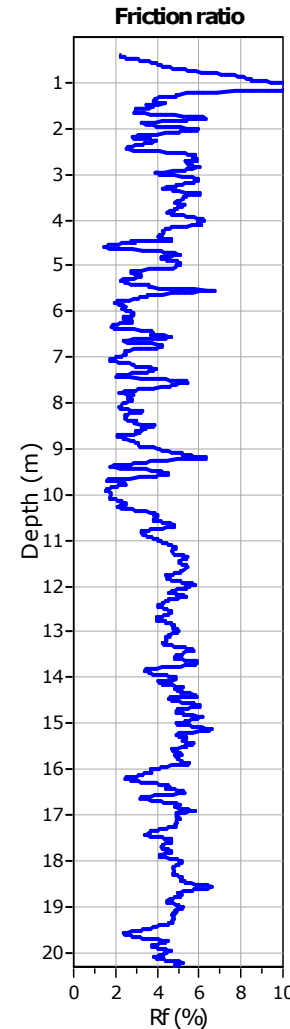
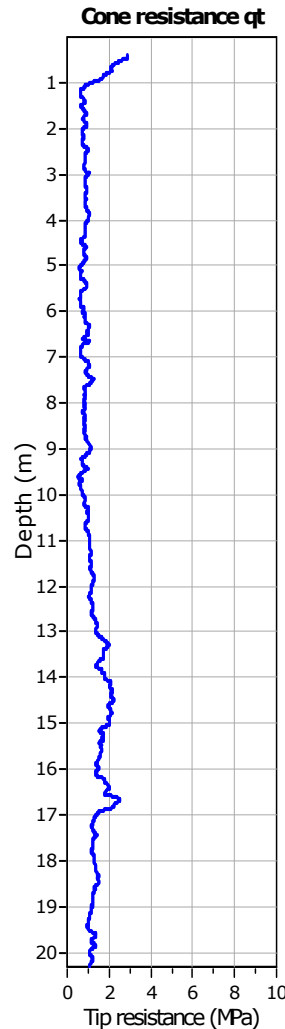
1. Sensitive fine grained	4. Clayey silt to silty clay	7. Gravely sand to sand
2. Organic material	5. Silty sand to sandy silt	8. Very stiff sand to clayey sand
3. Clay to silty clay	6. Clean sand to silty sand	9. Very stiff fine grained

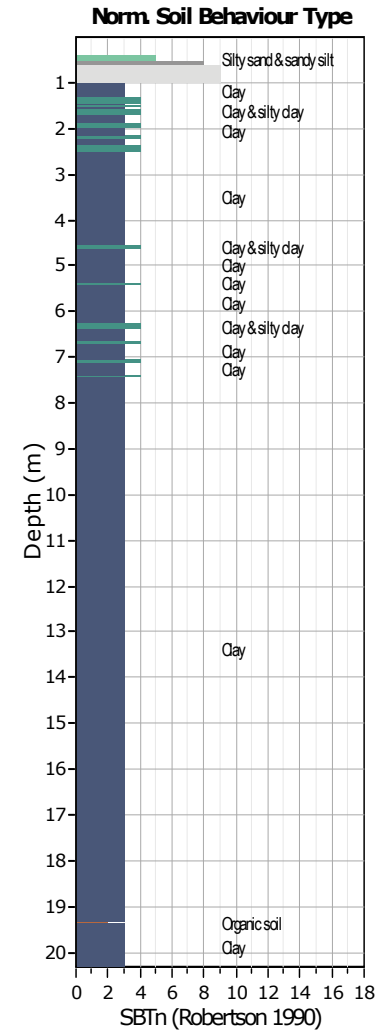
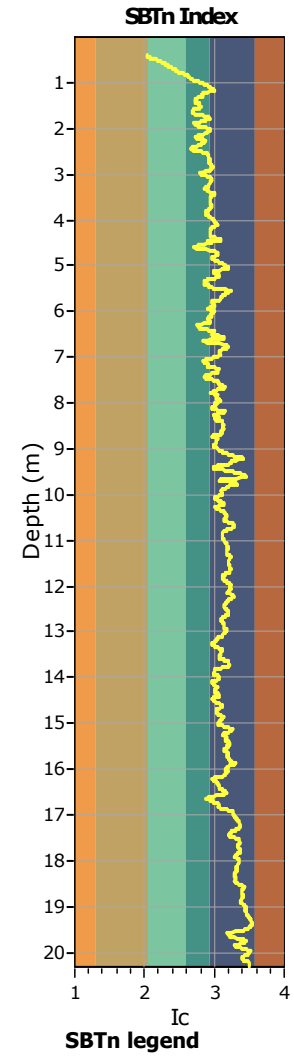
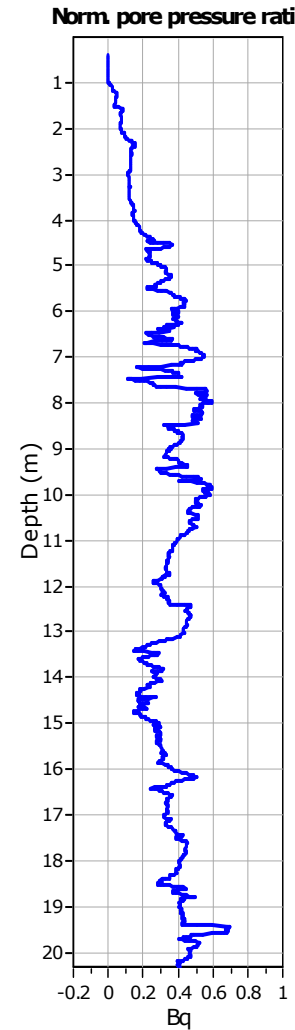
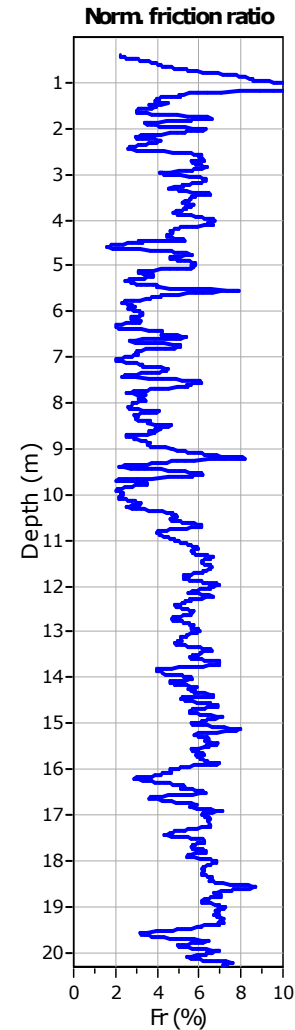
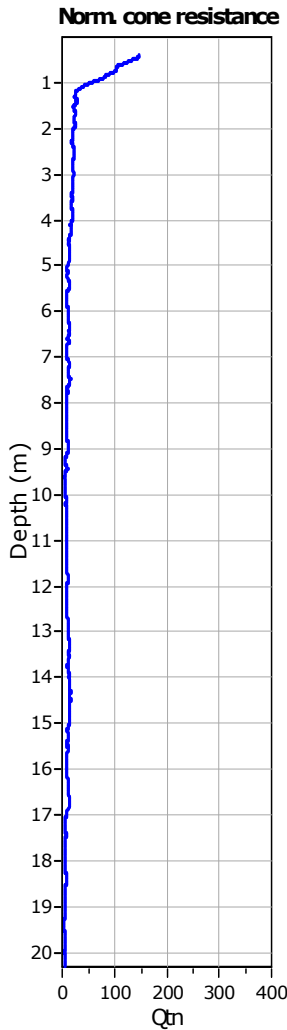
### SBT - Bq plots (normalized)

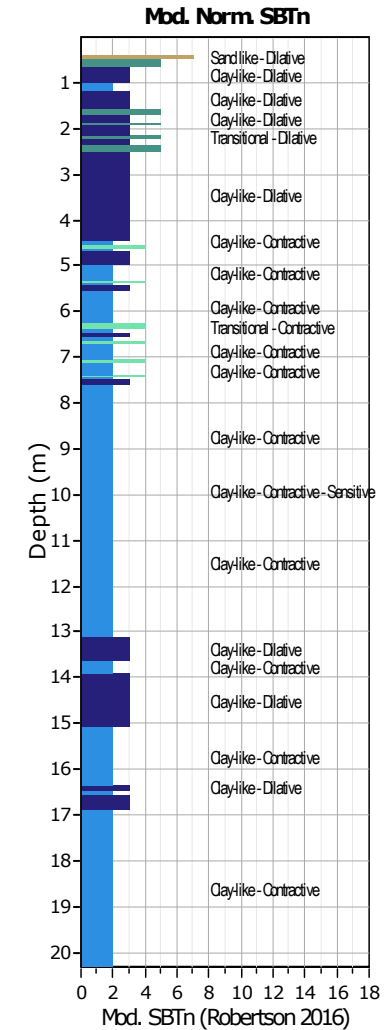
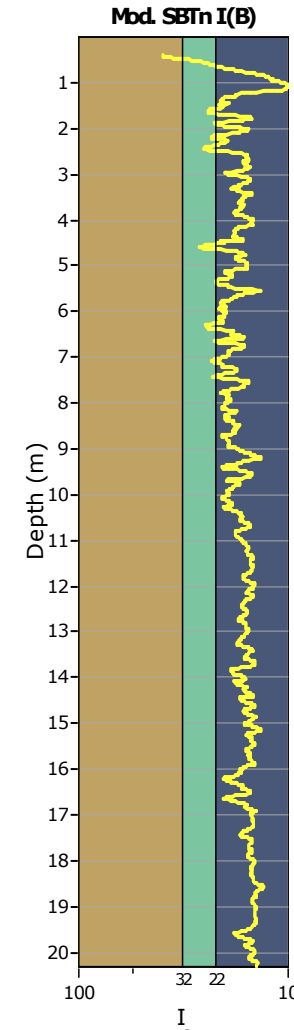
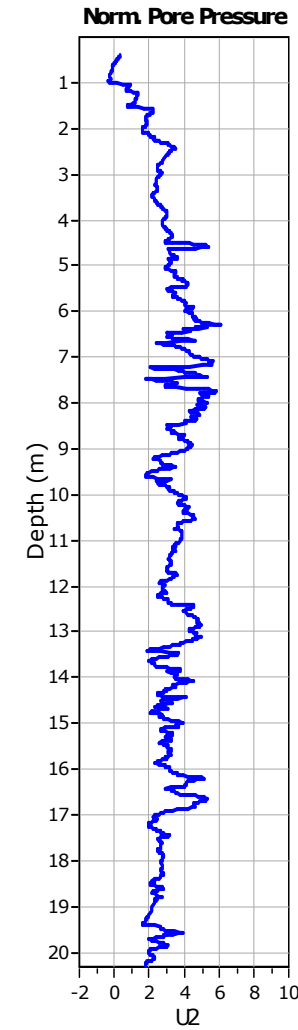
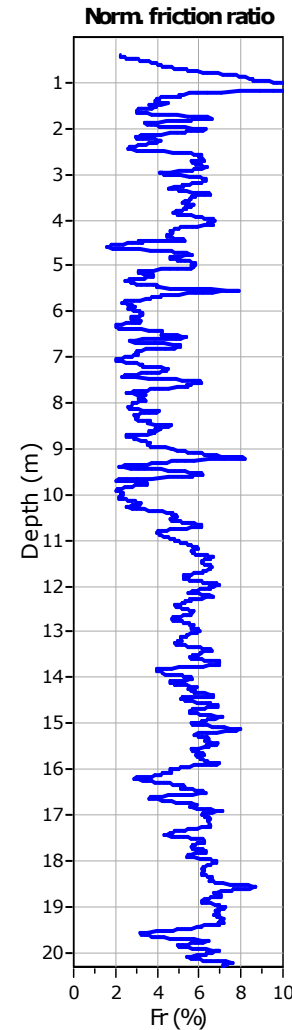
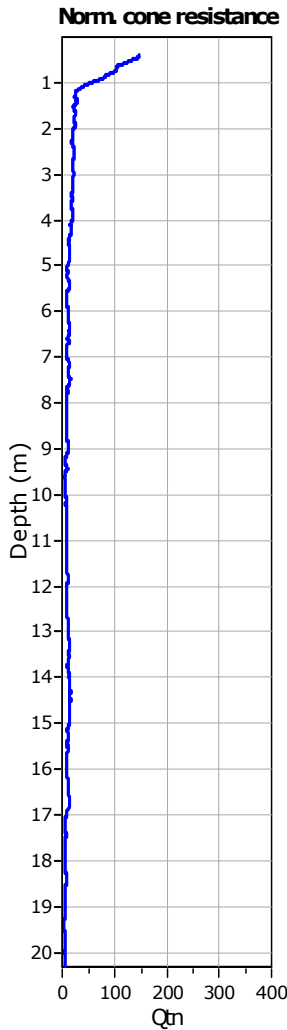


#### SBTn legend

1. Sensitive fine grained	4. Clayey silt to silty clay	7. Gravely sand to sand
2. Organic material	5. Silty sand to sandy silt	6. Clean sand to silty sand
3. Clay to silty clay	8. Very stiff sand to clayey sand	9. Very stiff fine grained



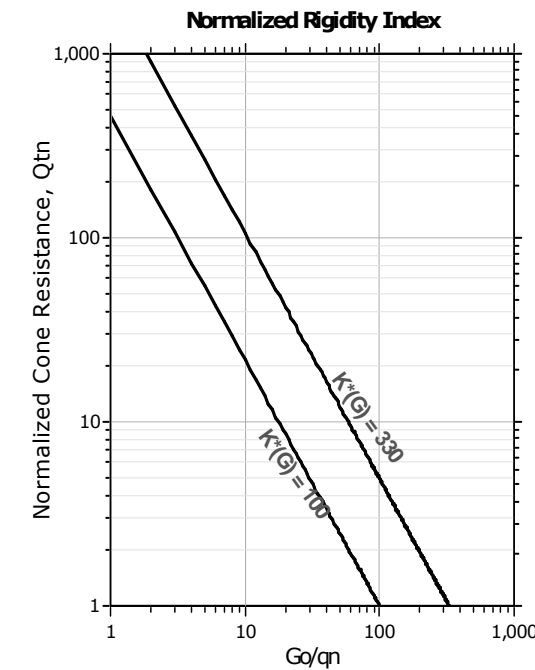
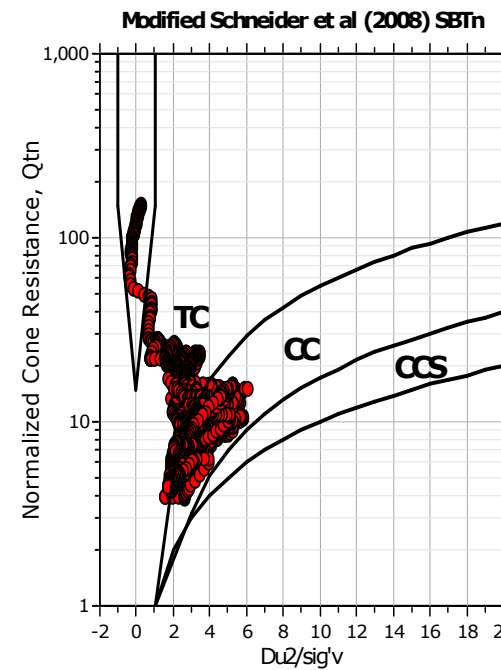
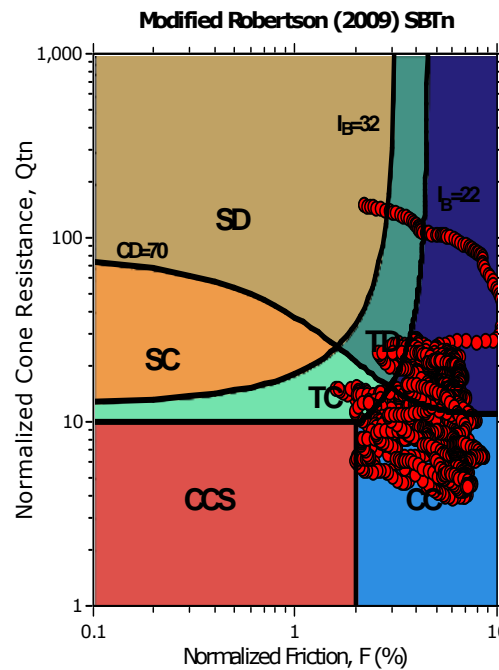




**Mod. SBTn legend**

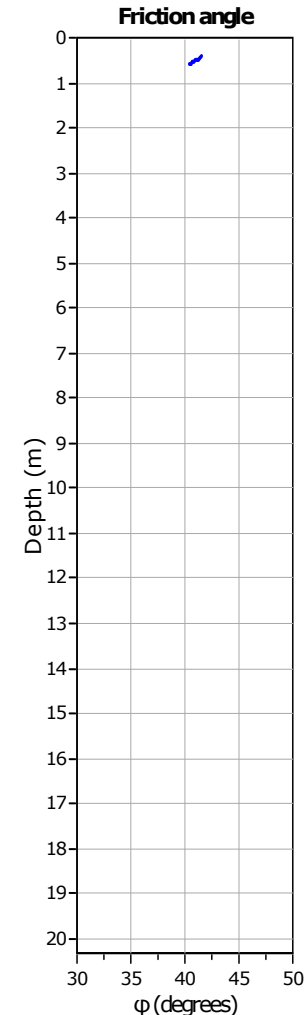
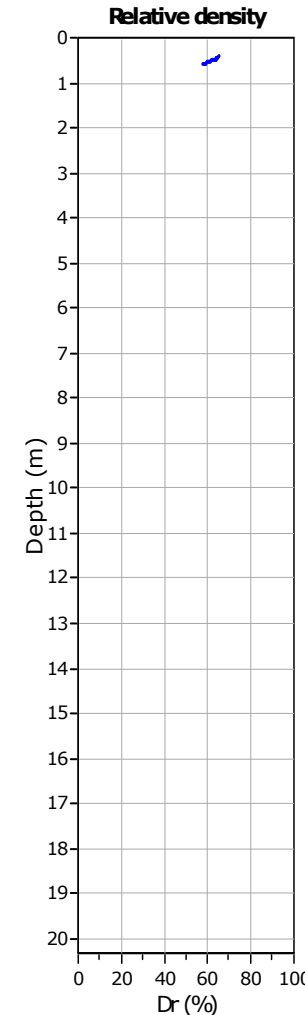
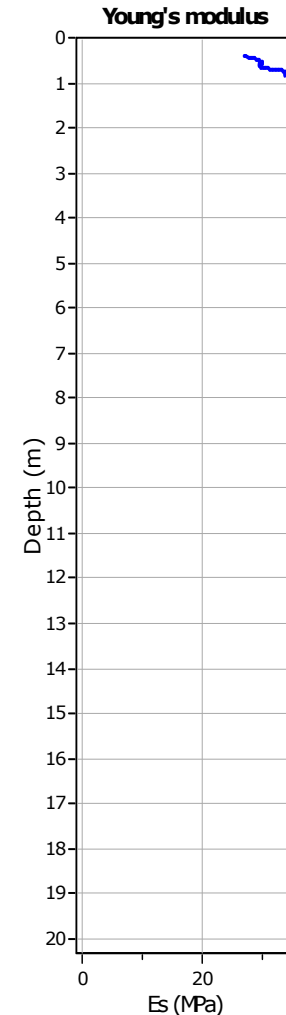
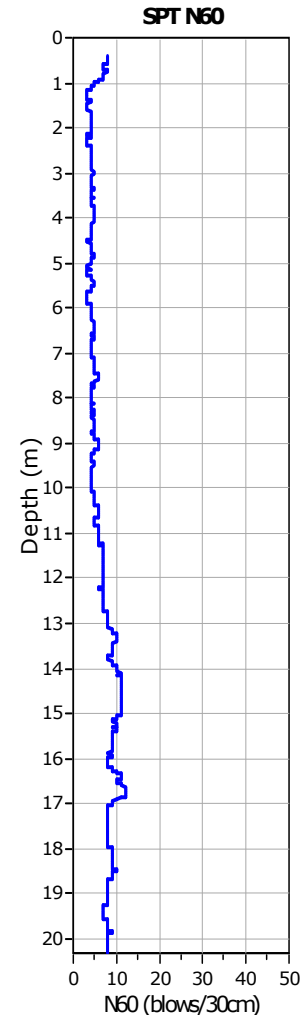
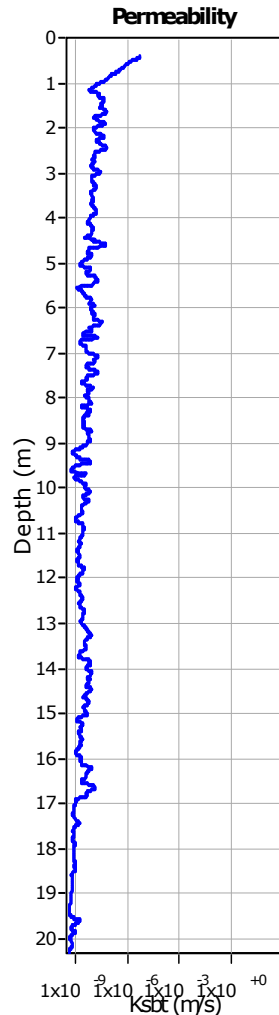
- 1. CCS: ClayLike - Contractive, Sensitive
- 2. CC: Clay-like - Contractive
- 3. CD: Clay-Like: Dilative
- 4. TC: Transitional - Contractive
- 5. TD: Transitional - Dilative
- 6. SC: Sand-like - Contractive
- 7. SD: Sand-like - Dilative

## Updated SBTn plots



CCS: Clay-like - Contractive - Sensitive  
 CC: Clay-like - Contractive  
 CD: Clay-like - Dilative  
 TC: Transitional - Contractive  
 TD: Transitional - Dilative  
 SC: Sand-like - Contractive  
 SD: Sand-like - Dilative

$K(G) > 330$ : Soils with significant microstructure (e.g. age/cementation)



#### Calculation parameters

Permeability: Based on SBT<sub>n</sub>

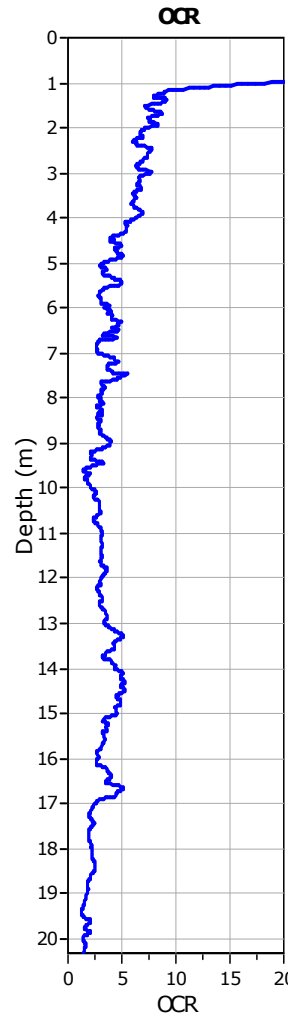
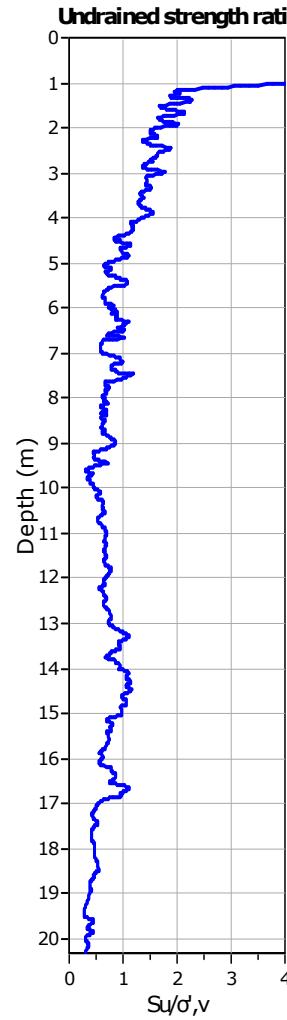
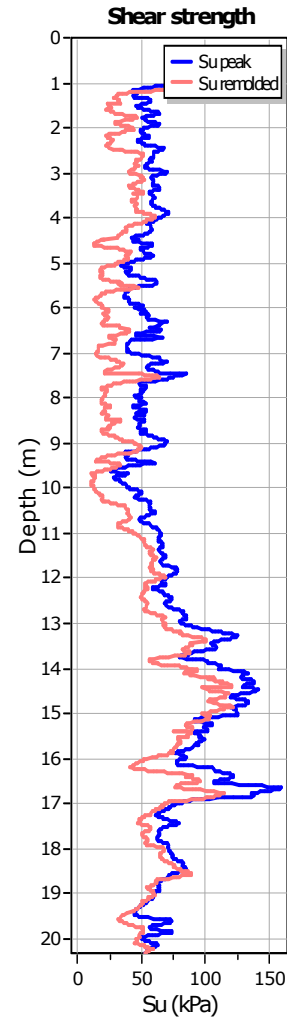
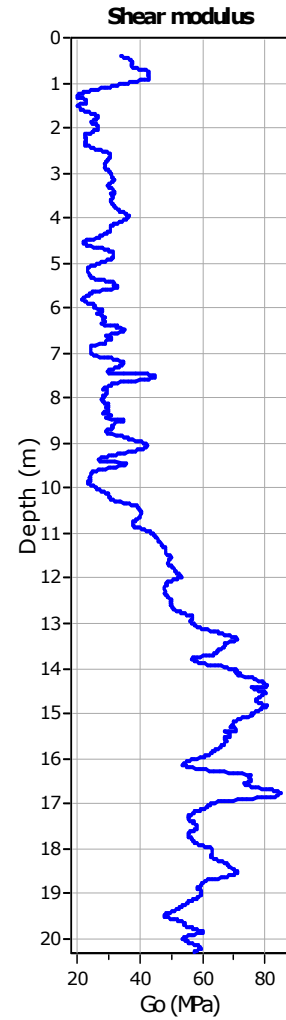
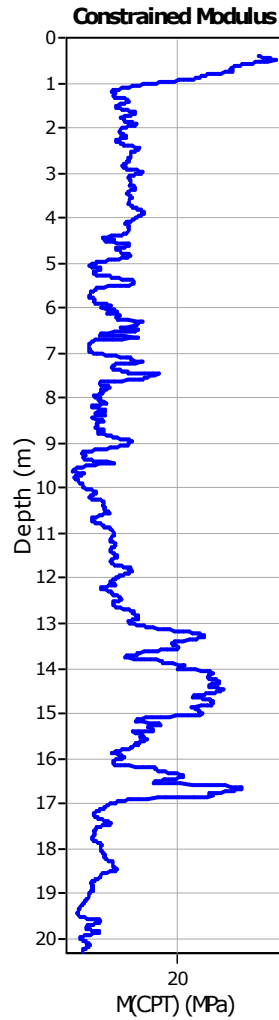
SPT N<sub>60</sub>: Based on I<sub>c</sub> and q<sub>t</sub>

Young's modulus: Based on variable alpha using I<sub>c</sub> (Robertson, 2009)

Relative desnisty constant, C<sub>Dr</sub>: 350.0

Phi: Based on Kulhawy & Mayne (1990)

User defined estimation data



#### Calculation parameters

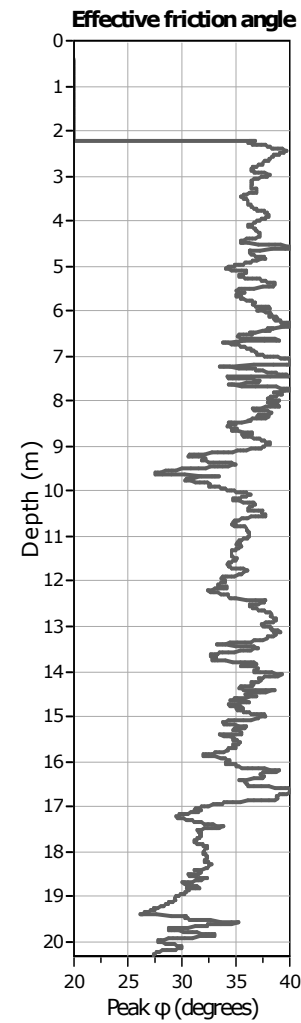
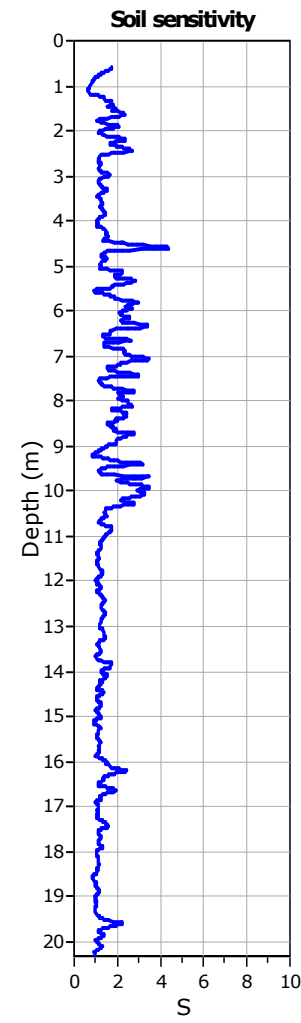
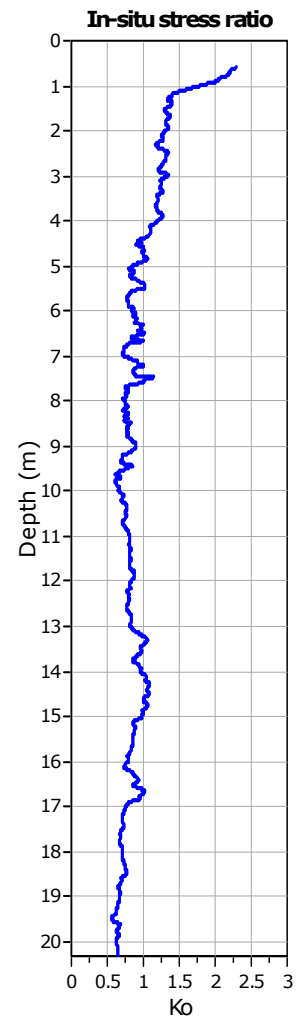
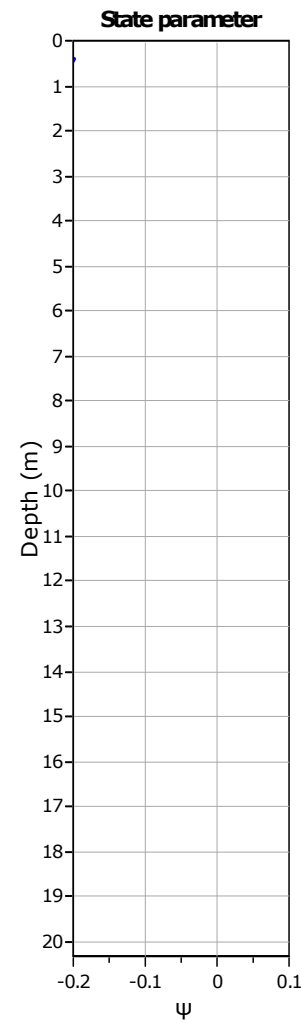
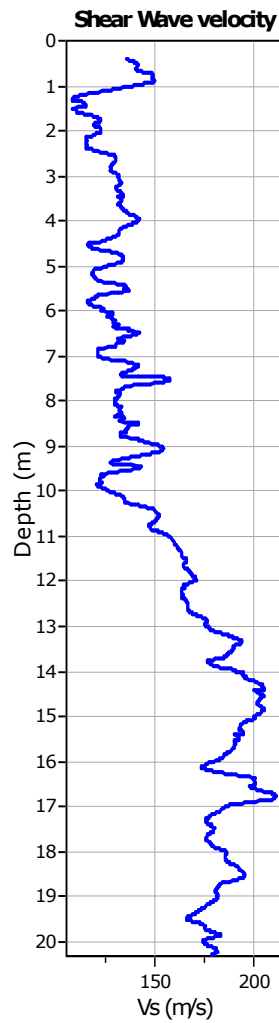
Constrained modulus: Based on variable *alpha* using  $I_c$  and  $Q_{tn}$  (Robertson, 2009)

Go: Based on variable *alpha* using  $I_c$  (Robertson, 2009)

Undrained shear strength cone factor for clays,  $N_{kt}$ : 14

OCR factor for clays,  $N_{kt}$ : 0.33

- User defined estimation data
- Flat Dilatometer Test data

**Calculation parameters**Soil Sensitivity factor, N<sub>s</sub>: 7.00

User defined estimation data

## **ALLEGATO 2**

### PROVE PENETROMETRICHE CPT

## LEGENDA VALORI DI RESISTENZA FATTORI DI CONVERSIONE

**Strumento utilizzato:**  
**SP200 - GeoDeepDrill**

Caratteristiche:

- punta conica meccanica  $\varnothing$  35.7 mm, area punta  $A_p = 10 \text{ cm}^2$
- punta conica meccanica angolo di apertura:  $\alpha = 60^\circ$
- manicotto laterale di attrito tipo 'Begemann' ( $\varnothing = 35.7 \text{ mm}$  -  $h = 133 \text{ mm}$  -  $A_m = 150 \text{ cm}^2$ )
- velocità di avanzamento costante  $V = 2 \text{ cm/sec}$  ( $\pm 0,5 \text{ cm/sec}$ )
- spinta max nominale dello strumento  $S_{max}$  variabile a seconda del tipo
- costante di trasformazione  $CT = SPINTA (\text{Kg}) / LETTURA DI CAMPAGNA$   
(dato tecnico legato alle caratteristiche del penetrometro utilizzato, fornito dal costruttore)

fase 1 - resistenza alla punta:  $q_c (\text{MPa}) = (L_1) \times CT / 10$

fase 2 - resistenza laterale locale:  $f_s (\text{kPa}) = [(L_2) - (L_1)] \times CT / 150$

fase 3 - resistenza totale :  $R_t (\text{kPa}) = (L_t) \times CT$

- Prima lettura = lettura di campagna durante l'infissione della sola punta (fase 1)
- Seconda lettura = lettura di campagna relativa all'infissione di punta e mancotto (fase 2)
- Terza lettura = lettura di campagna relativa all'infissione delle aste esterne (fase 3)

N.B. : la spinta  $S (\text{Kg})$ , corrispondente a ciascuna fase, si ottiene moltiplicando la corrispondente lettura di campagna  $L$  per la costante di trasformazione  $CT$ .

N.B. : causa la distanza intercorrente (20 cm circa) fra il centro del manicotto laterale e la punta conica del penetrometro, la resistenza laterale locale  $f_s$  viene computata 20 cm sopra la punta.

### CONVERSIONI

1 kN (kiloNewton) = 1000 N  $\approx$  100 kg = 0,1 t

1 MN (megaNewton) = 1.000 kN = 1.000.000 N  $\approx$  100 t

1 kPa (kiloPascal) = 1 kN/m<sup>2</sup> = 0,001 MN/m<sup>2</sup> = 0,001 MPa  $\approx$  0,1 t/m<sup>2</sup> = 0,01 kg/cm<sup>2</sup>

1 MPa (megaPascal) = 1 MN/m<sup>2</sup> = 1.000 kN/m<sup>2</sup> = 1000 kPa  $\approx$  100 t/m<sup>2</sup> = 10 kg/cm<sup>2</sup>

1 kg/cm<sup>2</sup> = 10 t/m<sup>2</sup>  $\approx$  100 kN/m<sup>2</sup> = 100 kPa = 0,1 MN/m<sup>2</sup> = 0,1 MPa

1 t = 1000 kg  $\approx$  10 kN

## LEGENDA VALUTAZIONI LITOLOGICHE CORRELAZIONI GENERALI

**Valutazioni in base al rapporto:**  $F = (qc / fs)$

**Begemann 1965 - Raccomandazioni A.G.I. 1977**

Valide in via approssimata per terreni immersi in falda :

$F = qc / fs$	NATURA LITOLOGICA	PROPRIETA'
$F \leq 1470 \text{ kPa}$	TORBE ED ARGILLE ORGANICHE	COESIVE
$1470 \text{ kPa} < F \leq 2940 \text{ kPa}$	LIMI ED ARGILLE	COESIVE
$2940 \text{ kPa} < F \leq 5880 \text{ kPa}$	LIMI SABBIOSI E SABBIE LIMOSE	GRANULARI
$F > 5880 \text{ kPa}$	SABBIE E SABBIE CON GHIAIA	GRANULARI

**Vengono inoltre riportate le valutazioni stratigrafiche fornite da Schmertmann (1978), ricavabili in base ai valori di qc e di FR =  $(fs / qc) \%$  :**

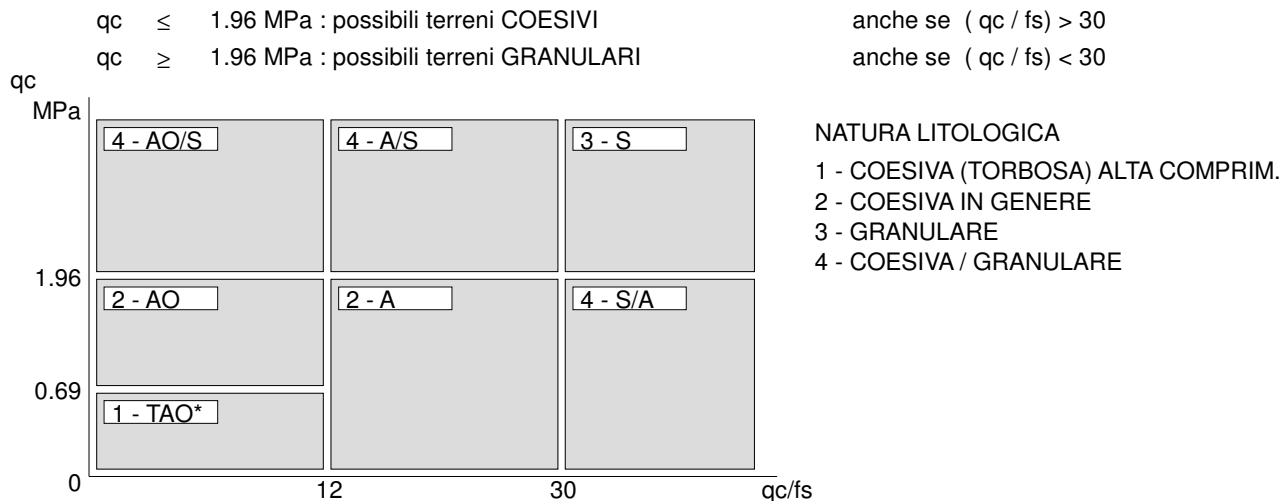
- AO = argilla organica e terreni misti
- Att = argilla (inorganica) molto tenera
- At = argilla (inorganica) tenera
- Am = argilla (inorganica) di media consistenza
- Ac = argilla (inorganica) consistente
- Acc = argilla (inorganica) molto consistente
- ASL = argilla sabbiosa e limosa
- SAL = sabbia e limo / sabbia e limo argilloso
- Ss = sabbia sciolta
- Sm = sabbia mediamente addensata
- Sd = sabbia densa o cementata
- SC = sabbia con molti fossili, calcareniti

Secondo Schmertmann il valore della resistenza laterale da usarsi, dovrebbe essere pari a:

- 1/3 ± - 1/2 di quello misurato , per depositi sabbiosi
- quello misurato ( inalterato ) , per depositi coesivi.

## **LEGENDA PARAMETRI GEOTECNICI SPECIFICHE TECNICHE**

Le scelte litologiche vengono effettuate in base al rapporto qc / fs (Begemann 1965 - A.G.I. 1977) prevedendo altresì la possibilità di casi dubbi :



**PARAMETRI GEOTECNICI ( validità orientativa ) - simboli - correlazioni - bibliografia**

- $\gamma'$  = peso dell' unità di volume (efficace) del terreno [ correlazioni :  $\gamma'$  - qc - natura ]  
( Terzaghi & Peck 1967 - Bowles 1982 )
- $\sigma'_{vo}$  = tensione verticale geostatica (efficace) del terreno ( valutata in base ai valori di  $\gamma'$ )
- Cu = coesione non drenata (terreni coesivi) [ correlazioni : Cu - qc ]
- OCR = grado di sovra consolidazione (terreni coesivi) [ correlazioni : OCR - Cu -  $\sigma'_{vo}$  ]  
( Ladd et al. 1972 / 1974 / 1977 - Lancellotta 1983 )
- Eu = modulo di deformazione non drenato (terreni coesivi) [ correl. : Eu - Cu - OCR - Ip Ip= ind.plast.]  
Eu50 - Eu25 corrispondono rispettivamente ad un grado di mobilitazione dello sforzo deviatorico pari al 50-25% (Duncan & Buchigani 1976 )
- E' = modulo di deformazione drenato (terreni granulari) [ correlazioni : E' - qc ]  
E'50 - E'25 corrispondono rispettivamente ad un grado di mobilitazione dello sforzo deviatorico pari al 50-25% (coeff. di sicurezza F = 2 - 4 rispettivamente )  
Schmertmann 1970 / 1978 - Jamiolkowski ed altri 1983 )
- Mo = modulo di deformazione edometrico (terreni coesivi e granulari) [ correl. : Mo - qc - natura]  
Sanglerat 1972 - Mitchell & Gardner 1975 - Ricceri et al. 1974 - Holden 1973 )
- Dr = densità relativa (terreni granulari N. C. - normalmente consolidati)  
[ correlazioni : Dr - Rp -  $\sigma'_{vo}$  (Schmertmann 1976 )]
- $\emptyset'$  = angolo di attrito interno efficace (terreni granulari N.C.) [ correl. :  $\emptyset'$  - Dr - qc  $\sigma'_{vo}$  )  
 $\emptyset'_{Ca}$  - Caquot (1948)  $\emptyset'_{Ko}$  - Koppejan (1948)  
 $\emptyset'_{DB}$  - De Beer (1965)  $\emptyset'_{Sc}$  - Schmertmann (1978)  
 $\emptyset'_{DM}$  - Durgunoglu & Mitchell (1975) (sabbie N.C.)  $\emptyset'_{Me}$  - Meyerhof (1956 / 1976) (sabbie limose)
- F.L. = fattore di liquefazione (F.L.1 = Sabbie Pulite, F.L.2 = Sabbie Limose)
- Vs = velocità di propagazione delle onde sismiche ( lyisan 1996 )

**PROVA PENETROMETRICA STATICHE MECCANICA**  
**LETTURE CAMPAGNA E VALORI TRASFORMATI**

**CPT****1**

Riferimento

**111-2020**

Committente **STUDIO TECNICO**  
 Cantiere **STUDIO DEL TERRENO DI FONDAZIONE**  
 Località **CAMPOGALLIANO \_ MODENA TERMINAL**

U.M.: **MPa** Data esec. **11/06/2020**  
 Pagina **1** Falda **-1.80 m**  
 Elaborato

H m	L1 -	L2 -	Lt -	qc MPa	fs kPa	F -	Rf %	H m	L1 -	L2 -	Lt -	qc MPa	fs kPa	F -	Rf %
0.20	0.0	0.0		0.00	87.00	0		15.20	34.0	63.0		3.33	253.00	13	7.4
0.40	17.0	30.0		1.67	67.00	25	3.9	15.40	41.0	79.0		4.02	240.00	17	5.9
0.60	18.0	28.0		1.76	107.00	17	5.9	15.60	44.0	80.0		4.31	273.00	16	6.2
0.80	19.0	35.0		1.86	93.00	20	4.9	15.80	44.0	85.0		4.31	307.00	14	7.0
<b>1.00</b>	<b>15.0</b>	<b>29.0</b>		<b>1.47</b>	<b>87.00</b>	<b>17</b>	<b>5.8</b>	<b>16.00</b>	<b>44.0</b>	<b>90.0</b>		<b>4.31</b>	<b>247.00</b>	<b>18</b>	<b>5.6</b>
1.20	13.0	26.0		1.27	87.00	15	6.7	16.20	43.0	80.0		4.21	167.00	26	3.9
1.40	16.0	29.0		1.57	67.00	24	4.2	16.40	45.0	70.0		4.41	220.00	20	4.9
1.60	17.0	27.0		1.67	73.00	23	4.3	16.60	40.0	73.0		3.92	213.00	19	5.3
1.80	13.0	24.0		1.27	40.00	33	3.1	16.80	40.0	72.0		3.92	247.00	16	6.2
<b>2.00</b>	<b>10.0</b>	<b>16.0</b>		<b>0.98</b>	<b>60.00</b>	<b>17</b>	<b>6.0</b>	<b>17.00</b>	<b>43.0</b>	<b>80.0</b>		<b>4.21</b>	<b>200.00</b>	<b>22</b>	<b>4.7</b>
2.20	11.0	20.0		1.08	53.00	21	4.8	17.20	40.0	70.0		3.92	233.00	17	5.8
2.40	11.0	19.0		1.08	80.00	14	7.3	17.40	45.0	80.0		4.41	253.00	18	5.6
2.60	12.0	24.0		1.18	73.00	16	6.1	17.60	44.0	82.0		4.31	273.00	16	6.2
2.80	12.0	23.0		1.18	67.00	18	5.6	17.80	39.0	80.0		3.82	240.00	16	6.2
<b>3.00</b>	<b>10.0</b>	<b>20.0</b>		<b>0.98</b>	<b>80.00</b>	<b>13</b>	<b>8.0</b>	<b>18.00</b>	<b>40.0</b>	<b>76.0</b>		<b>3.92</b>	<b>253.00</b>	<b>16</b>	<b>6.3</b>
3.20	12.0	24.0		1.18	73.00	16	6.1	18.20	42.0	80.0		4.12	307.00	14	7.3
3.40	13.0	24.0		1.27	73.00	18	5.6	18.40	44.0	90.0		4.31	300.00	15	6.8
3.60	15.0	26.0		1.47	73.00	21	4.9	18.60	45.0	90.0		4.41	253.00	18	5.6
3.80	14.0	25.0		1.37	20.00	70	1.4	18.80	42.0	80.0		4.12	307.00	14	7.3
<b>4.00</b>	<b>14.0</b>	<b>17.0</b>		<b>1.37</b>	<b>93.00</b>	<b>15</b>	<b>6.6</b>	<b>19.00</b>	<b>44.0</b>	<b>90.0</b>		<b>4.31</b>	<b>240.00</b>	<b>18</b>	<b>5.5</b>
4.20	15.0	29.0		1.47	100.00	15	6.7	19.20	39.0	75.0		3.82	273.00	14	7.0
4.40	19.0	34.0		1.86	93.00	20	4.9	19.40	39.0	80.0		3.82	293.00	13	7.5
4.60	18.0	32.0		1.76	67.00	27	3.7	19.60	41.0	85.0		4.02	253.00	16	6.2
4.80	10.0	20.0		0.98	40.00	25	4.0	19.80	44.0	82.0		4.31	307.00	14	7.0
<b>5.00</b>	<b>6.0</b>	<b>12.0</b>		<b>0.59</b>	<b>47.00</b>	<b>13</b>	<b>7.8</b>	<b>20.00</b>	<b>44.0</b>	<b>90.0</b>		<b>4.31</b>			
5.20	7.0	14.0		0.69	60.00	12	8.6								
5.40	10.0	19.0		0.98	67.00	15	6.7								
5.60	11.0	21.0		1.08	53.00	21	4.8								
5.80	12.0	20.0		1.18	47.00	26	3.9								
<b>6.00</b>	<b>7.0</b>	<b>14.0</b>		<b>0.69</b>	<b>47.00</b>	<b>15</b>	<b>6.7</b>								
6.20	8.0	15.0		0.78	67.00	12	8.4								
6.40	10.0	20.0		0.98	40.00	25	4.0								
6.60	9.0	15.0		0.88	133.00	7	14.8								
6.80	20.0	40.0		1.96	93.00	22	4.7								
<b>7.00</b>	<b>18.0</b>	<b>32.0</b>		<b>1.76</b>	<b>87.00</b>	<b>21</b>	<b>4.8</b>								
7.20	21.0	34.0		2.06	93.00	23	4.4								
7.40	16.0	30.0		1.57	33.00	48	2.1								
7.60	18.0	23.0		1.76	47.00	38	2.6								
7.80	17.0	24.0		1.67	67.00	25	3.9								
<b>8.00</b>	<b>10.0</b>	<b>20.0</b>		<b>0.98</b>	<b>47.00</b>	<b>21</b>	<b>4.7</b>								
8.20	9.0	16.0		0.88	53.00	17	5.9								
8.40	10.0	18.0		0.98	67.00	15	6.7								
8.60	10.0	20.0		0.98	60.00	17	6.0								
8.80	16.0	25.0		1.57	47.00	34	2.9								
<b>9.00</b>	<b>7.0</b>	<b>14.0</b>		<b>0.69</b>	<b>53.00</b>	<b>13</b>	<b>7.6</b>								
9.20	8.0	16.0		0.78	47.00	17	5.9								
9.40	8.0	15.0		0.78	47.00	17	5.9								
9.60	7.0	14.0		0.69	40.00	18	5.7								
9.80	6.0	12.0		0.59	40.00	15	6.7								
<b>10.00</b>	<b>7.0</b>	<b>13.0</b>		<b>0.69</b>	<b>47.00</b>	<b>15</b>	<b>6.7</b>								
10.20	9.0	16.0		0.88	73.00	12	8.1								
10.40	10.0	21.0		0.98	93.00	11	9.3								
10.60	12.0	26.0		1.18	133.00	9	11.1								
10.80	19.0	39.0		1.86	87.00	22	4.6								
<b>11.00</b>	<b>12.0</b>	<b>25.0</b>		<b>1.18</b>	<b>87.00</b>	<b>14</b>	<b>7.3</b>								
11.20	14.0	27.0		1.37	80.00	18	5.7								
11.40	16.0	28.0		1.57	40.00	40	2.5								
11.60	17.0	23.0		1.67	113.00	15	6.6								
11.80	18.0	35.0		1.76	133.00	14	7.4								
<b>12.00</b>	<b>18.0</b>	<b>38.0</b>		<b>1.76</b>	<b>140.00</b>	<b>13</b>	<b>7.8</b>								
12.20	20.0	41.0		1.96	140.00	14	7.0								
12.40	20.0	41.0		1.96	133.00	15	6.7								
12.60	19.0	39.0		1.86	147.00	13	7.7								
12.80	18.0	40.0		1.76	153.00	12	8.5								
<b>13.00</b>	<b>18.0</b>	<b>41.0</b>		<b>1.76</b>	<b>140.00</b>	<b>13</b>	<b>7.8</b>								
13.20	21.0	42.0		2.06	153.00	14	7.3								
13.40	18.0	41.0		1.76	173.00	10	9.6								
13.60	23.0	49.0		2.25	213.00	11	9.3								
13.80	25.0	57.0		2.45	213.00	12	8.5								
<b>14.00</b>	<b>24.0</b>	<b>56.0</b>		<b>2.35</b>	<b>200.00</b>	<b>12</b>	<b>8.3</b>								
14.20	25.0	55.0		2.45	207.00	12	8.3								
14.40	26.0	57.0		2.55	220.00	12	8.5								
14.60	27.0	60.0		2.65	207.00	13	7.7								
14.80	30.0	61.0		2.94	207.00	14	6.9								
<b>15.00</b>	<b>31.0</b>	<b>62.0</b>		<b>3.04</b>	<b>193.00</b>	<b>16</b>	<b>6.2</b>								

H = profondità

L1 = prima lettura (punta)

L2 = seconda lettura (punta + laterale)

Lt = terza lettura (totale)

CT = 10.00 costante di trasformazione

qc = resistenza punta

fs = resistenza laterale

0.20 m sopra quota qc

F = rapporto Begemann (qc / fs)

Rf = rapporto Schmertmann (fs / qc)\*100

**PROVA PENETROMETRICA STATICÀ MECCANICA  
DIGRAMMI DI RESISTENZA E LITOLOGIA**

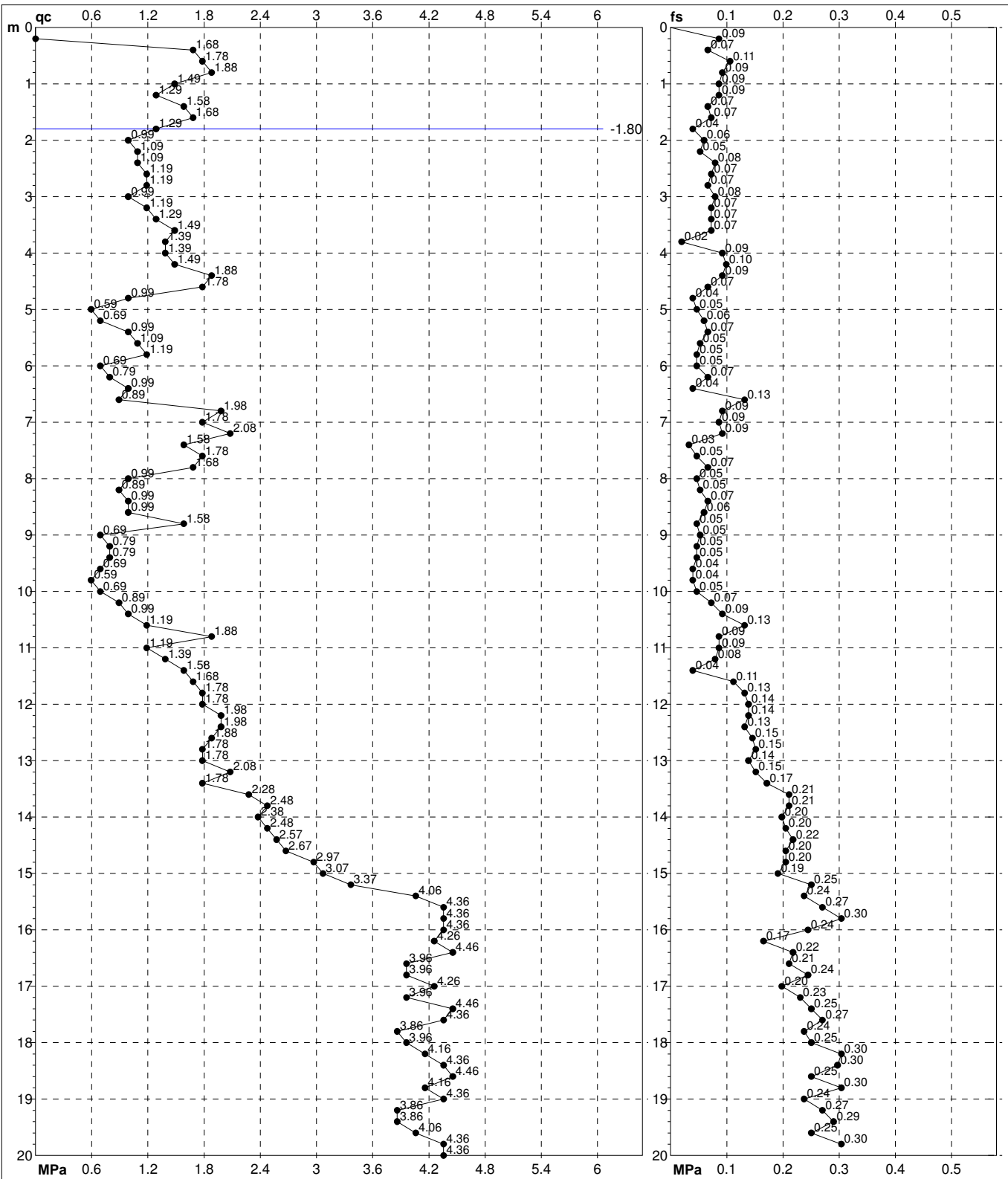
**CPT****1**

Riferimento

**111-2020**

Committente **STUDIO TECNICO**  
 Cantiere **STUDIO DEL TERRENO DI FONDAZIONE**  
 Località **CAMPOGALLIANO \_ MODENA TERMINAL**

U.M.: **MPa**  
 Scala: **1:100**  
 Pagina **1**  
 Elaborato

Quota inizio:  
Falda -1.80 m

Penetrometro: SP200	preforo m
Responsabile:	Corr.astine: kN/ml
Assistente:	Cod. tip:

FON111

## PROVA PENETROMETRICA STATICHE MECCANICA

## DIAGRAMMI LITOLOGIA

CPT

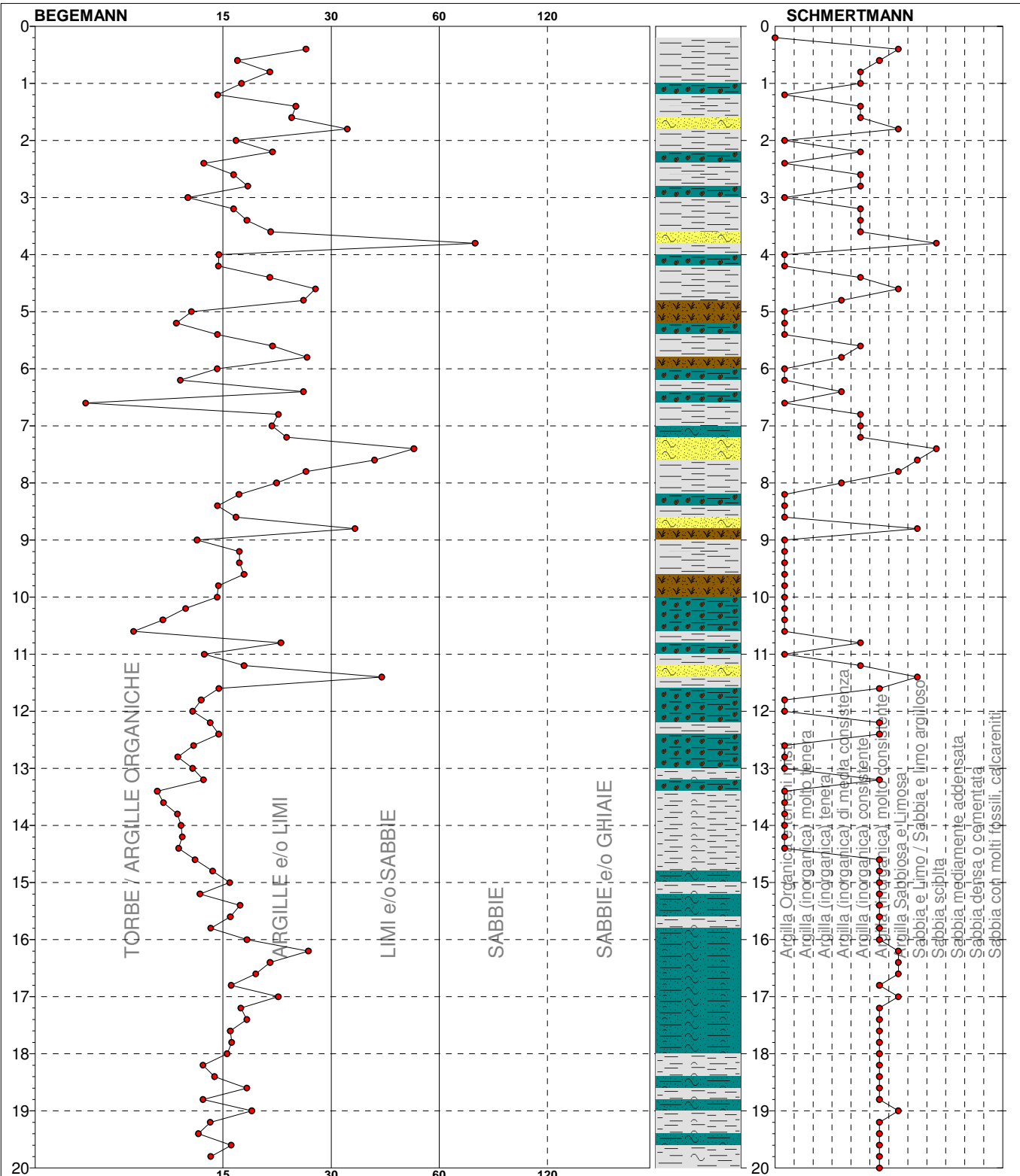
1

Riferimento

111-2020

Committente STUDIO TECNICO  
 Cantiere STUDIO DEL TERRENO DI FONDAZIONE  
 Località CAMPOGALLIANO \_ MODENA TERMINAL

U.M.: MPa Data esec. 11/06/2020  
 Scala: 1:100  
 Pagina 1  
 Elaborato Falda -1.80 m



TORBE / ARGILLE OR	42 punti, 42.00%	Argilla Organica e terreni misti	36 punti, 36.00%	Argilla Sabbiosa e Limosa	9 punti, 9.00%
ARGILLE e/o LIMI	51 punti, 51.00%	Argilla (inorganica) di media consistenza	4 punti, 4.00%	Sabbia e Limo / Sabbia e limo argilloso	3 punti, 3.00%
LIMI e/o SABBIE	5 punti, 5.00%	Argilla (inorganica) consistente	17 punti, 17.00%	Sabbia sciolta	2 punti, 2.00%
SABBIE	1 punti, 1.00%	Argilla (inorganica) molto consistente	27 punti, 27.00%		

FON111

**PROVA PENETROMETRICA STATICÀ MECCANICA  
PARAMETRI GEOTECNICI**

**CPT****1**

Riferimento

**111-2020**

Committente **STUDIO TECNICO**  
 Cantiere **STUDIO DEL TERRENO DI FONDAZIONE**  
 Località **CAMPOGALLIANO \_ MODENA TERMINAL**

U.M.: **MPa** Data esec. **11/06/2020**  
 Pagina **1** Falda **-1.80 m**  
 Elaborato

H m	qc U.M.	qc/fs	zone	$\gamma'$ t/m³	$\sigma'_{vo}$ kPa	Vs m/s	NATURA COESIVA				NATURA GRANULARE													
							Cu kPa	OCR %	Eu50 U.M.	Eu25 U.M.	Mo U.M.	Dr %	Sc ()	Ca ()	Ko ()	DB ()	DM ()	Me ()	E'50 U.M.	E'25 U.M.	Mo U.M.	FL1	FL2	
0.20	-	--	???	1.85	3.6	--	--	--	12.1	18.1	5.3	--	--	--	--	--	--	--	--	--	--			
0.40	1.67	25.37	2	1.85	7.3	161	70.9	99.9	12.1	18.7	5.5	--	--	--	--	--	--	--	--	--	--			
0.60	1.76	16.82	2	1.85	10.9	164	73.5	68.4	12.5	18.7	5.5	--	--	--	--	--	--	--	--	--	--			
0.80	1.86	20.43	2	1.85	14.5	168	76.0	49.8	12.9	19.4	5.7	--	--	--	--	--	--	--	--	--	--			
<b>1.00</b>	1.47	17.24	2	1.85	18.1	154	65.3	31.2	11.1	16.7	4.9	--	--	--	--	--	--	--	--	--	--			
1.20	1.27	14.94	2	1.85	21.8	145	59.3	22.0	10.1	15.1	4.6	--	--	--	--	--	--	--	--	--	--			
1.40	1.57	23.88	2	1.85	25.4	157	68.2	21.6	11.6	17.4	5.1	--	--	--	--	--	--	--	--	--	--			
1.60	1.67	23.29	2	1.85	29.0	161	70.9	19.2	12.1	18.1	5.3	--	--	--	--	--	--	--	--	--	--			
1.80	1.27	32.50	4	???	0.88	30.7	145	59.3	14.3	10.1	15.1	4.6	30	35	28	25	24	32	26	2.1	3.2	3.8		
<b>2.00</b>	0.98	16.67	2	0.90	32.5	132	49.0	10.5	8.3	12.5	3.9	--	--	--	--	--	--	--	--	--	--	--		
2.20	1.08	20.75	2	0.91	34.3	137	52.6	10.7	8.9	13.4	4.2	--	--	--	--	--	--	--	--	--	--	--		
2.40	1.08	13.75	2	0.91	36.1	137	52.6	10.1	8.9	13.4	4.2	--	--	--	--	--	--	--	--	--	--	--		
2.60	1.18	16.44	2	0.92	37.9	141	56.0	10.2	9.5	14.3	4.4	--	--	--	--	--	--	--	--	--	--	--		
2.80	1.18	17.91	2	0.92	39.7	141	56.0	9.7	9.6	14.4	4.4	--	--	--	--	--	--	--	--	--	--	--		
<b>3.00</b>	0.98	12.50	2	0.90	41.4	132	49.0	7.7	10.0	15.1	3.9	--	--	--	--	--	--	--	--	--	--	--		
3.20	1.18	16.44	2	0.92	43.2	141	56.0	8.7	10.2	15.4	4.4	--	--	--	--	--	--	--	--	--	--	--		
3.40	1.27	17.81	2	0.93	45.1	145	59.3	8.8	10.7	16.0	4.6	--	--	--	--	--	--	--	--	--	--	--		
3.60	1.47	20.55	2	0.95	46.9	154	65.3	9.5	11.3	16.9	4.9	--	--	--	--	--	--	--	--	--	--	--		
3.80	1.37	70.00	4	???	0.89	48.7	150	62.4	8.6	11.5	17.3	4.7	22	34	26	23	22	30	26	2.3	3.4	4.1		
<b>4.00</b>	1.37	15.05	2	0.94	50.5	160	62.4	8.2	12.1	18.1	4.7	--	--	--	--	--	--	--	--	--	--	--		
4.20	1.47	15.00	2	0.95	52.4	154	65.3	8.3	12.5	18.7	4.9	--	--	--	--	--	--	--	--	--	--	--		
4.40	1.86	20.43	2	0.99	54.3	168	76.0	9.6	13.1	19.6	5.7	--	--	--	--	--	--	--	--	--	--	--		
4.60	1.76	26.87	2	0.98	56.2	164	73.5	8.8	13.3	20.0	5.5	--	--	--	--	--	--	--	--	--	--	--		
4.80	0.98	25.00	2	0.90	58.0	132	49.0	5.1	16.0	23.9	3.9	--	--	--	--	--	--	--	--	--	--	--		
<b>5.00</b>	0.59	12.77	1	???	0.46	58.9	109	29.4	2.6	3.2	4.8	0.9	--	--	--	--	--	--	--	--	--	--	--	
5.20	0.69	11.67	1	???	0.46	59.8	115	34.3	3.1	3.3	5.0	1.0	--	--	--	--	--	--	--	--	--	--	--	
5.40	0.98	14.93	2	0.90	61.6	132	49.0	4.7	17.1	25.7	3.9	--	--	--	--	--	--	--	--	--	--	--		
5.60	1.08	20.75	2	0.91	63.3	137	52.6	5.0	17.5	26.2	4.2	--	--	--	--	--	--	--	--	--	--	--		
5.80	1.18	25.53	2	0.92	65.1	141	56.0	5.2	17.9	26.8	4.4	--	--	--	--	--	--	--	--	--	--	--		
<b>6.00</b>	0.69	14.89	1	???	0.46	66.0	115	34.3	2.8	3.6	5.4	1.0	--	--	--	--	--	--	--	--	--	--	--	
6.20	0.78	11.94	2	0.86	67.7	121	39.2	3.2	18.8	28.2	3.4	--	--	--	--	--	--	--	--	--	--	--	--	
6.40	0.98	25.00	2	0.90	69.5	132	49.0	4.1	19.4	29.1	3.9	--	--	--	--	--	--	--	--	--	--	--	--	
6.60	0.88	6.77	2	0.88	71.2	127	44.1	3.4	20.1	30.1	3.7	--	--	--	--	--	--	--	--	--	--	--	--	
6.80	1.96	21.51	4	???	0.93	73.0	171	78.4	6.9	18.5	27.7	5.9	24	34	26	23	22	30	27	3.3	4.9	5.9		
<b>7.00</b>	1.76	20.69	2	0.98	75.0	164	73.5	6.1	19.7	29.6	5.5	--	--	--	--	--	--	--	--	--	--	--	--	
7.20	2.06	22.58	4	???	0.93	76.8	174	80.7	6.7	19.6	29.4	6.2	24	34	26	23	22	30	27	3.4	5.1	6.2		
7.40	1.57	48.48	2	0.90	78.5	157	68.2	5.3	21.5	32.2	5.1	14	33	25	21	20	28	27	2.6	3.9	4.7			
7.60	1.76	38.30	4	???	0.91	80.3	164	73.5	5.6	21.7	32.5	5.5	18	33	25	22	21	29	27	2.9	4.4	5.3		
<b>8.00</b>	0.98	21.28	2	0.90	84.0	132	49.0	3.2	23.4	35.0	3.9	--	--	--	--	--	--	--	--	--	--	--	--	
8.20	0.88	16.98	2	0.88	85.7	127	44.1	2.7	22.6	34.0	3.7	--	--	--	--	--	--	--	--	--	--	--	--	
8.40	0.98	14.93	2	0.90	87.5	132	49.0	3.0	24.0	36.0	3.9	--	--	--	--	--	--	--	--	--	--	--	--	
8.60	0.98	16.67	2	0.90	89.2	132	49.0	3.0	24.3	36.5	3.9	--	--	--	--	--	--	--	--	--	--	--	--	
8.80	1.57	34.04	4	???	0.90	91.0	157	68.2	4.4	25.4	38.1	5.1	11	33	24	21	19	27	27	2.6	3.9	4.7		
<b>9.00</b>	0.69	13.21	1	???	0.46	91.9	115	34.3	1.8	4.2	6.3	1.0	--	--	--	--	--	--	--	--	--	--	--	--
9.20	0.78	17.02	2	0.86	93.6	121	39.2	2.1	21.7	32.6	3.4	--	--	--	--	--	--	--	--	--	--	--	--	
9.40	0.78	17.02	2	0.86	95.3	121	39.2	2.1	21.8	32.7	3.4	--	--	--	--	--	--	--	--	--	--	--	--	
9.60	0.69	17.50	2	0.84	96.9	115	34.3	1.7	19.7	29.5	3.2	--	--	--	--	--	--	--	--	--	--	--	--	
9.80	0.59	15.00	1	???	0.46	97.8	109	29.4	1.4	3.7	5.6	0.9	--	--	--	--	--	--	--	--	--	--	--	
<b>10.00</b>	0.69	14.89	1	???	0.46	98.7	115	34.3	1.7	4.3	6.4	1.0	--	--	--	--	--	--	--	--	--	--	--	
10.20	0.88	12.33	2	0.88	100.5	127	44.1	2.2	24.1	36.1	3.7	--	--	--	--	--	--	--	--	--	--	--	--	
10.40	0.98	10.75	2	0.90	102.2	132	49.0	2.5	26.0	38.9	3.9	--	--	--	--	--	--	--	--	--	--	--	--	
10.60	1.18	9.02	2	0.92	104.0	141	56.0	2.9	28.1	42.1	4.4	--	--	--	--	--	--	--	--	--	--	--	--	
10.80	1.86	21.84	2	0.99	106.0	168	76.0	4.1	29.6	44.4	5.7	--	--	--	--	--	--	--	--	--	--	--	--	
<b>11.00</b>	1.18	13.79	2	0.92	107.8	141	56.0	2.8	28.6	42.9	4.4	--	--	--	--	--	--	--	--	--	--	--	--	
11.20	1.37	17.50	2	0.94	109.6	162	62.4	3.1	30.2	45.4	4.7	--	--	--	--	--	--	--	--	--	--	--	--	
11.40	1.57	40.00	4	???	0.90	111.4	157	68.2	3.4	31.3	47.0	5.1	6	32	23	20	18	26	27	2.6	3.9	4.7		
11.60	1.67	15.04	2	0.97	113.3	161	70.9	3.5	31.9	47.9	5.3	--	--	--	--	--	--	--	--	--	--	--	--	
11.80	1.76	13.53	2	0.98	115.2	164	73.5	3.6	32.5</															

**PROVA PENETROMETRICA STATICHE MECCANICA**  
**LETTURE CAMPAGNA E VALORI TRASFORMATI**
**CPT****2**

Riferimento

**111-2020**

Committente **STUDIO TECNICO**  
 Cantiere **STUDIO DEL TERRENO DI FONDAZIONE**  
 Località **CAMPOGALLIANO \_ MODENA TERMINAL**

U.M.:

**MPa**

Data esec.

11/06/2020

Pagina

1

Elaborato

Falda

-1.70 m

H m	L1 -	L2 -	Lt -	qc MPa	fs kPa	F -	Rf %	H m	L1 -	L2 -	Lt -	qc MPa	fs kPa	F -	Rf %
0.20	0.0	0.0		0.00	0.00			15.20	35.0	78.0		3.43	347.00	10	9.9
0.40	0.0	0.0		0.00	0.00			15.40	36.0	88.0		3.53	267.00	13	7.4
0.60	0.0	0.0		0.00	0.00			15.60	40.0	80.0		3.92	280.00	14	7.0
0.80	0.0	0.0		0.00	80.00	0		15.80	28.0	70.0		2.74	300.00	9	10.7
<b>1.00</b>	<b>12.0</b>	<b>24.0</b>		<b>1.18</b>	<b>67.00</b>	<b>18</b>	<b>5.6</b>	<b>16.00</b>	<b>30.0</b>	<b>75.0</b>		<b>2.94</b>	<b>347.00</b>	<b>9</b>	<b>11.6</b>
1.20	10.0	20.0		0.98	73.00	14	7.3	16.20	29.0	81.0		2.84	313.00	9	10.8
1.40	11.0	22.0		1.08	93.00	12	8.5	16.40	31.0	78.0		3.04	333.00	9	10.7
1.60	16.0	30.0		1.57	107.00	15	6.7	16.60	30.0	80.0		2.94	347.00	9	11.6
1.80	14.0	30.0		1.37	80.00	18	5.7	16.80	28.0	80.0		2.74	307.00	9	11.0
<b>2.00</b>	<b>12.0</b>	<b>24.0</b>		<b>1.18</b>	<b>93.00</b>	<b>13</b>	<b>7.8</b>	<b>17.00</b>	<b>33.0</b>	<b>79.0</b>		<b>3.23</b>	<b>333.00</b>	<b>10</b>	<b>10.1</b>
2.20	14.0	28.0		1.37	107.00	13	7.6	17.20	30.0	80.0		2.94	347.00	9	11.6
2.40	14.0	30.0		1.37	87.00	16	6.2	17.40	29.0	81.0		2.84	280.00	10	9.7
2.60	13.0	26.0		1.27	27.00	48	2.1	17.60	28.0	70.0		2.74	300.00	9	10.7
2.80	16.0	20.0		1.57	80.00	20	5.0	17.80	30.0	75.0		2.94	320.00	9	10.7
<b>3.00</b>	<b>8.0</b>	<b>20.0</b>		<b>0.78</b>	<b>53.00</b>	<b>15</b>	<b>6.6</b>	<b>18.00</b>	<b>31.0</b>	<b>79.0</b>		<b>3.04</b>	<b>293.00</b>	<b>11</b>	<b>9.5</b>
3.20	8.0	16.0		0.78	80.00	10	10.0	18.20	32.0	76.0		3.14	320.00	10	10.0
3.40	12.0	24.0		1.18	107.00	11	8.9	18.40	32.0	80.0		3.14	267.00	12	8.3
3.60	14.0	30.0		1.37	140.00	10	10.0	18.60	40.0	80.0		3.92	287.00	14	7.2
3.80	17.0	38.0		1.67	87.00	20	5.1	18.80	42.0	85.0		4.12	307.00	14	7.3
<b>4.00</b>	<b>13.0</b>	<b>26.0</b>		<b>1.27</b>	<b>73.00</b>	<b>18</b>	<b>5.6</b>	<b>19.00</b>	<b>40.0</b>	<b>86.0</b>		<b>3.92</b>	<b>267.00</b>	<b>15</b>	<b>6.7</b>
4.20	11.0	22.0		1.08	87.00	13	7.9	19.20	39.0	79.0		3.82	253.00	15	6.5
4.40	17.0	30.0		1.67	93.00	18	5.5	19.40	38.0	76.0		3.72	307.00	12	8.1
4.60	15.0	29.0		1.47	67.00	22	4.5	19.60	40.0	86.0		3.92	267.00	15	6.7
4.80	10.0	20.0		0.98	93.00	11	9.3	19.80	42.0	82.0		4.12	233.00	18	5.5
<b>5.00</b>	<b>16.0</b>	<b>30.0</b>		<b>1.57</b>	<b>93.00</b>	<b>17</b>	<b>5.8</b>	<b>20.00</b>	<b>44.0</b>	<b>79.0</b>		<b>4.31</b>			
5.20	14.0	28.0		1.37	73.00	19	5.2								
5.40	13.0	24.0		1.27	73.00	18	5.6								
5.60	11.0	22.0		1.08	80.00	14	7.3								
5.80	20.0	32.0		1.96	107.00	19	5.4								
<b>6.00</b>	<b>30.0</b>	<b>46.0</b>		<b>2.94</b>	<b>120.00</b>	<b>25</b>	<b>4.0</b>								
6.20	38.0	56.0		3.72	107.00	36	2.8								
6.40	49.0	65.0		4.80	67.00	73	1.4								
6.60	46.0	56.0		4.51	53.00	87	1.2								
6.80	49.0	57.0		4.80	53.00	92	1.1								
<b>7.00</b>	<b>18.0</b>	<b>26.0</b>		<b>1.76</b>	<b>93.00</b>	<b>19</b>	<b>5.2</b>								
7.20	31.0	45.0		3.04	67.00	46	2.2								
7.40	35.0	45.0		3.43	33.00	106	0.9								
7.60	25.0	30.0		2.45	40.00	63	1.6								
7.80	46.0	52.0		4.51	53.00	87	1.2								
<b>8.00</b>	<b>20.0</b>	<b>28.0</b>		<b>1.96</b>	<b>33.00</b>	<b>61</b>	<b>1.7</b>								
8.20	25.0	30.0		2.45	53.00	47	2.1								
8.40	20.0	28.0		1.96	47.00	43	2.4								
8.60	7.0	14.0		0.69	67.00	10	9.6								
8.80	10.0	20.0		0.98	67.00	15	6.7								
<b>9.00</b>	<b>10.0</b>	<b>20.0</b>		<b>0.98</b>	<b>53.00</b>	<b>19</b>	<b>5.3</b>								
9.20	8.0	16.0		0.78	47.00	17	5.9								
9.40	9.0	16.0		0.88	53.00	17	5.9								
9.60	8.0	16.0		0.78	40.00	20	5.0								
9.80	7.0	13.0		0.69	47.00	15	6.7								
<b>10.00</b>	<b>7.0</b>	<b>14.0</b>		<b>0.69</b>	<b>40.00</b>	<b>18</b>	<b>5.7</b>								
10.20	9.0	15.0		0.88	53.00	17	5.9								
10.40	12.0	20.0		1.18	87.00	14	7.3								
10.60	12.0	25.0		1.18	73.00	16	6.1								
10.80	11.0	22.0		1.08	53.00	21	4.8								
<b>11.00</b>	<b>12.0</b>	<b>20.0</b>		<b>1.18</b>	<b>33.00</b>	<b>36</b>	<b>2.8</b>								
11.20	9.0	14.0		0.88	80.00	11	8.9								
11.40	12.0	24.0		1.18	80.00	15	6.7								
11.60	13.0	25.0		1.27	80.00	16	6.2								
11.80	12.0	24.0		1.18	100.00	12	8.3								
<b>12.00</b>	<b>15.0</b>	<b>30.0</b>		<b>1.47</b>	<b>93.00</b>	<b>16</b>	<b>6.2</b>								
12.20	14.0	28.0		1.37	87.00	16	6.2								
12.40	13.0	26.0		1.27	100.00	13	7.7								
12.60	15.0	30.0		1.47	120.00	13	8.0								
12.80	18.0	36.0		1.76	147.00	12	8.2								
<b>13.00</b>	<b>18.0</b>	<b>40.0</b>		<b>1.76</b>	<b>133.00</b>	<b>14</b>	<b>7.4</b>								
13.20	20.0	40.0		1.96	173.00	12	8.7								
13.40	24.0	50.0		2.35	187.00	13	7.8								
13.60	28.0	56.0		2.74	200.00	14	7.1								
13.80	30.0	60.0		2.94	200.00	15	6.7								
<b>14.00</b>	<b>28.0</b>	<b>58.0</b>		<b>2.74</b>	<b>180.00</b>	<b>16</b>	<b>6.4</b>								
14.20	25.0	52.0		2.45	373.00	7	14.9								
14.40	24.0	80.0		2.35	213.00	11	8.9								
14.60	32.0	64.0		3.14	213.00	15	6.7								
14.80	28.0	60.0		2.74	267.00	10	9.5								
<b>15.00</b>	<b>40.0</b>	<b>80.0</b>		<b>3.92</b>	<b>287.00</b>	<b>14</b>	<b>7.2</b>								

H = profondità

L1 = prima lettura (punta)

L2 = seconda lettura (punta + laterale)

Lt = terza lettura (totale)

CT = 10.00 costante di trasformazione

qc = resistenza punta

fs = resistenza laterale

0.20 m sopra quota qc

F = rapporto Begemann (qc / fs)

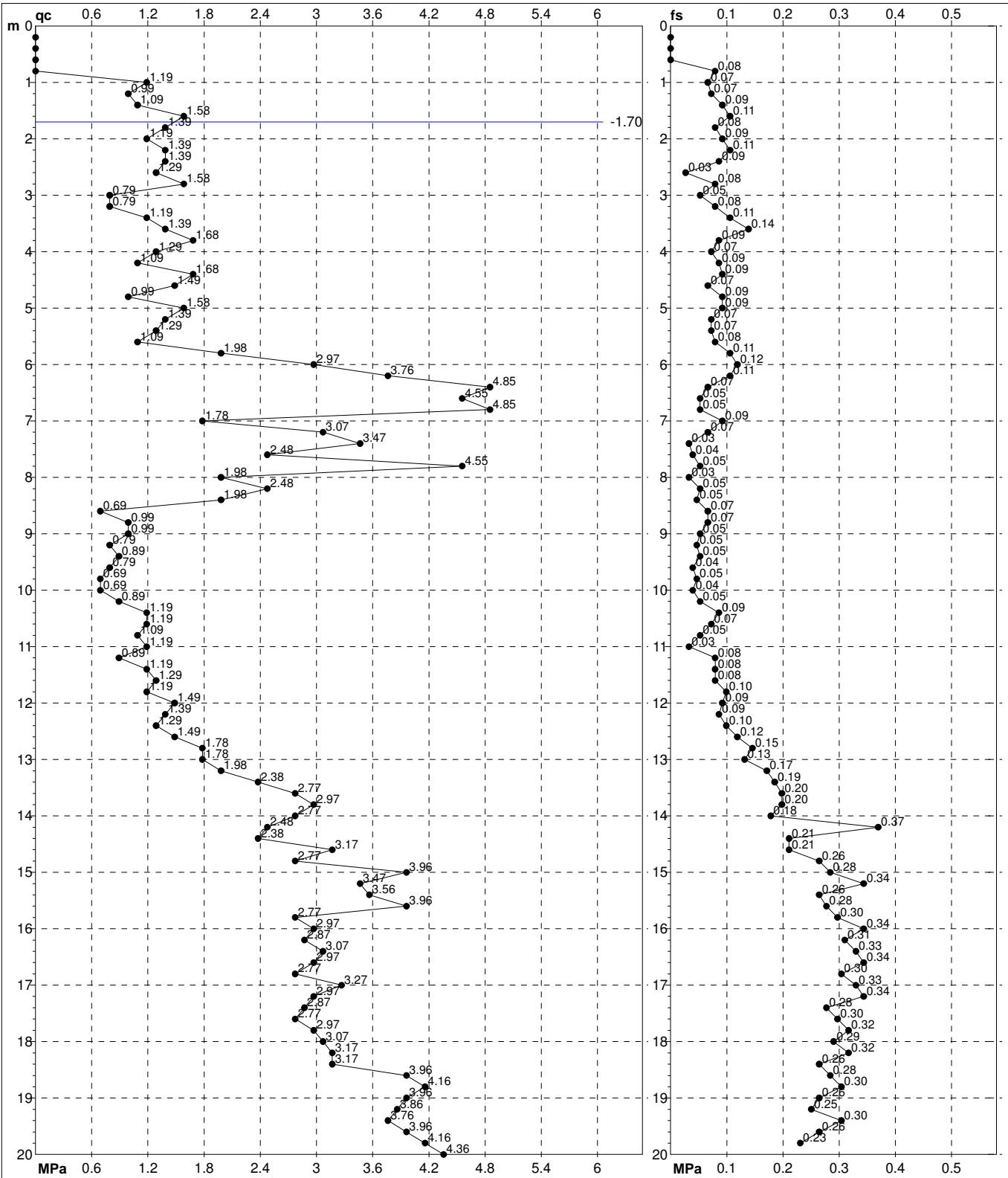
Rf = rapporto Schmertmann (fs / qc)\*100

**PROVA PENETROMETRICA STATICÀ MECCANICA  
DIGRAMMI DI RESISTENZA E LITOLOGIA**
**CPT****2**

Riferimento

111-2020

 Committente **STUDIO TECNICO**  
 Cantiere **STUDIO DEL TERRENO DI FONDAZIONE**  
 Località **CAMPOGALLIANO \_ MODENA TERMINAL**

 U.M.: **MPa**  
 Scala: **1:100**  
 Pagina **1**  
 Elaborato
Quota inizio:  
Falda -1.70 m

Penetrometro: SP200	preforo m
Responsabile:	Corr.astine: kN/ml
Assistente:	Cod. tip:

FON111

## PROVA PENETROMETRICA STATICHE MECCANICHE

## DIAGRAMMI LITOLOGIA

CPT

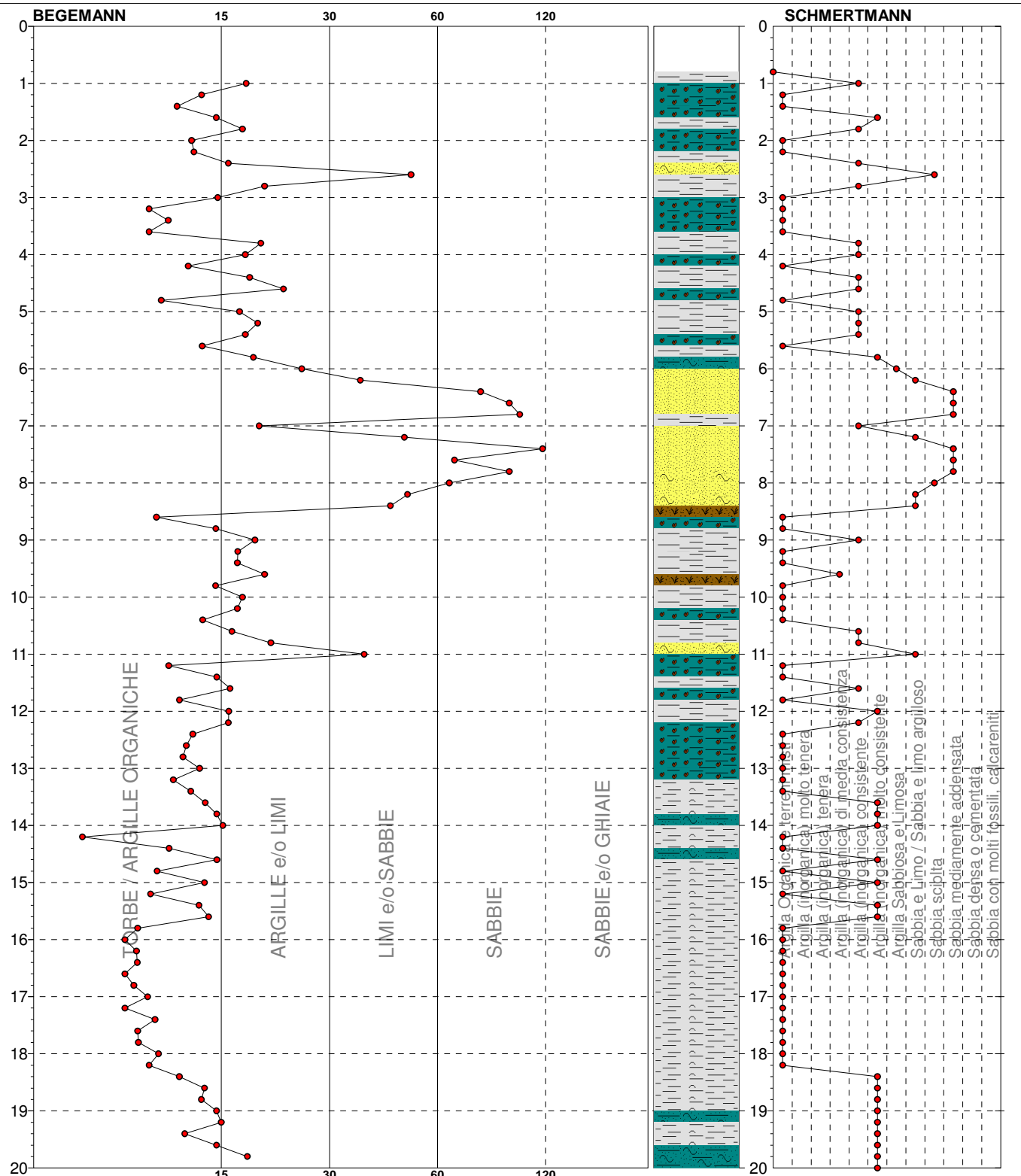
2

Riferimento

111-2020

Committente STUDIO TECNICO  
 Cantiere STUDIO DEL TERRENO DI FONDAZIONE  
 Località CAMPOGALLIANO \_ MODENA TERMINAL

U.M.: MPa  
 Scala: 1:100  
 Pagina 1  
 Elaborato Falda -1.70 m



TORBE / ARGILLE OR	56 punti, 56.00%	Argilla Organica e terreni misti	45 punti, 45.00%	Argilla Sabiosa e Limosa	1 punti, 1.00%
ARGILLE e/o LIMI	30 punti, 30.00%	Argilla (inorganica) di media consistenza	1 punti, 1.00%	Sabbia e Limone / Sabbia e limo argilloso	5 punti, 5.00%
LIMI e/o SABBIE	6 punti, 6.00%	Argilla (inorganica) consistente	17 punti, 17.00%	Sabbia sciolta	2 punti, 2.00%
SABBIE	7 punti, 7.00%	Argilla (inorganica) molto consistente	18 punti, 18.00%	Sabbia mediamente addensata	6 punti, 6.00%

FON111

**PROVA PENETROMETRICA STATICÀ MECCANICA  
PARAMETRI GEOTECNICI**

**CPT****2**

Riferimento

**111-2020**

Committente **STUDIO TECNICO**  
 Cantiere **STUDIO DEL TERRENO DI FONDAZIONE**  
 Località **CAMPOGALLIANO \_ MODENA TERMINAL**

U.M.: **MPa** Data esec. **11/06/2020**  
 Pagina **1**  
 Elaborato Falda **-1.70 m**

H m	qc U.M.	qc/fs	zone	$\gamma'$ t/m³	σ'vo kPa	Vs m/s	NATURA COESIVA				NATURA GRANULARE										
							Cu kPa	OCR %	Eu50 U.M.	Eu25 U.M.	Mo U.M.	Dr %	Sc ()	Ca ()	Ko ()	DB ()	DM ()	Me ()	E50 U.M.	E25 U.M.	Mo U.M.
0.20	--	--	???	1.85	3.6	--	--	--	--	--	--	--	--	--	--	--	--	--	--	--	--
0.40	--	--	???	1.85	7.3	--	--	--	--	--	--	--	--	--	--	--	--	--	--	--	--
0.60	--	--	???	1.85	10.9	--	--	--	--	--	--	--	--	--	--	--	--	--	--	--	--
0.80	--	--	???	1.85	14.5	--	--	--	--	--	--	--	--	--	--	--	--	--	--	--	--
<b>1.00</b>	<b>1.18</b>	<b>17.91</b>	<b>2</b>	<b>1.85</b>	<b>18.1</b>	<b>141</b>	<b>56.0</b>	<b>25.7</b>	<b>9.5</b>	<b>14.3</b>	<b>4.4</b>	--	--	--	--	--	--	--	--	--	--
1.20	0.98	13.70	2	1.85	21.8	132	49.0	17.3	8.3	12.5	3.9	--	--	--	--	--	--	--	--	--	--
1.40	1.08	11.83	2	1.85	25.4	137	52.6	15.6	8.9	13.4	4.2	--	--	--	--	--	--	--	--	--	--
1.60	1.57	14.95	2	1.85	29.0	157	68.2	18.3	11.6	17.4	5.1	--	--	--	--	--	--	--	--	--	--
1.80	1.37	17.50	2	0.94	30.9	150	62.4	15.1	10.6	15.9	4.7	--	--	--	--	--	--	--	--	--	--
<b>2.00</b>	<b>1.18</b>	<b>12.90</b>	<b>2</b>	<b>0.92</b>	<b>32.7</b>	<b>141</b>	<b>56.0</b>	<b>12.3</b>	<b>9.5</b>	<b>14.3</b>	<b>4.4</b>	--	--	--	--	--	--	--	--	--	--
2.20	1.37	13.08	2	0.94	34.5	150	62.4	13.2	10.6	15.9	4.7	--	--	--	--	--	--	--	--	--	--
2.40	1.37	16.09	2	0.94	36.3	150	62.4	12.3	10.6	15.9	4.7	--	--	--	--	--	--	--	--	--	--
2.60	1.27	48.15	4	0.88	38.1	145	59.3	10.9	10.1	15.1	4.6	25	34	27	24	23	31	26	2.1	3.2	3.8
2.80	1.57	20.00	2	0.96	39.9	157	68.2	12.2	11.6	17.4	5.1	--	--	--	--	--	--	--	--	--	--
<b>3.00</b>	<b>0.78</b>	<b>15.09</b>	<b>2</b>	<b>0.86</b>	<b>41.6</b>	<b>121</b>	<b>39.2</b>	<b>5.8</b>	<b>11.1</b>	<b>16.7</b>	<b>3.4</b>	--	--	--	--	--	--	--	--	--	--
3.20	0.78	10.00	2	0.86	43.3	121	39.2	5.5	11.7	17.6	3.4	--	--	--	--	--	--	--	--	--	--
3.40	1.18	11.22	2	0.92	45.1	141	56.0	8.2	10.8	16.1	4.4	--	--	--	--	--	--	--	--	--	--
3.60	1.37	10.00	2	0.94	47.0	150	62.4	9.0	11.1	16.7	4.7	--	--	--	--	--	--	--	--	--	--
3.80	1.67	19.54	2	0.97	48.9	161	70.9	10.0	12.1	18.1	5.3	--	--	--	--	--	--	--	--	--	--
<b>4.00</b>	<b>1.27</b>	<b>17.81</b>	<b>2</b>	<b>0.93</b>	<b>50.7</b>	<b>145</b>	<b>59.3</b>	<b>7.6</b>	<b>12.3</b>	<b>18.5</b>	<b>4.6</b>	--	--	--	--	--	--	--	--	--	--
4.20	1.08	12.64	2	0.91	52.5	137	52.6	6.3	13.7	20.5	4.2	--	--	--	--	--	--	--	--	--	--
4.40	1.67	18.28	2	0.97	54.4	161	70.9	8.7	12.9	19.3	5.3	--	--	--	--	--	--	--	--	--	--
4.60	1.47	22.39	2	0.95	56.2	154	65.3	7.6	13.7	20.6	4.9	--	--	--	--	--	--	--	--	--	--
4.80	0.98	10.75	2	0.90	58.0	132	49.0	5.1	16.0	23.9	3.9	--	--	--	--	--	--	--	--	--	--
<b>5.00</b>	<b>1.57</b>	<b>17.20</b>	<b>2</b>	<b>0.96</b>	<b>59.9</b>	<b>157</b>	<b>68.2</b>	<b>7.4</b>	<b>14.7</b>	<b>22.1</b>	<b>5.1</b>	--	--	--	--	--	--	--	--	--	--
5.20	1.37	19.18	2	0.94	61.7	150	62.4	6.4	16.0	24.0	4.7	--	--	--	--	--	--	--	--	--	--
5.40	1.27	17.81	2	0.93	63.5	145	59.3	5.8	17.0	25.5	4.6	--	--	--	--	--	--	--	--	--	--
5.60	1.08	13.75	2	0.91	65.3	137	52.6	4.8	18.1	27.2	4.2	--	--	--	--	--	--	--	--	--	--
5.80	1.96	18.69	4	0.88	67.1	171	78.4	7.6	16.4	24.5	5.9	26	34	27	23	22	30	27	3.3	4.9	5.9
<b>6.00</b>	<b>2.00</b>	<b>25.00</b>	<b>3</b>	<b>0.96</b>	<b>69.0</b>	<b>199</b>	<b>98.0</b>	<b>9.7</b>	<b>16.7</b>	<b>25.1</b>	<b>8.8</b>	<b>39</b>	<b>36</b>	<b>28</b>	<b>25</b>	<b>24</b>	<b>32</b>	<b>29</b>	<b>4.9</b>	<b>7.4</b>	<b>8.8</b>
6.20	3.72	35.51	3	0.90	70.8	218	--	--	--	--	--	47	37	29	26	25	33	30	6.2	9.3	11.2
6.40	4.80	73.13	3	0.92	72.6	240	--	--	--	--	--	55	38	31	28	26	35	31	8.0	12.0	14.4
6.60	4.51	86.79	3	0.91	74.4	234	--	--	--	--	--	52	37	30	27	25	34	31	7.5	11.3	13.5
6.80	4.80	92.45	3	0.92	76.1	240	--	--	--	--	--	54	38	30	27	26	34	31	8.0	12.0	14.4
<b>7.00</b>	<b>1.76</b>	<b>19.35</b>	<b>2</b>	<b>0.98</b>	<b>78.1</b>	<b>164</b>	<b>73.5</b>	<b>5.8</b>	<b>20.8</b>	<b>31.3</b>	<b>5.5</b>	--	--	--	--	--	--	--	--	--	--
7.20	3.04	46.27	3	0.88	79.8	202	--	--	--	--	--	37	36	28	25	23	32	29	5.1	7.6	9.1
7.40	3.43	106.06	3	0.89	81.5	211	--	--	--	--	--	40	36	28	25	24	32	29	5.7	8.6	10.3
7.60	2.45	62.50	3	0.86	83.2	186	--	--	--	--	--	28	35	27	23	22	30	28	4.1	6.1	7.4
7.80	4.51	86.79	3	0.91	85.0	234	--	--	--	--	--	49	37	29	26	25	33	31	7.5	11.3	13.5
<b>8.00</b>	<b>1.96</b>	<b>60.61</b>	<b>4</b>	<b>0.88</b>	<b>86.8</b>	<b>171</b>	<b>78.4</b>	<b>5.5</b>	<b>23.5</b>	<b>35.2</b>	<b>5.9</b>	<b>20</b>	<b>34</b>	<b>25</b>	<b>22</b>	<b>21</b>	<b>29</b>	<b>27</b>	<b>3.3</b>	<b>4.9</b>	<b>5.9</b>
8.20	2.45	47.17	3	0.86	88.5	186	--	--	--	--	--	27	34	26	23	22	30	28	4.1	6.1	7.4
8.40	1.96	42.55	4	0.88	90.3	171	78.4	5.3	24.7	37.1	5.9	19	33	25	22	21	28	27	3.3	4.9	5.9
8.60	0.69	10.45	1	0.88	91.2	115	34.3	1.8	4.2	6.3	1.0	--	--	--	--	--	--	--	--	--	--
8.80	0.98	14.93	2	0.90	93.0	132	49.0	2.8	24.9	37.3	3.9	--	--	--	--	--	--	--	--	--	--
<b>9.00</b>	<b>0.98</b>	<b>18.87</b>	<b>2</b>	<b>0.90</b>	<b>94.7</b>	<b>132</b>	<b>49.0</b>	<b>2.8</b>	<b>25.1</b>	<b>37.6</b>	<b>3.9</b>	--	--	--	--	--	--	--	--	--	--
9.20	0.78	17.02	2	0.86	96.4	121	39.2	2.0	21.9	32.8	3.4	--	--	--	--	--	--	--	--	--	--
9.40	0.88	16.98	2	0.88	98.1	127	44.1	2.3	23.9	35.9	3.7	--	--	--	--	--	--	--	--	--	--
9.60	0.78	20.00	2	0.86	99.8	121	39.2	2.0	22.1	33.1	3.4	--	--	--	--	--	--	--	--	--	--
9.80	0.69	14.89	1	0.86	100.7	115	34.3	1.6	4.3	6.4	1.0	--	--	--	--	--	--	--	--	--	--
<b>10.00</b>	<b>0.69</b>	<b>17.50</b>	<b>2</b>	<b>0.84</b>	<b>102.4</b>	<b>115</b>	<b>34.3</b>	<b>1.6</b>	<b>19.9</b>	<b>29.8</b>	<b>3.2</b>	--	--	--	--	--	--	--	--	--	--
10.20	0.88	16.98	2	0.88	104.1	127	44.1	2.1	24.3	36.5	3.7	--	--	--	--	--	--	--	--	--	--
10.40	1.18	13.79	2	0.92	105.9	141	56.0	2.8	28.4	42.5	4.4	--	--	--	--	--	--	--	--	--	--
10.60	1.18	16.44	2	0.92	107.7	141	56.0	2.8	28.6	42.9	4.4	--	--	--	--	--	--	--	--	--	--
10.80	1.08	20.75	2	0.91	109.5	137	52.6	2.5	27.8	41.8	4.2	--	--	--	--	--	--	--	--	--	--
<b>11.00</b>	<b>1.18</b>	<b>36.36</b>	<b>4</b>	<b>0.88</b>	<b>111.2</b>	<b>141</b>	<b>56.0</b>	<b>2.7</b>	<b>29.0</b>	<b>43.6</b>	<b>4.4</b>	<b>31</b>	<b>21</b>	<b>18</b>	<b>17</b>	<b>25</b>	<b>26</b>	<b>2.0</b>	<b>2.9</b>	<b>3.5</b>	
11.20	0.88	11.25	2	0.88	112.9	127	44.1	1.9	24.8	37.3	3.7	--	--	--	--	--	--	--	--	--	--
11.40	1.18	15.00	2	0.92	114.7	141	56.0	2.6	29.4	44.2	4.4	--	--	--	--	--					

**PROVA PENETROMETRICA STATICHE MECCANICA**  
**LETTURE CAMPAGNA E VALORI TRASFORMATI**
**CPT****3**

Riferimento

**111-2020**

Committente	<b>STUDIO TECNICO</b>	U.M.:	<b>MPa</b>	Data esec.	12/06/2020
Cantiere	<b>STUDIO DEL TERRENO DI FONDAZIONE</b>	Pagina	1		
Località	<b>CAMPOGALLIANO _ MODENA TERMINAL</b>	Elaborato		Falda	-1.80 m

H m	L1 -	L2 -	Lt -	qc MPa	fs kPa	F -	Rf %	H m	L1 -	L2 -	Lt -	qc MPa	fs kPa	F -	Rf %
0.20	0.0	0.0		0.00	60.00	0		15.20	45.0	90.0		4.41	273.00	16	6.1
0.40	10.0	19.0		0.98	93.00	11	9.3	15.40	39.0	80.0		3.82	320.00	12	8.2
0.60	30.0	44.0		2.94	100.00	30	3.3	15.60	42.0	90.0		4.12	287.00	15	6.8
0.80	32.0	47.0		3.14	87.00	37	2.7	15.80	42.0	85.0		4.12	273.00	15	6.5
<b>1.00</b>	<b>15.0</b>	<b>28.0</b>		<b>1.47</b>	<b>80.00</b>	<b>19</b>	<b>5.3</b>	<b>16.00</b>	<b>40.0</b>	<b>81.0</b>		<b>3.92</b>	<b>253.00</b>	<b>16</b>	<b>6.3</b>
1.20	12.0	24.0		1.18	73.00	16	6.1	16.20	38.0	76.0		3.72	273.00	14	7.2
1.40	11.0	22.0		1.08	67.00	16	6.1	16.40	38.0	79.0		3.72	260.00	15	6.8
1.60	10.0	20.0		0.98	73.00	14	7.3	16.60	41.0	80.0		4.02	300.00	14	7.3
1.80	11.0	22.0		1.08	60.00	18	5.5	16.80	44.0	89.0		4.31	300.00	15	6.8
<b>2.00</b>	<b>11.0</b>	<b>20.0</b>		<b>1.08</b>	<b>53.00</b>	<b>21</b>	<b>4.8</b>	<b>17.00</b>	<b>45.0</b>	<b>90.0</b>		<b>4.41</b>	<b>247.00</b>	<b>18</b>	<b>5.5</b>
2.20	8.0	16.0		0.78	80.00	10	10.0	17.20	43.0	80.0		4.21	300.00	14	7.0
2.40	12.0	24.0		1.18	87.00	14	7.3	17.40	45.0	90.0		4.41	233.00	19	5.2
2.60	13.0	26.0		1.27	80.00	16	6.2	17.60	44.0	79.0		4.31	267.00	16	6.1
2.80	12.0	24.0		1.18	87.00	14	7.3	17.80	39.0	79.0		3.82	293.00	13	7.5
<b>3.00</b>	<b>13.0</b>	<b>26.0</b>		<b>1.27</b>	<b>100.00</b>	<b>13</b>	<b>7.7</b>	<b>18.00</b>	<b>45.0</b>	<b>89.0</b>		<b>4.41</b>	<b>300.00</b>	<b>15</b>	<b>6.7</b>
3.20	15.0	30.0		1.47	100.00	15	6.7	18.20	44.0	89.0		4.31	260.00	17	5.9
3.40	15.0	30.0		1.47	100.00	15	6.7	18.40	41.0	80.0		4.02	260.00	16	6.3
3.60	15.0	30.0		1.47	107.00	14	7.1	18.60	41.0	80.0		4.02	273.00	15	6.7
3.80	15.0	31.0		1.47	107.00	14	7.1	18.80	39.0	80.0		3.82	247.00	16	6.3
<b>4.00</b>	<b>18.0</b>	<b>34.0</b>		<b>1.76</b>	<b>107.00</b>	<b>17</b>	<b>5.9</b>	<b>19.00</b>	<b>42.0</b>	<b>79.0</b>		<b>4.12</b>	<b>240.00</b>	<b>18</b>	<b>5.7</b>
4.20	17.0	33.0		1.67	47.00	36	2.8	19.20	44.0	80.0		4.31	247.00	18	5.6
4.40	7.0	14.0		0.69	67.00	10	9.6	19.40	44.0	81.0		4.31	247.00	18	5.6
4.60	8.0	18.0		0.78	67.00	12	8.4	19.60	46.0	83.0		4.51	300.00	15	6.5
4.80	10.0	20.0		0.98	67.00	15	6.7	19.80	45.0	90.0		4.41	307.00	15	6.8
<b>5.00</b>	<b>11.0</b>	<b>21.0</b>		<b>1.08</b>	<b>47.00</b>	<b>23</b>	<b>4.3</b>	<b>20.00</b>	<b>44.0</b>	<b>90.0</b>		<b>4.31</b>			
5.20	7.0	14.0		0.69	60.00	12	8.6								
5.40	9.0	18.0		0.88	53.00	17	5.9								
5.60	8.0	16.0		0.78	53.00	15	6.6								
5.80	8.0	16.0		0.78	60.00	13	7.5								
<b>6.00</b>	<b>10.0</b>	<b>19.0</b>		<b>0.98</b>	<b>67.00</b>	<b>15</b>	<b>6.7</b>								
6.20	9.0	19.0		0.88	67.00	13	7.4								
6.40	10.0	20.0		0.98	7.00	143	0.7								
6.60	11.0	12.0		1.08	80.00	14	7.3								
6.80	12.0	24.0		1.18	60.00	20	5.0								
<b>7.00</b>	<b>12.0</b>	<b>21.0</b>		<b>1.18</b>	<b>67.00</b>	<b>18</b>	<b>5.6</b>								
7.20	10.0	20.0		0.98	80.00	13	8.0								
7.40	12.0	24.0		1.18	73.00	16	6.1								
7.60	11.0	22.0		1.08	73.00	15	6.6								
7.80	11.0	22.0		1.08	67.00	16	6.1								
<b>8.00</b>	<b>10.0</b>	<b>20.0</b>		<b>0.98</b>	<b>53.00</b>	<b>19</b>	<b>5.3</b>								
8.20	8.0	16.0		0.78	60.00	13	7.5								
8.40	9.0	18.0		0.88	67.00	13	7.4								
8.60	10.0	20.0		0.98	73.00	14	7.3								
8.80	11.0	22.0		1.08	60.00	18	5.5								
<b>9.00</b>	<b>11.0</b>	<b>20.0</b>		<b>1.08</b>	<b>60.00</b>	<b>18</b>	<b>5.5</b>								
9.20	9.0	18.0		0.88	60.00	15	6.7								
9.40	9.0	18.0		0.88	60.00	15	6.7								
9.60	8.0	17.0		0.78	60.00	13	7.5								
9.80	9.0	18.0		0.88	53.00	17	5.9								
<b>10.00</b>	<b>9.0</b>	<b>17.0</b>		<b>0.88</b>	<b>60.00</b>	<b>15</b>	<b>6.7</b>								
10.20	9.0	18.0		0.88	87.00	10	9.7								
10.40	13.0	26.0		1.27	80.00	16	6.2								
10.60	12.0	24.0		1.18	87.00	14	7.3								
10.80	12.0	25.0		1.18	87.00	14	7.3								
<b>11.00</b>	<b>13.0</b>	<b>26.0</b>		<b>1.27</b>	<b>93.00</b>	<b>14</b>	<b>7.2</b>								
11.20	15.0	29.0		1.47	33.00	45	2.2								
11.40	17.0	22.0		1.67	107.00	16	6.3								
11.60	19.0	35.0		1.86	133.00	14	7.0								
11.80	19.0	39.0		1.86	153.00	12	8.1								
<b>12.00</b>	<b>20.0</b>	<b>43.0</b>		<b>1.96</b>	<b>140.00</b>	<b>14</b>	<b>7.0</b>								
12.20	19.0	40.0		1.86	140.00	14	7.4								
12.40	18.0	39.0		1.76	147.00	12	8.2								
12.60	18.0	40.0		1.76	147.00	12	8.2								
12.80	18.0	40.0		1.76	140.00	13	7.8								
<b>13.00</b>	<b>21.0</b>	<b>42.0</b>		<b>2.06</b>	<b>147.00</b>	<b>14</b>	<b>7.0</b>								
13.20	18.0	40.0		1.76	173.00	10	9.6								
13.40	24.0	50.0		2.35	193.00	12	8.0								
13.60	26.0	55.0		2.55	213.00	12	8.2								
13.80	24.0	56.0		2.35	213.00	11	8.9								
<b>14.00</b>	<b>26.0</b>	<b>58.0</b>		<b>2.55</b>	<b>200.00</b>	<b>13</b>	<b>7.7</b>								
14.20	25.0	55.0		2.45	193.00	13	7.7								
14.40	31.0	60.0		3.04	200.00	16	6.5								
14.60	35.0	65.0		3.43	267.00	13	7.6								
14.80	40.0	80.0		3.92	267.00	15	6.7								
<b>15.00</b>	<b>45.0</b>	<b>85.0</b>		<b>4.41</b>	<b>300.00</b>	<b>15</b>	<b>6.7</b>								

H = profondità

L1 = prima lettura (punta)

L2 = seconda lettura (punta + laterale)

Lt = terza lettura (totale)

CT = 10.00 costante di trasformazione

qc = resistenza punta

fs = resistenza laterale

0.20 m sopra quota qc

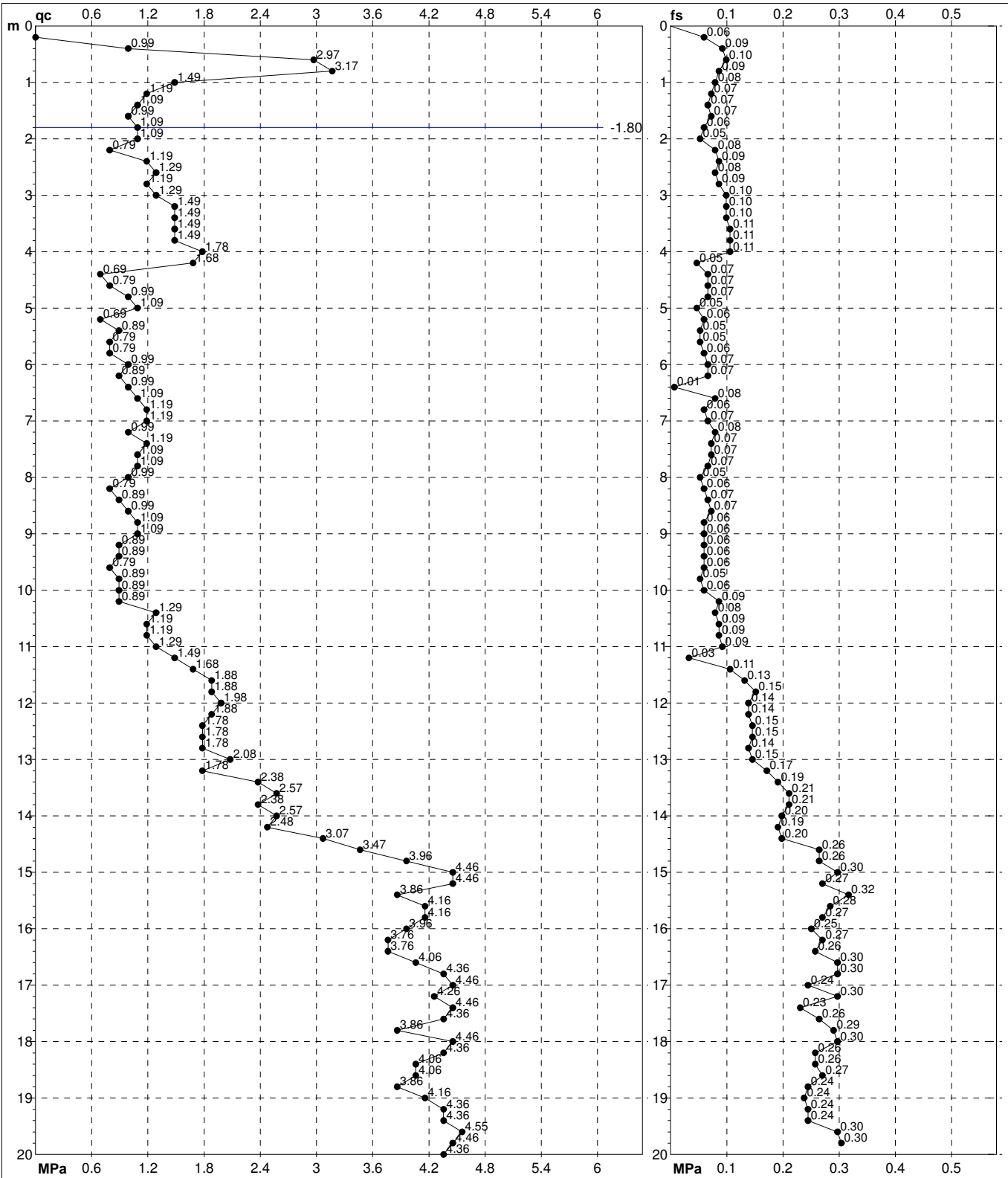
F = rapporto Begemann (qc / fs)

Rf = rapporto Schmertmann (fs / qc)\*100

**PROVA PENETROMETRICA STATICÀ MECCANICA  
DIGRAMMI DI RESISTENZA E LITOLOGIA**
**CPT****3**

Riferimento

**111-2020**
 Committente **STUDIO TECNICO**  
 Cantiere **STUDIO DEL TERRENO DI FONDAZIONE**  
 Località **CAMPAGALLIANO \_ MODENA TERMINAL**

 U.M.: **MPa**  
 Scala: **1:100**  
 Pagina **1**  
 Elaborato
Quota inizio:  
Falda -1.80 m

	Penetrometro: SP200	preforo m
	Responsabile:	Corr.astine: kN/ml
	Assistente:	Cod. tip:

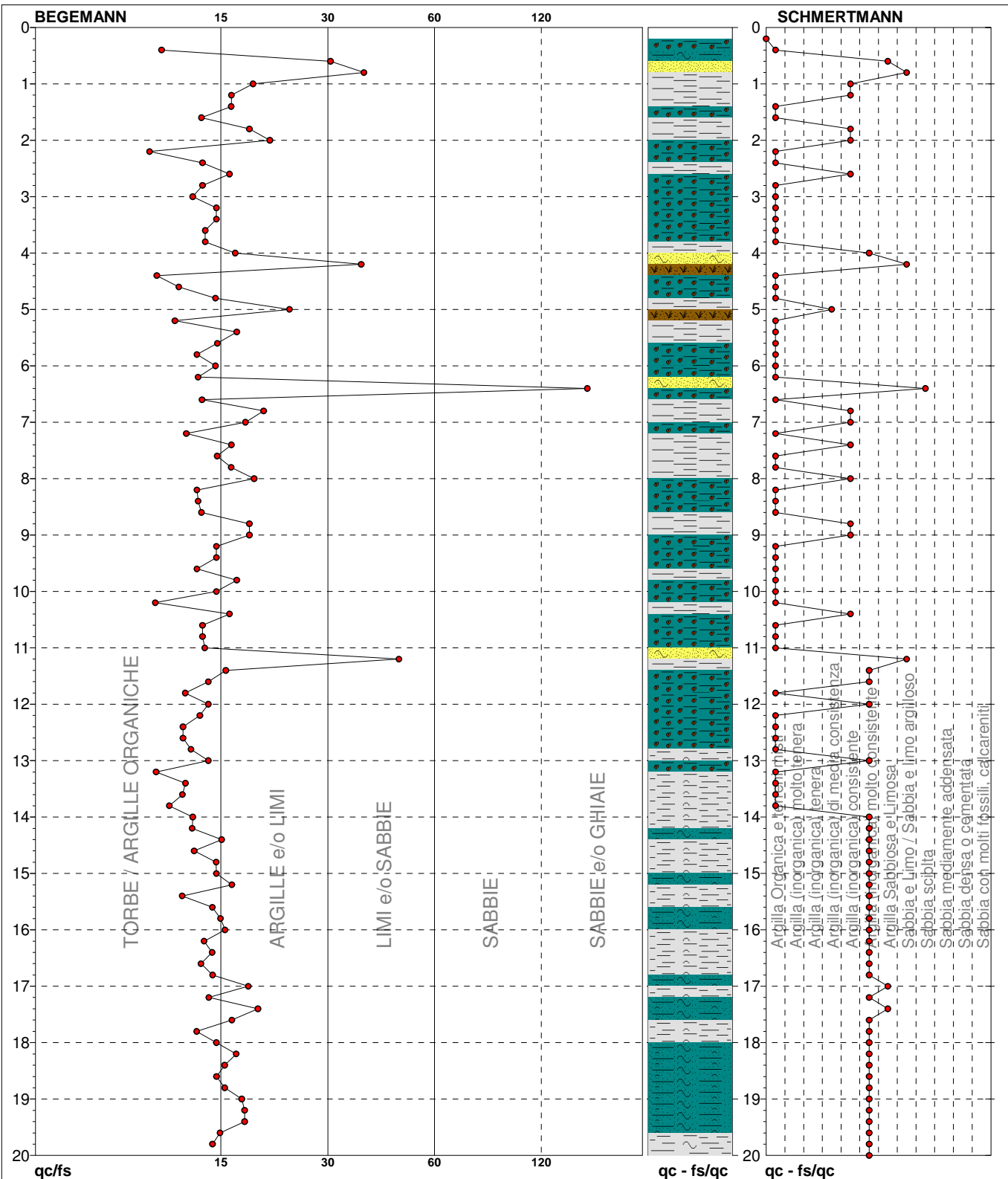
FON111

# **PROVA PENETROMETRICA STATICHE MECCANICHE DIAGRAMMI LITOLOGIA**

<b>CPT</b>	<b>3</b>
Riferimento	<b>111-202</b>

**Committente STUDIO TECNICO  
Cantiere STUDIO DEL TERRENO DI FONDAZIONE  
Località CAMPOGALLIANO MODENA TERMINAL**

U.M.:	<b>MPa</b>	Data esec.	12/06/2020
Scala:	1:100		
Pagina	1		
Elaborato		Falda	-1.80 m



TORBE / ARGILLE OR	58 punti, 58.00%	Argilla Organica e terreni misti	45 punti, 45.00%	Argilla Sabbiosa e Limosa	3 punti, 3.00%
ARGILLE e/o LIMI	37 punti, 37.00%	Argilla (inorganica) di media consistenza	1 punti, 1.00%	Sabbia e Limo / Sabbia e limo argilloso	3 punti, 3.00%
LIMI e/o SABBIE	3 punti, 3.00%	Argilla (inorganica) consistente	12 punti, 12.00%	Sabbia sciolta	1 punti, 1.00%
		Argilla (inorganica) molto consistente	33 punti, 33.00%		
SABBIE e/o GHIAIE	1 punti, 1.00%				

**PROVA PENETROMETRICA STATICHE MECCANICA  
PARAMETRI GEOTECNICI**

**CPT****3**

Riferimento

**111-2020**

Committente **STUDIO TECNICO**  
Cantiere **STUDIO DEL TERRENO DI FONDAZIONE**  
Località **CAMPOGALLIANO \_ MODENA TERMINAL**

U.M.: **MPa** Data esec. **12/06/2020**  
Pagina **1** Falda **-1.80 m**  
Elaborato

H m	qc U.M.	qc/fs	zone	$\gamma'$ t/m³	σ'vo kPa	Vs m/s	NATURA COESIVA					NATURA GRANULARE									
							Cu kPa	OCR %	Eu50 U.M.	Eu25 U.M.	Mo U.M.	Dr %	Sc ()	Ca ()	Ko ()	DB ()	DM ()	Me ()	E50 U.M.	E25 U.M.	Mo U.M.
0.20	-	--	???	1.85	3.6	--	--	--	12.5	3.9	--	--	--	--	--	--	--	--	--	--	--
0.40	0.98	10.75	2	1.85	7.3	132	49.0	68.4	8.3	25.0	8.8	84	41	38	35	33	41	29	4.9	7.4	8.8
0.60	2.94	30.00	4	1.85	10.9	199	98.0	98.0	16.7	25.0	8.8	79	41	36	34	31	40	29	5.2	7.8	9.4
0.80	3.14	36.78	3	1.85	14.5	204	--	--	--	--	--	--	--	--	--	--	--	--	--	--	--
<b>1.00</b>	<b>1.47</b>	<b>18.75</b>	<b>2</b>	<b>1.85</b>	<b>18.1</b>	<b>154</b>	<b>65.3</b>	<b>31.2</b>	<b>11.1</b>	<b>16.7</b>	<b>4.9</b>	<b>--</b>	<b>--</b>	<b>--</b>	<b>--</b>	<b>--</b>	<b>--</b>	<b>--</b>	<b>--</b>	<b>--</b>	<b>--</b>
1.20	1.18	16.44	2	1.85	21.8	141	56.0	20.5	9.5	14.3	4.4	--	--	--	--	--	--	--	--	--	--
1.40	1.08	16.42	2	1.85	25.4	137	52.6	15.6	8.9	13.4	4.2	--	--	--	--	--	--	--	--	--	--
1.60	0.98	13.70	2	1.85	29.0	132	49.0	12.1	8.3	12.5	3.9	--	--	--	--	--	--	--	--	--	--
1.80	1.08	18.33	2	0.91	30.8	137	52.6	12.3	8.9	13.4	4.2	--	--	--	--	--	--	--	--	--	--
<b>2.00</b>	<b>1.08</b>	<b>20.75</b>	<b>2</b>	<b>0.91</b>	<b>32.6</b>	<b>137</b>	<b>52.6</b>	<b>11.4</b>	<b>8.9</b>	<b>13.4</b>	<b>4.2</b>	<b>--</b>	<b>--</b>	<b>--</b>	<b>--</b>	<b>--</b>	<b>--</b>	<b>--</b>	<b>--</b>	<b>--</b>	<b>--</b>
2.20	0.78	10.00	2	0.86	34.3	121	39.2	7.4	8.4	12.6	3.4	--	--	--	--	--	--	--	--	--	--
2.40	1.18	13.79	2	0.92	36.1	141	56.0	10.9	9.5	14.3	4.4	--	--	--	--	--	--	--	--	--	--
2.60	1.27	16.25	2	0.93	37.9	145	59.3	11.0	10.1	15.1	4.6	--	--	--	--	--	--	--	--	--	--
2.80	1.18	13.79	2	0.92	39.7	141	56.0	9.7	9.6	14.4	4.4	--	--	--	--	--	--	--	--	--	--
<b>3.00</b>	<b>1.27</b>	<b>13.00</b>	<b>2</b>	<b>0.93</b>	<b>41.5</b>	<b>145</b>	<b>59.3</b>	<b>9.8</b>	<b>10.1</b>	<b>15.2</b>	<b>4.6</b>	<b>--</b>	<b>--</b>	<b>--</b>	<b>--</b>	<b>--</b>	<b>--</b>	<b>--</b>	<b>--</b>	<b>--</b>	<b>--</b>
3.20	1.47	15.00	2	0.95	43.4	154	65.3	10.5	11.1	16.7	4.9	--	--	--	--	--	--	--	--	--	--
3.40	1.47	15.00	2	0.95	45.2	154	65.3	9.9	11.1	16.7	4.9	--	--	--	--	--	--	--	--	--	--
3.60	1.47	14.02	2	0.95	47.1	154	65.3	9.5	11.3	16.9	4.9	--	--	--	--	--	--	--	--	--	--
<b>4.00</b>	<b>1.76</b>	<b>16.82</b>	<b>2</b>	<b>0.98</b>	<b>50.9</b>	<b>164</b>	<b>73.5</b>	<b>9.9</b>	<b>12.5</b>	<b>18.8</b>	<b>5.5</b>	<b>--</b>	<b>--</b>	<b>--</b>	<b>--</b>	<b>--</b>	<b>--</b>	<b>--</b>	<b>--</b>	<b>--</b>	<b>--</b>
4.20	1.67	36.17	4	0.91	52.7	161	70.9	9.1	12.5	18.8	5.3	26	34	27	24	22	31	27	2.8	4.2	5.0
4.40	0.69	10.45	1	0.91	53.6	115	34.3	3.6	2.9	4.3	1.0	--	--	--	--	--	--	--	--	--	--
4.60	0.78	11.94	2	0.86	55.2	121	39.2	4.1	15.4	23.1	3.4	--	--	--	--	--	--	--	--	--	--
4.80	0.98	14.93	2	0.90	57.0	132	49.0	5.2	15.6	23.4	3.9	--	--	--	--	--	--	--	--	--	--
<b>5.00</b>	<b>1.08</b>	<b>23.40</b>	<b>2</b>	<b>0.91</b>	<b>58.8</b>	<b>137</b>	<b>52.6</b>	<b>5.5</b>	<b>16.0</b>	<b>23.9</b>	<b>4.2</b>	<b>--</b>	<b>--</b>	<b>--</b>	<b>--</b>	<b>--</b>	<b>--</b>	<b>--</b>	<b>--</b>	<b>--</b>	<b>--</b>
5.20	0.69	11.67	1	0.91	59.7	115	34.3	3.1	3.3	5.0	1.0	--	--	--	--	--	--	--	--	--	--
5.40	0.88	16.98	2	0.88	61.4	127	44.1	4.1	17.2	25.7	3.7	--	--	--	--	--	--	--	--	--	--
5.60	0.78	15.09	2	0.86	63.1	121	39.2	3.5	17.8	26.7	3.4	--	--	--	--	--	--	--	--	--	--
5.80	0.78	13.33	2	0.86	64.8	121	39.2	3.4	18.2	27.3	3.4	--	--	--	--	--	--	--	--	--	--
<b>6.00</b>	<b>0.98</b>	<b>14.93</b>	<b>2</b>	<b>0.90</b>	<b>66.6</b>	<b>132</b>	<b>49.0</b>	<b>4.3</b>	<b>18.6</b>	<b>27.9</b>	<b>3.9</b>	<b>--</b>	<b>--</b>	<b>--</b>	<b>--</b>	<b>--</b>	<b>--</b>	<b>--</b>	<b>--</b>	<b>--</b>	<b>--</b>
6.20	0.88	13.43	2	0.88	68.3	127	44.1	3.6	19.3	28.9	3.7	--	--	--	--	--	--	--	--	--	--
6.40	0.98	142.86	4	0.86	70.0	132	49.0	4.0	19.5	29.3	3.9	1	31	23	20	18	26	26	1.6	2.5	2.9
6.60	1.08	13.75	2	0.91	71.8	137	52.6	4.3	20.0	30.1	4.2	--	--	--	--	--	--	--	--	--	--
6.80	1.18	20.00	2	0.92	73.6	141	56.0	4.5	20.5	30.8	4.4	--	--	--	--	--	--	--	--	--	--
<b>7.00</b>	<b>1.18</b>	<b>17.91</b>	<b>2</b>	<b>0.92</b>	<b>75.4</b>	<b>141</b>	<b>56.0</b>	<b>4.3</b>	<b>21.0</b>	<b>31.6</b>	<b>4.4</b>	<b>--</b>	<b>--</b>	<b>--</b>	<b>--</b>	<b>--</b>	<b>--</b>	<b>--</b>	<b>--</b>	<b>--</b>	<b>--</b>
7.20	0.98	12.50	2	0.90	77.1	132	49.0	3.6	21.8	32.7	3.9	--	--	--	--	--	--	--	--	--	--
7.40	1.18	16.44	2	0.92	78.9	141	56.0	4.1	22.0	33.0	4.4	--	--	--	--	--	--	--	--	--	--
7.60	1.08	15.07	2	0.91	80.7	137	52.6	3.7	22.8	34.2	4.2	--	--	--	--	--	--	--	--	--	--
7.80	1.08	16.42	2	0.91	82.5	137	52.6	3.6	23.3	34.9	4.2	--	--	--	--	--	--	--	--	--	--
<b>8.00</b>	<b>0.98</b>	<b>18.87</b>	<b>2</b>	<b>0.90</b>	<b>84.3</b>	<b>132</b>	<b>49.0</b>	<b>3.2</b>	<b>23.4</b>	<b>35.1</b>	<b>3.9</b>	<b>--</b>	<b>--</b>	<b>--</b>	<b>--</b>	<b>--</b>	<b>--</b>	<b>--</b>	<b>--</b>	<b>--</b>	<b>--</b>
8.20	0.78	13.33	2	0.86	85.9	121	39.2	2.4	21.1	31.7	3.4	--	--	--	--	--	--	--	--	--	--
8.40	0.88	13.43	2	0.88	87.7	127	44.1	2.7	22.9	34.3	3.7	--	--	--	--	--	--	--	--	--	--
8.60	0.98	13.70	2	0.90	89.4	132	49.0	3.0	24.3	36.5	3.9	--	--	--	--	--	--	--	--	--	--
8.80	1.08	18.33	2	0.91	91.2	137	52.6	3.2	25.3	37.9	4.2	--	--	--	--	--	--	--	--	--	--
<b>9.00</b>	<b>1.08</b>	<b>18.33</b>	<b>2</b>	<b>0.91</b>	<b>93.0</b>	<b>137</b>	<b>52.6</b>	<b>3.1</b>	<b>25.6</b>	<b>38.4</b>	<b>4.2</b>	<b>--</b>	<b>--</b>	<b>--</b>	<b>--</b>	<b>--</b>	<b>--</b>	<b>--</b>	<b>--</b>	<b>--</b>	<b>--</b>
9.20	0.88	15.00	2	0.88	94.7	127	44.1	2.4	23.6	35.4	3.7	--	--	--	--	--	--	--	--	--	--
9.40	0.88	15.00	2	0.88	96.5	127	44.1	2.4	23.8	35.7	3.7	--	--	--	--	--	--	--	--	--	--
9.60	0.78	13.33	2	0.86	98.1	121	39.2	2.0	22.0	32.9	3.4	--	--	--	--	--	--	--	--	--	--
9.80	0.88	16.98	2	0.88	99.9	127	44.1	2.3	24.0	36.1	3.7	--	--	--	--	--	--	--	--	--	--
<b>10.00</b>	<b>0.88</b>	<b>15.00</b>	<b>2</b>	<b>0.88</b>	<b>101.6</b>	<b>127</b>	<b>44.1</b>	<b>2.2</b>	<b>24.2</b>	<b>36.3</b>	<b>3.7</b>	<b>--</b>	<b>--</b>	<b>--</b>	<b>--</b>	<b>--</b>	<b>--</b>	<b>--</b>	<b>--</b>	<b>--</b>	<b>--</b>
10.20	0.88	10.34	2	0.88	103.3	127	44.1	2.2	24.3	36.4	3.7	--	--	--	--	--	--	--	--	--	--
10.40	1.27	16.25	2	0.93	105.1	145	59.3	3.1	28.9	43.4	4.6	--	--	--	--	--	--	--	--	--	--
10.60	1.18	13.79	2	0.92	106.9	141	56.0	2.8	28.5	42.8	4.4	--	--	--	--	--	--	--	--	--	--
10.80	1.18	13.79	2	0.92	108.7	141	56.0	2.7	28.7	43.1	4.4	--	--	--	--	--	--	--	--	--	--
<b>11.00</b>	<b>1.27</b>	<b>13.98</b>	<b>2</b>	<b>0.93</b>	<b>110.6</b>	<b>145</b>	<b>59.3</b>	<b>2.9</b>	<b>29.8</b>	<b>44.7</b>	<b>4.6</b>	<b>--</b>	<b>--</b>	<b>--</b>	<b>--</b>	<b>--</b>	<b>--</b>	<b>--</b>	<b>--</b>	<b>--</b>	<b>--</b>
11.20	1.47	45.45	4	0.89	112.3	154	65.3	3.2	31.2	46.8	4.9	3	32	23	19	18					

## **ALLEGATO 3**

### INDAGINI SISMICHE

# Indagine sismica MASW

## INFORMAZIONI GENERALI

Cantiere: MODENA TERMINAL srl – Comune di Campogalliano (Mo)

Data esecuzione: 12/06/2020

Strumentazione utilizzata: GEODE GEOMETRICS 24bit/24ch - Energizzazione: Massa battente da 10 kg -

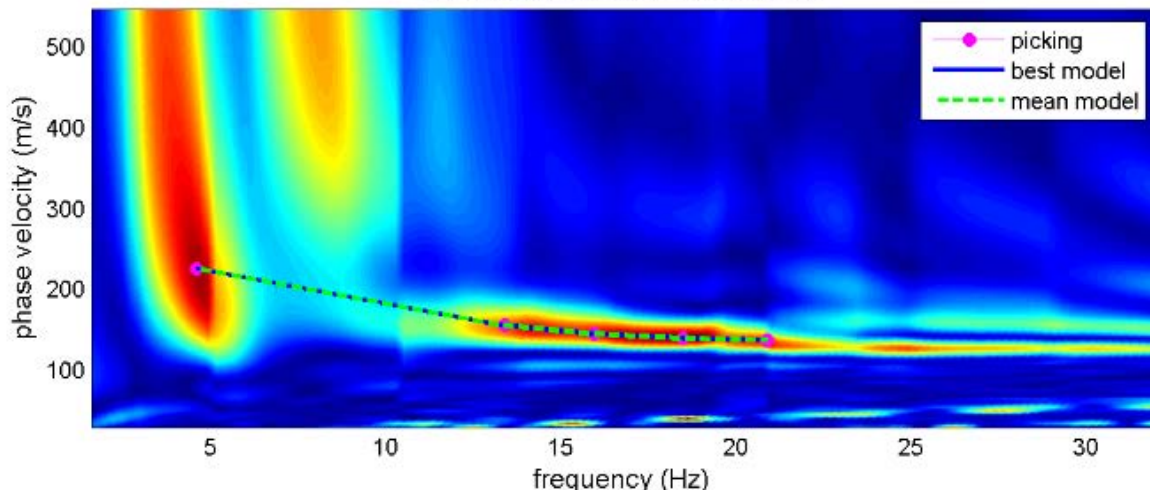
Sensoristica: Geofoni verticali 4.5 Hz

Responsabile: Dott. Geol. Pier Luigi Dallari

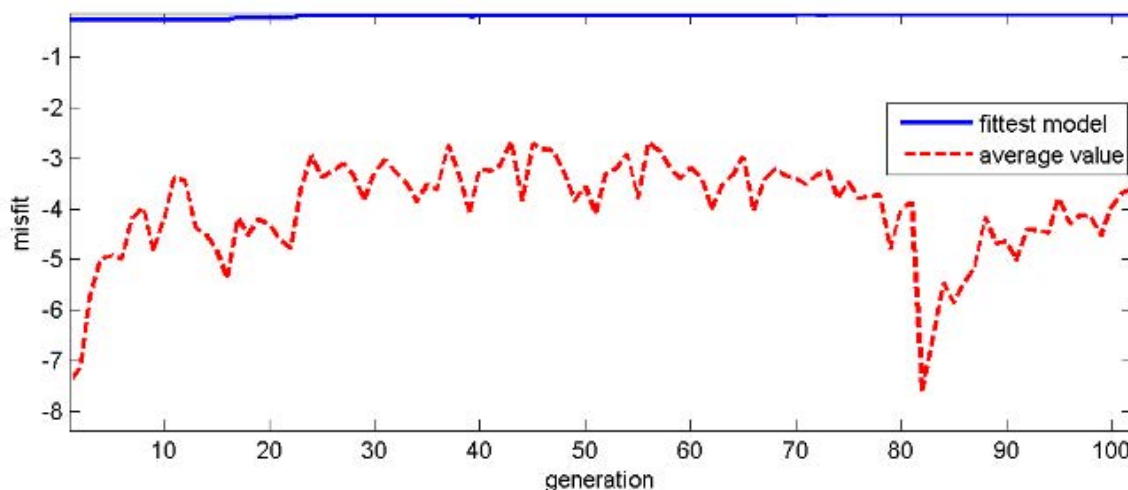
Elaborazione: Dott.ssa Lisa Gasparini

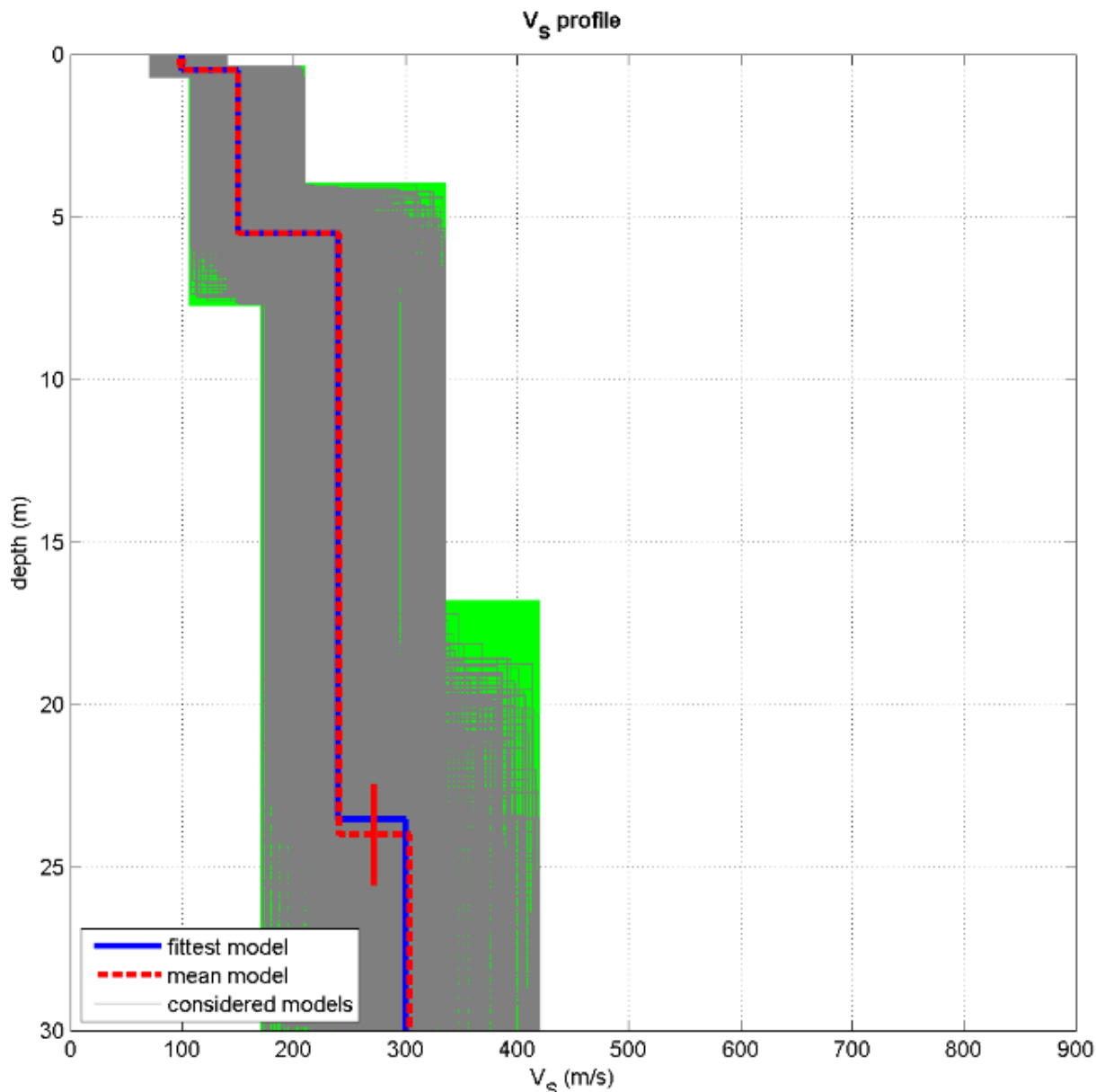
## MODELLED RAYLEIGH WAVE PHASE VELOCITY DISPERSION CURVE

velocity spectrum & dispersion curve



misfit evolution





dataset: 371.dat

dispersion curve: PICK.cdp

$V_{s30}$  (best model): 222 m/s

$V_{s30}$  (mean model): 222 m/s

$$V_s (0.0-30.0) = 222 \text{ m/s}$$

# Indagine sismica HVSR n. 1

Cantiere: MODENA TERMINAL srl – Comune di Campogalliano (Mo)

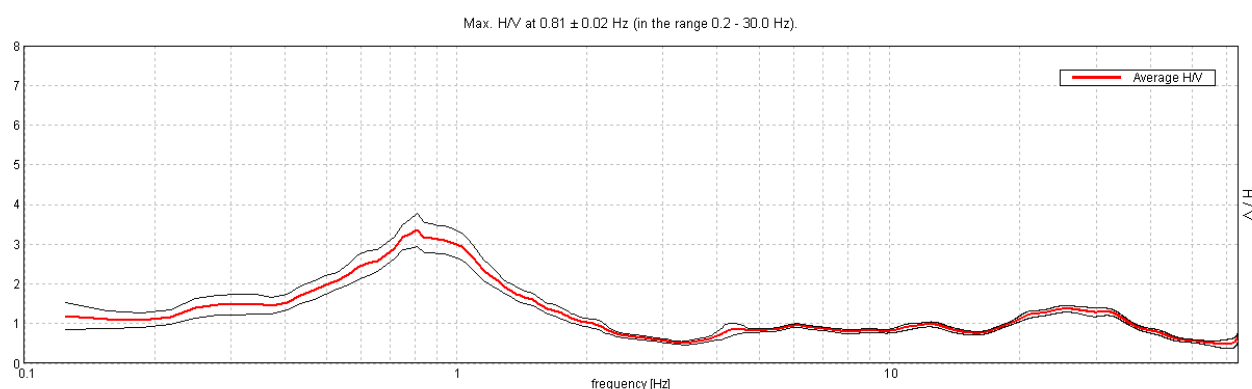
Data esecuzione: 12/06/2020

Strumentazione utilizzata: TROMINO - MOHO - Sensoristica: **3 canali velocimetrici per l'acquisizione del micro-tremore sismico ambientale (fino a  $\pm 1.5 \text{ mm/s}$ )**

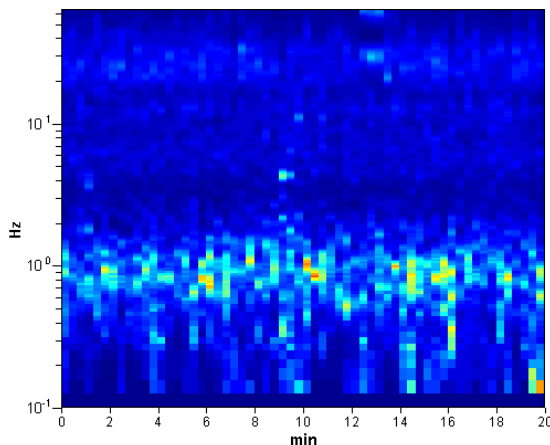
Responsabile: Dott. Geol. Pier Luigi Dallari

Elaborazione: Dott.ssa Lisa Gasparini

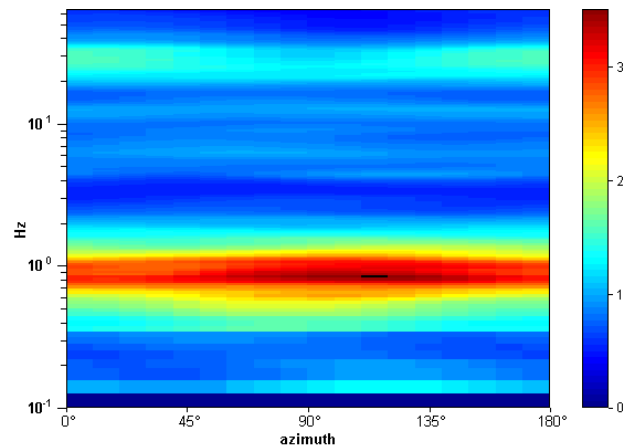
## HORIZONTAL TO VERTICAL SPECTRAL RATIO



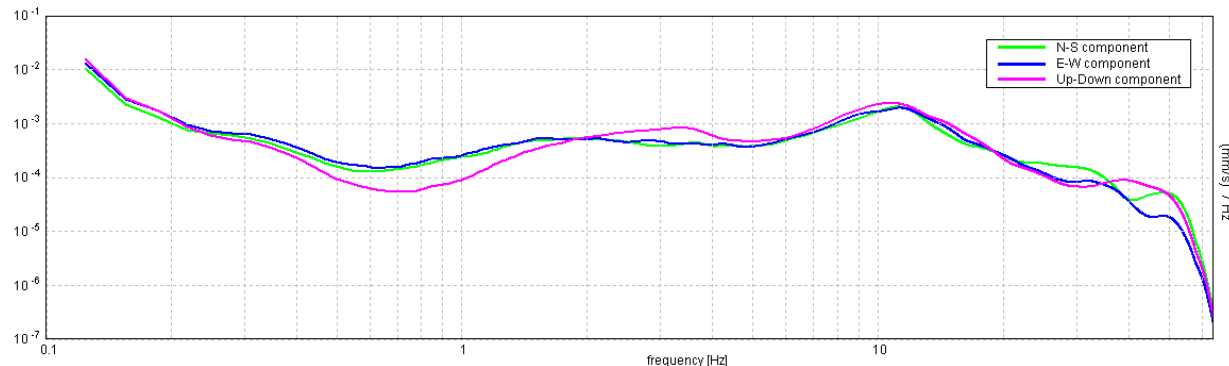
H/V TIME HISTORY



DIRECTIONAL H/V



### SINGLE COMPONENT SPECTRA



[According to the SESAME, 2005 guidelines. Please read carefully the [Grilla manual](#) before interpreting the following tables.]

**Max. H/V at  $0.81 \pm 0.02$  Hz (in the range 0.2 - 30.0 Hz).**

**Criteria for a reliable H/V curve**  
[All 3 should be fulfilled]

$f_0 > 10 / L_w$	$0.81 > 0.50$	OK	
$n_c(f_0) > 200$	$975.0 > 200$	OK	
$\sigma_A(f) < 2$ for $0.5f_0 < f < 2f_0$ if $f_0 > 0.5\text{Hz}$ $\sigma_A(f) < 3$ for $0.5f_0 < f < 2f_0$ if $f_0 < 0.5\text{Hz}$	Exceeded 0 out of 40 times	OK	

**Criteria for a clear H/V peak**  
[At least 5 out of 6 should be fulfilled]

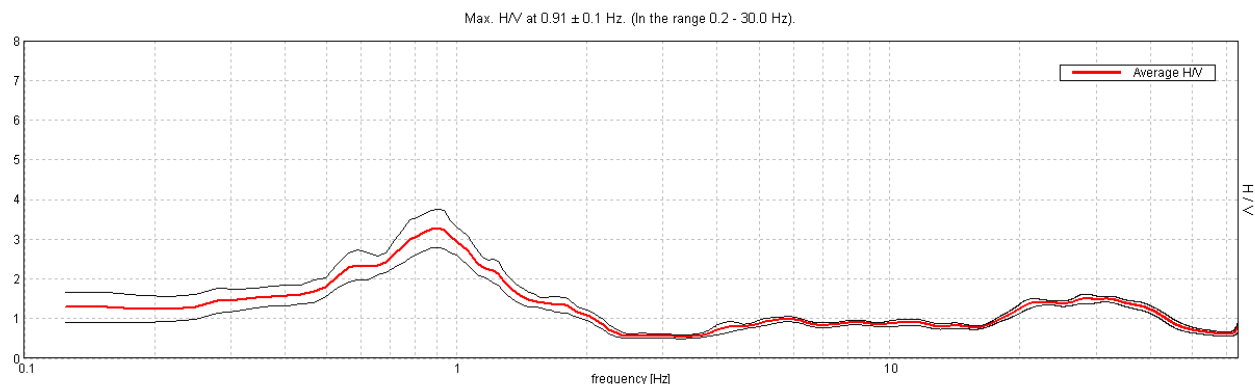
Exists $f$ in $[f_0/4, f_0]$ $ A_{H/V}(f)  < A_0 / 2$	0.406 Hz	OK	
Exists $f^+$ in $[f_0, 4f_0]$ $ A_{H/V}(f^+)  < A_0 / 2$	1.438 Hz	OK	
$A_0 > 2$	$3.35 > 2$	OK	
$f_{peak}  A_{H/V}(f) \pm \sigma_A(f)  = f_0 \pm 5\%$	$ 0.02329  < 0.05$	OK	
$\sigma_f < \varepsilon(f_0)$	$0.01892 < 0.12188$	OK	
$\sigma_A(f_0) < \theta(f_0)$	$0.4176 < 2.0$	OK	

$L_w$ $n_w$ $n_c = L_w n_w f_0$ $f$ $f_0$ $\sigma_f$ $\varepsilon(f_0)$ $A_0$ $A_{H/V}(f)$ $f^-$ $f^+$ $\sigma_A(f)$ $\sigma_{\log H/V}(f)$ $\theta(f_0)$	window length number of windows used in the analysis number of significant cycles current frequency H/V peak frequency standard deviation of H/V peak frequency threshold value for the stability condition $\sigma_f < \varepsilon(f_0)$ H/V peak amplitude at frequency $f_0$ H/V curve amplitude at frequency $f$ frequency between $f_0/4$ and $f_0$ for which $A_{H/V}(f^-) < A_0/2$ frequency between $f_0$ and $4f_0$ for which $A_{H/V}(f^+) < A_0/2$ standard deviation of $A_{H/V}(f)$ , $\sigma_A(f)$ is the factor by which the mean $A_{H/V}(f)$ curve should be multiplied or divided standard deviation of $\log A_{H/V}(f)$ curve threshold value for the stability condition $\sigma_A(f) < \theta(f_0)$
--	--

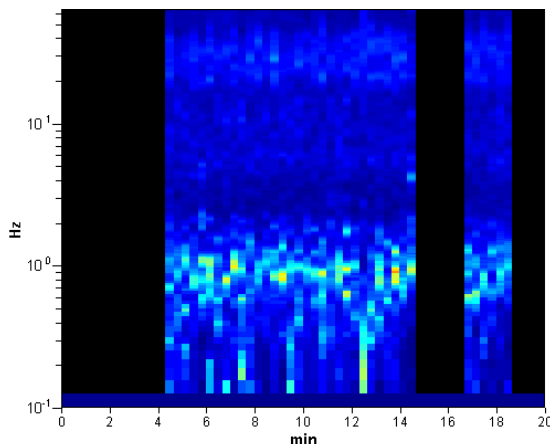
Threshold values for $\sigma_f$ and $\sigma_A(f_0)$					
Freq. range [Hz]	< 0.2	0.2 – 0.5	0.5 – 1.0	1.0 – 2.0	> 2.0
$\varepsilon(f_0)$ [Hz]	$0.25 f_0$	$0.2 f_0$	$0.15 f_0$	$0.10 f_0$	$0.05 f_0$
$\theta(f_0)$ for $\sigma_A(f_0)$	3.0	2.5	2.0	1.78	1.58
$\log \theta(f_0)$ for $\sigma_{\log H/V}(f_0)$	0.48	0.40	0.30	0.25	0.20

# Indagine sismica HVSR n. 2

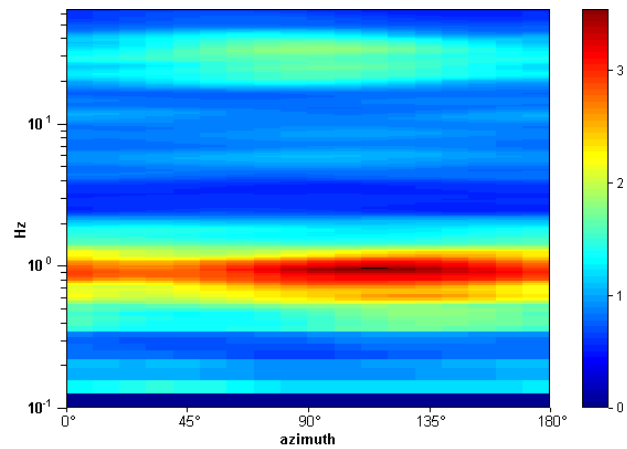
## HORIZONTAL TO VERTICAL SPECTRAL RATIO



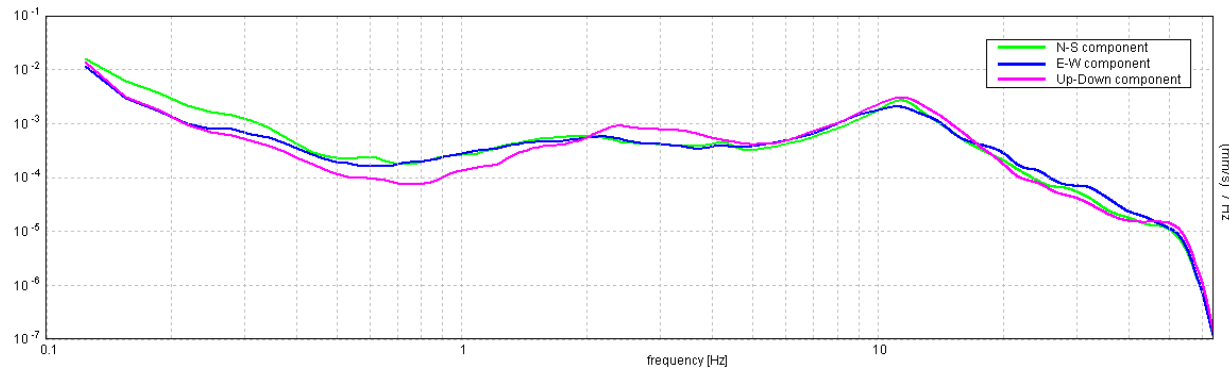
H/V TIME HISTORY



DIRECTIONAL H/V



SINGLE COMPONENT SPECTRA



[According to the SESAME, 2005 guidelines. Please read carefully the [Grilla manual before interpreting the following tables.](#)]

**Max. H/V at  $0.91 \pm 0.1$  Hz (in the range 0.2 - 30.0 Hz).**

**Criteria for a reliable H/V curve**  
[All 3 should be fulfilled]

$f_0 > 10 / L_w$	$0.91 > 0.50$	OK	
$n_c(f_0) > 200$	$670.6 > 200$	OK	
$\sigma_A(f) < 2$ for $0.5f_0 < f < 2f_0$ if $f_0 > 0.5\text{Hz}$ $\sigma_A(f) < 3$ for $0.5f_0 < f < 2f_0$ if $f_0 < 0.5\text{Hz}$	Exceeded 0 out of 44 times	OK	

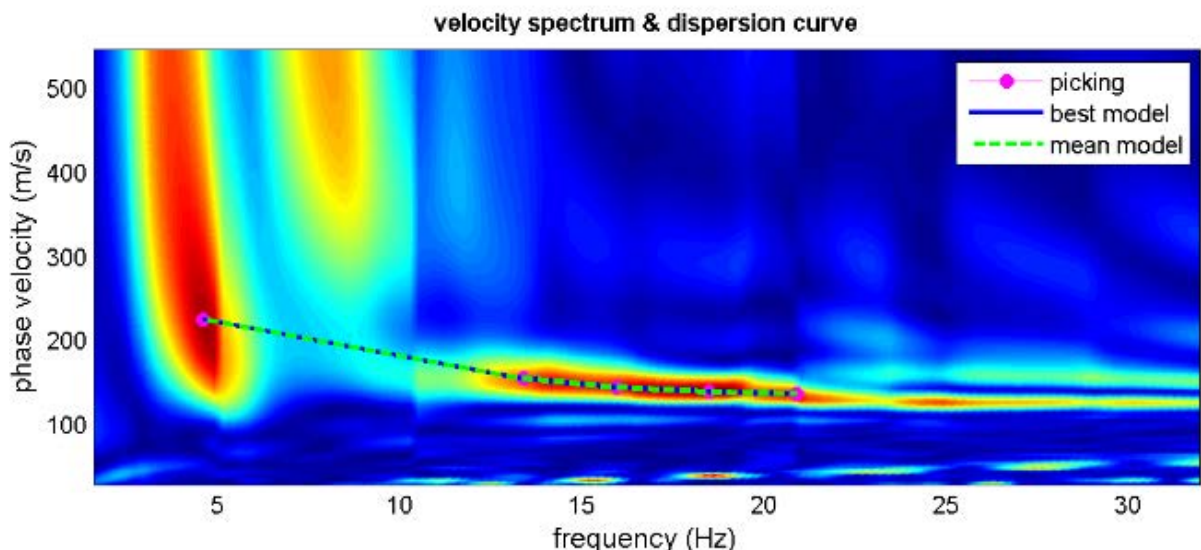
**Criteria for a clear H/V peak**  
[At least 5 out of 6 should be fulfilled]

Exists $f$ in $[f_0/4, f_0]$ $ A_{H/V}(f)  < A_0 / 2$	0.438 Hz	OK	
Exists $f^+$ in $[f_0, 4f_0]$ $ A_{H/V}(f^+)  < A_0 / 2$	1.406 Hz	OK	
$A_0 > 2$	3.27 > 2	OK	
$f_{peak}[A_{H/V}(f) \pm \sigma_A(f)] = f_0 \pm 5\%$	$ 0.11152  < 0.05$	NO	
$\sigma_f < \varepsilon(f_0)$	$0.10107 < 0.13594$	OK	
$\sigma_A(f_0) < \theta(f_0)$	$0.4728 < 2.0$	OK	

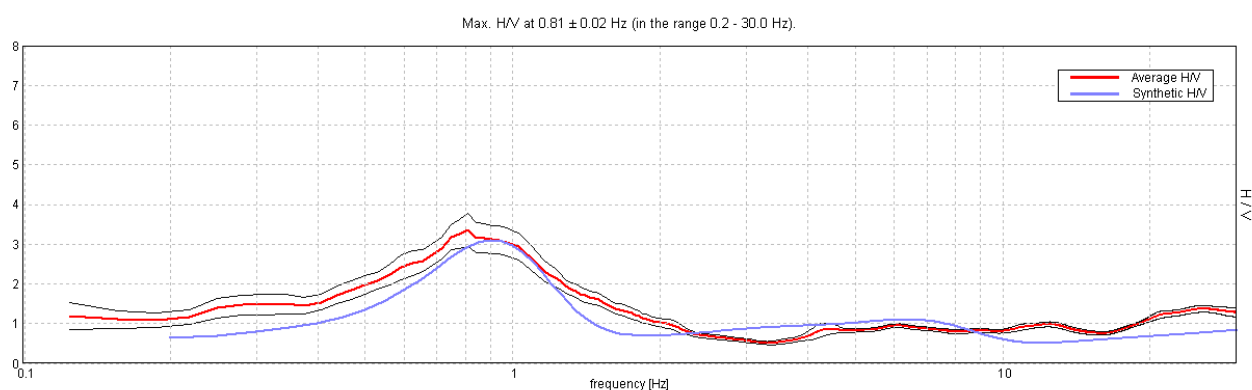
$L_w$ $n_w$ $n_c = L_w n_w f_0$ $f$ $f_0$ $\sigma_f$ $\varepsilon(f_0)$ $A_0$ $A_{H/V}(f)$ $f^-$ $f^+$ $\sigma_A(f)$ $\sigma_{\log H/V}(f)$ $\theta(f_0)$	window length number of windows used in the analysis number of significant cycles current frequency H/V peak frequency standard deviation of H/V peak frequency threshold value for the stability condition $\sigma_f < \varepsilon(f_0)$ H/V peak amplitude at frequency $f_0$ H/V curve amplitude at frequency $f$ frequency between $f_0/4$ and $f_0$ for which $A_{H/V}(f) < A_0/2$ frequency between $f_0$ and $4f_0$ for which $A_{H/V}(f) < A_0/2$ standard deviation of $A_{H/V}(f)$ , $\sigma_A(f)$ is the factor by which the mean $A_{H/V}(f)$ curve should be multiplied or divided standard deviation of $\log A_{H/V}(f)$ curve threshold value for the stability condition $\sigma_A(f) < \theta(f_0)$
--	--

Threshold values for $\sigma_f$ and $\sigma_A(f_0)$					
Freq. range [Hz]	< 0.2	0.2 – 0.5	0.5 – 1.0	1.0 – 2.0	> 2.0
$\varepsilon(f_0)$ [Hz]	$0.25 f_0$	$0.2 f_0$	$0.15 f_0$	$0.10 f_0$	$0.05 f_0$
$\theta(f_0)$ for $\sigma_A(f_0)$	3.0	2.5	2.0	1.78	1.58
$\log \theta(f_0)$ for $\sigma_{\log H/V}(f_0)$	0.48	0.40	0.30	0.25	0.20

## Elaborazione congiunta MASW – HVSR n. 1

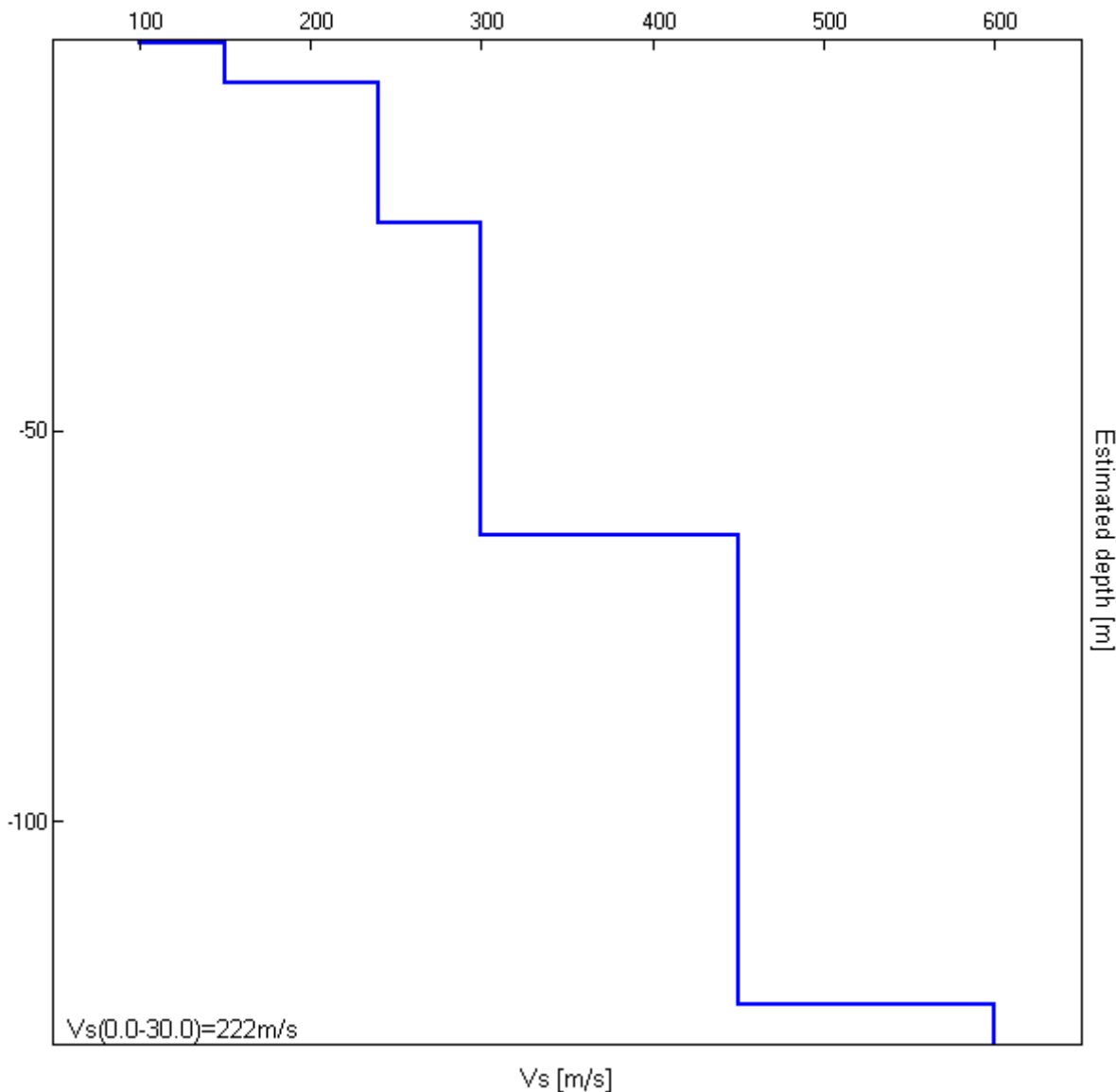


### EXPERIMENTAL vs. SYNTHETIC H/V



Depth at the bottom of the layer [m]	Thickness [m]	Vs [m/s]	Poisson ratio
0.50	0.50	100	0.43
5.50	5.00	150	0.43
23.50	18.00	240	0.43
63.50	40.00	300	0.42
123.50	60.00	450	0.42
inf.	inf.	600	0.42

$$Vs(0.0-30.0) = 222 \text{ m/s}$$



## **ALLEGATO 4**

### VERIFICA ALLA LIQUEFAZIONE

## LIQUEFACTION ANALYSIS REPORT

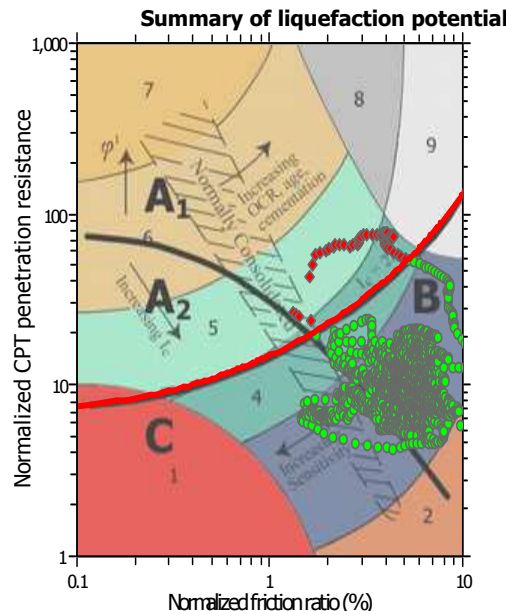
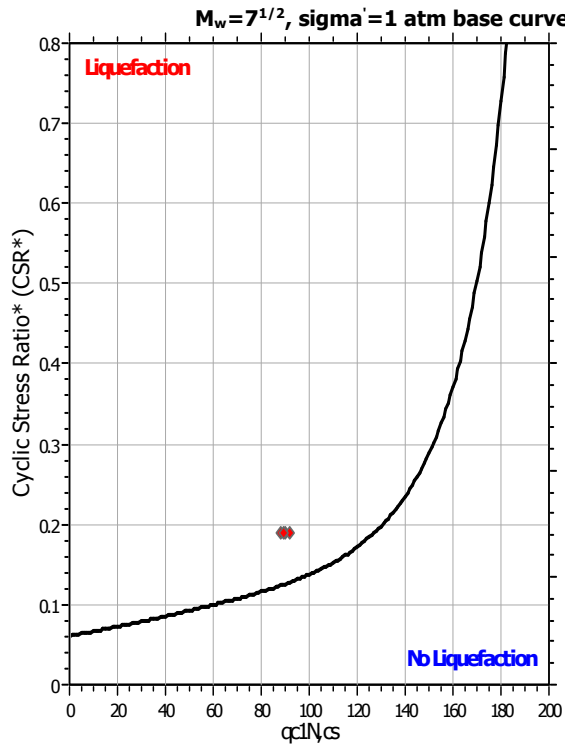
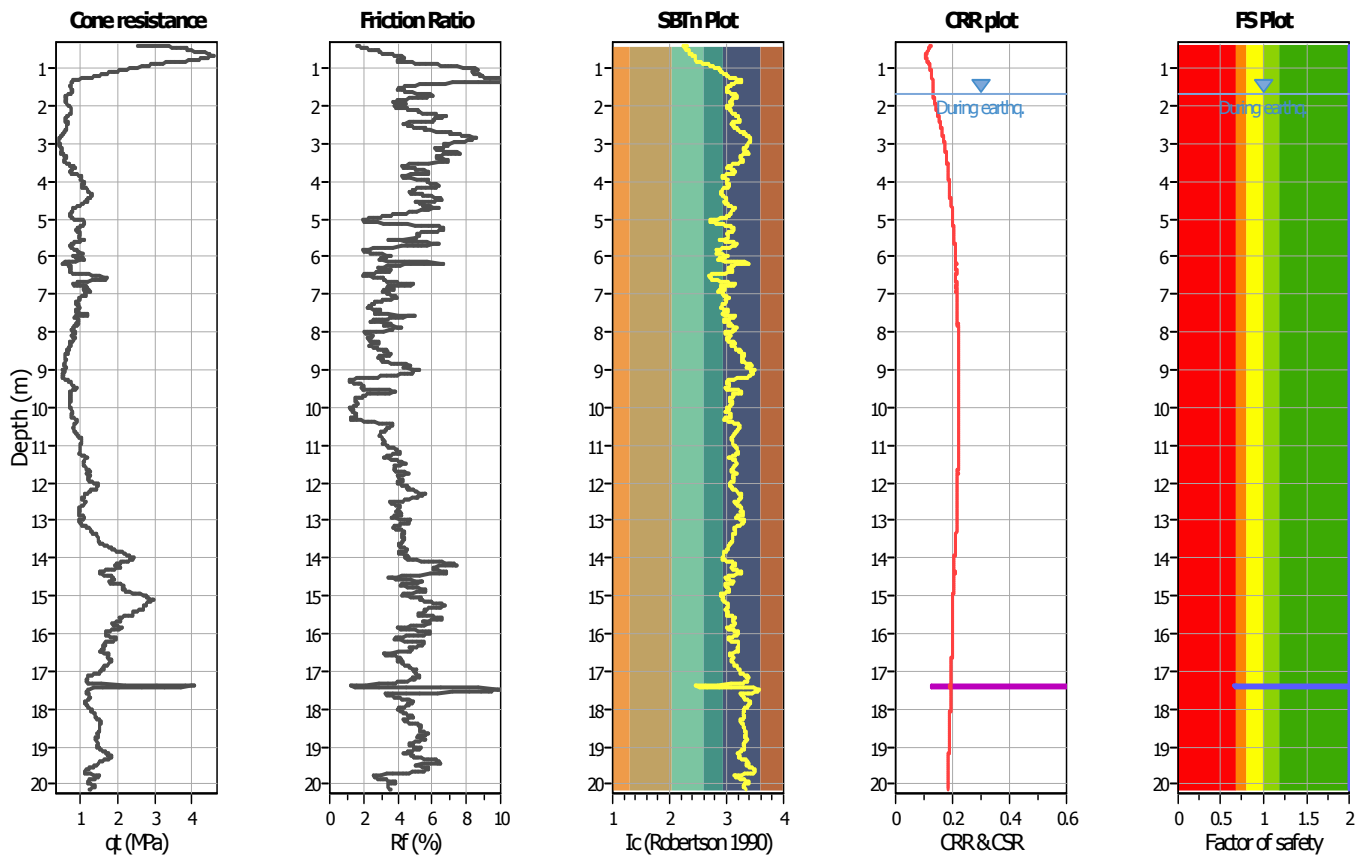
**Project title : STUDIO DEL TERRENO DI FONDAZIONE**

**Location : CAMPOGALLIANO\_MODENA TERMINAL**

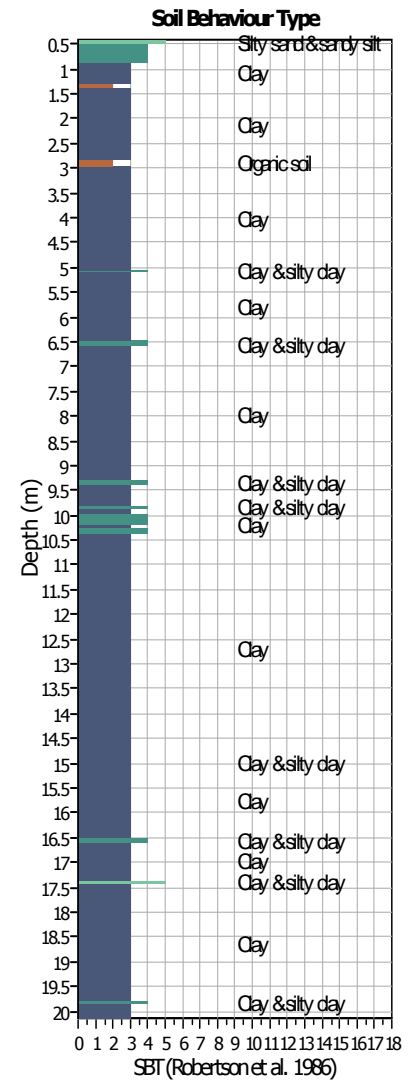
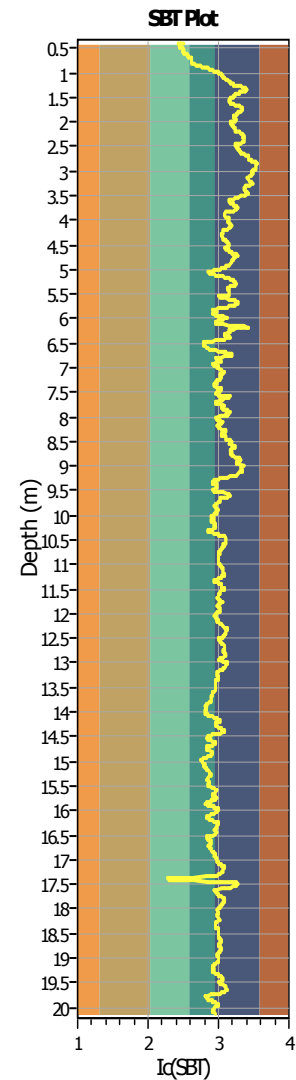
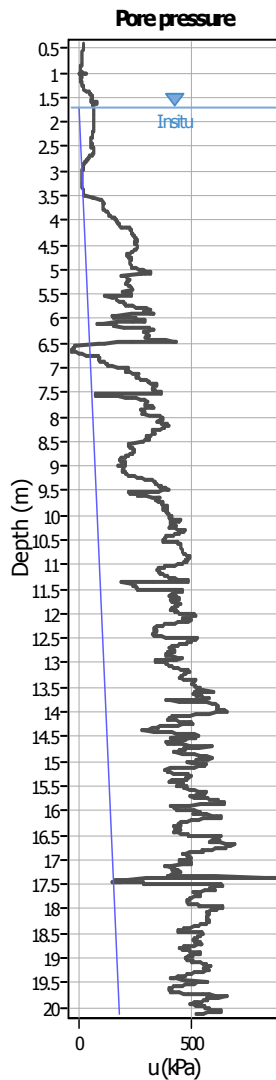
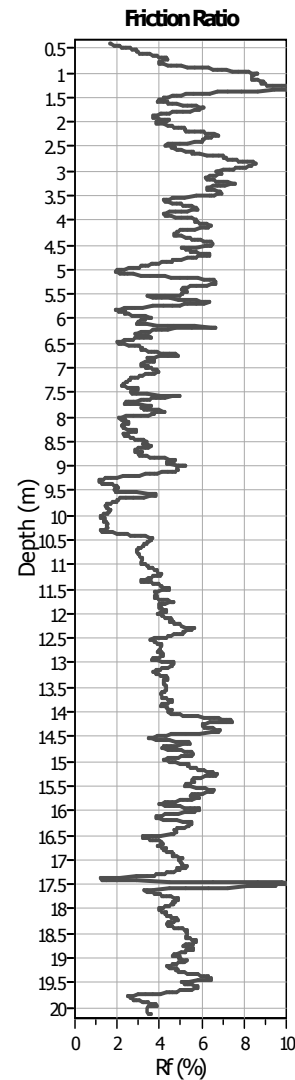
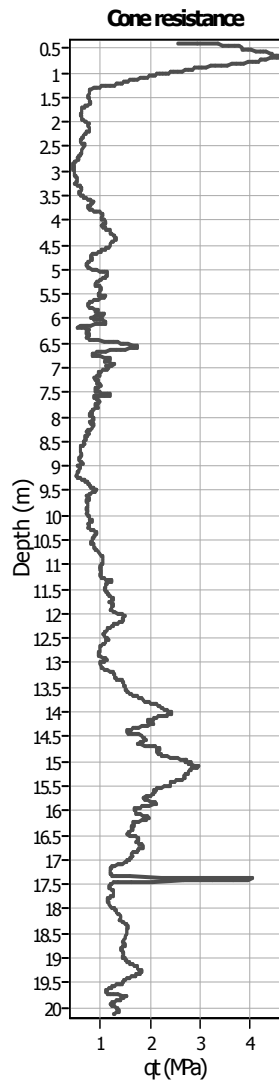
**CPT file : CPTU1**

### Input parameters and analysis data

Analysis method:	B&I (2014)	G.W.T. (in-situ):	1.70 m	Use fill:	No	Clay like behavior
Fines correction method:	B&I (2014)	G.W.T. (earthq.):	1.70 m	Fill height:	N/A	applied: Sands only
Points to test:	Based on Ic value	Average results interval:	3	Fill weight:	N/A	Limit depth applied: No
Earthquake magnitude $M_w$ :	6.14	Ic cut-off value:	2.60	Trans. detect. applied:	No	Limit depth: N/A
Peak ground acceleration:	0.24	Unit weight calculation:	Based on SBT	$K_o$ applied:	Yes	MSF method: Method



Zone A<sub>1</sub>: Cyclic liquefaction likely depending on size and duration of cyclic loading  
Zone A<sub>2</sub>: Cyclic liquefaction and strength loss likely depending on loading and ground geometry  
Zone B: Liquefaction and post-earthquake strength loss unlikely, check cyclic softening  
Zone C: Cyclic liquefaction and strength loss possible depending on soil plasticity, brittleness/sensitivity, strain to peak undrained strength and ground geometry

**CPT basic interpretation plots****Input parameters and analysis data**

Analysis method: B&I (2014)  
 Fines correction method: B&I (2014)  
 Points to test: Based on Ic value  
 Earthquake magnitude  $M_w$ : 6.14  
 Peak ground acceleration: 0.24  
 Depth to water table (in situ): 1.70 m

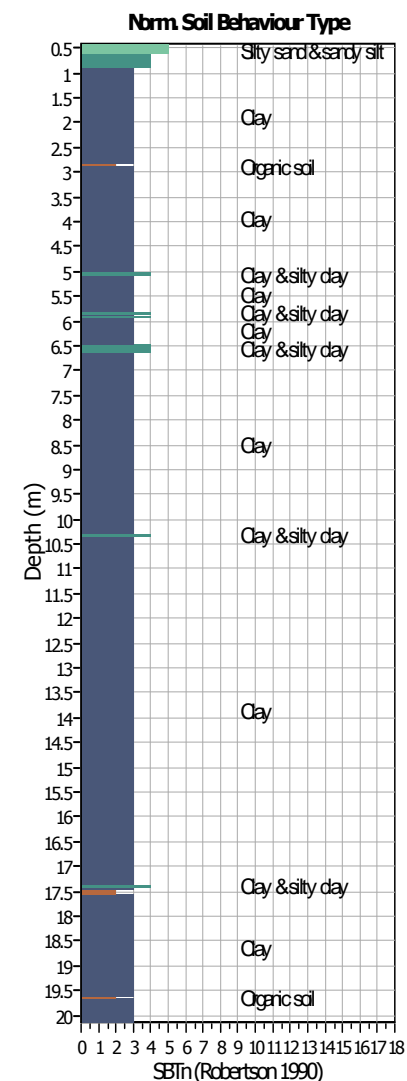
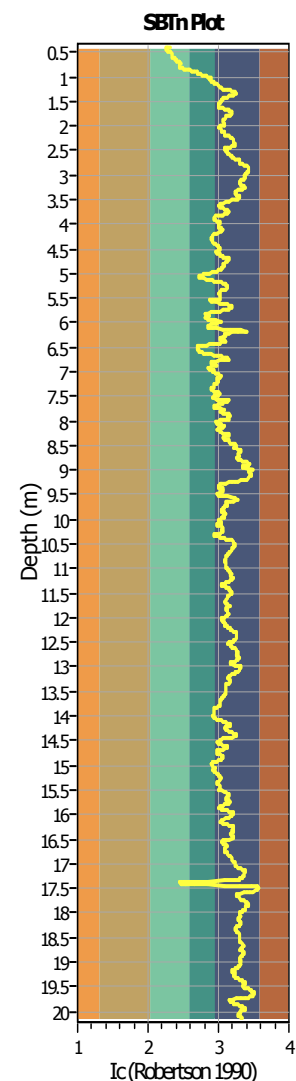
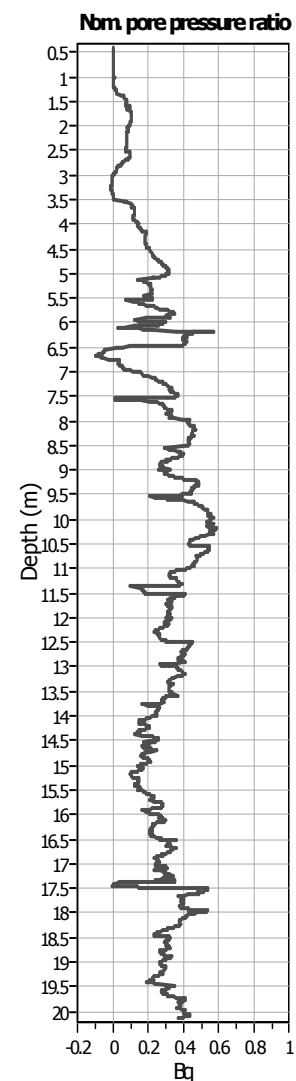
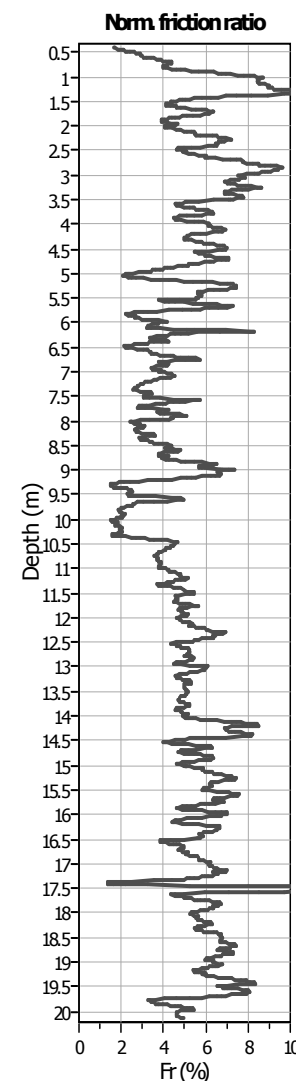
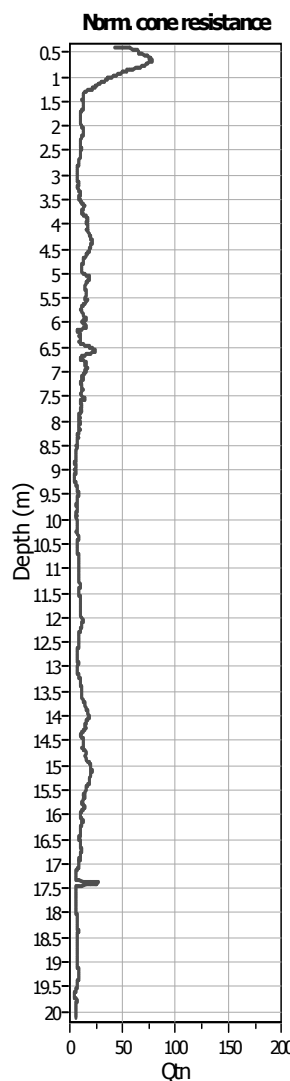
Depth to GWT (erthq.): 1.70 m  
 Average results interval: 3  
 Ic cut-off value: 2.60  
 Unit weight calculation: Based on SBT  
 Use fill: No  
 Fill height: N/A

Fill weight:  
 Transition detect. applied: N/A  
 $K_0$  applied: No  
 Clay like behavior applied: Yes  
 Limit depth applied: Sands only  
 Limit depth: No  
 N/A

**SBT legend**

- |                           |                             |                            |
|---------------------------|-----------------------------|----------------------------|
| 1. Sensitive fine grained | 4. Clayey silt to silty     | 7. Gravely sand to sand    |
| 2. Organic material       | 5. Silty sand to sandy silt | 8. Very stiff sand to      |
| 3. Clay to silty clay     | 6. Clean sand to silty sand | 9. Very stiff fine grained |

## CPT basic interpretation plots (normalized)



## Input parameters and analysis data

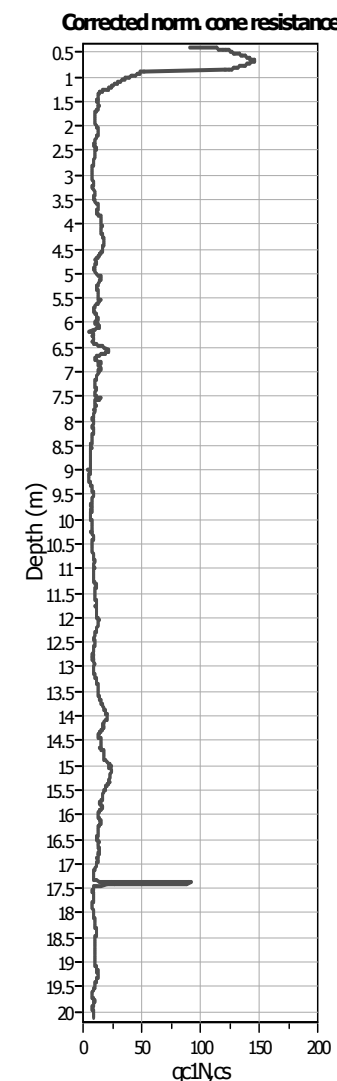
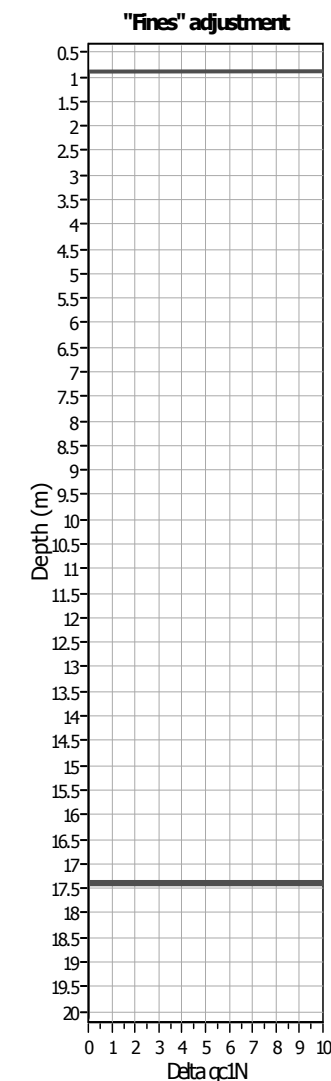
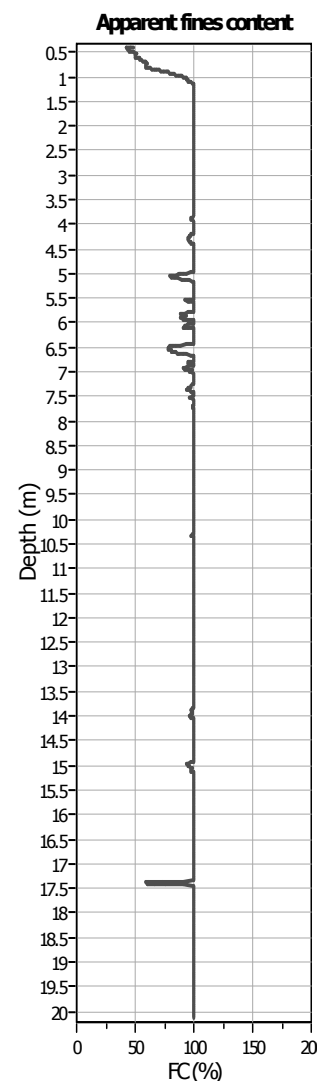
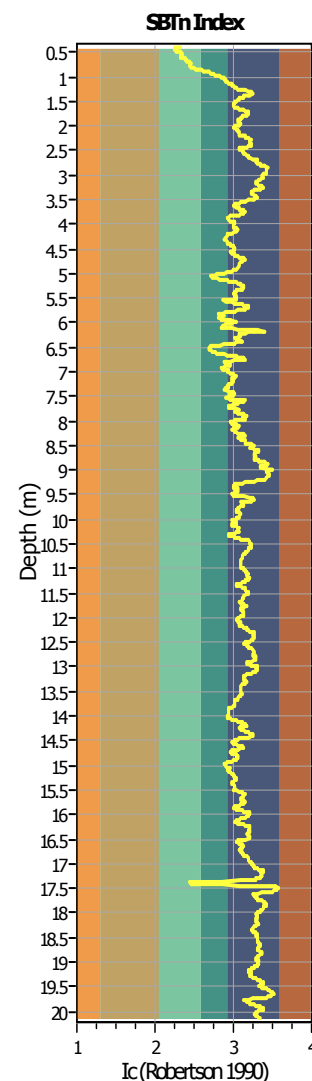
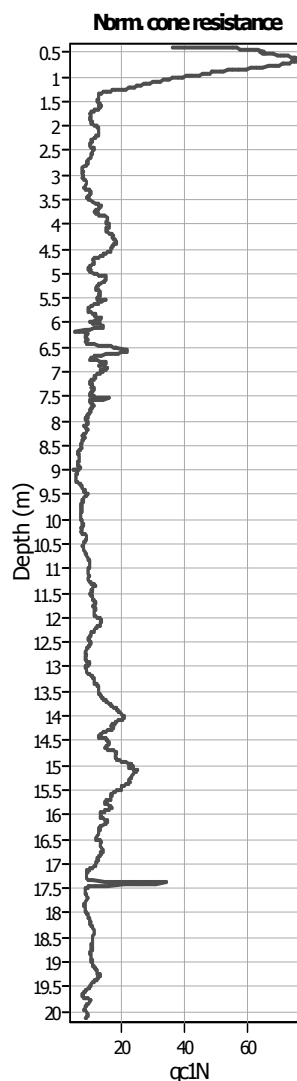
Analysis method: B&I (2014)  
 Fines correction method: B&I (2014)  
 Points to test: Based on Ic value  
 Earthquake magnitude  $M_w$ : 6.14  
 Peak ground acceleration: 0.24  
 Depth to water table (in situ): 1.70 m

Depth to GWT (erthq.): 1.70 m  
 Average results interval: 3  
 Ic cut-off value: 2.60  
 Unit weight calculation: Based on SBT  
 Use fill: No  
 Fill height: N/A

Fill weight:  
 Transition detect. applied: N/A  
 $K_0$  applied: No  
 Clay like behavior applied: Yes  
 Limit depth applied: Sands only  
 Limit depth: No  
 N/A

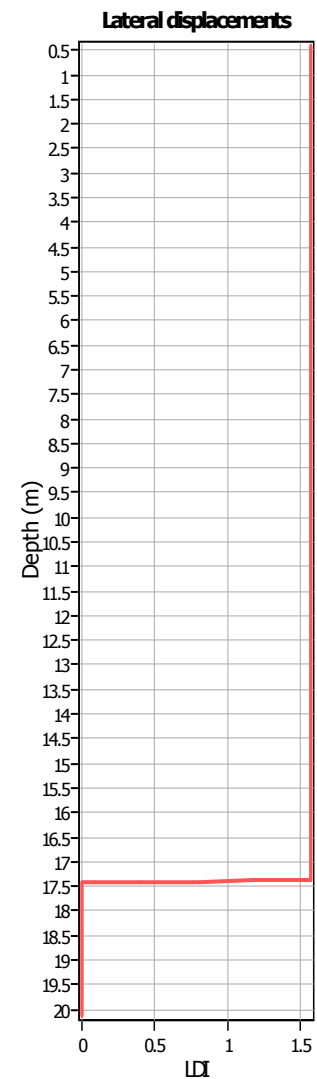
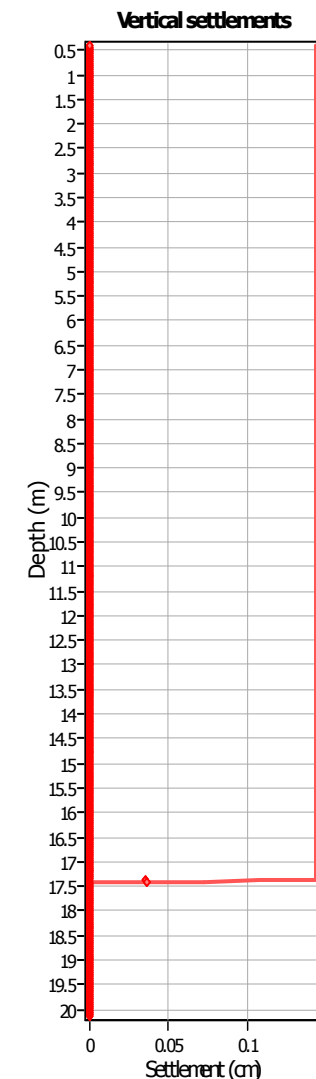
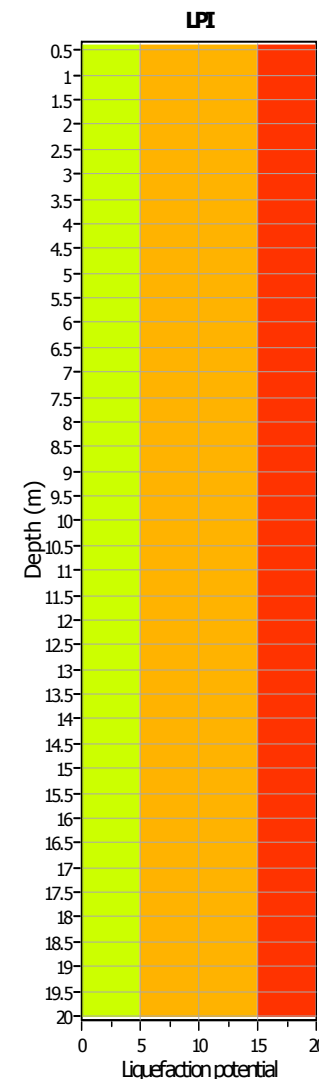
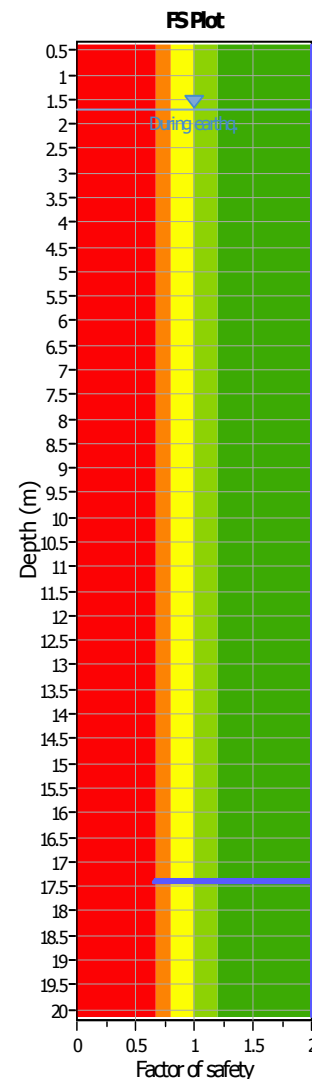
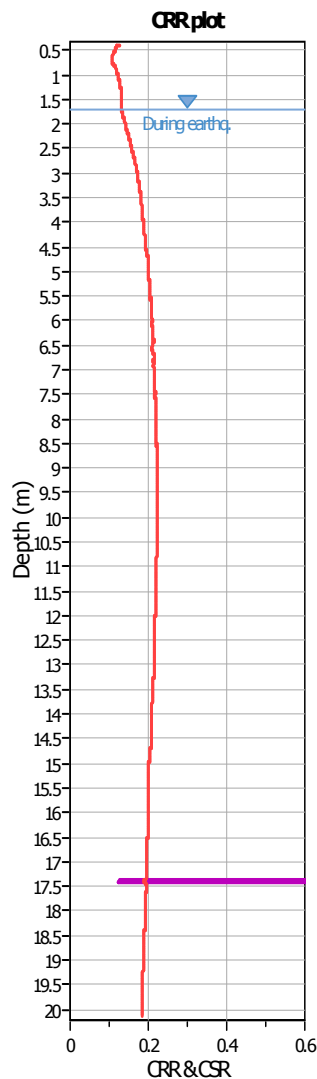
## SBTn legend

- |                           |                              |                            |
|---------------------------|------------------------------|----------------------------|
| 1. Sensitive fine grained | 4. Clayey silt to silty sand | 7. Gravely sand to sand    |
| 2. Organic material       | 5. Silty sand to sandy silt  | 8. Very stiff sand to      |
| 3. Clay to silty clay     | 6. Clean sand to silty sand  | 9. Very stiff fine grained |

**Liquefaction analysis overall plots (intermediate results)****Input parameters and analysis data**

Analysis method: B&I (2014)  
 Fines correction method: B&I (2014)  
 Points to test: Based on Ic value  
 Earthquake magnitude  $M_w$ : 6.14  
 Peak ground acceleration: 0.24  
 Depth to water table (in situ): 1.70 m

Depth to GWT (erthq.): 1.70 m  
 Average results interval: 3  
 Ic cut-off value: 2.60  
 Unit weight calculation: Based on SBT  
 Use fill: No  
 Fill height: N/A  
 Fill weight:  
 Transition detect. applied: No  
 $K_0$  applied: Yes  
 Clay like behavior applied: Sands only  
 Limit depth applied: No  
 Limit depth: N/A

**Liquefaction analysis overall plots****Input parameters and analysis data**

Analysis method: B&I (2014)  
 Fines correction method: B&I (2014)  
 Points to test: Based on Ic value  
 Earthquake magnitude  $M_w$ : 6.14  
 Peak ground acceleration: 0.24  
 Depth to water table (in situ): 1.70 m

Depth to GWT (erthq.): 1.70 m  
 Average results interval: 3  
 Ic cut-off value: 2.60  
 Unit weight calculation: Based on SBT  
 Use fill: No  
 Fill height: N/A

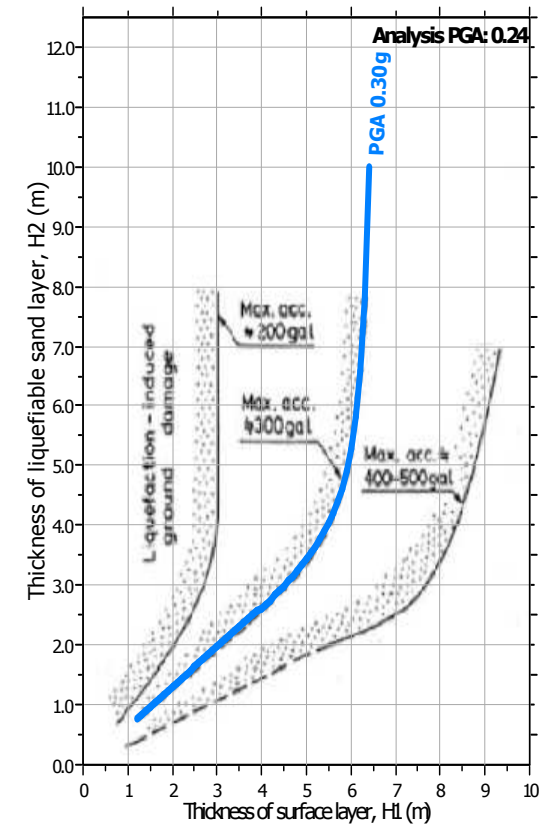
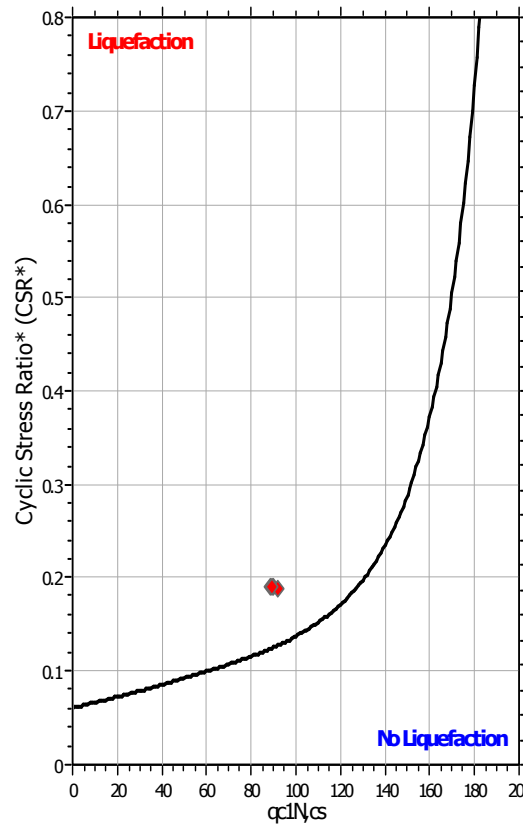
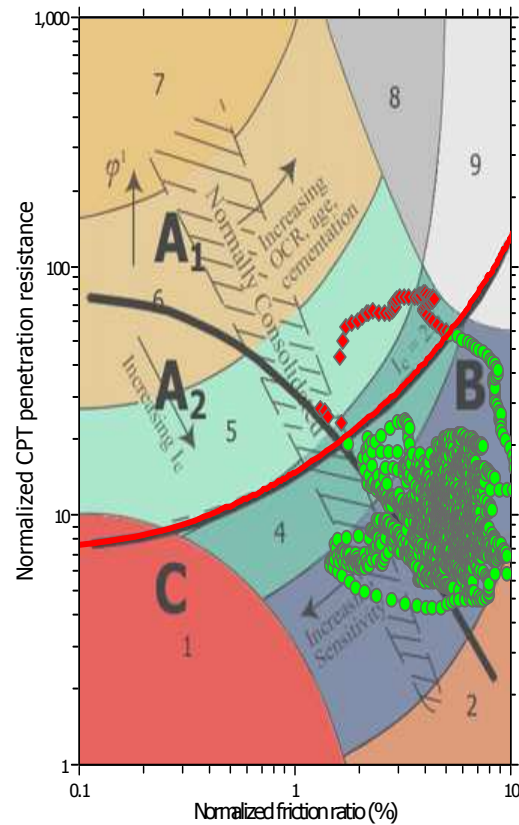
Fill weight:  
 Transition detect. applied: No  
 $K_0$  applied: Yes  
 Clay like behavior applied: Sands only  
 Limit depth applied: No  
 Limit depth: N/A

**F.S. color scheme**

Very high risk  
 High risk  
 Liquefaction and no liq. are equally likely  
 Unlike to liquefy  
 Almost certain it will not liquefy

**LPI color scheme**

Very high risk  
 High risk  
 Liquefaction and no liq. are equally likely  
 Unlike to liquefy  
 Almost certain it will not liquefy

**Liquefaction analysis summary plots****Input parameters and analysis data**

Analysis method: B&I (2014)  
 Fines correction method: B&I (2014)  
 Points to test: Based on I<sub>c</sub> value  
 Earthquake magnitude  $M_w$ : 6.14  
 Peak ground acceleration: 0.24  
 Depth to water table (in situ): 1.70 m

Depth to GWT (erthq.): 1.70 m  
 Average results interval: 3  
 I<sub>c</sub> cut-off value: 2.60  
 Unit weight calculation: Based on SBT  
 Use fill: No  
 Fill height: N/A

Fill weight:  
 Transition detect. applied: No  
 K<sub>o</sub> applied: Yes  
 Clay like behavior applied: Sands only  
 Limit depth applied: No  
 Limit depth: N/A

## LIQUEFACTION ANALYSIS REPORT

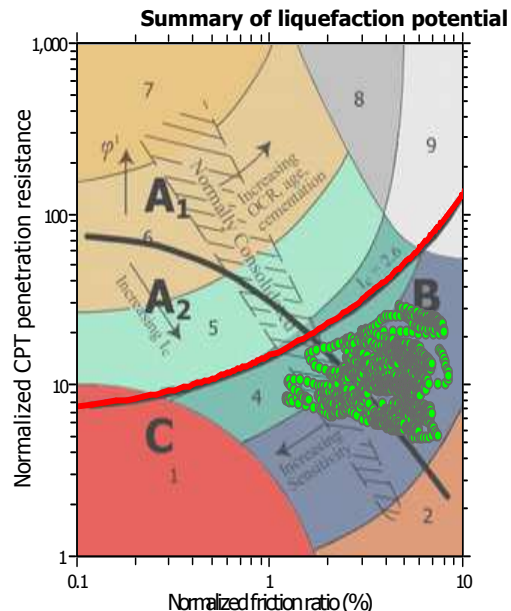
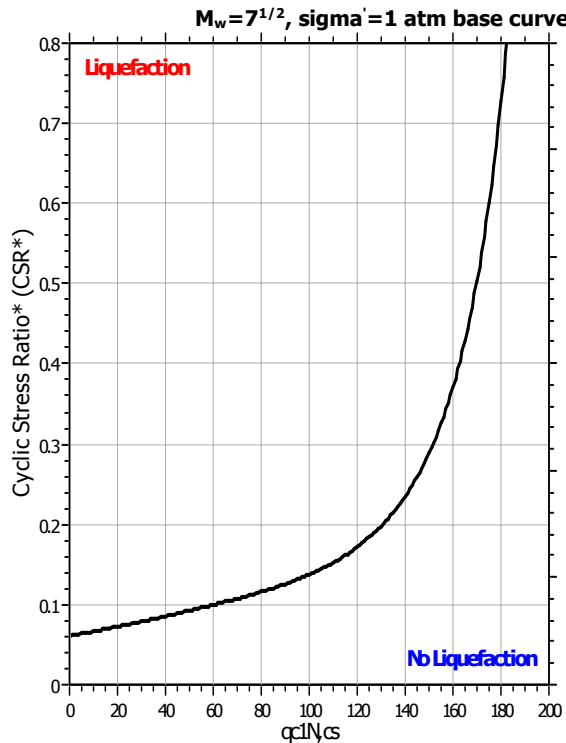
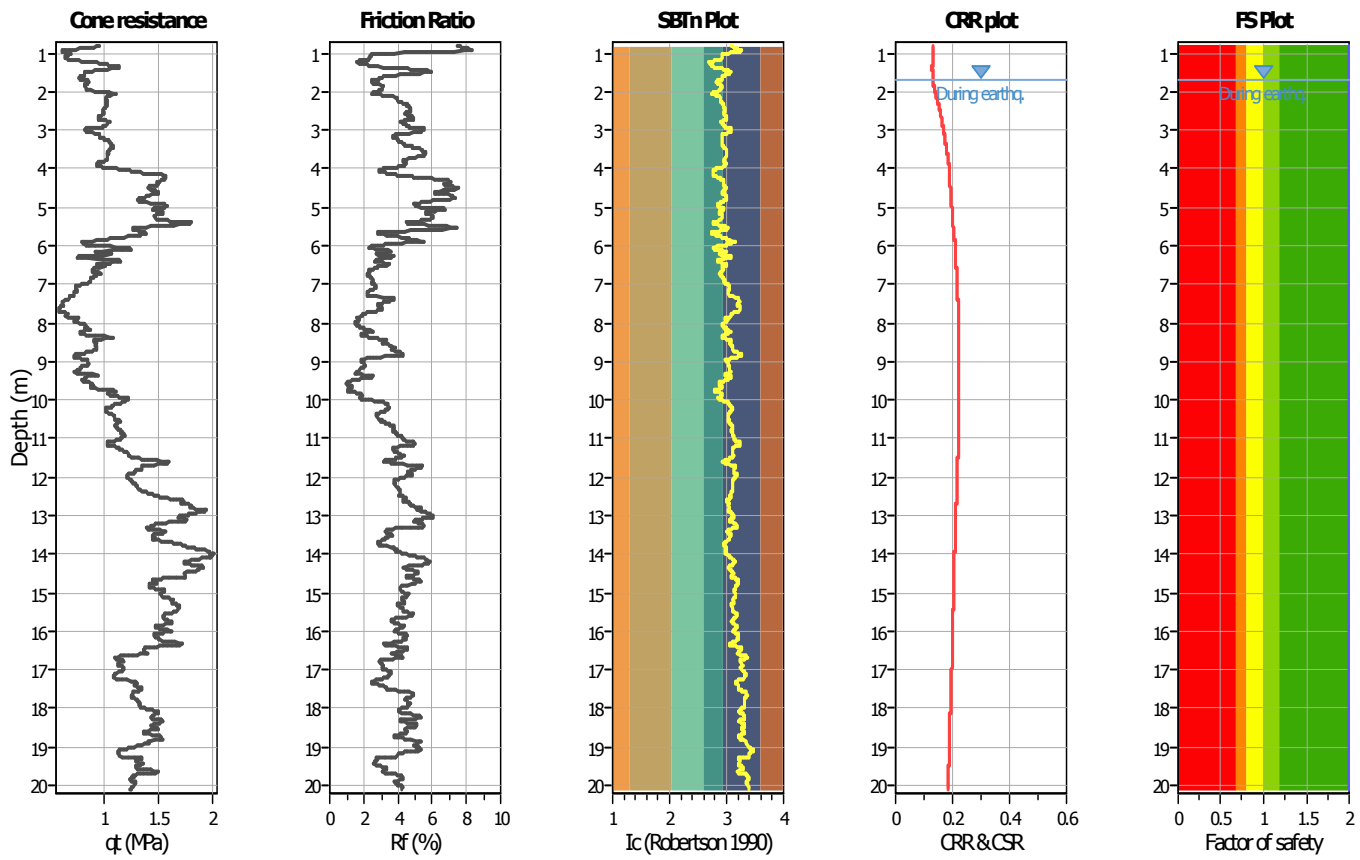
**Project title : STUDIO DEL TERRENO DI FONDAZIONE**

**Location : CAMPOGALLIANO\_MODENA TERMINAL**

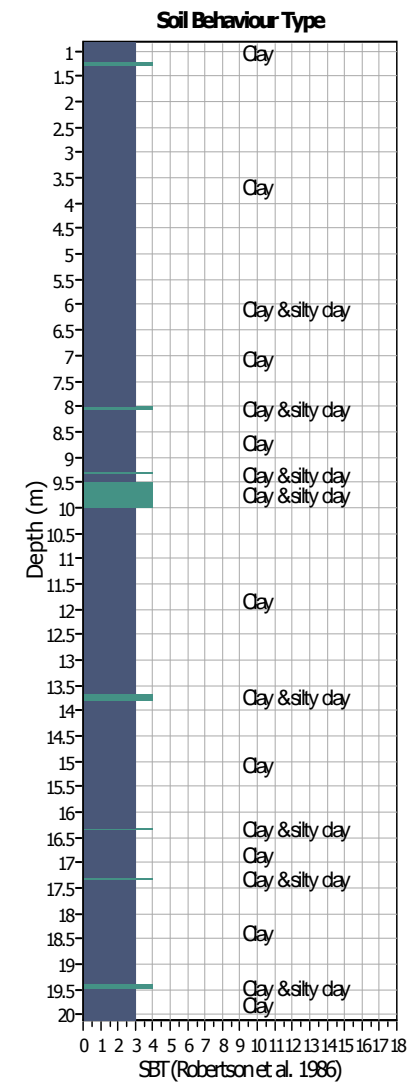
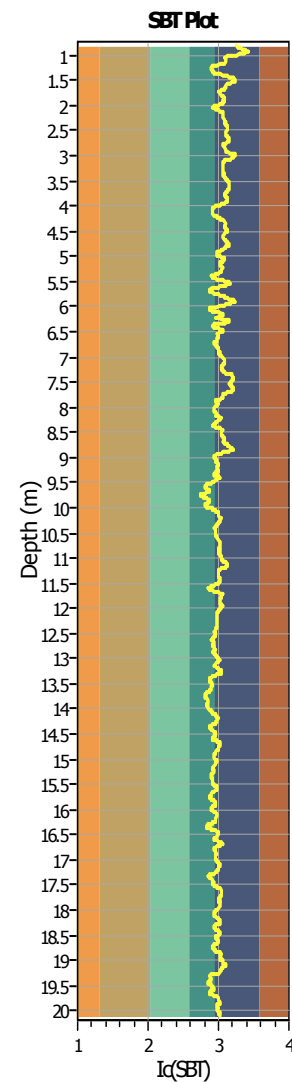
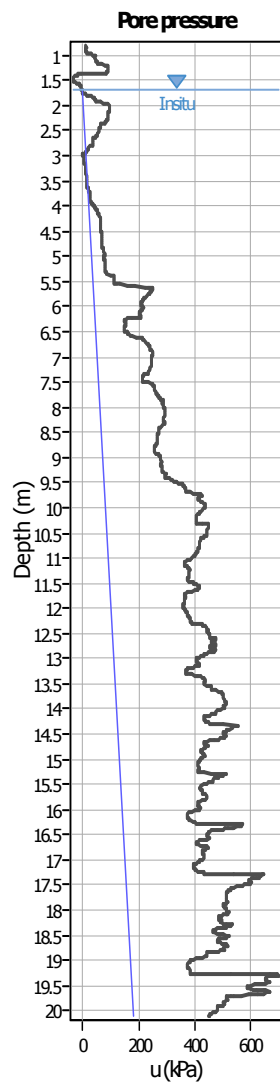
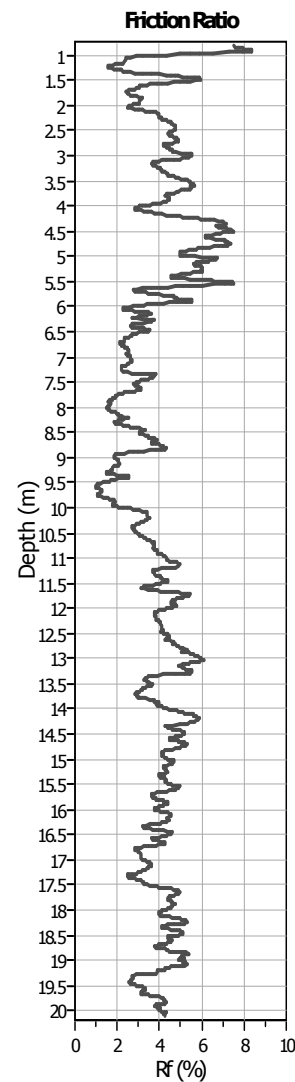
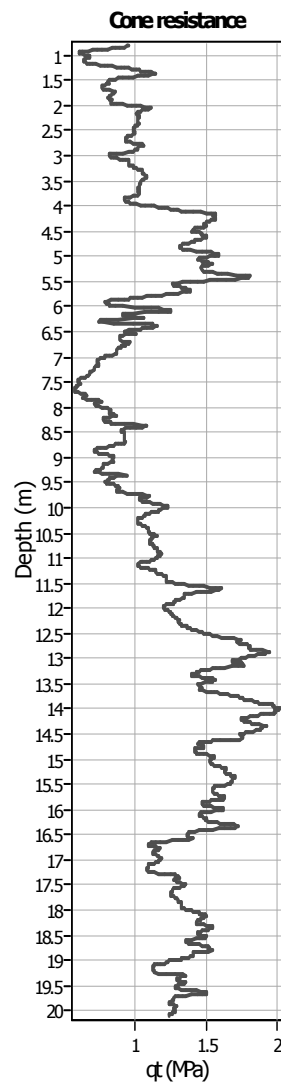
**CPT file : CPTU2**

### Input parameters and analysis data

Analysis method:	B&I (2014)	G.W.T. (in-situ):	1.70 m	Use fill:	No	Clay like behavior applied:	Sands only
Fines correction method:	B&I (2014)	G.W.T. (earthq.):	1.70 m	Fill height:	N/A	Limit depth applied:	No
Points to test:	Based on Ic value	Average results interval:	3	Fill weight:	N/A	Limit depth:	N/A
Earthquake magnitude $M_w$ :	6.14	Ic cut-off value:	2.60	Trans. detect. applied:	No	MSF method:	Method
Peak ground acceleration:	0.24	Unit weight calculation:	Based on SBT	$K_o$ applied:	Yes		



Zone A<sub>1</sub>: Cyclic liquefaction likely depending on size and duration of cyclic loading  
Zone A<sub>2</sub>: Cyclic liquefaction and strength loss likely depending on loading and ground geometry  
Zone B: Liquefaction and post-earthquake strength loss unlikely, check cyclic softening  
Zone C: Cyclic liquefaction and strength loss possible depending on soil plasticity, brittleness/sensitivity, strain to peak undrained strength and ground geometry

**CPT basic interpretation plots****Input parameters and analysis data**

Analysis method: B&I (2014)  
 Fines correction method: B&I (2014)  
 Points to test: Based on Ic value  
 Earthquake magnitude  $M_w$ : 6.14  
 Peak ground acceleration: 0.24  
 Depth to water table (in situ): 1.70 m

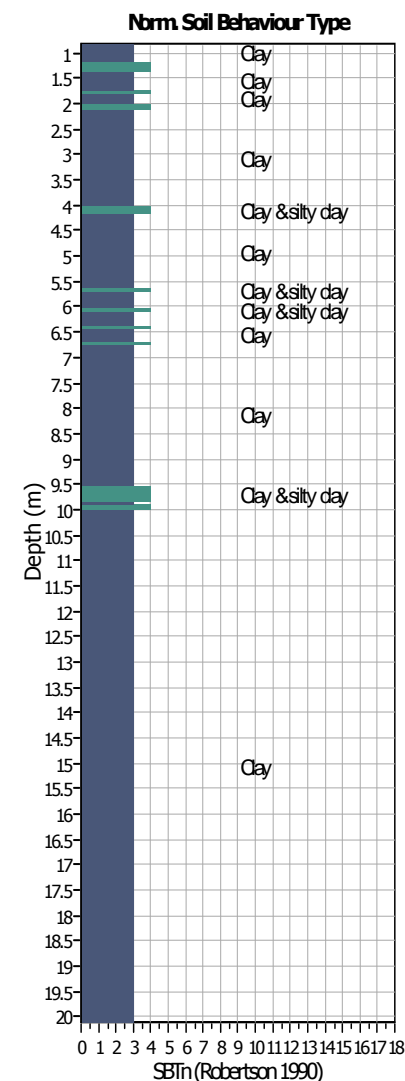
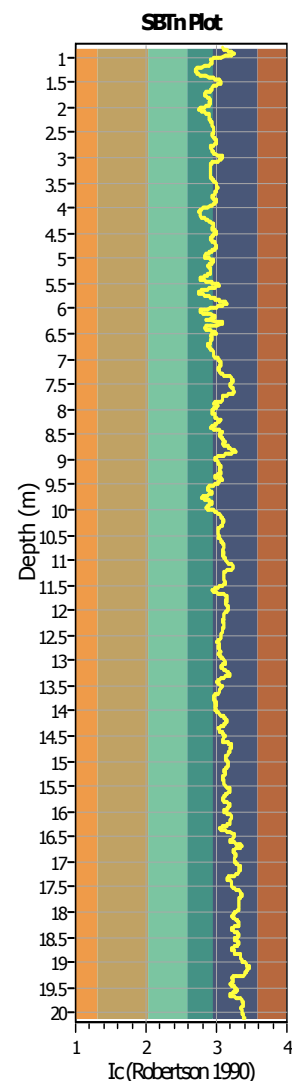
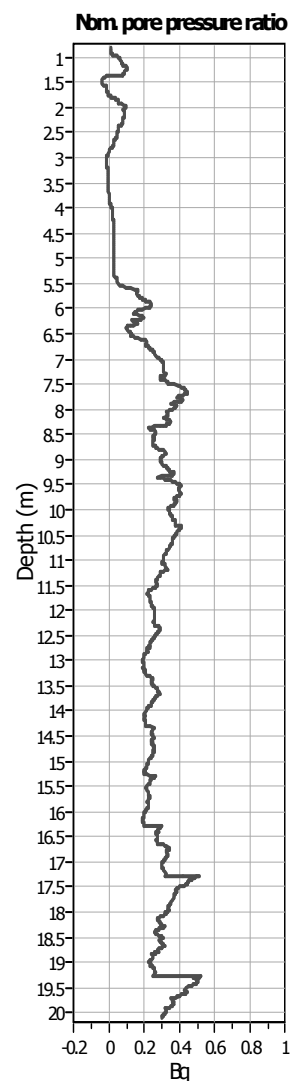
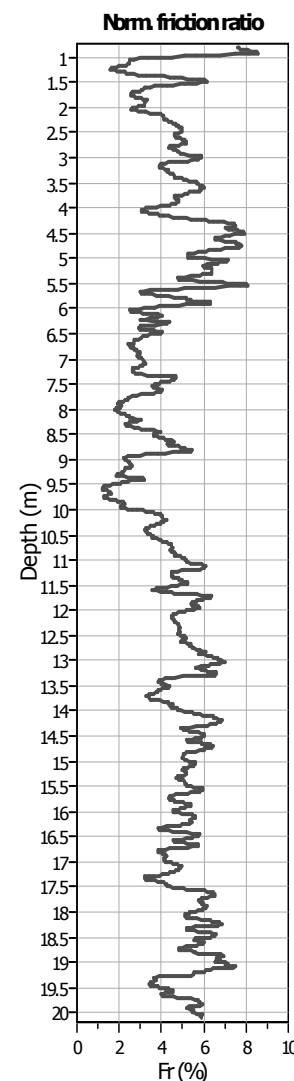
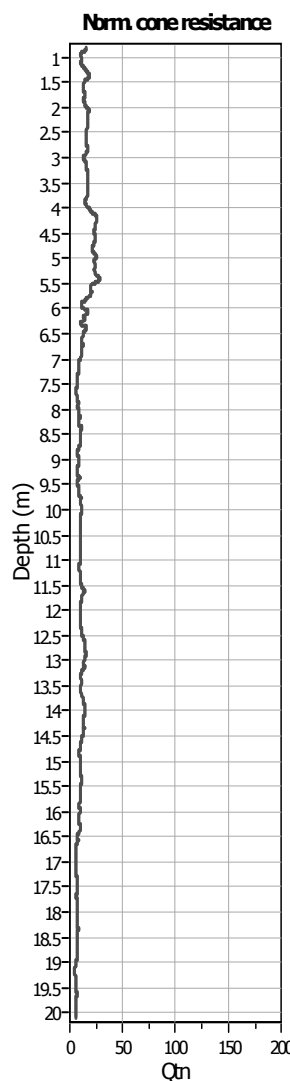
Depth to GWT (erthq.): 1.70 m  
 Average results interval: 3  
 Ic cut-off value: 2.60  
 Unit weight calculation: Based on SBT  
 Use fill: No  
 Fill height: N/A

Fill weight:  
 Transition detect. applied: N/A  
 $K_0$  applied: No  
 Clay like behavior applied: Yes  
 Limit depth applied: Sands only  
 Limit depth: No  
 N/A

**SBT legend**

1. Sensitive fine grained	4. Clayey silt to silty	7. Gravely sand to sand
2. Organic material	5. Silty sand to sandy silt	8. Very stiff sand to
3. Clay to silty clay	6. Clean sand to silty sand	9. Very stiff fine grained

## CPT basic interpretation plots (normalized)



## Input parameters and analysis data

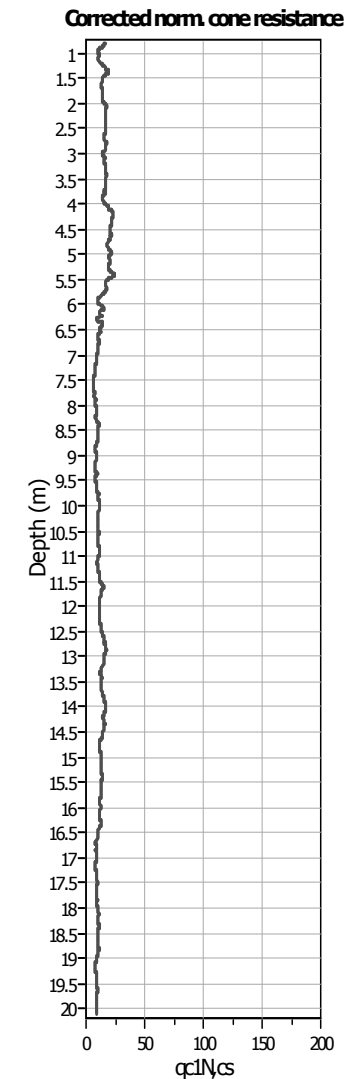
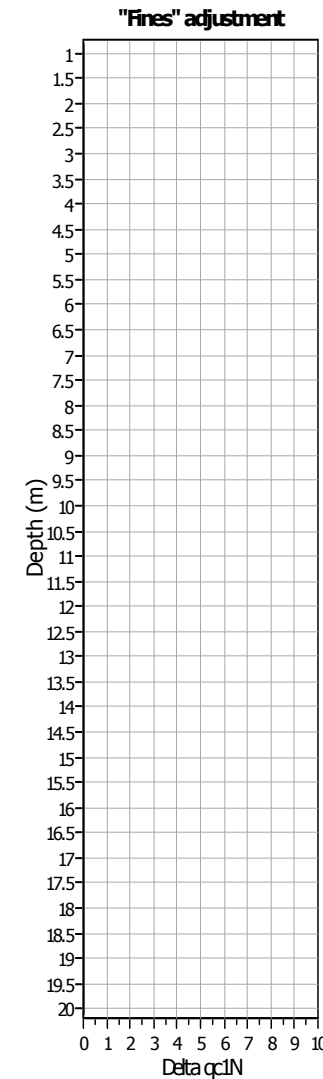
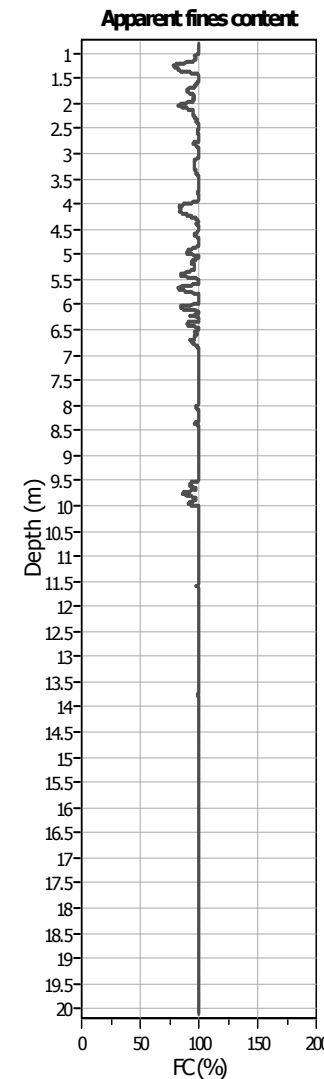
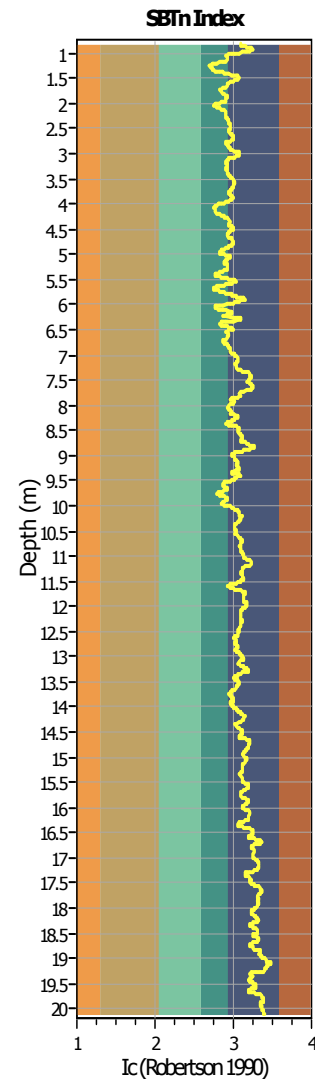
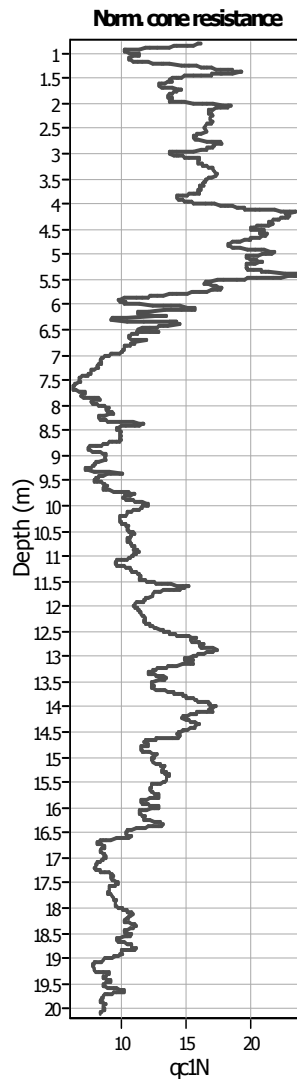
Analysis method: B&I (2014)  
 Fines correction method: B&I (2014)  
 Points to test: Based on Ic value  
 Earthquake magnitude  $M_w$ : 6.14  
 Peak ground acceleration: 0.24  
 Depth to water table (in situ): 1.70 m

Depth to GWT (erthq.): 1.70 m  
 Average results interval: 3  
 Ic cut-off value: 2.60  
 Unit weight calculation: Based on SBT  
 Use fill: No  
 Fill height: N/A

Fill weight:  
 Transition detect. applied: N/A  
 $K_0$  applied: No  
 Clay like behavior applied: Yes  
 Limit depth applied: Sands only  
 Limit depth: No  
 N/A

## SBTn legend

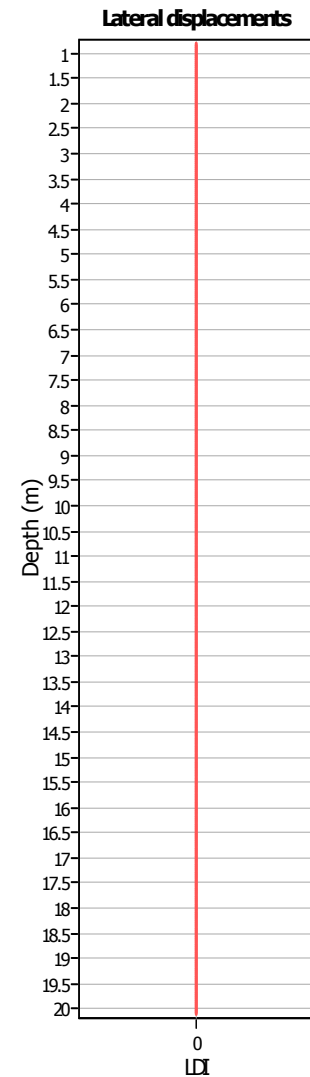
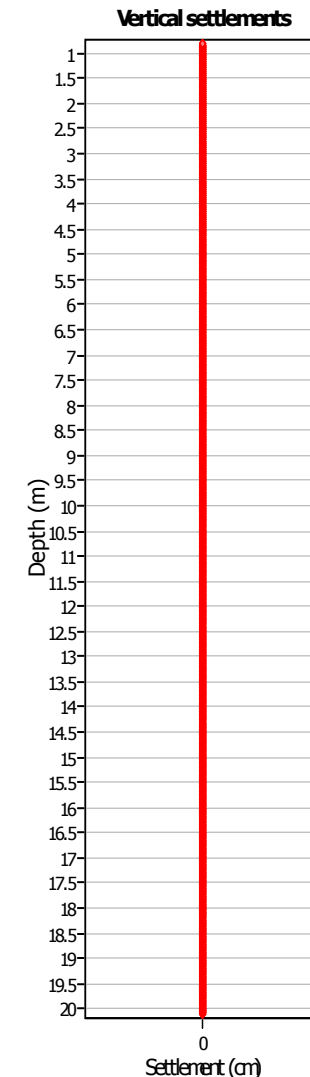
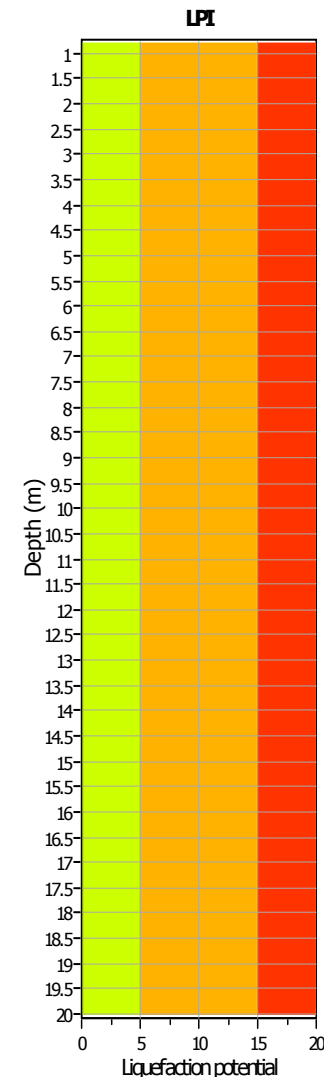
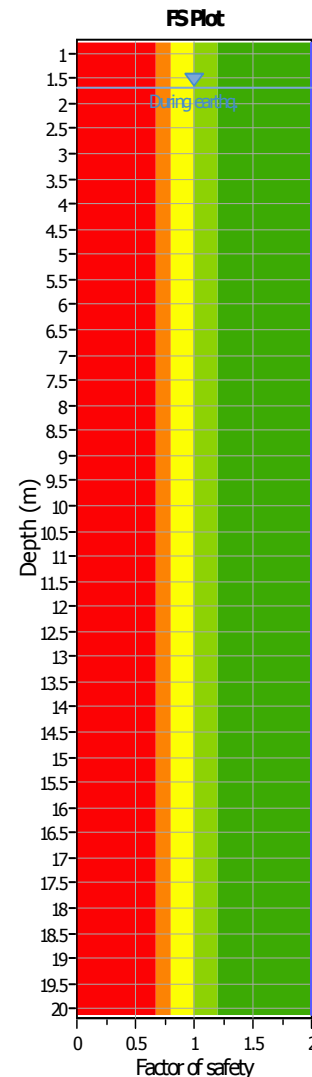
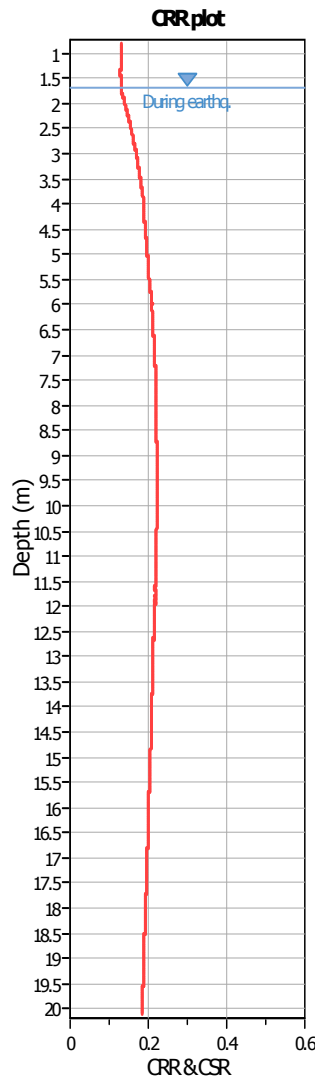
- |                           |                             |                            |
|---------------------------|-----------------------------|----------------------------|
| 1. Sensitive fine grained | 4. Clayey silt to silty     | 7. Gravely sand to sand    |
| 2. Organic material       | 5. Silty sand to sandy silt | 8. Very stiff sand to      |
| 3. Clay to silty clay     | 6. Clean sand to silty sand | 9. Very stiff fine grained |

**Liquefaction analysis overall plots (intermediate results)****Input parameters and analysis data**

Analysis method: B&I (2014)  
 Fines correction method: B&I (2014)  
 Points to test: Based on Ic value  
 Earthquake magnitude  $M_w$ : 6.14  
 Peak ground acceleration: 0.24  
 Depth to water table (in situ): 1.70 m

Depth to GWT (erthq.): 1.70 m  
 Average results interval: 3  
 Ic cut-off value: 2.60  
 Unit weight calculation: Based on SBT  
 Use fill: No  
 Fill height: N/A

Fill weight:  
 Transition detect. applied: No  
 $K_0$  applied: Yes  
 Clay like behavior applied: Sands only  
 Limit depth applied: No  
 Limit depth: N/A

**Liquefaction analysis overall plots****Input parameters and analysis data**

Analysis method: B&I (2014)  
 Fines correction method: B&I (2014)  
 Points to test: Based on Ic value  
 Earthquake magnitude  $M_w$ : 6.14  
 Peak ground acceleration: 0.24  
 Depth to water table (in situ): 1.70 m

Depth to GWT (erthq.): 1.70 m  
 Average results interval: 3  
 Ic cut-off value: 2.60  
 Unit weight calculation: Based on SBT  
 Use fill: No  
 Fill height: N/A

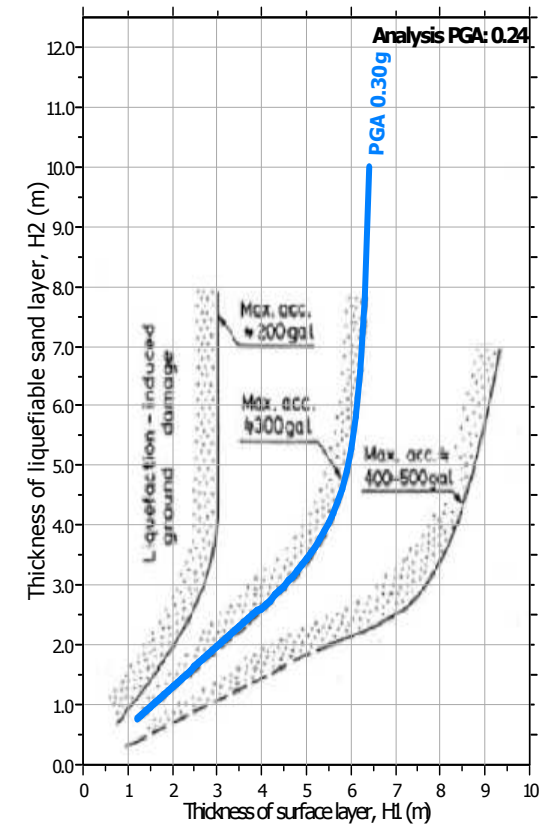
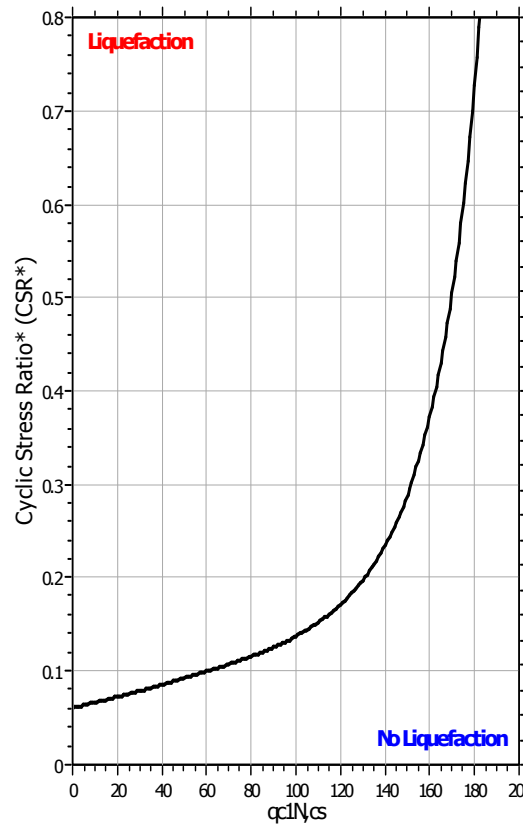
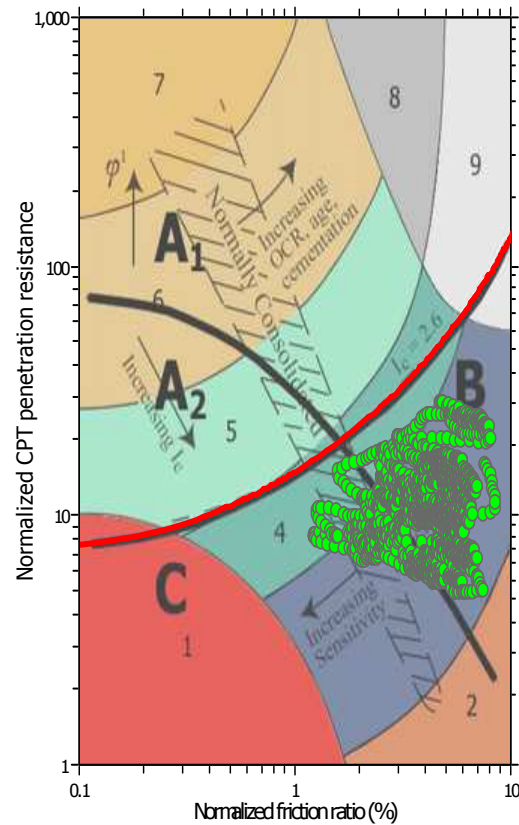
Fill weight: N/A  
 Transition detect. applied: No  
 $K_0$  applied: Yes  
 Clay like behavior applied: Sands only  
 Limit depth applied: No  
 Limit depth: N/A

**F.S. color scheme**

Red	Almost certain it will liquefy
Orange	Very likely to liquefy
Yellow	Liquefaction and no liq. are equally likely
Green	Unlikely to liquefy
Light Green	Almost certain it will not liquefy

**LPI color scheme**

Red	Very high risk
Orange	High risk
Yellow	Medium risk
Green	Low risk

**Liquefaction analysis summary plots****Input parameters and analysis data**

Analysis method: B&I (2014)  
 Fines correction method: B&I (2014)  
 Points to test: Based on I<sub>c</sub> value  
 Earthquake magnitude  $M_w$ : 6.14  
 Peak ground acceleration: 0.24  
 Depth to water table (in situ): 1.70 m

Depth to GWT (erthq.): 1.70 m  
 Average results interval: 3  
 I<sub>c</sub> cut-off value: 2.60  
 Unit weight calculation: Based on SBT  
 Use fill: No  
 Fill height: N/A  
 Fill weight:  
 Transition detect. applied: No  
 $K_0$  applied: Yes  
 Clay like behavior applied: Sands only  
 Limit depth applied: No  
 Limit depth: N/A

## LIQUEFACTION ANALYSIS REPORT

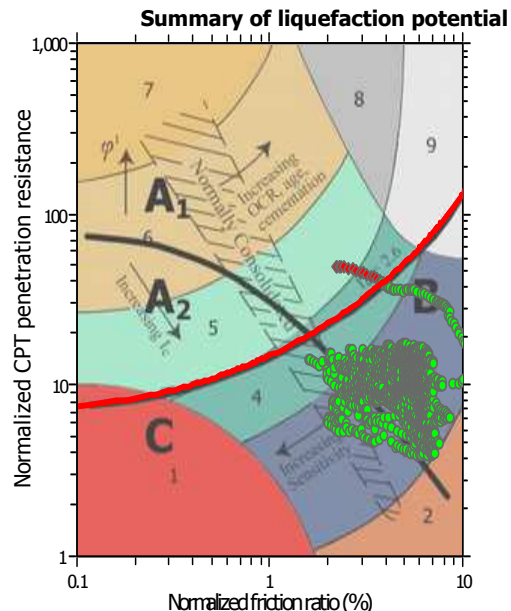
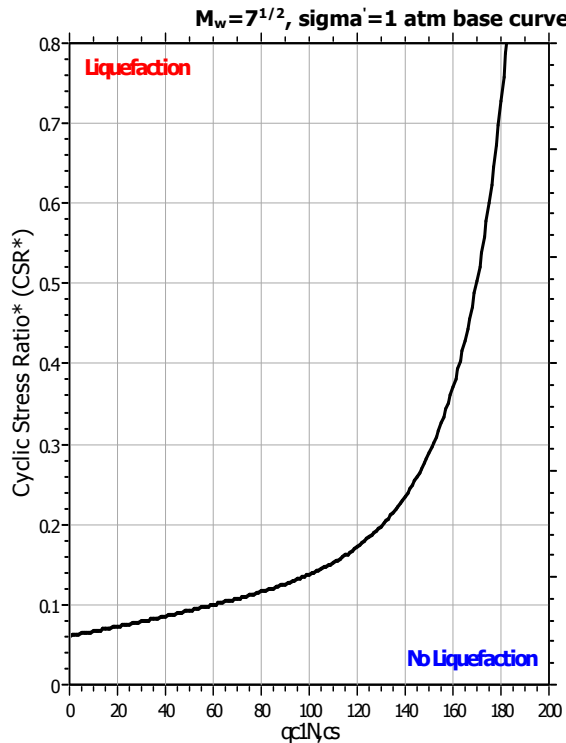
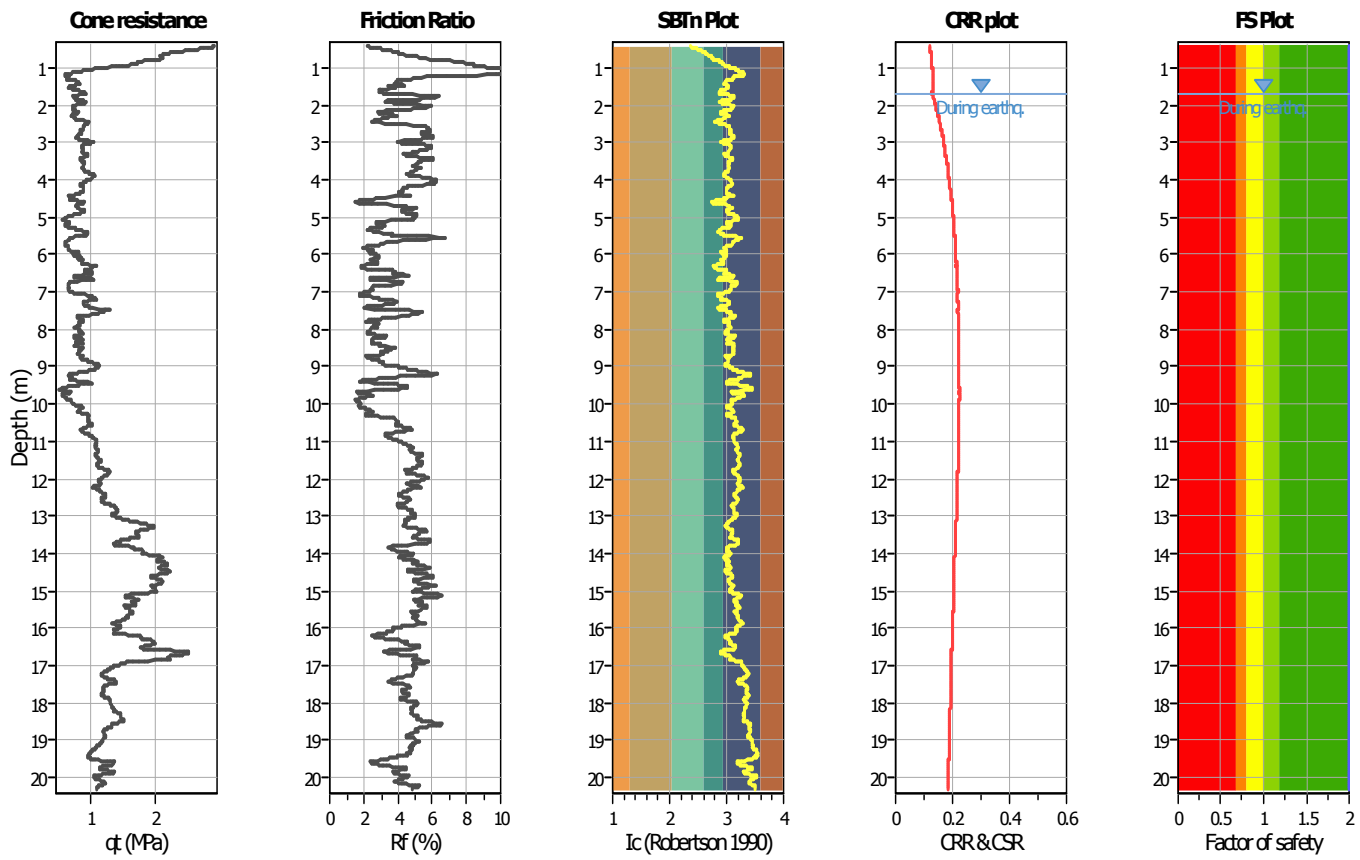
**Project title : STUDIO DEL TERRENO DI FONDAZIONE**

**Location : CAMPOGALLIANO\_MODENA TERMINAL**

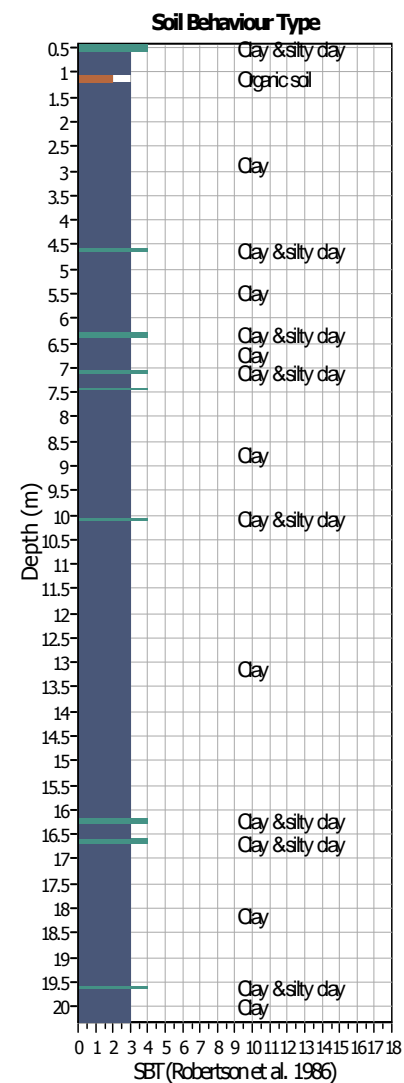
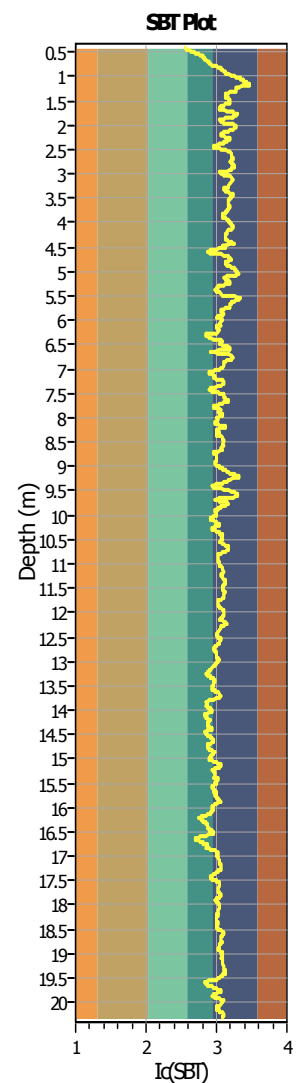
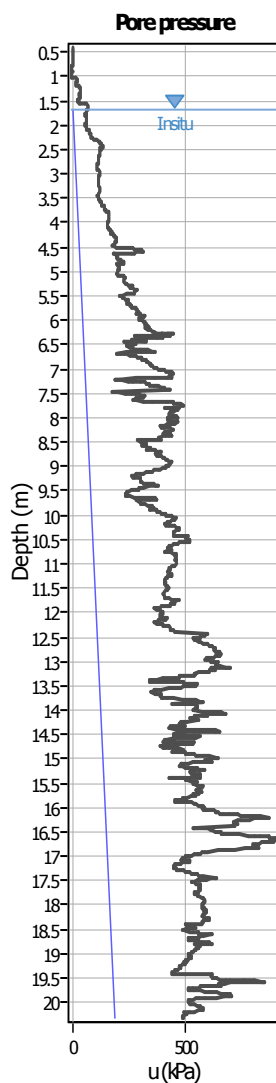
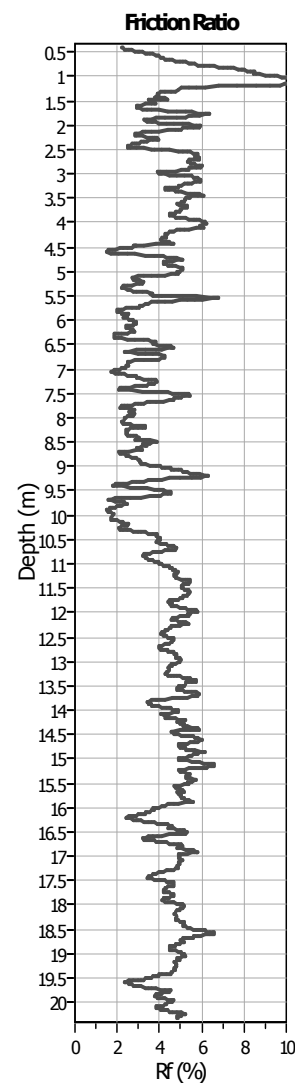
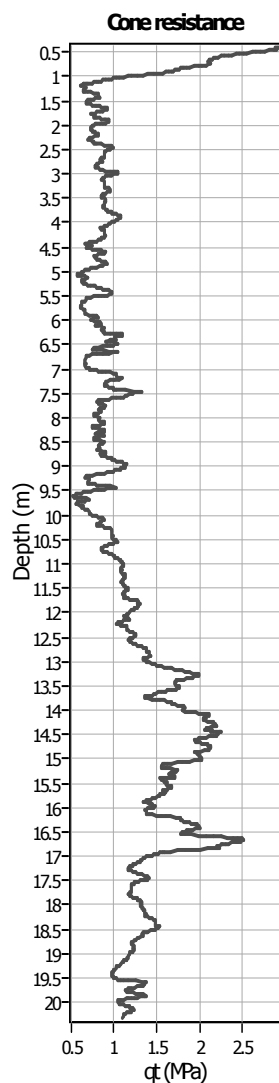
**CPT file : CPTU3**

### Input parameters and analysis data

Analysis method:	B&I (2014)	G.W.T. (in-situ):	1.70 m	Use fill:	No	Clay like behavior
Fines correction method:	B&I (2014)	G.W.T. (earthq.):	1.70 m	Fill height:	N/A	applied: Sands only
Points to test:	Based on Ic value	Average results interval:	3	Fill weight:	N/A	Limit depth applied: No
Earthquake magnitude $M_w$ :	6.14	Ic cut-off value:	2.60	Trans. detect. applied:	No	Limit depth: N/A
Peak ground acceleration:	0.24	Unit weight calculation:	Based on SBT	$K_o$ applied:	Yes	MSF method: Method



Zone A<sub>1</sub>: Cyclic liquefaction likely depending on size and duration of cyclic loading  
Zone A<sub>2</sub>: Cyclic liquefaction and strength loss likely depending on loading and ground geometry  
Zone B: Liquefaction and post-earthquake strength loss unlikely, check cyclic softening  
Zone C: Cyclic liquefaction and strength loss possible depending on soil plasticity, brittleness/sensitivity, strain to peak undrained strength and ground geometry

**CPT basic interpretation plots****Input parameters and analysis data**

Analysis method: B&I (2014)  
 Fines correction method: B&I (2014)  
 Points to test: Based on Ic value  
 Earthquake magnitude  $M_w$ : 6.14  
 Peak ground acceleration: 0.24  
 Depth to water table (in situ): 1.70 m

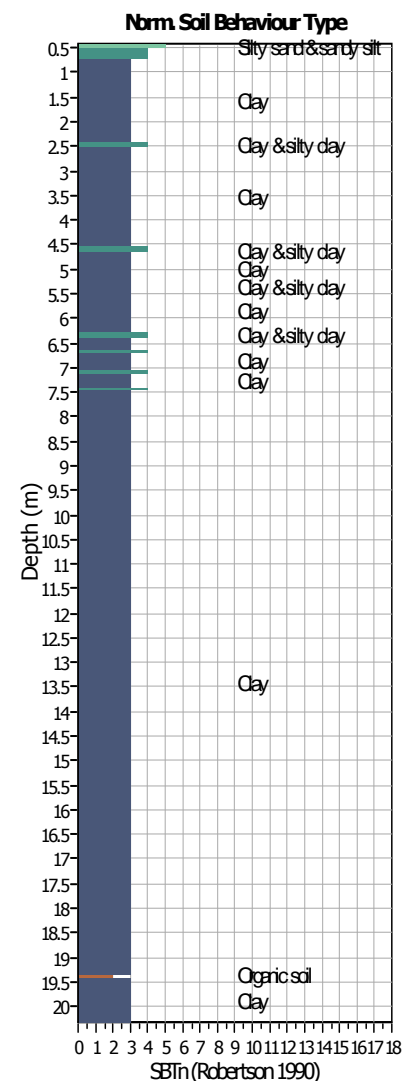
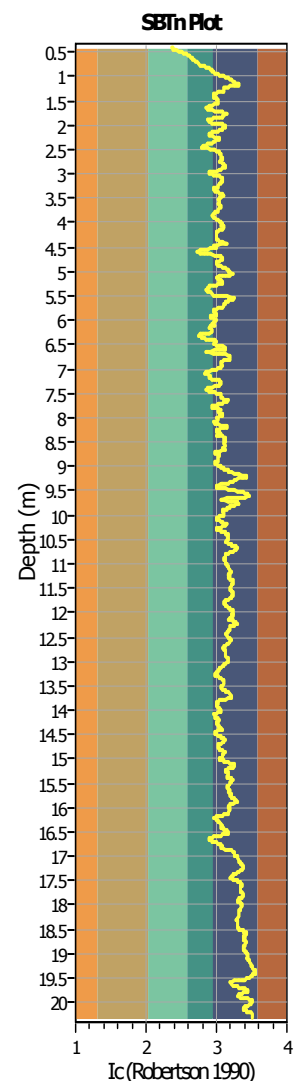
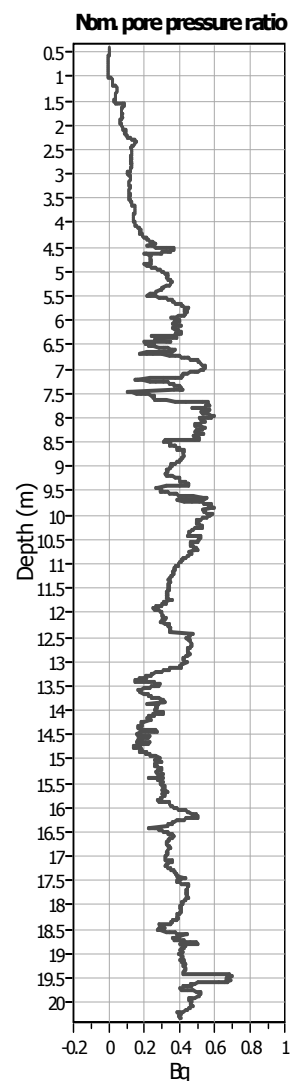
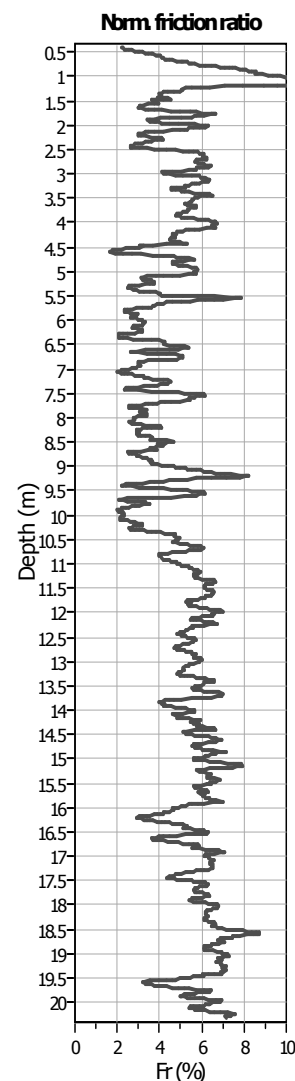
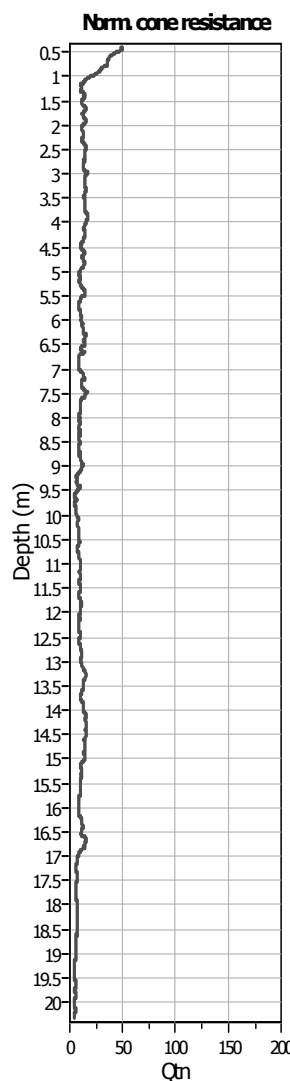
Depth to GWT (erthq.): 1.70 m  
 Average results interval: 3  
 Ic cut-off value: 2.60  
 Unit weight calculation: Based on SBT  
 Use fill: No  
 Fill height: N/A

Fill weight:  
 Transition detect. applied: N/A  
 $K_0$  applied: No  
 Clay like behavior applied: Yes  
 Limit depth applied: Sands only  
 Limit depth: No  
 N/A

**SBT legend**

- |                           |                             |                            |
|---------------------------|-----------------------------|----------------------------|
| 1. Sensitive fine grained | 4. Clayey silt to silty     | 7. Gravely sand to sand    |
| 2. Organic material       | 5. Silty sand to sandy silt | 8. Very stiff sand to      |
| 3. Clay to silty clay     | 6. Clean sand to silty sand | 9. Very stiff fine grained |

## CPT basic interpretation plots (normalized)



## Input parameters and analysis data

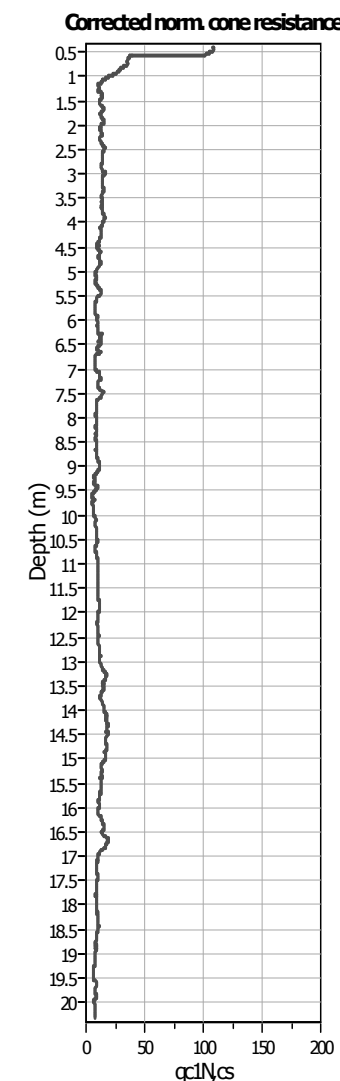
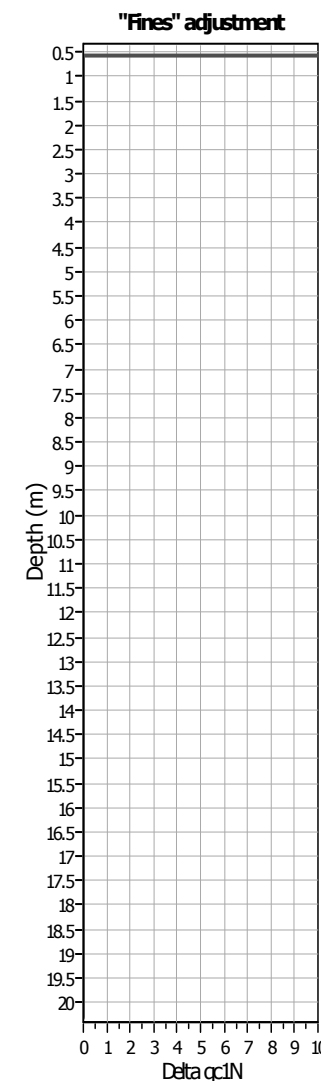
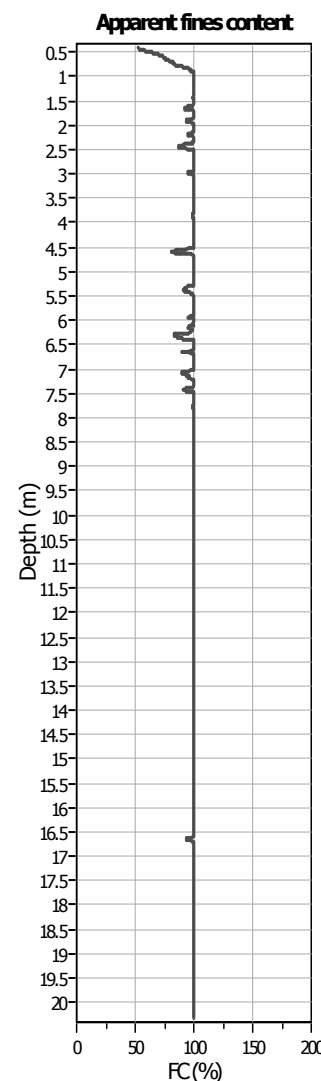
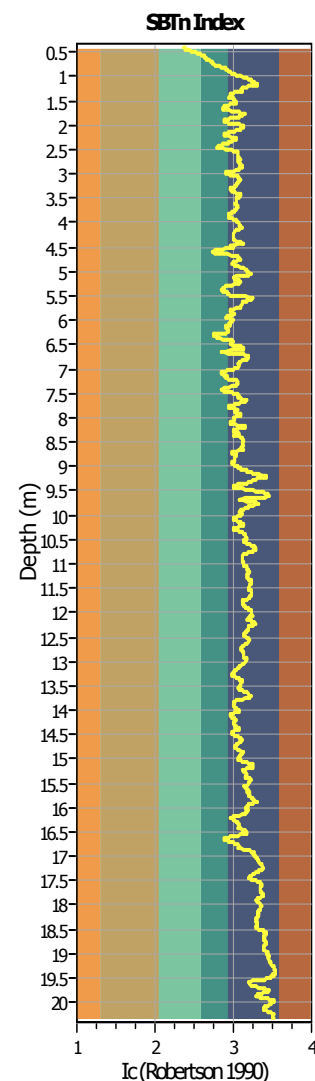
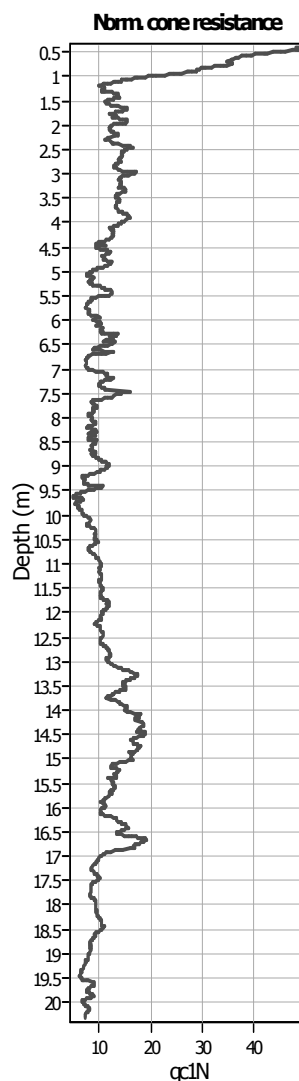
Analysis method: B&I (2014)  
 Fines correction method: B&I (2014)  
 Points to test: Based on Ic value  
 Earthquake magnitude  $M_w$ : 6.14  
 Peak ground acceleration: 0.24  
 Depth to water table (in situ): 1.70 m

Depth to GWT (erthq.): 1.70 m  
 Average results interval: 3  
 Ic cut-off value: 2.60  
 Unit weight calculation: Based on SBT  
 Use fill: No  
 Fill height: N/A

Fill weight:  
 Transition detect. applied: N/A  
 $K_0$  applied: No  
 Clay like behavior applied: Yes  
 Limit depth applied: Sands only  
 Limit depth: No  
 N/A

## SBTn legend

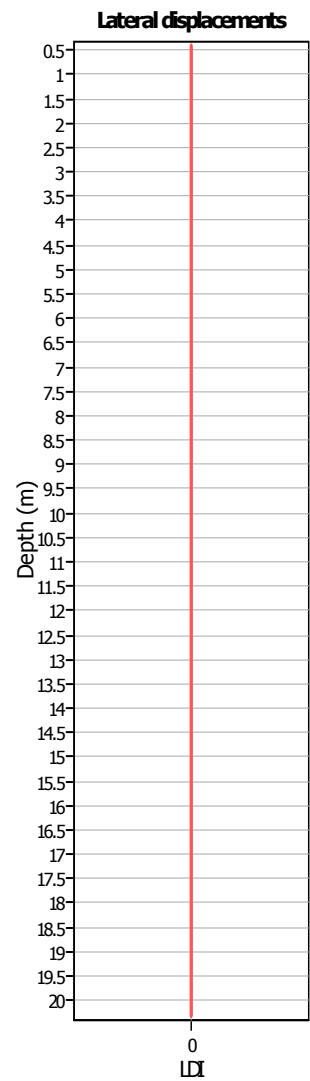
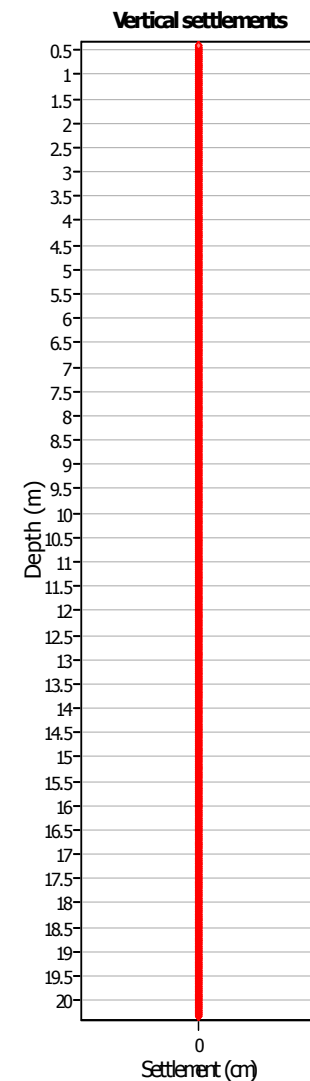
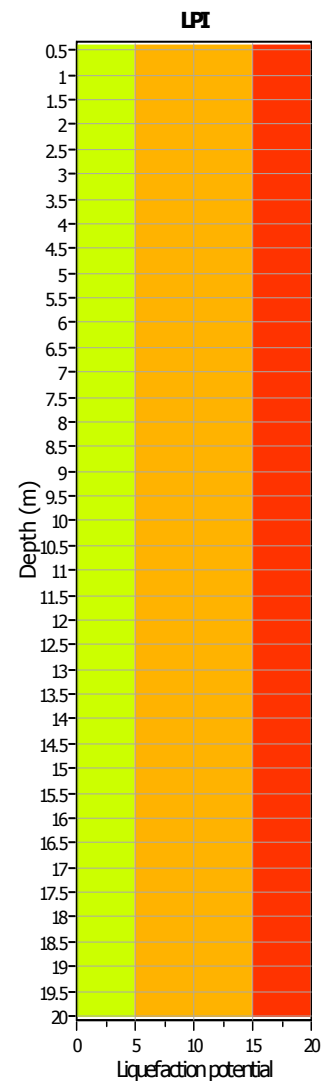
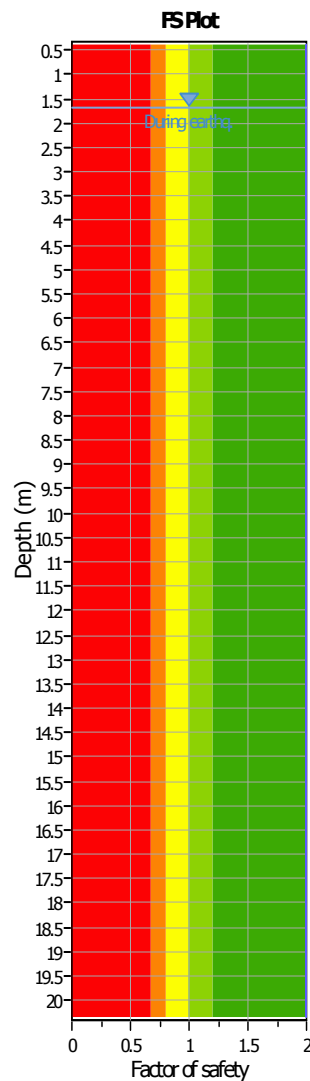
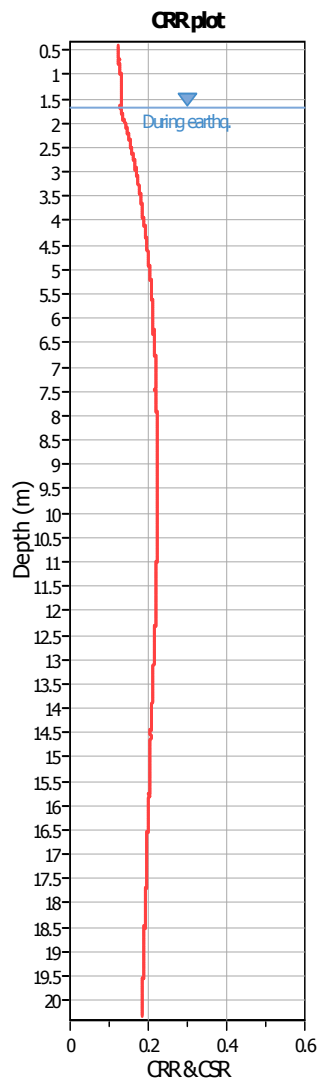
- |                           |                             |                            |
|---------------------------|-----------------------------|----------------------------|
| 1. Sensitive fine grained | 4. Clayey silt to silty     | 7. Gravely sand to sand    |
| 2. Organic material       | 5. Silty sand to sandy silt | 8. Very stiff sand to      |
| 3. Clay to silty clay     | 6. Clean sand to silty sand | 9. Very stiff fine grained |

**Liquefaction analysis overall plots (intermediate results)****Input parameters and analysis data**

Analysis method: B&I (2014)  
 Fines correction method: B&I (2014)  
 Points to test: Based on Ic value  
 Earthquake magnitude  $M_w$ : 6.14  
 Peak ground acceleration: 0.24  
 Depth to water table (in situ): 1.70 m

Depth to GWT (erthq.): 1.70 m  
 Average results interval: 3  
 Ic cut-off value: 2.60  
 Unit weight calculation: Based on SBT  
 Use fill: No  
 Fill height: N/A

Fill weight:  
 Transition detect. applied: No  
 $K_0$  applied: Yes  
 Clay like behavior applied: Sands only  
 Limit depth applied: No  
 Limit depth: N/A

**Liquefaction analysis overall plots****Input parameters and analysis data**

Analysis method: B&I (2014)  
 Fines correction method: B&I (2014)  
 Points to test: Based on Ic value  
 Earthquake magnitude  $M_w$ : 6.14  
 Peak ground acceleration: 0.24  
 Depth to water table (in situ): 1.70 m

Depth to GWT (earthq.): 1.70 m  
 Average results interval: 3  
 Ic cut-off value: 2.60  
 Unit weight calculation: Based on SBT  
 Use fill: No  
 Fill height: N/A

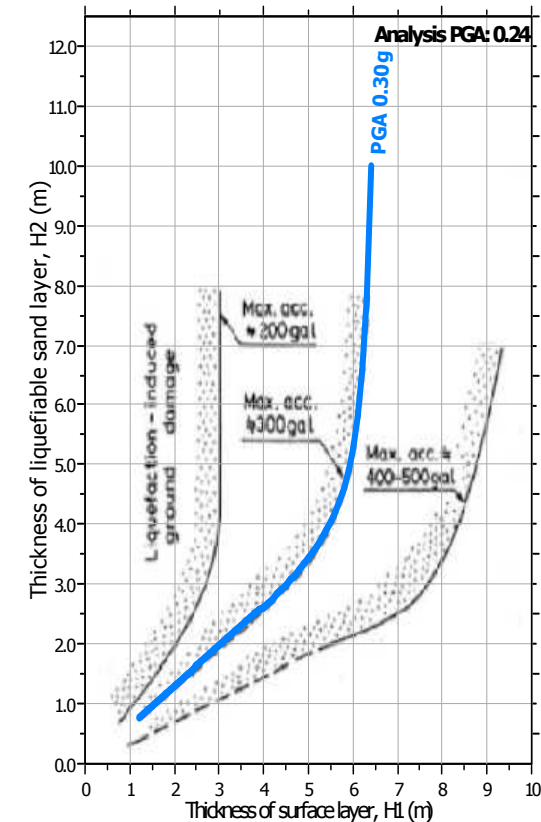
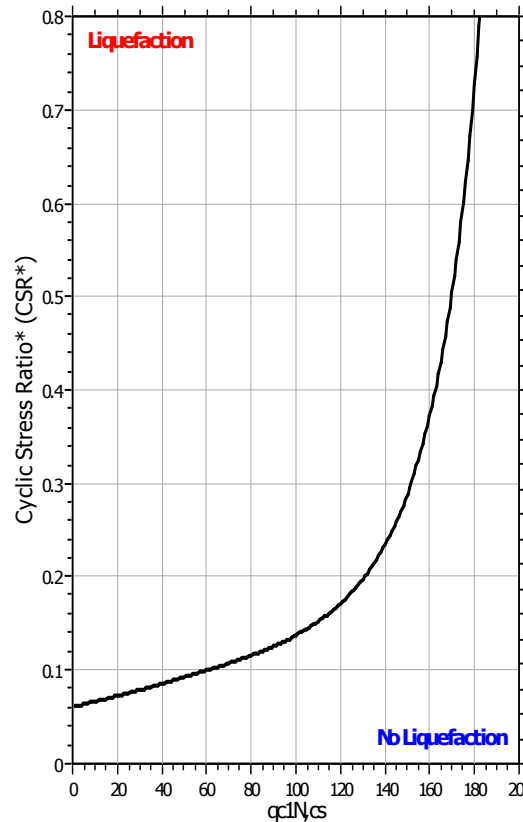
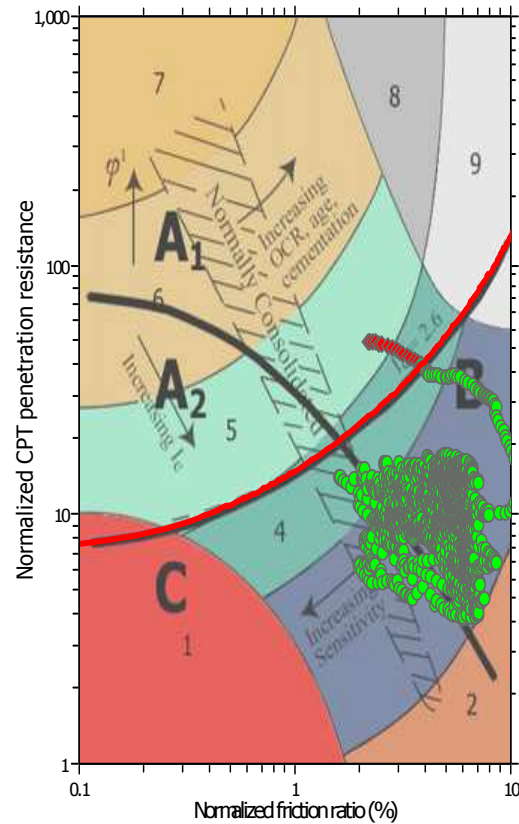
Fill weight:  
 Transition detect. applied: No  
 $K_0$  applied: Yes  
 Clay like behavior applied: Sands only  
 Limit depth applied: No  
 Limit depth: N/A

**F.S. color scheme**

Red	Almost certain it will liquefy
Orange	Very likely to liquefy
Yellow	Liquefaction and no liq. are equally likely
Green	Unlike to liquefy
Light Green	Almost certain it will not liquefy

**LPI color scheme**

Red	Very high risk
Orange	High risk
Yellow	Medium risk
Green	Low risk

**Liquefaction analysis summary plots****Input parameters and analysis data**

Analysis method: B&I (2014)  
 Fines correction method: B&I (2014)  
 Points to test: Based on Ic value  
 Earthquake magnitude  $M_w$ : 6.14  
 Peak ground acceleration: 0.24  
 Depth to water table (in situ): 1.70 m

Depth to GWT (erthq.): 1.70 m  
 Average results interval: 3  
 Ic cut-off value: 2.60  
 Unit weight calculation: Based on SBT  
 Use fill: No  
 Fill height: N/A  
 Fill weight:  
 Transition detect. applied: No  
 $K_0$  applied: Yes  
 Clay like behavior applied: Sands only  
 Limit depth applied: No  
 Limit depth: N/A